# 資 料 編

# 目　　次


１　事業計画関連

資料１－１　工事工程表 ····· 資－ 1

資料１－２　予測時期の設定 ····· 資－ 5

２　温室効果ガス関連

資料２－１　ごみ組成及びごみ質の設定 ····· 資－ 9

資料２－２　温室効果ガスの予測式 ····· 資－ 10

３　大気質関連

資料３－１　気象の異常年検定結果 ····· 資－ 11

資料３－２　気象解析結果 ····· 資－ 13

資料３－３　排出ガスの拡散計算式 ····· 資－ 18

資料３－４　日平均値の年間 98%値または 2%除外値への変換式 ····· 資－ 22

資料３－５　建設機械に係る大気汚染物質排出量算定 ····· 資－ 25

資料３－６　車両の排出ガスの拡散計算式 ····· 資－ 27

資料３－７　建設機械の稼働による短期将来濃度の予測結果 ····· 資－ 29

資料３－８　工事用車両の走行に係る大気質の予測結果（距離減衰状況）···· 資－ 31

資料３－９　排ガスの排出に伴う短期将来濃度の予測結果 ····· 資－ 33

４　地盤関連

資料４－１　計画地のボーリング調査結果 ····· 資－ 49

５　騒音関連

資料５－１　騒音調査結果 ····· 資－ 59

資料５－２　建設作業騒音の予測方法 ····· 資－ 72

資料５－３　道路交通騒音の予測方法 ····· 資－ 73

資料５－４　工事用車両の走行に係る騒音の予測結果（距離減衰状況）····· 資－ 76

資料５－５　施設騒音の予測方法 ····· 資－ 77

６　振動関連

資料６－１　振動調査結果 ····· 資－ 81

資料６－２　建設作業及び施設振動の予測方法 ····· 資－ 98

資料６－３　道路交通振動の予測方法 ····· 資－ 99

資料６－４　工事用車両の走行に係る振動の予測結果（距離減衰状況）・・・・・資－ 104

７　低周波音関連

資料７－１　低周波音調査結果・・・・・・・・・・・・・・・・・・・・・・・・・・・・・・・・・・・・資－ 105

８　廃棄物関連

資料８－１　廃棄物発生量の算定根拠・・・・・・・・・・・・・・・・・・・・・・・・・・・・・・・・資－111

９　緑関連

資料９－１　樹木活力度等調査結果・・・・・・・・・・・・・・・・・・・・・・・・・・・・・・・・・資－115

資料９－２　土壌調査要領及び調査結果・・・・・・・・・・・・・・・・・・・・・・・・・・・・・・資－134

資料９－３　単位土壌量の算定根拠・・・・・・・・・・・・・・・・・・・・・・・・・・・・・・・・・資－145

10　テレビ受信障害関連

資料 10－１　テレビ受信障害調査結果・・・・・・・・・・・・・・・・・・・・・・・・・・・・・・・資－147

11　地域交通関連

資料 11－１　交通関連現地調査結果・・・・・・・・・・・・・・・・・・・・・・・・・・・・・・・・資－151

資料 11－２　予測交通量の設定・・・・・・・・・・・・・・・・・・・・・・・・・・・・・・・・・・・資－196

資料 11－３　交差点需要率算定資料・・・・・・・・・・・・・・・・・・・・・・・・・・・・・・・・資－206

# １　事業計画関連

# １　事業計画関連

## 資料１－１　工事工程表

工事工程表は、表 1－1(1)～(3)に示すとおりである。

本事業に係る主な工事は、地上部解体撤去工事、地下部解体撤去工事及び本体工事を実施する計画であり、工事期間は、全体で約 10 年を予定している。

# 表1－1(1)　工事工程表（工事開始後１年目～４年目）

| 年 | | １年目 | | | | | | | | | | | | ２年目 | | | | | | | | | | | | ３年目 | | | | | | | | | | | | ４年目 | | | | | | | | | | | |
|---|---|---|---|---|---|---|---|---|---|---|---|---|---|---|---|---|---|---|---|---|---|---|---|---|---|---|---|---|---|---|---|---|---|---|---|---|---|---|---|---|---|---|---|---|---|---|---|---|---|
| 延月 | | 1 | 2 | 3 | 4 | 5 | 6 | 7 | 8 | 9 | 10 | 11 | 12 | 13 | 14 | 15 | 16 | 17 | 18 | 19 | 20 | 21 | 22 | 23 | 24 | 25 | 26 | 27 | 28 | 29 | 30 | 31 | 32 | 33 | 34 | 35 | 36 | 37 | 38 | 39 | 40 | 41 | 42 | 43 | 44 | 45 | 46 | 47 | 48 |
| 柳町(倉庫等)解体工事 | | | | | | | | | | | | | | | | | | | | | | | | | | | | | | | | | | | | | | | | | | | | | | | | |
| 準備工事 | 準備工事、仮設工事 | | | | | | | | | | | | | | | | | | | | | | | | | | | | | | | | | | | | | | | | | | | | | | | |
| 地上部解体撤去工事 | 除去・除染工事、建屋解体撤去工事 | | | | | | | | | | | | | | | | | | | | | | | | | | | | | | | | | | | | | | | | | | | | | | |
| 本体工事設計 | 基本設計、実施設計 | | | | | | | | | | | | | | | | | | | | | | | | | | | | | | | | | | | | | | | | | | | | | | |
| 地下部解体撤去工事 | 地下解体撤去工事 | | | | | | | | | | | | | | | | | | | | | | | | | | | | | | | | | | | | | | | | | | | | | | |
| 本体工事 | 杭工事、基礎工事、地下躯体工事 | | | | | | | | | | | | | | | | | | | | | | | | | | | | | | | | | | | | | | | | | | | | | | |
| | 地上躯体工事、仕上工事、プラント工事 | | | | | | | | | | | | | | | | | | | | | | | | | | | | | | | | | | | | | | | | | | | | | | |
| | 煙突工事 | | | | | | | | | | | | | | | | | | | | | | | | | | | | | | | | | | | | | | | | | | | | | | |
| | 緑化工事 | | | | | | | | | | | | | | | | | | | | | | | | | | | | | | | | | | | | | | | | | | | | | | |
| 主要建設機械稼働台数（日平均台数） | アスファルトフィニッシャー | | | | | | | | | | | | | | | | | | | | | | | | | | | | | | | | | | | | | | | | | | | | | | |
| | 解体用重機 | | | | | | | | | | | | | | | | | | | | | | | | | | | | | | | | | | | | | | | | | | | | | 2 | 2 |
| | 杭抜機 | | | | | | | | | | | | | | | | | | | | | | | | | | | | | | | | | | | | | | | | | | | | | | |
| | 杭打機 | | | | | | | | | | | | | | | | | | | | | | | | | | | | | | | | | | | | | | | | | | | | | | |
| | クライミングクレーン | | | | | | | | | | | | | | | | | | | | | | | | | | | | | | | | | | | | | | | | | | | | | | |
| | クラムシェル 0.4～0.6m³ | | | | | | | | | | | | | | | | | | | | | | | | | | | | | | | | | | | | | | | | | | | | | | |
| | クローラクレーン 50t | | | | | | | | | | | | | | | | | | | | | | | | | | | | | | | | | | | | | | | | | | | | | | |
| | クローラクレーン 150t | | | | | | | | | | | | | | | | | | | | | | | | | | | | | | | | | | | | | | | | | | | | | | |
| | クローラクレーン 200t | 1 | 1 | 1 | 1 | 1 | 1 | | | | | | | | 1 | 1 | 1 | 1 | 1 | 1 | 1 | 1 | 1 | 1 | 1 | 1 | 1 | 1 | 1 | 1 | 1 | 1 | | | | | | | | | | | | | | | |
| | クローラクレーン 350t | | | | | | | | | | | | | | | | | | | | | | | | | | | | | | | | | | | | | | | | | | | | | | |
| | コンクリートポンプ車 | | | | | | | | | | | | | | | | | | | | | | | | | | | | | | | | | | | | | | | | | | | | | | |
| | コンクリートミキサー車 | | | | | | | | | | | | | | | | | | | | | | | | | | | | | | | | | | | | | | | | | | | | | | |
| | コンクリート破砕機 | 1 | 1 | 1 | 1 | 1 | 1 | | | | | | | | 2 | 2 | 2 | 2 | 2 | 2 | 2 | 2 | 2 | 2 | 2 | 2 | 1 | 1 | 1 | 1 | 1 | 1 | 1 | 1 | | | | | | | | | | | | | | |
| | タイヤローラ 20t | | | | | | | | | | 1 | 1 | 1 | 1 | | | | | | | | | | | | | | | | | | | | | | | | | | | | | 1 | 1 | 1 | 1 | | |
| | タワークレーン | | | | | | | | | | | | | | | | | | | | | | | | | | | | | | | | | | | | | | | | | | | | | | |
| | トラッククレーン | 1 | 1 | 1 | 1 | 1 | 1 | | | | | | | | 2 | 2 | 2 | 2 | 2 | 2 | 2 | 2 | 2 | 2 | 2 | 2 | 1 | 1 | 1 | 1 | 1 | 1 | 1 | 1 | | | | | | | | | | | | | | |
| | バックホウ 0.25m³ | | | | | | | | | | | | | | | | | | | | | | | | | | | | | | | | | | | | | | | | | | | | | | |
| | バックホウ 0.4m³ | 1 | 1 | 1 | 1 | 1 | 1 | | | | | | | | 3 | 3 | 3 | 3 | 3 | 3 | 3 | 3 | 3 | 3 | 3 | 3 | 1 | 1 | 1 | 1 | 1 | 1 | 1 | 1 | | | | | | | | | | | | | | |
| | バックホウ 0.7m³ | | | | | | | | | | 1 | 1 | 1 | 1 | | | | | | | | | | | | | | | | | | | | | | | | | | | | | 1 | 1 | 1 | 1 | 1 | 1 |
| | 発電機 | | | | | | | | | | | | | | | | | | | | | | | | | | | | | | | | | | | | | | | | | | | | | | |
| | ブルドーザ 21t | | | | | | | | | | 1 | 1 | 1 | 1 | | | | | | | | | | | | | | | | | | | | | | | | | | | | | 1 | 1 | 1 | 1 | | |
| | 油圧クレーン 200t | | | | | | | | | | | | | | | | | | | | | | | | | | | | | | | | | | | | | | | | | | | | | | |
| | ラフタークレーン 25t | | | | | | | | | | 1 | 1 | 1 | 1 | | | | | | | | | | | | | | | | | | | | | | | | | | | | | 1 | 1 | 1 | 1 | 1 | 1 |
| | ラフタークレーン 50t | | | | | | | | | | | | | | | | | | | | | | | | | | | | | | | | | | | | | | | | | | | | | 1 | 1 |
| 工事用車両（片道） | 小型車 ピーク日（台/日） | 5 | 5 | 5 | 5 | 5 | 5 | | | | 5 | 5 | 5 | 5 | 10 | 10 | 10 | 10 | 10 | 10 | 10 | 10 | 10 | 10 | 10 | 10 | 10 | 10 | 10 | 10 | 10 | 10 | 10 | 10 | | | | | | | 5 | 5 | 5 | 5 | 20 | 20 |
| | 小型車 月間台数（台/月） | 125 | 125 | 125 | 125 | 125 | 125 | | | | 125 | 125 | 125 | 125 | 250 | 250 | 250 | 250 | 250 | 250 | 250 | 250 | 250 | 250 | 250 | 250 | 250 | 250 | 250 | 250 | 250 | 250 | 250 | 250 | | | | | | | 125 | 125 | 125 | 125 | 500 | 500 |
| | 大型車 ピーク日（台/日） | 10 | 10 | 10 | 10 | 10 | 10 | | | | 10 | 10 | 10 | 10 | 60 | 60 | 60 | 60 | 60 | 60 | 60 | 60 | 60 | 60 | 60 | 50 | 50 | 50 | 50 | 50 | 50 | 50 | 48 | 48 | | | | | | | 10 | 10 | 10 | 10 | 45 | 45 |
| | 大型車 月間台数（台/月） | 100 | 100 | 100 | 100 | 100 | 100 | | | | 100 | 100 | 100 | 100 | 625 | 700 | 700 | 700 | 700 | 600 | 600 | 600 | 600 | 600 | 600 | 600 | 500 | 500 | 500 | 500 | 500 | 500 | 500 | 475 | 475 | | | | | | | 100 | 100 | 100 | 100 | 450 | 450 |
| | 合計 ピーク日（台/日） | 15 | 15 | 15 | 15 | 15 | 15 | | | | 15 | 15 | 15 | 15 | 70 | 70 | 70 | 70 | 70 | 70 | 70 | 70 | 70 | 70 | 70 | 60 | 60 | 60 | 60 | 60 | 60 | 60 | 58 | 58 | | | | | | | 15 | 15 | 15 | 15 | 65 | 65 |
| | 合計 月間台数（台/月） | 225 | 225 | 225 | 225 | 225 | 225 | | | | 225 | 225 | 225 | 225 | 875 | 950 | 950 | 950 | 950 | 850 | 850 | 850 | 850 | 850 | 850 | 850 | 750 | 750 | 750 | 750 | 750 | 750 | 750 | 725 | 725 | | | | | | | 225 | 225 | 225 | 225 | 950 | 950 |
| | 合計(小型車換算台数) ピーク日（台/日） | 22 | 22 | 22 | 22 | 22 | 22 | | | | 22 | 22 | 22 | 22 | 112 | 112 | 112 | 112 | 112 | 112 | 112 | 112 | 112 | 112 | 112 | 112 | 95 | 95 | 95 | 95 | 95 | 95 | 95 | 92 | 92 | | | | | | | 22 | 22 | 22 | 22 | 97 | 97 |
| | 合計(小型車換算台数) 月間台数（台/月） | 295 | 295 | 295 | 295 | 295 | 295 | | | | 295 | 295 | 295 | 295 | 1,313 | 1,440 | 1,440 | 1,440 | 1,440 | 1,270 | 1,270 | 1,270 | 1,270 | 1,270 | 1,270 | 1,270 | 1,100 | 1,100 | 1,100 | 1,100 | 1,100 | 1,100 | 1,100 | 1,100 | 1,058 | 1,058 | | | | | | | 295 | 295 | 295 | 295 | 1,265 | 1,265 |
| | 年間台数 月 | 1-12 | 2-13 | 3-14 | 4-15 | 5-16 | 6-17 | 7-18 | 8-19 | 9-20 | 10-21 | 11-22 | 12-23 | 13-24 | 14-25 | 15-26 | 16-27 | 17-28 | 18-29 | 19-30 | 20-31 | 21-32 | 22-33 | 23-34 | 24-35 | 25-36 | 26-37 | 27-38 | 28-39 | 29-40 | 30-41 | 31-42 | 32-43 | 33-44 | 34-45 | 35-46 | 36-47 | 37-48 | 38-49 | 39-50 | 40-51 | 41-52 | 42-53 | 43-54 | 44-55 | 45-56 | 46-57 | 47-58 | 48-59 |
| | 年間台数 小型車（台/年） | 1,125 | 1,125 | 1,250 | 1,375 | 1,500 | 1,625 | 1,750 | 2,000 | 2,250 | 2,500 | 2,625 | 2,750 | 2,875 | 3,000 | 3,000 | 3,000 | 3,000 | 3,000 | 3,000 | 3,000 | 3,000 | 3,000 | 3,000 | 2,750 | 2,500 | 2,250 | 2,000 | 1,750 | 1,500 | 1,250 | 1,000 | 875 | 750 | 625 | 500 | 1,000 | 1,500 | 2,000 | 2,500 | 3,000 | 3,500 | 4,000 | 4,500 | 4,875 | 5,250 | 5,625 | 6,000 | 6,000 |
| | 年間台数 大型車（台/年） | 900 | 900 | 1,425 | 2,025 | 2,625 | 3,225 | 3,825 | 4,425 | 5,025 | 5,625 | 6,125 | 6,625 | 7,125 | 7,625 | 7,500 | 7,300 | 7,100 | 6,900 | 6,700 | 6,600 | 6,500 | 6,375 | 6,250 | 5,650 | 5,050 | 4,450 | 3,950 | 3,450 | 2,950 | 2,450 | 1,950 | 1,550 | 1,150 | 775 | 400 | 850 | 1,300 | 1,700 | 2,100 | 2,500 | 2,900 | 3,450 | 4,000 | 4,450 | 4,900 | 5,350 | 5,800 | 5,900 |
| | 年間台数 合計（台/年） | 2,025 | 2,025 | 2,675 | 3,400 | 4,125 | 4,850 | 5,575 | 6,425 | 7,275 | 8,125 | 8,750 | 9,375 | 10,000 | 10,625 | 10,500 | 10,300 | 10,100 | 9,900 | 9,700 | 9,600 | 9,500 | 9,375 | 9,250 | 8,400 | 7,550 | 6,700 | 5,950 | 5,200 | 4,450 | 3,700 | 2,950 | 2,425 | 1,900 | 1,400 | 900 | 1,850 | 2,800 | 3,700 | 4,600 | 5,500 | 6,400 | 7,450 | 8,500 | 9,325 | 10,150 | 10,975 | 11,800 | 11,900 |

注）　：各項目での最大値

資－2

# 表１－1(2)　工事工程表（工事開始後５年目～８年目）

| 年 | | 5年目 | | | | | | | | | | | | 6年目 | | | | | | | | | | | 7年目 | | | | | | | | | | | | 8年目 | | | | | | | | | | | |
|---|---|---|---|---|---|---|---|---|---|---|---|---|---|---|---|---|---|---|---|---|---|---|---|---|---|---|---|---|---|---|---|---|---|---|---|---|---|---|---|---|---|---|---|---|---|---|---|
| 延月 | | 49 | 50 | 51 | 52 | 53 | 54 | 55 | 56 | 57 | 58 | 59 | 60 | 61 | 62 | 63 | 64 | 65 | 66 | 67 | 68 | 69 | 70 | 71 | 72 | 73 | 74 | 75 | 76 | 77 | 78 | 79 | 80 | 81 | 82 | 83 | 84 | 85 | 86 | 87 | 88 | 89 | 90 | 91 | 92 | 93 | 94 | 95 | 96 |
| 柳町（倉庫等）解体工事 | | | | | | | | | | | | | | | | | | | | | | | | | | | | | | | | | | | | | | | | | | | | | | | | |
| 準備工事 | 準備工事、仮設工事 | | | | | | | | | | | | | | | | | | | | | | | | | | | | | | | | | | | | | | | | | | | | | | | |
| 地上部解体撤去工事 | 除去・除染工事、建屋解体撤去工事 | | | | | | | | | | | | | | | | | | | | | | | | | | | | | | | | | | | | | | | | | | | | | | |
| 本体工事設計 | 基本設計、実施設計 | | | | | | | | | | | | | | | | | | | | | | | | | | | | | | | | | | | | | | | | | | | | | | |
| 地下部解体撤去工事 | 地下解体撤去工事 | | | | | | | | | | | | | | | | | | | | | | | | | | | | | | | | | | | | | | | | | | | | | | |
| 本体工事 | 杭工事、基礎工事、地下躯体工事 | | | | | | | | | | | | | | | | | | | | | | | | | | | | | | | | | | | | | | | | | | | | | | |
| | 地上躯体工事、仕上工事、プラント工事 | | | | | | | | | | | | | | | | | | | | | | | | | | | | | | | | | | | | | | | | | | | | | | |
| | 煙突工事 | | | | | | | | | | | | | | | | | | | | | | | | | | | | | | | | | | | | | | | | | | | | | | |
| | 緑化工事 | | | | | | | | | | | | | | | | | | | | | | | | | | | | | | | | | | | | | | | | | | | | | | |
| 主要建設機械稼働台数（日平均台数） | アスファルトフィニッシャー | | | | | | | | | | | | | | | | | | | | | | | | | | | | | | | | | | | | | | | | | | | | | | |
| | 解体用重機 | | | | | 3 | 3 | 3 | 3 | 3 | 3 | 3 | 3 | 3 | 3 | 3 | 3 | 3 | 3 | | | | | | | | | | | | | | | | | | | | | | | | | | | | |
| | 杭抜機 | 1 | 1 | 1 | 1 | | | | | | | | | | | | | | | | | | | | | | | | | | | | | | | | | | | | | | | | | | |
| | 杭打機 | | | | | | | | | | | | | | | | | | | | 1 | 1 | 2 | 2 | 2 | 2 | 2 | 2 | 2 | 2 | 2 | 2 | | | | | | | | | | | | | | | | |
| | クライミングクレーン | | | | | | | | | | | | | | | | | | | | | | | | | | | | | | | | 1 | 1 | 1 | 1 | 1 | 1 | 1 | 1 | 1 | 1 | 1 | 1 | 1 | 1 | 1 |
| | クラムシェル 0.4～0.6m³ | | | | | | | | | | | | | | | | | | | | | | | | | | | | | | | | 2 | 2 | 2 | 2 | 2 | | | | | | | | | | | |
| | クローラクレーン 50t | | | | | | | | | | | | | | | | | | | | | | | | | 2 | 2 | 2 | 2 | 2 | 2 | 2 | | | | | | | | | | | | | | | | |
| | クローラクレーン 150t | | | | | | | | | | | | | | | | | | | | | | | | | | | | | | | | 1 | 1 | 1 | 1 | 1 | 1 | 1 | 1 | 1 | 1 | 1 | 1 | 1 | 1 | 1 |
| | クローラクレーン 200t | | | | | | | | | | | | | 1 | 1 | 1 | 1 | 1 | 1 | 1 | 1 | 1 | 1 | 1 | 1 | 1 | 1 | 1 | 1 | 1 | 1 | 1 | 1 | 1 | 1 | 1 | 1 | 1 | 1 | 1 | 1 | 1 | 1 | 1 | 1 | 1 | 1 |
| | クローラクレーン 350t | | | | | | | | | | | | | 1 | 1 | 1 | 1 | 1 | 1 | 1 | 1 | 1 | 1 | 1 | 1 | 1 | 1 | 1 | 1 | 1 | 1 | 1 | 1 | 1 | 1 | 1 | 1 | 1 | 1 | 1 | 1 | 1 | 1 | 1 | 1 | 1 | 1 |
| | コンクリートポンプ車 | | | | | | | | | | | | | | | | | | | | | | | | | | | | | | | | 1 | 1 | 1 | 1 | 1 | 1 | 1 | 1 | 1 | 1 | 1 | 1 | 1 | 1 | 1 |
| | コンクリートミキサー車 | | | | | | | | | | | | | | | | | | | | | | | | | | | | | | | | 6 | 3 | 3 | 3 | 3 | 3 | 16 | 8 | 8 | 8 | 8 | 8 | 8 | 3 | 3 | 3 |
| | コンクリート破砕機 | | | | | 2 | 2 | 2 | 2 | 2 | 2 | 2 | 2 | 2 | 2 | 2 | 2 | 2 | 2 | | | | | | | | | | | | | | | | | | | | | | | | | | | | |
| | タイヤローラ 20t | | | | | | | | | | | | | | | | 1 | 1 | 1 | 1 | | | | | | | | | | | | | | | | | | | | | | | | | 1 | 1 | | | | |
| | タワークレーン | | | | | | | | | | | | | | | | | | | | | | | | | | | | | | | | | | | | | | | | | | | | | 1 | 1 | 1 | 1 |
| | トラッククレーン | | | | | | | | | | | | | | | | | | | | | | | | | | | | | | | | | | | | | | | | | | | | | | | | |
| | バックホウ 0.25m³ | | | | | | | | | | | | | | | | | | | | | | | | | | | | | | | | | 3 | 3 | 3 | 3 | 3 | | | | | | | | | | |
| | バックホウ 0.4m³ | 1 | 1 | 1 | 1 | | | | | | | | | | | | | | | | 1 | 1 | 2 | 3 | 3 | 2 | 2 | 2 | 2 | 2 | 2 | 2 | | | | | | | | | | | | | | | | |
| | バックホウ 0.7m³ | | | | | 2 | 2 | 2 | 2 | 2 | 2 | 2 | 2 | 2 | 2 | 2 | 3 | 3 | 3 | 2 | | | | | | | | 1 | 3 | 2 | 1 | 1 | 1 | 1 | 1 | 1 | 1 | 1 | 1 | 1 | 1 | | | | | | |
| | 発電機 | 1 | 1 | 1 | 1 | | | | | | | | | | | | | | | | 1 | 1 | 2 | 2 | 2 | 2 | 2 | 2 | 2 | 2 | 2 | 2 | | 1 | 1 | 1 | 1 | 1 | 1 | 1 | 1 | 1 | 1 | 1 | 1 | 1 | | | |
| | ブルドーザ 21t | | | | | | | | | | | | | | | | 1 | 1 | 1 | 1 | | | | | | | | | | | | | | | | | | | | | | | | | 1 | 1 | | | | |
| | 油圧クレーン 200t | | | | | | | | | | | | | | | | | | | | | | | | | | | | | | | | | | | | | | | | | | | | | | | |
| | ラフタークレーン 25t | 1 | 1 | 1 | 1 | 1 | 1 | 1 | 1 | 1 | 1 | 1 | 1 | 1 | 1 | 1 | 1 | 1 | 1 | 1 | 1 | 1 | 1 | 1 | 1 | 1 | 1 | 1 | 1 | 1 | 1 | 1 | 1 | 1 | 1 | 1 | 1 | 1 | 1 | 1 | 1 | 1 | 1 | 1 | 1 | 1 | 1 |
| | ラフタークレーン 50t | 1 | 1 | 1 | 1 | 1 | 1 | 1 | 1 | 1 | 1 | 1 | 1 | 1 | 1 | 1 | 1 | 1 | 1 | 1 | 1 | 1 | 1 | 1 | 1 | 1 | 1 | 1 | 1 | 1 | 1 | 1 | 1 | 1 | 1 | 1 | 1 | 1 | 1 | 1 | 1 | 1 | 1 | 1 | 2 | 2 | 2 |
| 工事用車両（片道） | 小型車 ピーク日（台/日） | 20 | 20 | 20 | 20 | 20 | 20 | 20 | 20 | 20 | 20 | 20 | 30 | 30 | 40 | 40 | 50 | 50 | 50 | 10 | 20 | 20 | 20 | 20 | 20 | 30 | 30 | 30 | 30 | 30 | 30 | 30 | 30 | 40 | 40 | 40 | 40 | 40 | 40 | 40 | 40 | 60 | 60 | 60 | 60 | 80 | 80 | 100 | 100 |
| | 小型車 月間台数（台/月） | 500 | 500 | 500 | 500 | 500 | 500 | 500 | 500 | 500 | 500 | 500 | 750 | 750 | 1,000 | 1,000 | 1,250 | 1,250 | 1,250 | 250 | 500 | 500 | 500 | 500 | 500 | 750 | 750 | 750 | 750 | 750 | 750 | 750 | 750 | 1,000 | 1,000 | 1,000 | 1,000 | 1,000 | 1,000 | 1,000 | 1,000 | 1,500 | 1,500 | 1,500 | 1,500 | 2,000 | 2,000 | 2,500 | 2,500 |
| | 大型車 ピーク日（台/日） | 40 | 40 | 40 | 40 | 55 | 55 | 55 | 55 | 55 | 55 | 55 | 55 | 55 | 55 | 55 | 210 | 210 | 210 | 25 | 55 | 55 | 65 | 65 | 65 | 70 | 70 | 75 | 85 | 80 | 75 | 75 | 80 | 100 | 100 | 110 | 110 | 110 | 150 | 110 | 110 | 105 | 105 | 115 | 115 | 115 | 100 | 100 | 100 |
| | 大型車 月間台数（台/月） | 400 | 400 | 400 | 400 | 550 | 550 | 550 | 550 | 550 | 550 | 550 | 550 | 550 | 550 | 550 | 2,100 | 2,100 | 2,100 | 250 | 550 | 550 | 650 | 650 | 650 | 700 | 700 | 750 | 850 | 800 | 750 | 750 | 800 | 1,000 | 1,000 | 1,100 | 1,100 | 1,100 | 1,500 | 1,100 | 1,100 | 1,050 | 1,050 | 1,150 | 1,150 | 1,150 | 1,000 | 1,000 | 1,000 |
| | 合計 ピーク日（台/日） | 60 | 60 | 60 | 60 | 75 | 75 | 75 | 75 | 75 | 75 | 75 | 85 | 85 | 95 | 95 | 260 | 260 | 260 | 35 | 75 | 75 | 85 | 85 | 85 | 100 | 100 | 105 | 115 | 110 | 105 | 105 | 110 | 140 | 140 | 150 | 150 | 150 | 190 | 150 | 150 | 165 | 165 | 175 | 175 | 195 | 180 | 200 | 200 |
| | 合計 月間台数（台/月） | 900 | 900 | 900 | 900 | 1,050 | 1,050 | 1,050 | 1,050 | 1,050 | 1,050 | 1,050 | 1,300 | 1,300 | 1,550 | 1,550 | 3,350 | 3,350 | 3,350 | 500 | 1,050 | 1,050 | 1,150 | 1,150 | 1,150 | 1,450 | 1,450 | 1,500 | 1,600 | 1,550 | 1,500 | 1,500 | 1,550 | 2,000 | 2,000 | 2,100 | 2,100 | 2,100 | 2,500 | 2,100 | 2,100 | 2,550 | 2,550 | 2,650 | 2,650 | 3,150 | 3,000 | 3,500 | 3,500 |
| | 合計(小型車換算台数) ピーク日（台/日） | 88 | 88 | 88 | 88 | 114 | 114 | 114 | 114 | 114 | 114 | 114 | 124 | 124 | 134 | 134 | 407 | 407 | 407 | 53 | 114 | 114 | 131 | 131 | 131 | 149 | 149 | 158 | 175 | 166 | 158 | 158 | 166 | 210 | 210 | 227 | 227 | 227 | 295 | 227 | 227 | 239 | 239 | 256 | 256 | 276 | 250 | 270 | 270 |
| | 合計(小型車換算台数) 月間台数（台/月） | 1,180 | 1,180 | 1,180 | 1,180 | 1,435 | 1,435 | 1,435 | 1,435 | 1,435 | 1,435 | 1,435 | 1,685 | 1,685 | 1,935 | 1,935 | 4,820 | 4,820 | 4,820 | 675 | 1,435 | 1,435 | 1,605 | 1,605 | 1,605 | 1,940 | 1,940 | 2,025 | 2,195 | 2,110 | 2,025 | 2,025 | 2,110 | 2,700 | 2,700 | 2,870 | 2,870 | 2,870 | 3,550 | 2,870 | 2,870 | 3,285 | 3,285 | 3,455 | 3,455 | 3,955 | 3,700 | 4,200 | 4,200 |
| | 年間台数 月 | 49-60 | 50-61 | 51-62 | 52-63 | 53-64 | 54-65 | 55-66 | 56-67 | 57-68 | 58-69 | 59-70 | 60-71 | 61-72 | 62-73 | 63-74 | 64-75 | 65-76 | 66-77 | 67-78 | 68-79 | 69-80 | 70-81 | 71-82 | 72-83 | 73-84 | 74-85 | 75-86 | 76-87 | 77-88 | 78-89 | 79-90 | 80-91 | 81-92 | 82-93 | 83-94 | 84-95 | 85-96 | 86-97 | 87-98 | 88-99 | 89-100 | 90-101 | 91-102 | 92-103 | 93-104 | 94-105 | 95-106 | 96-107 |
| | 年間台数 小型車（台/年） | 6,250 | 6,500 | 7,000 | 7,500 | 8,250 | 9,000 | 9,750 | 9,500 | 9,500 | 9,500 | 9,500 | 9,500 | 9,250 | 9,250 | 9,000 | 8,750 | 8,250 | 7,750 | 7,250 | 7,750 | 8,000 | 8,500 | 9,000 | 9,500 | 10,000 | 10,250 | 10,500 | 10,750 | 11,000 | 11,750 | 12,500 | 13,250 | 14,000 | 15,000 | 16,000 | 17,500 | 19,000 | 21,000 | 23,000 | 26,000 | 29,000 | 31,500 | 34,000 | 36,500 | 39,000 | 41,000 | 43,000 | 44,500 |
| | 年間台数 大型車（台/年） | 6,000 | 6,150 | 6,300 | 6,450 | 8,150 | 9,700 | 11,250 | 10,950 | 10,950 | 10,950 | 11,050 | 11,150 | 11,250 | 11,400 | 11,550 | 11,750 | 10,500 | 9,200 | 7,850 | 8,350 | 8,600 | 9,050 | 9,400 | 9,850 | 10,300 | 10,700 | 11,500 | 11,850 | 12,100 | 12,350 | 12,650 | 13,050 | 13,400 | 13,550 | 13,550 | 13,450 | 13,350 | 13,250 | 12,750 | 12,650 | 12,550 | 12,500 | 12,400 | 12,300 | 12,150 | 11,900 | 11,650 | 11,400 |
| | 年間台数 合計（台/年） | 12,250 | 12,650 | 13,300 | 13,950 | 16,400 | 18,700 | 21,000 | 20,450 | 20,450 | 20,450 | 20,550 | 20,650 | 20,500 | 20,650 | 20,550 | 20,500 | 18,750 | 16,950 | 15,100 | 16,100 | 16,600 | 17,550 | 18,400 | 19,350 | 20,300 | 20,950 | 22,000 | 22,600 | 23,100 | 24,100 | 25,150 | 26,300 | 27,400 | 28,550 | 29,550 | 30,950 | 32,350 | 34,250 | 35,750 | 38,650 | 41,550 | 44,000 | 46,400 | 48,800 | 51,150 | 52,900 | 54,650 | 55,900 |

注）　：各項目での最大値

# 表 1−1(3)　工事工程表（工事開始後９年目～10 年目）

| 年 | | | 9年目 | | | | | | | | | | | | 10年目 | | | | | | | | | |
|---|---|---|---|---|---|---|---|---|---|---|---|---|---|---|---|---|---|---|---|---|---|---|---|---|
| 延月 | | | 97 | 98 | 99 | 100 | 101 | 102 | 103 | 104 | 105 | 106 | 107 | 108 | 109 | 110 | 111 | 112 | 113 | 114 | 115 | 116 | 117 | 118 | 119 | 120 |
| 柳町（倉庫等）解体工事 | | | | | | | | | | | | | | | | | | | | | | | | | | |
| 準備工事 | 準備工事、仮設工事 | | | | | | | | | | | | | | | | | | | | | | | | | |
| 地上部解体撤去工事 | 除去・除染工事、建屋解体撤去工事 | | | | | | | | | | | | | | | | | | | | | | | | | |
| 本体工事設計 | 基本設計、実施設計 | | | | | | | | | | | | | | | | | | | | | | | | | |
| 地下部解体撤去工事 | 地下解体撤去工事 | | | | | | | | | | | | | | | | | | | | | | | | | |
| 本体工事 | 杭工事、基礎工事、地下躯体工事 | | | | | | | | | | | | | | | | | | | | | | | | | |
| | 地上躯体工事、仕上工事、プラント工事 | | | | | | | | | | | | | | | | | | | | | | | | | |
| | 煙突工事 | | | | | | | | | | | | | | | | | | | | | | | | | |
| | 緑化工事 | | | | | | | | | | | | | | | | | | 試運転 | | | | | | | |
| 主要建設機械稼働台数（日平均台数） | アスファルトフィニッシャー | | | | | | | | | | | | | | 1 | 1 | 1 | 1 | | | | | | | | |
| | 解体用重機 | | | | | | | | | | | | | | | | | | | | | | | | | |
| | 杭抜機 | | | | | | | | | | | | | | | | | | | | | | | | | |
| | 杭打機 | | | | | | | | | | | | | | | | | | | | | | | | | |
| | クライミングクレーン | | | | | | | | | | | | | | | | | | | | | | | | | |
| | クラムシェル 0.4～0.6m$^3$ | | | | | | | | | | | | | | | | | | | | | | | | | |
| | クローラクレーン 50t | | | | | | | | | | | | | | | | | | | | | | | | | |
| | クローラクレーン 150t | | 1 | 1 | 1 | 1 | 1 | 1 | 1 | | | | | | | | | | | | | | | | | |
| | クローラクレーン 200t | | 1 | 1 | 1 | 1 | 1 | 1 | 1 | 1 | 1 | 1 | 1 | 1 | 1 | 1 | 1 | 1 | | | | | | | | |
| | クローラクレーン 350t | | 1 | 1 | 1 | 1 | 1 | 1 | 1 | 1 | 1 | 1 | 1 | 1 | 1 | 1 | 1 | 1 | | | | | | | | |
| | コンクリートポンプ車 | | 1 | 1 | 1 | 1 | 1 | 1 | 1 | 1 | 1 | | | | | | | | | | | | | | | |
| | コンクリートミキサー車 | | 3 | 3 | 3 | 3 | 3 | 2 | 2 | 2 | 2 | | | | | | | | | | | | | | | |
| | コンクリート破砕機 | | | | | | | | | | | | | | | | | | | | | | | | | |
| | タイヤローラ 20t | | | | | | | | | | | | | | 1 | 1 | 1 | 1 | | | | | | | | |
| | タワークレーン | | 1 | 1 | 1 | 1 | 1 | 1 | 1 | 1 | | | | | | | | | | | | | | | | |
| | トラッククレーン | | | | | | | | | | | | | | | | | | | | | | | | | |
| | バックホウ 0.25m$^3$ | | | | | | | | | | | | | | | | | | | | | | | | | |
| | バックホウ 0.4m$^3$ | | | | | | | | 1 | 1 | 1 | 1 | 1 | 1 | 1 | 1 | 1 | 1 | | | | | | | | |
| | バックホウ 0.7m$^3$ | | | | | | | | 1 | 1 | 1 | 1 | 1 | 1 | 1 | 1 | 1 | 1 | | | | | | | | |
| | 発電機 | | | | | | | | | | | | | | | | | | | | | | | | | |
| | ブルドーザ 21t | | | | | | | | | | | | | | | | | | | | | | | | | |
| | 油圧クレーン 200t | | | | | | | | | 1 | | | | | | | | | | | | | | | | |
| | ラフタークレーン 25t | | 1 | 1 | 1 | 1 | 1 | 1 | 1 | 1 | 1 | 1 | 1 | 1 | 1 | 1 | 1 | 1 | | | | | | | | |
| | ラフタークレーン 50t | | 2 | 2 | 2 | 2 | 2 | 2 | 2 | 2 | 2 | 2 | 2 | 2 | 2 | 1 | 1 | 1 | | | | | | | | |
| 工事用車両（片道） | 小型車 | ピーク日（台/日） | 120 | 120 | 160 | 160 | 160 | 160 | 160 | 160 | 160 | 160 | 160 | 160 | 100 | 100 | 60 | 60 | 30 | 30 | 30 | 30 | 30 | 30 | 30 | 30 |
| | | 月間台数（台/月） | 3,000 | 3,000 | 4,000 | 4,000 | 4,000 | 4,000 | 4,000 | 4,000 | 4,000 | 4,000 | 4,000 | 4,000 | 2,500 | 2,500 | 1,500 | 1,500 | 750 | 750 | 750 | 750 | 750 | 750 | 750 | 750 |
| | 大型車 | ピーク日（台/日） | 100 | 100 | 100 | 100 | 100 | 95 | 105 | 100 | 90 | 75 | 75 | 75 | 85 | 80 | 80 | 80 | | | | | | | | |
| | | 月間台数（台/月） | 1,000 | 1,000 | 1,000 | 1,000 | 1,000 | 950 | 1,050 | 1,000 | 900 | 750 | 750 | 750 | 850 | 800 | 800 | 800 | | | | | | | | |
| | 合計 | ピーク日（台/日） | 220 | 220 | 260 | 260 | 260 | 255 | 265 | 260 | 250 | 235 | 235 | 235 | 185 | 180 | 140 | 140 | 30 | 30 | 30 | 30 | 30 | 30 | 30 | 30 |
| | | 月間台数（台/月） | 4,000 | 4,000 | 5,000 | 5,000 | 5,000 | 4,950 | 5,050 | 5,000 | 4,900 | 4,750 | 4,750 | 4,750 | 3,350 | 3,300 | 2,300 | 2,300 | 750 | 750 | 750 | 750 | 750 | 750 | 750 | 750 |
| | 合計(小型車換算台数) | ピーク日（台/日） | 290 | 290 | 330 | 330 | 330 | 322 | 339 | 330 | 313 | 288 | 288 | 288 | 245 | 236 | 196 | 196 | 30 | 30 | 30 | 30 | 30 | 30 | 30 | 30 |
| | | 月間台数（台/月） | 4,700 | 4,700 | 5,700 | 5,700 | 5,700 | 5,615 | 5,785 | 5,700 | 5,530 | 5,275 | 5,275 | 5,275 | 3,945 | 3,860 | 2,860 | 2,860 | 750 | 750 | 750 | 750 | 750 | 750 | 750 | 750 |
| | 年間台数 | 月 | 97-108 | 98-109 | 99-110 | 100-111 | 101-112 | 102-113 | 103-114 | 104-115 | 105-116 | 106-117 | 107-118 | 108-119 | 109-120 | | | | | | | | | | | |
| | | 小型車（台/年） | 46,000 | 45,500 | 45,000 | 42,500 | 40,000 | 36,750 | 33,500 | 30,250 | 27,000 | 23,750 | 20,500 | 17,250 | 14,000 | | | | | | | | | | | |
| | | 大型車（台/年） | 11,150 | 11,000 | 10,800 | 10,600 | 10,400 | 9,400 | 8,450 | 7,400 | 6,400 | 5,500 | 4,750 | 4,000 | 3,250 | | | | | | | | | | | |
| | | 合計（台/年） | 57,150 | 56,500 | 55,800 | 53,100 | 50,400 | 46,150 | 41,950 | 37,650 | 33,400 | 29,250 | 25,250 | 21,250 | 17,250 | | | | | | | | | | | |

注）　：各項目での最大値

# 資料１－２　予測時期の設定

**（１）建設機械の稼働に伴う大気質、騒音、振動**

建設機械の稼働及び工事用車両の走行に伴う大気質、騒音、振動等の予測時期の設定については、表 1－1(1)～(3)に示した主要な建設機械及び稼働台数を踏まえ、以下のような考え方から時期の設定を行った。

ア　大気質

予測時期は、図 1－1(1)、(2)に示すとおりである。予測時期の設定にあたっては、月間台数に基づき想定した建設機械の稼働に伴い発生する窒素酸化物及び粒子状物質の排出量が最大となる時期を予測時期とし、長期濃度予測は排出量（１年間の合計）が最大となる工事開始後 74 ヵ月目～85 ヵ月目の１年間、短期将来濃度予測は、排出量（１ヵ月）が最大となる工事開始後 76 ヵ月目とした。

イ　騒音、振動

騒音、振動については、図 1－2 に示すとおり、月ごとの日稼働台数による騒音パワーレベル、振動レベルが最大となる時期とし、工事開始後 64～66 ヵ月目とした。

**（２）工事用車両の走行に伴う大気質、騒音、振動、地域交通**

工事用車両の走行に伴う大気質、騒音、振動、地域交通の予測時期の設定については、表 1－1(1)～(3)に示した工事用車両の台数を踏まえ、以下のような考え方から時期の設定を行った。

ア　大気質

工事用車両の走行に伴う長期将来濃度の予測時期は、工事期間中で大型車の交通量が最も多くなる工事開始後 82～93 ヵ月目、83～94 ヵ月目の１年間とした。

イ　騒音、振動、地域交通

工事用車両の走行に伴う騒音、振動については、大型車が最も多くなる 64～66 ヵ月目のピーク日台数、地域交通についても小型車と大型車の合計（小型車換算台数）が最も多くなる 64～66 ヵ月目のピーク日台数とした。

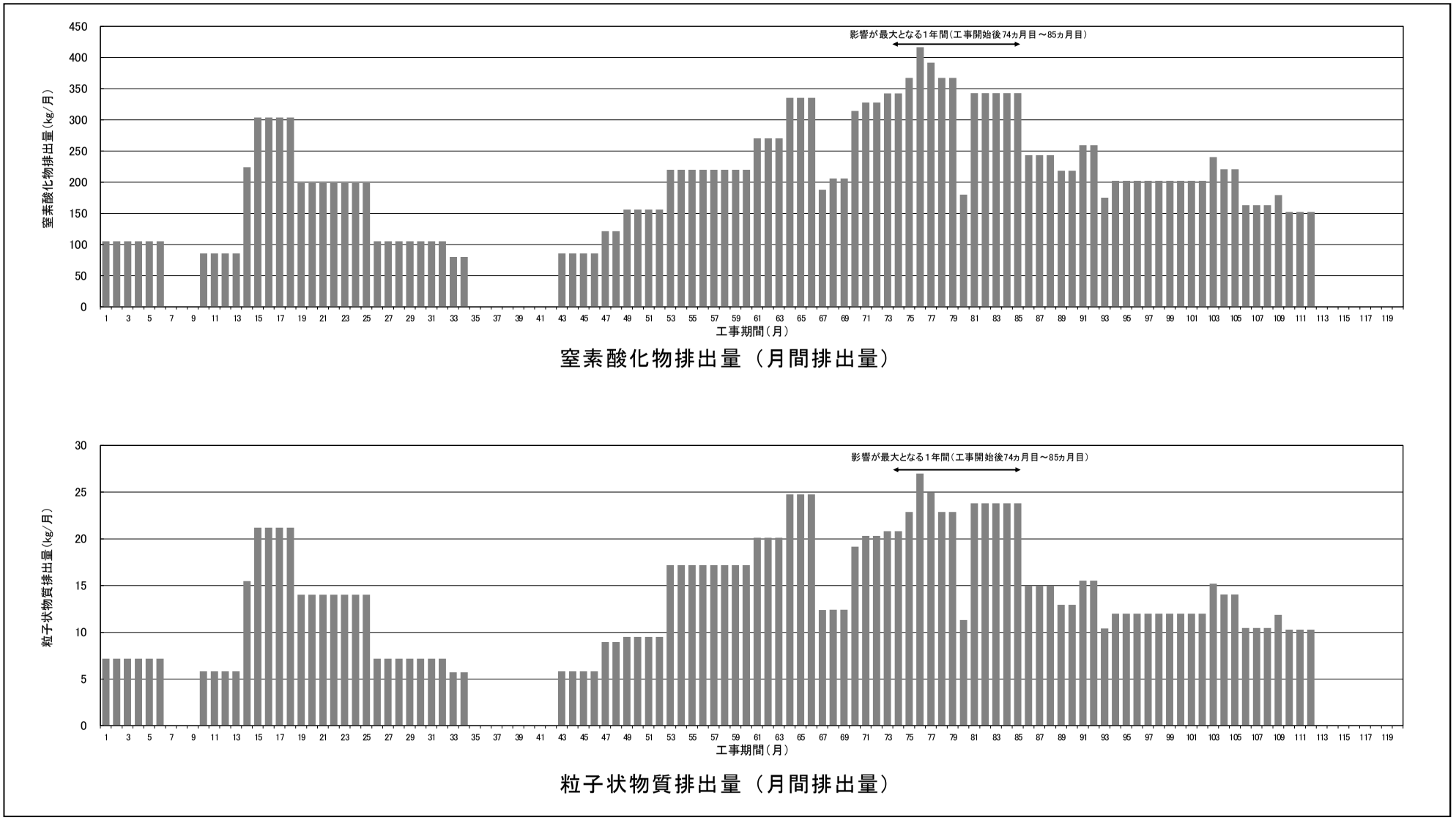


図 1－1(1)　建設機械の稼働に係る予測時期の設定（大気質：月間排出量）

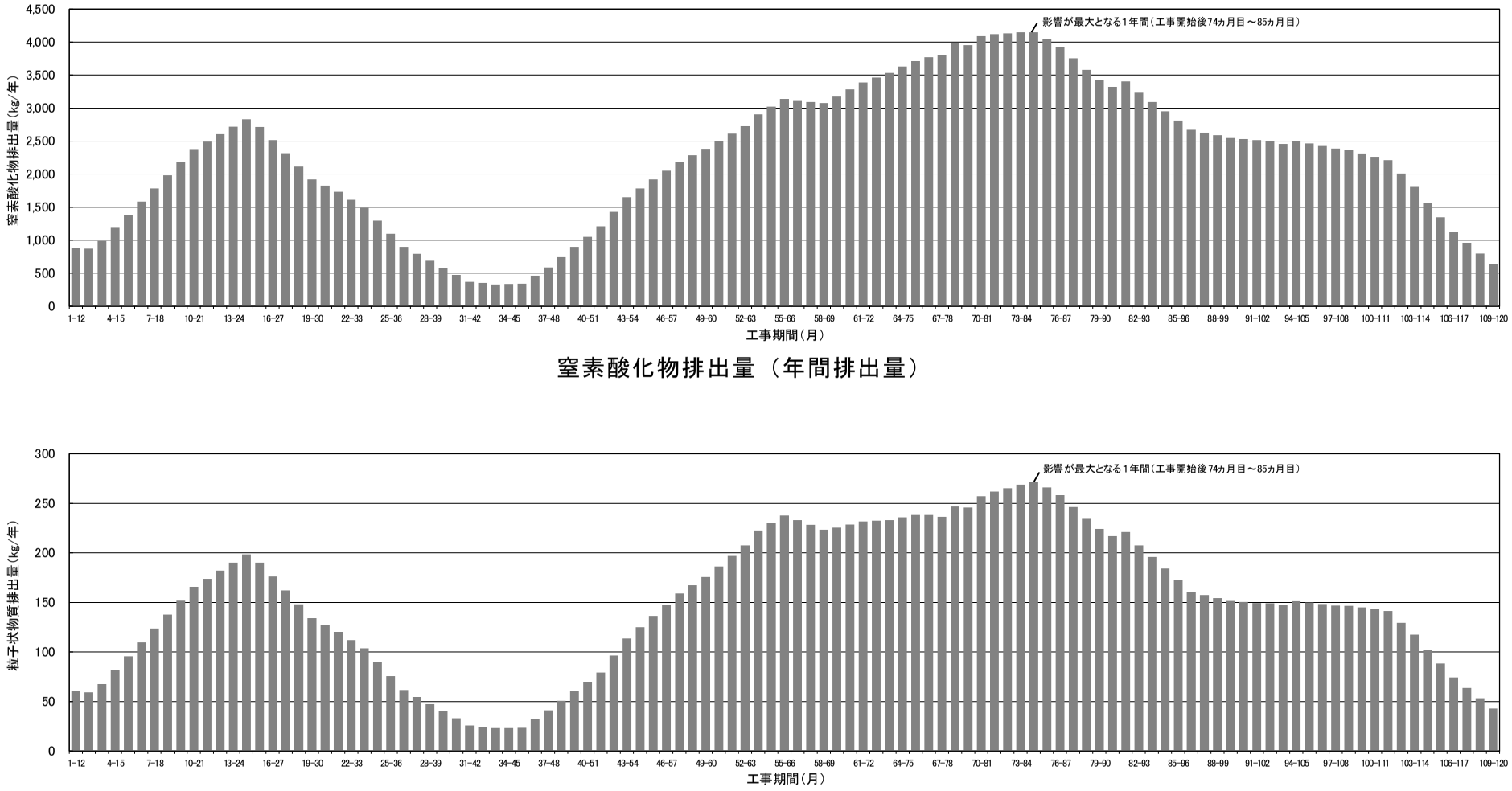


図 1－1(2)　建設機械の稼働に係る予測時期の設定（大気質：年間排出量）

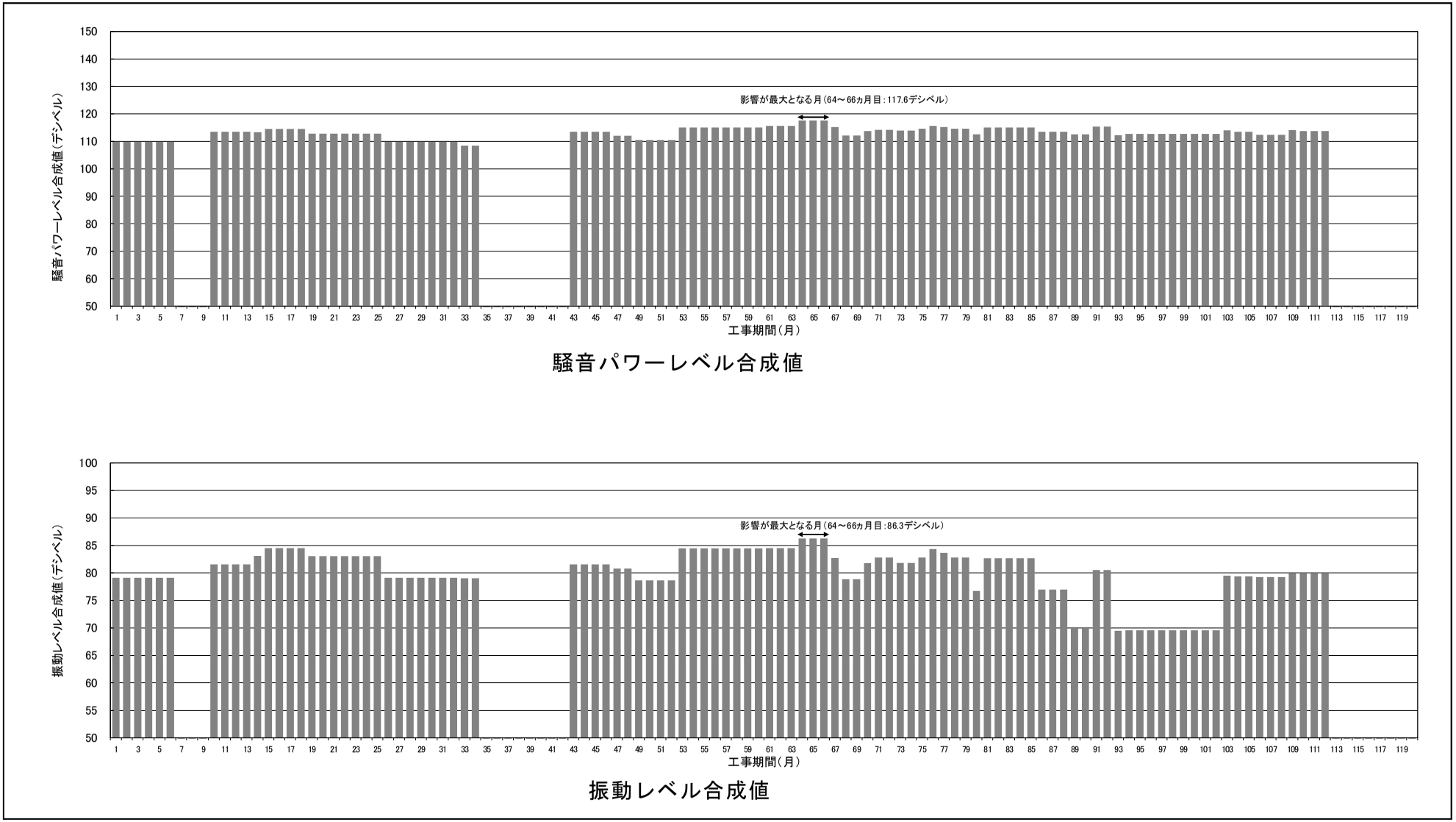


図 1－2　建設機械の稼働に係る予測時期の設定（騒音、振動）

# ２　温室効果ガス関連

# ２　温室効果ガス関連

## 資料２－１　ごみ組成及びごみ質の設定

計画施設における年間の廃棄物焼却量とその中に含まれる合成繊維及びプラスチック類の量は、基準ごみの場合のごみ組成及びごみ質の計画値から設定した。

ごみ組成は表 2－1 に、ごみ質は表 2－2 に示すとおりである。

**表 2－1　ごみ組成の計画値（基準ごみ、乾ベース）**

| 項　目 | 割　合 |
|---|---|
| 紙類 | 43.7% |
| 厨芥類 | 10.7% |
| 木・草類 | 6.7% |
| 繊維類 | 10.3% |
| プラスチック類 | 18.7% |
| ゴム・皮革類 | 1.2% |
| 金属類 | 1.4% |
| ガラス・陶器類 | 2.0% |
| 土・石塊類 | 0.2% |
| その他 | 5.1% |

**表 2－2　ごみ質の計画値（基準ごみ）**

| 組　成 | | 基準ごみ |
|---|---|---|
| 三成分 | 可燃分 | 48.8% |
| | 水分 | 44.6% |
| | 灰分 | 6.6% |

なお、廃棄物中の繊維類のうちの合成繊維の割合は、「温室効果ガス排出量算定・報告マニュアル ver4.9」（令和５年４月　環境省　経済産業省）に基づき 53.2%（乾ベース）とし、合成繊維の焼却量は以下のとおり設定した。

【合成繊維の焼却量】

合成繊維の焼却量（ｔ/年）＝廃棄物焼却量［乾重量］（ｔ/年）×廃棄物中の繊維類の割合［乾重量］(%）×繊維類中の合成繊維の割合（%）

＝67,588ｔ/年 × 10.3%(÷100) × 53.2%(÷100)

＝3,704ｔ/年

# 資料２－２　温室効果ガスの予測式

## （１）施設の稼動に伴う温室効果ガスの排出量及び削減貢献量

予測式は、「温室効果ガス排出量算定・報告マニュアル ver4.9」（令和５年４月　環境省　経済産業省）に示される算定方法を用いた。

ア　施設の稼働に伴う温室効果ガスの排出量

【一般廃棄物の焼却に伴う $CH_4$ の排出】

排出量（t-$CH_4$）　＝一般廃棄物の焼却量［湿重量］（ｔ/年）× 排出係数（t-$CH_4$/ｔ）
＝122,000ｔ/年 × 0.00000095ｔ-$CH_4$/ｔ
＝0.1ｔ-$CH_4$/年

【一般廃棄物の焼却に伴う $N_2O$ の排出】

排出量（t-$N_2O$）　＝一般廃棄物の焼却量［湿重量］（ｔ/年）× 排出係数（t-$N_2O$/ｔ）
＝122,000ｔ/年 × 0.0000567ｔ-$N_2O$/ｔ
＝6.9ｔ-$N_2O$/年

【一般廃棄物の焼却に伴う $CO_2$ の排出】

排出量（t-$CO_2$）　＝合成繊維ごみ焼却量［乾重量］（ｔ/年）× 排出係数（t-$CO_2$/ｔ）
（合成繊維焼却）　＝3,704ｔ/年 × 2.29ｔ-$CO_2$/ｔ
＝8,482.2ｔ-$CO_2$/年

排出量（t-$CO_2$）　＝プラスチックごみ焼却量［乾重量］（ｔ/年）× 排出係数（t-$CO_2$/ｔ）
（プラスチック焼却）＝12,639ｔ/年 × 2.77ｔ-$CO_2$/ｔ
＝35,010.0ｔ-$CO_2$/年

【電気の使用に伴う $CO_2$ の排出】

排出量（t-$CO_2$）　＝電気使用量（kWh/年）× 排出係数（kg-$CO_2$/kWh）
＝16,900,000 kWh/年 × 0.000451 t-$CO_2$/kWh
＝7,621.9ｔ-$CO_2$/年

【都市ガスの使用に伴う $CO_2$ の排出】

排出量（t-$CO_2$）　＝ガス使用量（$m^3_N$/年）× 排出係数（kg-$CO_2$/1,000$m^3_N$）
＝217,000 $m^3_N$/年 × 2.23 t-$CO_2$/1,000$m^3_N$
＝483.9ｔ-$CO_2$/年

イ　施設の稼働に伴う温室効果ガスの削減貢献量（発電、熱(蒸気)利用）

【発電に伴う $CO_2$ の削減貢献】

削減貢献量（t-$CO_2$）＝発電量（kWh/年）×排出係数（kg-$CO_2$/kWh）
＝64,300,000 kWh/年 × 0.000451 t-$CO_2$/kWh
＝28,999.3ｔ-$CO_2$/年

【熱（蒸気）の利用に伴う $CO_2$ の削減貢献】

削減貢献量（t-$CO_2$）＝蒸気利用量（MJ/年）×排出係数（t-$CO_2$/MJ）
＝8,280,000 MJ/年 × 0.000057t-$CO_2$/MJ
＝472.0ｔ-$CO_2$/年

# ３　大気質関連

# ３　大気質関連

## 資料３－１　気象の異常年検定結果

横浜地方気象台のデータを用いて、予測に用いた１年間連続調査の気象条件が異常でなかったか否かについて検定を行った。

検定手法は、Ｆ分布棄却検定法[注)]を採用し、有意水準（危険率）は１％とした。

①　検定項目

検定項目は次のとおりとした。

・風向出現頻度

・風速出現頻度

②　統計年度と検定年度

統計年度は平成 22 年９月から令和２年８月までの 10 年間とした。

検定年度は令和２年９月から令和３年８月の１年間とした。

③　検定結果

検定結果は表 3－1 に示すとおり、有意水準１％ですべての項目が採択されることから、検定年度の気象は平年と比べて有意な差がなく異常でないと判断した。

---

注）Ｆ分布棄却検定法は、正規分布をなす母集団からとりだした標本のうち、不良標本とみられるものを$X_0$、その他のものを$X_1$、$X_2$、‥‥$X_i$、‥‥$X_n$とした場合、$X_0$を除く他のｎ個の標本の平均を$\overline{X} = \sum_{i}^{n} X_i / n$として、標本の分散からみて$X_0$と$\overline{X}$との差が有意ならば$X_0$を棄却する方法である。

## 表 3－1　気象の異常年検定結果（横浜地方気象台）

風向出現回数の異常年棄却検定

| 風向出現頻度（%） | 統計年 | | | | | | | | | | | | 検定年 | F0 | 判　定 ○採択，×棄却 | 棄却限界 (1%) | |
|---|---|---|---|---|---|---|---|---|---|---|---|---|---|---|---|---|---|
| | H22.9～H23.8 | H23.9～H24.8 | H24.9～H25.8 | H25.9～H26.8 | H26.9～H25.8 | H27.9～H28.8 | H28.9～H29.8 | H29.9～H30.8 | H30.9～R1.8 | R1.9～R2.8 | — X | S | R2.9～R3.8 | | 1% | 上限 | 下限 |
| N | 27.7 | 30.0 | 30.6 | 29.5 | 28.3 | 27.2 | 29.2 | 26.1 | 32.3 | 30.3 | 29.14 | 1.74 | 26.0 | 2.72 | ○ | 35.4 | 22.9 |
| NNE | 10.7 | 8.5 | 7.2 | 7.4 | 7.6 | 9.7 | 8.3 | 6.7 | 7.7 | 7.7 | 8.15 | 1.14 | 6.0 | 2.88 | ○ | 12.2 | 4.1 |
| NE | 3.9 | 3.3 | 2.6 | 2.6 | 3.1 | 3.6 | 2.4 | 2.9 | 2.6 | 3.1 | 3.00 | 0.46 | 2.6 | 0.53 | ○ | 4.6 | 1.4 |
| ENE | 5.5 | 5.9 | 3.7 | 4.2 | 5.4 | 6.0 | 4.7 | 3.9 | 5.7 | 5.2 | 5.02 | 0.80 | 6.6 | 3.37 | ○ | 7.9 | 2.2 |
| E | 6.9 | 7.6 | 6.2 | 5.4 | 6.3 | 8.1 | 7.5 | 6.8 | 6.8 | 6.6 | 6.81 | 0.74 | 7.9 | 1.90 | ○ | 9.5 | 4.2 |
| ESE | 4.1 | 4.8 | 4.3 | 4.2 | 4.5 | 4.9 | 4.6 | 4.6 | 4.2 | 4.7 | 4.51 | 0.25 | 4.7 | 0.53 | ○ | 5.4 | 3.6 |
| SE | 2.3 | 3.0 | 2.7 | 2.6 | 3.1 | 2.9 | 2.6 | 2.7 | 3.2 | 2.5 | 2.75 | 0.27 | 3.0 | 0.62 | ○ | 3.7 | 1.8 |
| SSE | 3.3 | 4.7 | 4.7 | 3.9 | 3.8 | 3.9 | 4.6 | 4.6 | 5.9 | 4.4 | 4.37 | 0.68 | 4.9 | 0.45 | ○ | 6.8 | 1.9 |
| S | 4.5 | 6.1 | 7.3 | 5.9 | 5.1 | 6.3 | 6.1 | 5.3 | 5.2 | 4.8 | 5.66 | 0.79 | 5.7 | 0.00 | ○ | 8.5 | 2.8 |
| SSW | 7.0 | 7.9 | 8.8 | 8.9 | 8.6 | 7.2 | 8.9 | 11.7 | 7.3 | 8.6 | 8.48 | 1.29 | 8.2 | 0.05 | ○ | 13.1 | 3.9 |
| SW | 12.4 | 8.1 | 9.6 | 11.3 | 9.9 | 8.1 | 8.0 | 10.2 | 7.8 | 8.7 | 9.43 | 1.48 | 9.0 | 0.06 | ○ | 14.7 | 4.1 |
| WSW | 4.7 | 2.6 | 4.2 | 4.1 | 4.6 | 3.5 | 3.2 | 4.0 | 2.7 | 2.6 | 3.61 | 0.76 | 3.5 | 0.02 | ○ | 6.3 | 0.9 |
| W | 1.6 | 1.1 | 1.4 | 1.7 | 1.5 | 1.3 | 1.5 | 1.6 | 1.0 | 1.2 | 1.39 | 0.22 | 1.3 | 0.05 | ○ | 2.2 | 0.6 |
| WNW | 0.8 | 0.8 | 0.8 | 0.8 | 1.0 | 0.8 | 1.2 | 1.0 | 0.8 | 0.7 | 0.86 | 0.16 | 1.0 | 0.36 | ○ | 1.4 | 0.3 |
| NW | 0.7 | 0.8 | 0.8 | 1.0 | 1.0 | 0.7 | 0.9 | 1.0 | 0.9 | 1.2 | 0.89 | 0.14 | 1.0 | 0.95 | ○ | 1.4 | 0.4 |
| NNW | 3.9 | 5.1 | 5.1 | 6.4 | 6.2 | 5.7 | 6.0 | 6.9 | 5.8 | 7.7 | 5.87 | 0.99 | 8.5 | 5.60 | ○ | 9.4 | 2.3 |
| 静穏 | 0.1 | 0.0 | 0.0 | 0.1 | 0.1 | 0.1 | 0.1 | 0.0 | 0.0 | 0.1 | 0.05 | 0.03 | 0.1 | 0.01 | ○ | 0.2 | 0.0 |

※静穏：風速 0.2m/s 以下

風速階級出現回数の異常年棄却検定表

| 風速出現頻度（%） | 統計年 | | | | | | | | | | | | 検定年 | F0 | 判　定 ○採択，×棄却 | 棄却限界 (1%) | |
|---|---|---|---|---|---|---|---|---|---|---|---|---|---|---|---|---|---|
| | H22.9～H23.8 | H23.9～H24.8 | H24.9～H25.8 | H25.9～H26.8 | H26.9～H25.8 | H27.9～H28.8 | H28.9～H29.8 | H29.9～H30.8 | H30.9～R1.8 | R1.9～R2.8 | — X | S | R2.9～R3.8 | | 1% | 上限 | 下限 |
| ～0.9 | 2.4 | 2.1 | 1.9 | 2.3 | 2.6 | 2.1 | 2.7 | 2.2 | 2.8 | 2.4 | 2.3 | 0.3 | 2.8 | 2.75 | ○ | 3.3 | 1.4 |
| 1.0～1.9 | 17.2 | 15.9 | 14.5 | 15.2 | 17.6 | 17.1 | 17.5 | 15.9 | 16.7 | 16.6 | 16.4 | 1.0 | 18.2 | 2.75 | ○ | 19.9 | 12.9 |
| 2.0～2.9 | 26.4 | 26.9 | 24.5 | 24.8 | 25.5 | 28.1 | 25.8 | 24.2 | 25.1 | 25.3 | 25.7 | 1.1 | 25.5 | 0.01 | ○ | 29.7 | 21.6 |
| 3.0～3.9 | 21.3 | 22.7 | 22.8 | 21.5 | 22.0 | 23.1 | 22.2 | 22.1 | 21.7 | 22.1 | 22.1 | 0.5 | 22.3 | 0.04 | ○ | 24.1 | 20.2 |
| 4.0～5.9 | 22.5 | 23.0 | 24.2 | 23.8 | 22.8 | 21.7 | 23.0 | 22.2 | 23.3 | 21.8 | 22.8 | 0.8 | 20.9 | 5.13 | ○ | 25.5 | 20.1 |
| 6.0～7.9 | 7.4 | 7.0 | 8.6 | 9.0 | 7.7 | 6.2 | 6.5 | 9.6 | 8.3 | 8.7 | 7.9 | 1.1 | 7.4 | 0.21 | ○ | 11.7 | 4.1 |
| 8.0～8.9 | 2.8 | 2.5 | 3.6 | 3.3 | 1.9 | 1.7 | 2.4 | 3.8 | 2.3 | 3.1 | 2.7 | 0.7 | 2.9 | 0.03 | ○ | 5.2 | 0.3 |

# 資料３－２　気象解析結果

４季調査の各調査地点の風向、風速の調査結果を表 3－2 に示す。

**表 3－2　風向、風速調査結果（４季調査）**

| 調査地点 | | 調査時期 | 有効測定日数 | 測定時間 | 期間平均値 | 1時間値の最高値 | 1時間値の最低値 | 日平均値の最高値 | 日平均値の最低値 | 最大風速時の風向 | 最多風向 | 最多風向の出現率 | 静穏の出現率 |
|---|---|---|---|---|---|---|---|---|---|---|---|---|---|
| | | | 日 | 時間 | m/秒 | m/秒 | m/秒 | m/秒 | m/秒 | 16 方位 | 16 方位 | % | % |
| 地点１ | 南部市場 | 秋季 | 7 | 168 | 1.3 | 3.1 | 0.1 | 1.8 | 0.8 | NNE | NNE | 23.2 | 7.1 |
| | | 冬季 | 7 | 168 | 1.6 | 4.9 | 0.0 | 2.9 | 0.6 | SW | N | 32.1 | 11.9 |
| | | 春季 | 7 | 168 | 1.6 | 4.8 | 0.0 | 2.4 | 1.2 | SW | SSE | 13.1 | 7.7 |
| | | 夏季 | 7 | 168 | 1.8 | 4.2 | 0.1 | 2.3 | 1.2 | SE | SE | 19.0 | 1.8 |
| | | 年間 | 28 | 672 | 1.6 | 4.9 | 0.0 | 2.9 | 0.6 | SW | N | 15.0 | 7.1 |
| 地点２ | 南町公園 | 秋季 | 7 | 168 | 0.4 | 1.1 | 0.0 | 0.5 | 0.2 | SW | ESE | 6.0 | 71.4 |
| | | 冬季 | 7 | 168 | 0.4 | 1.2 | 0.0 | 0.8 | 0.2 | S,SE | S | 6.5 | 54.2 |
| | | 春季 | 7 | 168 | 0.5 | 1.3 | 0.0 | 0.6 | 0.4 | ENE | NE | 10.7 | 46.4 |
| | | 夏季 | 7 | 168 | 0.5 | 1.4 | 0.0 | 0.7 | 0.3 | SSE | N,ENE | 6.5 | 55.4 |
| | | 年間 | 28 | 672 | 0.4 | 1.4 | 0.0 | 0.8 | 0.2 | SSE | ENE | 5.1 | 56.8 |
| 地点３ | 京町小学校 | 秋季 | 7 | 168 | 1.8 | 4.0 | 0.3 | 2.3 | 1.2 | NNW | NNW | 28.0 | 2.4 |
| | | 冬季 | 7 | 168 | 2.3 | 7.7 | 0.0 | 3.9 | 1.0 | SSW | NNW | 24.4 | 3.6 |
| | | 春季 | 7 | 168 | 2.7 | 6.4 | 0.2 | 3.5 | 1.8 | SSW | SE | 20.2 | 1.8 |
| | | 夏季 | 7 | 168 | 2.7 | 6.3 | 0.5 | 3.2 | 1.9 | SE | SE | 28.0 | 0.0 |
| | | 年間 | 28 | 672 | 2,4 | 7.7 | 0.0 | 3.9 | 1.0 | SSW | NNW | 15.0 | 1.9 |
| 地点４ | 元宮さわやか公園 | 秋季 | 7 | 168 | 0.4 | 2.0 | 0.0 | 0.7 | 0.3 | SSE,SE | NNE | 7.7 | 67.3 |
| | | 冬季 | 7 | 168 | 0.9 | 2.5 | 0.0 | 1.6 | 0.4 | NNE | N | 22.6 | 20.8 |
| | | 春季 | 7 | 168 | 1.2 | 4.5 | 0.0 | 1.8 | 0.7 | SSE | SSE | 22.0 | 31.5 |
| | | 夏季 | 7 | 168 | 1.1 | 4.8 | 0.0 | 1.6 | 0.4 | SE | SE | 22.6 | 32.1 |
| | | 年間 | 28 | 672 | 0.9 | 4.8 | 0.0 | 1.8 | 0.3 | SE | SSE | 10.0 | 37.9 |

注）風速が 0.4m/s 以下の風向を静穏とした。

計画地における１年間連続の地上気象調査結果による風速階級別大気安定度別風向出現頻度を表 3－3(1)～(4)に示す。

## 表 3－3(1)　風速階級別大気安定度別風向出現頻度

## （令和２年９月～令和３年８月（計画地）、年間全日：地上 5.0m）

単位：%

| 風向 | 風速階級 | 大気安定度 | | | | | | | | | | | |
|---|---|---|---|---|---|---|---|---|---|---|---|---|---|
| | | A | A-B | B | B-C | C | C-D | D(昼) | D(夜) | E | F | G | 合計 |
| N | ～ 0.4 | － | 0.05 | 0.01 | － | － | － | 0.09 | 0.08 | － | － | 0.22 | 0.45 |
| | 0.5 ～ 0.9 | － | 0.08 | 0.08 | － | － | － | 0.39 | 0.27 | － | － | 0.59 | 1.42 |
| | 1.0 ～ 1.9 | 0.06 | 0.47 | 0.47 | － | 0.15 | － | 1.17 | 1.39 | 0.09 | 0.43 | 1.13 | 5.36 |
| | 2.0 ～ 2.9 | － | 0.21 | 0.40 | 0.25 | 0.46 | － | 0.94 | 0.89 | 0.75 | 0.26 | － | 4.16 |
| | 3.0 ～ 3.9 | － | － | 0.10 | 0.33 | 0.31 | 0.26 | 0.42 | 0.71 | 0.24 | － | － | 2.38 |
| | 4.0 ～ 5.9 | － | － | － | － | 0.19 | 0.21 | 0.31 | 0.48 | － | － | － | 1.19 |
| | 6.0 ～ 7.9 | － | － | － | － | － | － | 0.01 | 0.08 | － | － | － | 0.09 |
| | 8.0 ～ | － | － | － | － | － | － | － | － | － | － | － | 0.00 |
| | 小計 | 0.06 | 0.80 | 1.06 | 0.58 | 1.11 | 0.47 | 3.32 | 3.91 | 1.09 | 0.70 | 1.94 | 15.04 |
| NNE | ～ 0.4 | － | － | － | － | － | － | 0.06 | 0.06 | － | － | 0.17 | 0.29 |
| | 0.5 ～ 0.9 | 0.01 | 0.03 | 0.05 | － | － | － | 0.32 | 0.30 | － | － | 0.53 | 1.23 |
| | 1.0 ～ 1.9 | 0.09 | 0.26 | 0.23 | － | 0.07 | － | 0.29 | 0.47 | 0.01 | 0.02 | 0.15 | 1.59 |
| | 2.0 ～ 2.9 | － | 0.05 | 0.09 | － | 0.02 | － | － | 0.07 | － | － | － | 0.23 |
| | 3.0 ～ 3.9 | － | － | 0.01 | 0.01 | － | － | － | － | － | － | － | 0.02 |
| | 4.0 ～ 5.9 | － | － | － | － | － | － | － | － | － | － | － | 0.00 |
| | 6.0 ～ 7.9 | － | － | － | － | － | － | － | － | － | － | － | 0.00 |
| | 8.0 ～ | － | － | － | － | － | － | － | － | － | － | － | 0.00 |
| | 小計 | 0.10 | 0.34 | 0.38 | 0.01 | 0.09 | 0.00 | 0.66 | 0.89 | 0.01 | 0.02 | 0.85 | 3.36 |
| NE | ～ 0.4 | － | － | 0.01 | － | － | － | 0.03 | 0.01 | － | － | 0.05 | 0.10 |
| | 0.5 ～ 0.9 | 0.01 | 0.02 | 0.02 | － | － | － | 0.19 | 0.21 | － | － | 0.40 | 0.86 |
| | 1.0 ～ 1.9 | 0.10 | 0.27 | 0.22 | － | 0.05 | － | 0.50 | 0.51 | 0.01 | 0.01 | 0.30 | 1.98 |
| | 2.0 ～ 2.9 | － | 0.08 | 0.09 | － | 0.02 | － | 0.10 | 0.03 | 0.02 | － | － | 0.35 |
| | 3.0 ～ 3.9 | － | － | － | － | － | － | － | － | － | － | － | 0.00 |
| | 4.0 ～ 5.9 | － | － | － | － | － | － | － | － | － | － | － | 0.00 |
| | 6.0 ～ 7.9 | － | － | － | － | － | － | － | － | － | － | － | 0.00 |
| | 8.0 ～ | － | － | － | － | － | － | － | － | － | － | － | 0.00 |
| | 小計 | 0.11 | 0.38 | 0.34 | 0.00 | 0.07 | 0.00 | 0.83 | 0.77 | 0.03 | 0.01 | 0.74 | 3.29 |
| ENE | ～ 0.4 | － | － | 0.01 | － | － | － | 0.03 | 0.08 | － | － | 0.05 | 0.17 |
| | 0.5 ～ 0.9 | 0.02 | 0.06 | 0.06 | － | － | － | 0.16 | 0.16 | － | － | 0.17 | 0.63 |
| | 1.0 ～ 1.9 | 0.07 | 0.31 | 0.22 | － | 0.07 | － | 0.32 | 0.33 | 0.02 | 0.03 | 0.31 | 1.68 |
| | 2.0 ～ 2.9 | － | 0.17 | 0.25 | 0.06 | 0.03 | － | 0.05 | 0.07 | 0.01 | － | － | 0.64 |
| | 3.0 ～ 3.9 | － | － | 0.03 | － | 0.02 | － | － | 0.01 | 0.01 | － | － | 0.08 |
| | 4.0 ～ 5.9 | － | － | － | － | － | － | － | － | － | － | － | 0.00 |
| | 6.0 ～ 7.9 | － | － | － | － | － | － | － | － | － | － | － | 0.00 |
| | 8.0 ～ | － | － | － | － | － | － | － | － | － | － | － | 0.00 |
| | 小計 | 0.09 | 0.54 | 0.57 | 0.06 | 0.13 | 0.00 | 0.56 | 0.65 | 0.05 | 0.03 | 0.53 | 3.20 |
| E | ～ 0.4 | － | － | － | － | － | － | 0.03 | 0.02 | － | － | 0.05 | 0.10 |
| | 0.5 ～ 0.9 | － | 0.06 | 0.03 | － | － | － | 0.16 | 0.08 | － | － | 0.22 | 0.55 |
| | 1.0 ～ 1.9 | 0.09 | 0.31 | 0.27 | － | 0.14 | － | 0.65 | 0.54 | 0.13 | 0.10 | 0.48 | 2.71 |
| | 2.0 ～ 2.9 | － | 0.39 | 0.48 | 0.16 | 0.31 | － | 0.38 | 0.29 | 0.18 | 0.03 | － | 2.22 |
| | 3.0 ～ 3.9 | － | － | 0.14 | 0.08 | 0.07 | 0.06 | 0.05 | 0.06 | － | － | － | 0.45 |
| | 4.0 ～ 5.9 | － | － | － | － | － | － | － | － | － | － | － | 0.00 |
| | 6.0 ～ 7.9 | － | － | － | － | － | － | － | － | － | － | － | 0.00 |
| | 8.0 ～ | － | － | － | － | － | － | － | － | － | － | － | 0.00 |
| | 小計 | 0.09 | 0.75 | 0.93 | 0.24 | 0.51 | 0.06 | 1.27 | 0.98 | 0.31 | 0.14 | 0.74 | 6.02 |
| ESE | ～ 0.4 | － | 0.01 | 0.01 | － | － | － | 0.02 | 0.07 | － | － | 0.15 | 0.26 |
| | 0.5 ～ 0.9 | 0.01 | 0.01 | 0.05 | － | － | － | 0.10 | 0.05 | － | － | 0.33 | 0.55 |
| | 1.0 ～ 1.9 | 0.09 | 0.37 | 0.39 | － | 0.10 | － | 0.46 | 0.45 | 0.06 | 0.13 | 0.54 | 2.57 |
| | 2.0 ～ 2.9 | － | 0.38 | 0.30 | 0.13 | 0.15 | － | 0.35 | 0.11 | 0.11 | 0.03 | － | 1.57 |
| | 3.0 ～ 3.9 | － | － | 0.11 | 0.06 | 0.01 | 0.01 | 0.03 | 0.03 | － | － | － | 0.26 |
| | 4.0 ～ 5.9 | － | － | － | － | － | － | － | － | － | － | － | 0.00 |
| | 6.0 ～ 7.9 | － | － | － | － | － | － | － | － | － | － | － | 0.00 |
| | 8.0 ～ | － | － | － | － | － | － | － | － | － | － | － | 0.00 |
| | 小計 | 0.10 | 0.77 | 0.86 | 0.18 | 0.26 | 0.01 | 0.97 | 0.71 | 0.17 | 0.16 | 1.02 | 5.21 |
| SE | ～ 0.4 | － | 0.01 | － | － | － | － | 0.01 | 0.03 | － | － | 0.08 | 0.14 |
| | 0.5 ～ 0.9 | － | 0.02 | － | － | － | － | 0.09 | 0.08 | － | － | 0.40 | 0.59 |
| | 1.0 ～ 1.9 | 0.07 | 0.11 | 0.08 | － | 0.11 | － | 0.29 | 0.22 | 0.03 | 0.02 | 0.39 | 1.33 |
| | 2.0 ～ 2.9 | － | 0.35 | 0.29 | 0.06 | 0.13 | － | 0.16 | 0.06 | 0.02 | 0.02 | － | 1.09 |
| | 3.0 ～ 3.9 | － | － | 0.06 | － | － | － | － | － | － | － | － | 0.06 |
| | 4.0 ～ 5.9 | － | － | － | － | － | － | － | － | － | － | － | 0.00 |
| | 6.0 ～ 7.9 | － | － | － | － | － | － | － | － | － | － | － | 0.00 |
| | 8.0 ～ | － | － | － | － | － | － | － | － | － | － | － | 0.00 |
| | 小計 | 0.07 | 0.50 | 0.42 | 0.06 | 0.24 | 0.00 | 0.55 | 0.39 | 0.06 | 0.05 | 0.87 | 3.20 |
| SSE | ～ 0.4 | － | － | － | － | － | － | 0.01 | 0.02 | － | － | 0.03 | 0.07 |
| | 0.5 ～ 0.9 | － | 0.02 | － | － | － | － | 0.23 | 0.15 | － | － | 0.45 | 0.85 |
| | 1.0 ～ 1.9 | 0.03 | 0.33 | 0.35 | － | 0.27 | － | 0.80 | 0.74 | 0.19 | 0.46 | 1.01 | 4.19 |
| | 2.0 ～ 2.9 | － | 0.61 | 0.74 | 0.26 | 0.37 | － | 0.74 | 0.55 | 0.58 | 0.26 | － | 4.11 |
| | 3.0 ～ 3.9 | － | － | 0.47 | 0.35 | 0.42 | 0.35 | 0.40 | 0.14 | 0.07 | － | － | 2.21 |
| | 4.0 ～ 5.9 | － | － | － | － | 0.29 | 0.06 | 0.18 | 0.01 | － | － | － | 0.54 |
| | 6.0 ～ 7.9 | － | － | － | － | － | － | － | － | － | － | － | 0.00 |
| | 8.0 ～ | － | － | － | － | － | － | － | － | － | － | － | 0.00 |
| | 小計 | 0.03 | 0.96 | 1.57 | 0.62 | 1.35 | 0.41 | 2.37 | 1.61 | 0.85 | 0.72 | 1.49 | 11.96 |

注）風速の集計高さは、建設機械の排出高さである地上 5.0m とした。

## 表 3－3(2)　風速階級別大気安定度別風向出現頻度

## （令和２年９月～令和３年８月（計画地）、年間全日：地上 5.0m）

単位：%

| 風向 | 風速階級 | 大気安定度 | | | | | | | | | | | |
|---|---|---|---|---|---|---|---|---|---|---|---|---|---|
| | | A | A-B | B | B-C | C | C-D | D(昼) | D(夜) | E | F | G | 合計 |
| S | ～ 0.4 | － | － | － | － | － | － | － | － | － | － | 0.05 | 0.05 |
| | 0.5 ～ 0.9 | － | 0.03 | 0.03 | － | － | － | 0.13 | 0.15 | － | － | 0.26 | 0.61 |
| | 1.0 ～ 1.9 | 0.06 | 0.16 | 0.09 | － | 0.03 | － | 0.49 | 0.46 | 0.07 | 0.31 | 0.57 | 2.24 |
| | 2.0 ～ 2.9 | － | 0.13 | 0.45 | 0.14 | 0.30 | － | 0.95 | 1.21 | 0.80 | 0.29 | － | 4.25 |
| | 3.0 ～ 3.9 | － | － | 0.42 | 0.35 | 0.69 | 0.40 | 1.42 | 1.14 | 0.24 | － | － | 4.66 |
| | 4.0 ～ 5.9 | － | － | － | － | 0.53 | 0.34 | 0.87 | 0.38 | － | － | － | 2.11 |
| | 6.0 ～ 7.9 | － | － | － | － | 0.06 | － | 0.08 | 0.05 | － | － | － | 0.18 |
| | 8.0 ～ | － | － | － | － | － | － | － | － | － | － | － | 0.00 |
| | 小計 | 0.06 | 0.32 | 0.99 | 0.49 | 1.60 | 0.74 | 3.93 | 3.38 | 1.11 | 0.59 | 0.88 | 14.10 |
| SSW | ～ 0.4 | － | － | － | － | － | － | 0.02 | 0.06 | － | － | － | 0.08 |
| | 0.5 ～ 0.9 | － | 0.01 | 0.02 | － | － | － | 0.05 | 0.05 | － | － | 0.09 | 0.22 |
| | 1.0 ～ 1.9 | 0.01 | 0.03 | 0.05 | － | 0.02 | － | 0.05 | 0.10 | 0.01 | 0.10 | 0.09 | 0.47 |
| | 2.0 ～ 2.9 | － | 0.02 | 0.03 | 0.05 | 0.07 | － | 0.14 | 0.10 | 0.11 | 0.02 | － | 0.55 |
| | 3.0 ～ 3.9 | － | － | 0.05 | 0.05 | 0.10 | 0.07 | 0.17 | 0.17 | 0.07 | － | － | 0.67 |
| | 4.0 ～ 5.9 | － | － | － | － | 0.21 | 0.09 | 0.13 | 0.16 | － | － | － | 0.58 |
| | 6.0 ～ 7.9 | － | － | － | － | 0.01 | － | 0.01 | － | － | － | － | 0.02 |
| | 8.0 ～ | － | － | － | － | － | － | － | － | － | － | － | 0.00 |
| | 小計 | 0.01 | 0.07 | 0.15 | 0.09 | 0.41 | 0.16 | 0.56 | 0.64 | 0.19 | 0.13 | 0.18 | 2.59 |
| SW | ～ 0.4 | － | － | － | － | － | － | － | 0.01 | － | － | 0.02 | 0.03 |
| | 0.5 ～ 0.9 | － | 0.01 | － | － | － | － | 0.03 | 0.02 | － | － | 0.08 | 0.15 |
| | 1.0 ～ 1.9 | 0.01 | 0.01 | 0.03 | － | － | － | 0.03 | 0.02 | － | 0.05 | 0.08 | 0.24 |
| | 2.0 ～ 2.9 | － | － | 0.05 | 0.02 | 0.02 | － | － | 0.03 | 0.03 | 0.02 | － | 0.18 |
| | 3.0 ～ 3.9 | － | － | 0.02 | 0.02 | 0.03 | 0.03 | 0.02 | 0.01 | － | － | － | 0.15 |
| | 4.0 ～ 5.9 | － | － | － | － | 0.01 | 0.01 | 0.03 | － | － | － | － | 0.06 |
| | 6.0 ～ 7.9 | － | － | － | － | － | － | － | － | － | － | － | 0.00 |
| | 8.0 ～ | － | － | － | － | － | － | － | － | － | － | － | 0.00 |
| | 小計 | 0.01 | 0.02 | 0.10 | 0.05 | 0.07 | 0.05 | 0.13 | 0.10 | 0.03 | 0.07 | 0.18 | 0.81 |
| WSW | ～ 0.4 | － | － | － | － | － | － | 0.01 | 0.01 | － | － | 0.03 | 0.06 |
| | 0.5 ～ 0.9 | 0.01 | 0.01 | － | － | － | － | 0.03 | 0.03 | － | － | 0.07 | 0.16 |
| | 1.0 ～ 1.9 | 0.01 | － | － | － | － | － | 0.01 | 0.02 | － | 0.05 | 0.06 | 0.15 |
| | 2.0 ～ 2.9 | － | － | － | 0.01 | － | － | － | － | 0.01 | 0.02 | － | 0.05 |
| | 3.0 ～ 3.9 | － | － | － | － | 0.01 | 0.01 | 0.03 | 0.01 | 0.03 | － | － | 0.10 |
| | 4.0 ～ 5.9 | － | － | － | － | － | － | － | － | － | － | － | 0.00 |
| | 6.0 ～ 7.9 | － | － | － | － | － | － | － | － | － | － | － | 0.00 |
| | 8.0 ～ | － | － | － | － | － | － | － | － | － | － | － | 0.00 |
| | 小計 | 0.02 | 0.01 | 0.00 | 0.01 | 0.01 | 0.01 | 0.09 | 0.08 | 0.05 | 0.07 | 0.16 | 0.51 |
| W | ～ 0.4 | － | 0.01 | － | － | － | － | － | 0.05 | － | － | 0.08 | 0.14 |
| | 0.5 ～ 0.9 | － | 0.01 | － | － | － | － | 0.03 | 0.02 | － | － | 0.16 | 0.23 |
| | 1.0 ～ 1.9 | 0.02 | 0.02 | 0.02 | － | 0.01 | － | 0.10 | 0.09 | 0.01 | 0.06 | 0.09 | 0.43 |
| | 2.0 ～ 2.9 | － | － | － | － | － | － | － | 0.01 | 0.01 | 0.01 | － | 0.03 |
| | 3.0 ～ 3.9 | － | － | － | － | － | － | 0.02 | 0.03 | － | － | － | 0.06 |
| | 4.0 ～ 5.9 | － | － | － | － | － | － | 0.01 | － | － | － | － | 0.01 |
| | 6.0 ～ 7.9 | － | － | － | － | － | － | － | － | － | － | － | 0.00 |
| | 8.0 ～ | － | － | － | － | － | － | － | － | － | － | － | 0.00 |
| | 小計 | 0.02 | 0.05 | 0.02 | 0.00 | 0.01 | 0.00 | 0.17 | 0.21 | 0.02 | 0.07 | 0.33 | 0.90 |
| WNW | ～ 0.4 | － | － | － | － | － | － | 0.06 | 0.03 | － | － | 0.16 | 0.25 |
| | 0.5 ～ 0.9 | － | 0.08 | 0.05 | － | － | － | 0.17 | 0.19 | － | － | 0.57 | 1.06 |
| | 1.0 ～ 1.9 | 0.02 | 0.17 | 0.09 | － | － | － | 0.21 | 0.16 | 0.01 | 0.02 | 0.64 | 1.33 |
| | 2.0 ～ 2.9 | － | 0.01 | 0.03 | － | － | － | 0.02 | 0.01 | 0.01 | 0.01 | － | 0.10 |
| | 3.0 ～ 3.9 | － | － | 0.01 | － | 0.01 | － | 0.01 | － | － | － | － | 0.03 |
| | 4.0 ～ 5.9 | － | － | － | － | － | － | － | － | － | － | － | 0.00 |
| | 6.0 ～ 7.9 | － | － | － | － | － | － | － | － | － | － | － | 0.00 |
| | 8.0 ～ | － | － | － | － | － | － | － | － | － | － | － | 0.00 |
| | 小計 | 0.02 | 0.26 | 0.18 | 0.00 | 0.01 | 0.00 | 0.47 | 0.40 | 0.02 | 0.03 | 1.37 | 2.78 |
| NW | ～ 0.4 | － | － | 0.01 | － | － | － | 0.06 | 0.05 | － | － | 0.13 | 0.24 |
| | 0.5 ～ 0.9 | － | 0.03 | 0.10 | － | － | － | 0.23 | 0.26 | － | － | 1.02 | 1.65 |
| | 1.0 ～ 1.9 | 0.05 | 0.22 | 0.34 | － | 0.05 | － | 0.91 | 0.72 | 0.17 | 0.22 | 2.26 | 4.94 |
| | 2.0 ～ 2.9 | － | － | 0.09 | 0.03 | 0.06 | － | 0.10 | 0.16 | 0.09 | 0.01 | － | 0.55 |
| | 3.0 ～ 3.9 | － | － | 0.01 | 0.01 | 0.03 | 0.03 | 0.08 | 0.03 | － | － | － | 0.21 |
| | 4.0 ～ 5.9 | － | － | － | － | 0.01 | 0.02 | 0.01 | 0.03 | － | － | － | 0.08 |
| | 6.0 ～ 7.9 | － | － | － | － | － | － | － | － | － | － | － | 0.00 |
| | 8.0 ～ | － | － | － | － | － | － | － | － | － | － | － | 0.00 |
| | 小計 | 0.05 | 0.25 | 0.56 | 0.05 | 0.15 | 0.06 | 1.39 | 1.26 | 0.26 | 0.23 | 3.40 | 7.66 |
| NNW | ～ 0.4 | － | － | 0.03 | － | － | － | 0.06 | 0.06 | － | － | 0.22 | 0.37 |
| | 0.5 ～ 0.9 | 0.02 | 0.09 | 0.13 | － | － | － | 0.27 | 0.22 | － | － | 0.64 | 1.37 |
| | 1.0 ～ 1.9 | 0.06 | 0.50 | 0.31 | － | 0.18 | － | 1.35 | 1.45 | 0.45 | 1.09 | 1.82 | 7.20 |
| | 2.0 ～ 2.9 | － | 0.11 | 0.31 | 0.24 | 0.63 | － | 1.87 | 1.53 | 0.77 | 0.41 | － | 5.87 |
| | 3.0 ～ 3.9 | － | － | 0.11 | 0.14 | 0.33 | 0.15 | 0.78 | 1.09 | 0.21 | － | － | 2.80 |
| | 4.0 ～ 5.9 | － | － | － | － | 0.23 | 0.18 | 0.29 | 0.63 | － | － | － | 1.33 |
| | 6.0 ～ 7.9 | － | － | － | － | 0.01 | － | － | 0.07 | － | － | － | 0.08 |
| | 8.0 ～ | － | － | － | － | － | － | － | － | － | － | － | 0.00 |
| | 小計 | 0.08 | 0.71 | 0.89 | 0.38 | 1.38 | 0.33 | 4.62 | 5.04 | 1.42 | 1.50 | 2.67 | 19.01 |

注）風速の集計高さは、建設機械の排出高さである地上 5.0m とした。

## 表 3－3(3)　風速階級別大気安定度別風向出現頻度

## （令和２年９月～令和３年８月（計画地）、年間全日：地上 100.0m）

単位：%

| 風向 | 風速階級 | 大気安定度 | | | | | | | | | | | |
|---|---|---|---|---|---|---|---|---|---|---|---|---|---|
| | | A | A-B | B | B-C | C | C-D | D(昼) | D(夜) | E | F | G | 合計 |
| N | ～ 0.4 | － | － | － | － | － | － | － | － | － | － | － | 0.00 |
| | 0.5 ～ 0.9 | － | 0.07 | 0.05 | － | － | － | 0.06 | 0.05 | － | － | 0.15 | 0.37 |
| | 1.0 ～ 1.9 | 0.03 | 0.16 | 0.17 | － | － | － | 0.35 | 0.30 | － | － | 0.29 | 1.30 |
| | 2.0 ～ 2.9 | 0.02 | 0.40 | 0.27 | － | － | － | 0.63 | 0.61 | － | － | 0.79 | 2.72 |
| | 3.0 ～ 3.9 | － | 0.17 | 0.38 | － | 0.27 | － | 0.49 | 0.69 | 0.06 | － | 0.72 | 2.78 |
| | 4.0 ～ 5.9 | － | － | 0.19 | 0.58 | 0.39 | － | 0.94 | 0.94 | 0.58 | 0.70 | － | 4.32 |
| | 6.0 ～ 7.9 | － | － | － | － | 0.37 | 0.29 | 0.43 | 0.62 | 0.45 | － | － | 2.15 |
| | 8.0 ～ | － | － | － | － | 0.08 | 0.18 | 0.42 | 0.72 | － | － | － | 1.41 |
| | 小計 | 0.06 | 0.80 | 1.06 | 0.58 | 1.11 | 0.47 | 3.32 | 3.91 | 1.09 | 0.70 | 1.94 | 15.04 |
| NNE | ～ 0.4 | － | － | － | － | － | － | － | － | － | － | － | 0.00 |
| | 0.5 ～ 0.9 | － | 0.02 | 0.01 | － | － | － | 0.05 | 0.03 | － | － | 0.11 | 0.23 |
| | 1.0 ～ 1.9 | 0.02 | 0.10 | 0.14 | － | － | － | 0.31 | 0.25 | － | － | 0.32 | 1.14 |
| | 2.0 ～ 2.9 | 0.08 | 0.18 | 0.13 | － | － | － | 0.22 | 0.41 | － | － | 0.34 | 1.36 |
| | 3.0 ～ 3.9 | － | 0.03 | 0.06 | － | 0.09 | － | 0.09 | 0.11 | 0.01 | － | 0.07 | 0.47 |
| | 4.0 ～ 5.9 | － | － | 0.05 | 0.01 | － | － | － | 0.07 | － | 0.02 | － | 0.15 |
| | 6.0 ～ 7.9 | － | － | － | － | － | － | － | 0.01 | － | － | － | 0.01 |
| | 8.0 ～ | － | － | － | － | － | － | － | － | － | － | － | 0.00 |
| | 小計 | 0.10 | 0.34 | 0.38 | 0.01 | 0.09 | 0.00 | 0.66 | 0.89 | 0.01 | 0.02 | 0.85 | 3.36 |
| NE | ～ 0.4 | － | － | － | － | － | － | － | － | － | － | － | 0.00 |
| | 0.5 ～ 0.9 | － | 0.02 | 0.01 | － | － | － | 0.02 | － | － | － | 0.01 | 0.07 |
| | 1.0 ～ 1.9 | 0.06 | 0.06 | 0.07 | － | － | － | 0.18 | 0.18 | － | － | 0.19 | 0.74 |
| | 2.0 ～ 2.9 | 0.06 | 0.24 | 0.15 | － | － | － | 0.33 | 0.34 | － | － | 0.40 | 1.52 |
| | 3.0 ～ 3.9 | － | 0.06 | 0.09 | － | 0.05 | － | 0.14 | 0.19 | 0.01 | － | 0.14 | 0.67 |
| | 4.0 ～ 5.9 | － | － | 0.02 | － | 0.02 | － | 0.16 | 0.05 | 0.01 | 0.01 | － | 0.27 |
| | 6.0 ～ 7.9 | － | － | － | － | － | － | － | － | 0.01 | － | － | 0.01 |
| | 8.0 ～ | － | － | － | － | － | － | － | － | － | － | － | 0.00 |
| | 小計 | 0.11 | 0.38 | 0.34 | 0.00 | 0.07 | 0.00 | 0.83 | 0.77 | 0.03 | 0.01 | 0.74 | 3.29 |
| ENE | ～ 0.4 | － | － | － | － | － | － | － | － | － | － | － | 0.00 |
| | 0.5 ～ 0.9 | － | － | 0.03 | － | － | － | 0.03 | 0.07 | － | － | 0.03 | 0.17 |
| | 1.0 ～ 1.9 | 0.08 | 0.17 | 0.10 | － | － | － | 0.13 | 0.14 | － | － | 0.08 | 0.70 |
| | 2.0 ～ 2.9 | 0.01 | 0.24 | 0.13 | － | － | － | 0.19 | 0.22 | － | － | 0.32 | 1.11 |
| | 3.0 ～ 3.9 | － | 0.13 | 0.22 | － | 0.08 | － | 0.13 | 0.11 | 0.01 | － | 0.09 | 0.77 |
| | 4.0 ～ 5.9 | － | － | 0.09 | 0.06 | 0.02 | － | 0.08 | 0.09 | 0.02 | 0.03 | － | 0.40 |
| | 6.0 ～ 7.9 | － | － | － | － | 0.02 | － | － | 0.02 | 0.01 | － | － | 0.06 |
| | 8.0 ～ | － | － | － | － | － | － | － | － | － | － | － | 0.00 |
| | 小計 | 0.09 | 0.54 | 0.57 | 0.06 | 0.13 | 0.00 | 0.56 | 0.65 | 0.05 | 0.03 | 0.53 | 3.20 |
| E | ～ 0.4 | － | － | － | － | － | － | － | － | － | － | － | 0.00 |
| | 0.5 ～ 0.9 | － | 0.01 | 0.01 | － | － | － | 0.01 | 0.02 | － | － | 0.02 | 0.08 |
| | 1.0 ～ 1.9 | 0.02 | 0.14 | 0.05 | － | － | － | 0.10 | 0.06 | － | － | 0.09 | 0.46 |
| | 2.0 ～ 2.9 | 0.07 | 0.27 | 0.22 | － | － | － | 0.38 | 0.17 | － | － | 0.30 | 1.41 |
| | 3.0 ～ 3.9 | － | 0.33 | 0.33 | － | 0.24 | － | 0.30 | 0.32 | 0.10 | － | 0.33 | 1.95 |
| | 4.0 ～ 5.9 | － | － | 0.32 | 0.24 | 0.22 | － | 0.37 | 0.31 | 0.19 | 0.14 | － | 1.78 |
| | 6.0 ～ 7.9 | － | － | － | － | 0.06 | 0.06 | 0.11 | 0.10 | 0.01 | － | － | 0.34 |
| | 8.0 ～ | － | － | － | － | － | － | － | － | － | － | － | 0.00 |
| | 小計 | 0.09 | 0.75 | 0.93 | 0.24 | 0.51 | 0.06 | 1.27 | 0.98 | 0.31 | 0.14 | 0.74 | 6.02 |
| ESE | ～ 0.4 | － | － | － | － | － | － | － | － | － | － | － | 0.00 |
| | 0.5 ～ 0.9 | － | 0.01 | 0.02 | － | － | － | 0.01 | 0.02 | － | － | 0.09 | 0.16 |
| | 1.0 ～ 1.9 | 0.05 | 0.08 | 0.10 | － | － | － | 0.11 | 0.09 | － | － | 0.19 | 0.63 |
| | 2.0 ～ 2.9 | 0.06 | 0.32 | 0.27 | － | － | － | 0.16 | 0.22 | － | － | 0.49 | 1.52 |
| | 3.0 ～ 3.9 | － | 0.35 | 0.24 | － | 0.13 | － | 0.26 | 0.17 | 0.05 | － | 0.24 | 1.44 |
| | 4.0 ～ 5.9 | － | － | 0.22 | 0.18 | 0.13 | － | 0.37 | 0.16 | 0.11 | 0.16 | － | 1.33 |
| | 6.0 ～ 7.9 | － | － | － | － | 0.01 | 0.01 | 0.05 | 0.05 | 0.01 | － | － | 0.13 |
| | 8.0 ～ | － | － | － | － | － | － | 0.01 | － | － | － | － | 0.01 |
| | 小計 | 0.10 | 0.77 | 0.86 | 0.18 | 0.26 | 0.01 | 0.97 | 0.71 | 0.17 | 0.16 | 1.02 | 5.21 |
| SE | ～ 0.4 | － | － | － | － | － | － | － | － | － | － | － | 0.00 |
| | 0.5 ～ 0.9 | － | 0.01 | － | － | － | － | 0.01 | 0.02 | － | － | 0.03 | 0.08 |
| | 1.0 ～ 1.9 | 0.05 | 0.07 | 0.01 | － | － | － | 0.07 | 0.08 | － | － | 0.24 | 0.51 |
| | 2.0 ～ 2.9 | 0.02 | 0.09 | 0.07 | － | － | － | 0.19 | 0.09 | － | － | 0.34 | 0.81 |
| | 3.0 ～ 3.9 | － | 0.33 | 0.14 | － | 0.15 | － | 0.08 | 0.13 | 0.02 | － | 0.25 | 1.10 |
| | 4.0 ～ 5.9 | － | － | 0.21 | 0.06 | 0.09 | － | 0.17 | 0.07 | 0.03 | 0.05 | － | 0.67 |
| | 6.0 ～ 7.9 | － | － | － | － | － | － | 0.02 | － | － | － | － | 0.02 |
| | 8.0 ～ | － | － | － | － | － | － | － | － | － | － | － | 0.00 |
| | 小計 | 0.07 | 0.50 | 0.42 | 0.06 | 0.24 | 0.00 | 0.55 | 0.39 | 0.06 | 0.05 | 0.87 | 3.20 |
| SSE | ～ 0.4 | － | － | － | － | － | － | － | － | － | － | － | 0.00 |
| | 0.5 ～ 0.9 | － | 0.01 | － | － | － | － | － | 0.01 | － | － | 0.02 | 0.05 |
| | 1.0 ～ 1.9 | 0.01 | 0.13 | 0.03 | － | － | － | 0.18 | 0.16 | － | － | 0.19 | 0.71 |
| | 2.0 ～ 2.9 | 0.02 | 0.26 | 0.23 | － | － | － | 0.45 | 0.39 | － | － | 0.69 | 2.03 |
| | 3.0 ～ 3.9 | － | 0.56 | 0.45 | － | 0.35 | － | 0.35 | 0.31 | 0.14 | － | 0.58 | 2.74 |
| | 4.0 ～ 5.9 | － | － | 0.86 | 0.62 | 0.37 | － | 0.70 | 0.51 | 0.55 | 0.72 | － | 4.32 |
| | 6.0 ～ 7.9 | － | － | － | － | 0.55 | 0.35 | 0.46 | 0.19 | 0.16 | － | － | 1.71 |
| | 8.0 ～ | － | － | － | － | 0.08 | 0.06 | 0.23 | 0.03 | － | － | － | 0.40 |
| | 小計 | 0.03 | 0.96 | 1.57 | 0.62 | 1.35 | 0.41 | 2.37 | 1.61 | 0.85 | 0.72 | 1.49 | 11.96 |

注）風速の集計高さは、焼却施設の排出高さである地上 100.0m とした。

## 表 3－3(4)　風速階級別大気安定度別風向出現頻度

## （令和２年９月～令和３年８月（計画地）、年間全日：地上 100.0m）

単位：%

| 風向 | 風速階級 | 大気安定度 | | | | | | | | | | | |
|---|---|---|---|---|---|---|---|---|---|---|---|---|---|
| | | A | A-B | B | B-C | C | C-D | D(昼) | D(夜) | E | F | G | 合計 |
| S | ～ 0.4 | － | － | － | － | － | － | － | － | － | － | － | 0.00 |
| | 0.5 ～ 0.9 | － | － | － | － | － | － | － | － | － | － | 0.01 | 0.01 |
| | 1.0 ～ 1.9 | 0.01 | 0.10 | 0.03 | － | － | － | 0.11 | 0.11 | － | － | 0.15 | 0.53 |
| | 2.0 ～ 2.9 | 0.05 | 0.10 | 0.06 | － | － | － | 0.22 | 0.22 | － | － | 0.34 | 0.98 |
| | 3.0 ～ 3.9 | － | 0.11 | 0.23 | － | 0.07 | － | 0.19 | 0.17 | 0.06 | － | 0.38 | 1.21 |
| | 4.0 ～ 5.9 | － | － | 0.67 | 0.49 | 0.33 | － | 0.79 | 0.97 | 0.70 | 0.59 | － | 4.55 |
| | 6.0 ～ 7.9 | － | － | － | － | 0.89 | 0.43 | 1.34 | 1.34 | 0.35 | － | － | 4.35 |
| | 8.0 ～ | － | － | － | － | 0.31 | 0.31 | 1.28 | 0.57 | － | － | － | 2.47 |
| | 小計 | 0.06 | 0.32 | 0.99 | 0.49 | 1.60 | 0.74 | 3.93 | 3.38 | 1.11 | 0.59 | 0.88 | 14.10 |
| SSW | ～ 0.4 | － | － | － | － | － | － | － | － | － | － | － | 0.00 |
| | 0.5 ～ 0.9 | － | － | － | － | － | － | 0.02 | 0.01 | － | － | － | 0.03 |
| | 1.0 ～ 1.9 | 0.01 | 0.05 | 0.03 | － | － | － | 0.03 | 0.09 | － | － | 0.05 | 0.26 |
| | 2.0 ～ 2.9 | － | － | 0.02 | － | － | － | 0.02 | 0.05 | － | － | 0.06 | 0.15 |
| | 3.0 ～ 3.9 | － | 0.02 | 0.03 | － | 0.05 | － | 0.03 | 0.05 | － | － | 0.08 | 0.26 |
| | 4.0 ～ 5.9 | － | － | 0.06 | 0.09 | 0.07 | － | 0.11 | 0.09 | 0.09 | 0.13 | － | 0.64 |
| | 6.0 ～ 7.9 | － | － | － | － | 0.13 | 0.07 | 0.13 | 0.11 | 0.10 | － | － | 0.54 |
| | 8.0 ～ | － | － | － | － | 0.17 | 0.09 | 0.21 | 0.24 | － | － | － | 0.71 |
| | 小計 | 0.01 | 0.07 | 0.15 | 0.09 | 0.41 | 0.16 | 0.56 | 0.64 | 0.19 | 0.13 | 0.18 | 2.59 |
| SW | ～ 0.4 | － | － | － | － | － | － | － | － | － | － | － | 0.00 |
| | 0.5 ～ 0.9 | － | 0.01 | － | － | － | － | － | － | － | － | 0.02 | 0.03 |
| | 1.0 ～ 1.9 | － | － | 0.01 | － | － | － | 0.03 | 0.03 | － | － | 0.05 | 0.13 |
| | 2.0 ～ 2.9 | 0.01 | 0.01 | － | － | － | － | 0.02 | 0.01 | － | － | 0.06 | 0.11 |
| | 3.0 ～ 3.9 | － | － | 0.05 | － | 0.02 | － | 0.01 | 0.01 | － | － | 0.06 | 0.15 |
| | 4.0 ～ 5.9 | － | － | 0.05 | 0.05 | － | － | － | 0.03 | 0.01 | 0.07 | － | 0.21 |
| | 6.0 ～ 7.9 | － | － | － | － | 0.05 | 0.03 | 0.01 | 0.01 | 0.02 | － | － | 0.13 |
| | 8.0 ～ | － | － | － | － | － | 0.01 | 0.05 | － | － | － | － | 0.06 |
| | 小計 | 0.01 | 0.02 | 0.10 | 0.05 | 0.07 | 0.05 | 0.13 | 0.10 | 0.03 | 0.07 | 0.18 | 0.81 |
| WSW | ～ 0.4 | － | － | － | － | － | － | － | － | － | － | － | 0.00 |
| | 0.5 ～ 0.9 | － | 0.01 | － | － | － | － | 0.01 | － | － | － | － | 0.02 |
| | 1.0 ～ 1.9 | 0.01 | － | － | － | － | － | 0.02 | 0.05 | － | － | 0.06 | 0.14 |
| | 2.0 ～ 2.9 | 0.01 | － | － | － | － | － | 0.01 | 0.02 | － | － | 0.07 | 0.11 |
| | 3.0 ～ 3.9 | － | － | － | － | － | － | 0.01 | － | － | － | 0.03 | 0.05 |
| | 4.0 ～ 5.9 | － | － | － | 0.01 | － | － | － | － | 0.01 | 0.07 | － | 0.09 |
| | 6.0 ～ 7.9 | － | － | － | － | 0.01 | 0.01 | 0.03 | 0.01 | 0.03 | － | － | 0.10 |
| | 8.0 ～ | － | － | － | － | － | － | － | － | － | － | － | 0.00 |
| | 小計 | 0.02 | 0.01 | 0.00 | 0.01 | 0.01 | 0.01 | 0.09 | 0.08 | 0.05 | 0.07 | 0.16 | 0.51 |
| W | ～ 0.4 | － | － | － | － | － | － | － | － | － | － | － | 0.00 |
| | 0.5 ～ 0.9 | － | 0.01 | － | － | － | － | － | 0.03 | － | － | 0.06 | 0.10 |
| | 1.0 ～ 1.9 | 0.01 | 0.02 | 0.02 | － | － | － | 0.03 | 0.03 | － | － | 0.15 | 0.27 |
| | 2.0 ～ 2.9 | 0.01 | 0.01 | － | － | － | － | 0.06 | 0.03 | － | － | 0.06 | 0.17 |
| | 3.0 ～ 3.9 | － | － | － | － | 0.01 | － | 0.05 | 0.06 | － | － | 0.07 | 0.18 |
| | 4.0 ～ 5.9 | － | － | － | － | － | － | － | 0.01 | 0.02 | 0.07 | － | 0.10 |
| | 6.0 ～ 7.9 | － | － | － | － | － | － | 0.02 | 0.02 | － | － | － | 0.05 |
| | 8.0 ～ | － | － | － | － | － | － | 0.01 | 0.01 | － | － | － | 0.02 |
| | 小計 | 0.02 | 0.05 | 0.02 | 0.00 | 0.01 | 0.00 | 0.17 | 0.21 | 0.02 | 0.07 | 0.33 | 0.90 |
| WNW | ～ 0.4 | － | － | － | － | － | － | － | － | － | － | － | 0.00 |
| | 0.5 ～ 0.9 | － | － | － | － | － | － | 0.03 | 0.02 | － | － | 0.05 | 0.10 |
| | 1.0 ～ 1.9 | 0.01 | 0.17 | 0.08 | － | － | － | 0.15 | 0.17 | － | － | 0.39 | 0.97 |
| | 2.0 ～ 2.9 | 0.01 | 0.08 | 0.06 | － | － | － | 0.17 | 0.13 | － | － | 0.69 | 1.13 |
| | 3.0 ～ 3.9 | － | 0.01 | 0.01 | － | － | － | 0.08 | 0.07 | － | － | 0.25 | 0.42 |
| | 4.0 ～ 5.9 | － | － | 0.03 | － | － | － | 0.01 | 0.01 | 0.02 | 0.03 | － | 0.11 |
| | 6.0 ～ 7.9 | － | － | － | － | 0.01 | － | 0.02 | － | － | － | － | 0.03 |
| | 8.0 ～ | － | － | － | － | － | － | － | － | － | － | － | 0.00 |
| | 小計 | 0.02 | 0.26 | 0.18 | 0.00 | 0.01 | 0.00 | 0.47 | 0.40 | 0.02 | 0.03 | 1.37 | 2.78 |
| NW | ～ 0.4 | － | － | － | － | － | － | － | － | － | － | － | 0.00 |
| | 0.5 ～ 0.9 | － | 0.01 | 0.01 | － | － | － | 0.05 | 0.01 | － | － | 0.07 | 0.15 |
| | 1.0 ～ 1.9 | 0.03 | 0.14 | 0.14 | － | － | － | 0.22 | 0.23 | － | － | 0.42 | 1.18 |
| | 2.0 ～ 2.9 | 0.01 | 0.10 | 0.25 | － | － | － | 0.59 | 0.42 | － | － | 1.47 | 2.86 |
| | 3.0 ～ 3.9 | － | － | 0.10 | － | 0.06 | － | 0.27 | 0.34 | 0.11 | － | 1.44 | 2.33 |
| | 4.0 ～ 5.9 | － | － | 0.06 | 0.05 | 0.05 | － | 0.16 | 0.17 | 0.14 | 0.23 | － | 0.85 |
| | 6.0 ～ 7.9 | － | － | － | － | 0.03 | 0.03 | 0.08 | 0.03 | 0.01 | － | － | 0.19 |
| | 8.0 ～ | － | － | － | － | 0.01 | 0.02 | 0.02 | 0.05 | － | － | － | 0.10 |
| | 小計 | 0.05 | 0.25 | 0.56 | 0.05 | 0.15 | 0.06 | 1.39 | 1.26 | 0.26 | 0.23 | 3.40 | 7.66 |
| NNW | ～ 0.4 | － | － | － | － | － | － | － | － | － | － | － | 0.00 |
| | 0.5 ～ 0.9 | 0.01 | 0.02 | 0.08 | － | － | － | 0.02 | 0.03 | － | － | 0.13 | 0.30 |
| | 1.0 ～ 1.9 | 0.07 | 0.24 | 0.14 | － | － | － | 0.25 | 0.23 | － | － | 0.43 | 1.36 |
| | 2.0 ～ 2.9 | － | 0.33 | 0.22 | － | － | － | 0.55 | 0.30 | － | － | 0.96 | 2.35 |
| | 3.0 ～ 3.9 | － | 0.11 | 0.25 | － | 0.33 | － | 0.61 | 0.79 | 0.18 | － | 1.15 | 3.43 |
| | 4.0 ～ 5.9 | － | － | 0.21 | 0.38 | 0.59 | － | 1.85 | 1.69 | 0.90 | 1.50 | － | 7.12 |
| | 6.0 ～ 7.9 | － | － | － | － | 0.26 | 0.16 | 0.88 | 1.04 | 0.33 | － | － | 2.67 |
| | 8.0 ～ | － | － | － | － | 0.19 | 0.17 | 0.46 | 0.96 | － | － | － | 1.78 |
| | 小計 | 0.08 | 0.71 | 0.89 | 0.38 | 1.38 | 0.33 | 4.62 | 5.04 | 1.42 | 1.50 | 2.67 | 19.01 |

注）風速の集計高さは、焼却施設の排出高さである地上 100.0m とした。

# 資料３－３　排出ガスの拡散計算式

## （１）拡散式（建設機械の稼働、排ガスの排出）

【拡散式】

| 区　　分 | 拡　　散　　式 |
|---|---|
| プルーム式 | $C(x,y,z:H_e)=\dfrac{Q_\rho}{\sqrt{2\pi}\ (\pi/8)\cdot R\cdot\sigma_z\cdot u}\left[\exp\left[-\dfrac{1}{2}\left(\dfrac{z-H_e}{\sigma_z}\right)^2\right]+\left[\exp\left[-\dfrac{1}{2}\left(\dfrac{z+H_e}{\sigma_z}\right)^2\right]\right]\right.$ |
| パ　フ　式 | $C(x,y,z:H_e)=\dfrac{Q_\rho}{(2\pi)^{3/2},\gamma}\left(\dfrac{1}{\eta_-^{\,2}}+\dfrac{1}{\eta_+^{\,2}}\right)$ |
| 記号説明 | C　：濃度　〔$m^3$ / $m^3$又は kg/ $m^3$〕<br>R　：$R^2=x^2+y^2$〔m〕, x: 風下距離〔m〕, y:x に直角な水平距離〔m〕<br>z　：x に直角な鉛直距離　〔m, 計算地点の地上高さ〕<br>$H_e$　：有効煙突高　〔m〕<br>$\sigma_z$　:z 方向の拡散パラメータ〔m〕<br>u　：風速〔m/ 秒〕<br>$\eta_\pm$：$\eta_\pm^{\,2}=x^2+y^2+(\alpha^2/\gamma^2)(z\pm H_e)^2$（複号同順）<br>$\alpha$　：水平方向の拡散パラメータ〔m/ 秒〕<br>$\gamma$　：鉛直方向の拡散パラメータ〔m/ 秒〕<br>$Q_p$　：汚染物質排出強度〔$m^3{}_N$/ 秒または kg/ 秒〕 |

【重合計算式】

| 区　　分 | 拡　　散　　式 |
|---|---|
| 予　測　式 | $C=\sum_l\sum_m C_{l,m}\cdot h_{l,m}$<br>$C_{l,m}=\sum_i\sum_j\sum_k C_{l,m(D_i,V_j,\alpha_k)}\cdot f_{l,m(D_i,V_j,\alpha_k)}$ |
| 記号説明 | $C$　：年平均濃度<br>$C_{l,m}$　：期間 $l$、時間帯 $m$の平均濃度<br>$C_{l,m(D_i,V_j,\alpha_k)}$: 風向 $D_i$、風速 $V_j$、安定度 $\alpha_k$における１時間濃度<br>$f_{l,m(D_i,V_j,\alpha_k)}$: 期間 $l$、時間帯 $m$における風向 $D_i$、風速 $V_j$、安定度 $\alpha_k$の出現率<br>$h_{l,m}$　：期間 $l$、時間帯 $m$の時間数の年間の総時 間数に対する比率 |

【短期濃度の拡散式】

| 区　　分 | 拡　　散　　式 |
|---|---|
| プルーム式 | $C(x,y,z:H_e)=\dfrac{Q_P}{2\pi\sigma_y\sigma_z u}\exp\left[-\dfrac{1}{2}\left(\dfrac{y}{\sigma_y}\right)^2\right]$<br>$\left[\exp\left[-\dfrac{1}{2}\left(\dfrac{z-H_e}{\sigma_z}\right)^2\right]+\exp\left[-\dfrac{1}{2}\left(\dfrac{z+H_e}{\sigma_z}\right)^2\right]\right]$ |
| 記号説明 | $\sigma_y$　：水平方向の拡散幅　(m)<br>ただし、パスキル・ギフォート線図で得られた$\sigma_y$に 1.82 注)<br>を乗じる。<br>その他：長期平均値予測のプルーム式と同じ。 |

注）時間希釈係数：(60 分/３分)$^{1/5}$＝1.82
　　悪臭の場合は、評価時間を 0.5 分として補正を行う。

## （２）拡散パラメータ（建設機械の稼働、排ガスの排出）

拡散パラメータは、図３－２に示すパスキル・ギフォード線図による。

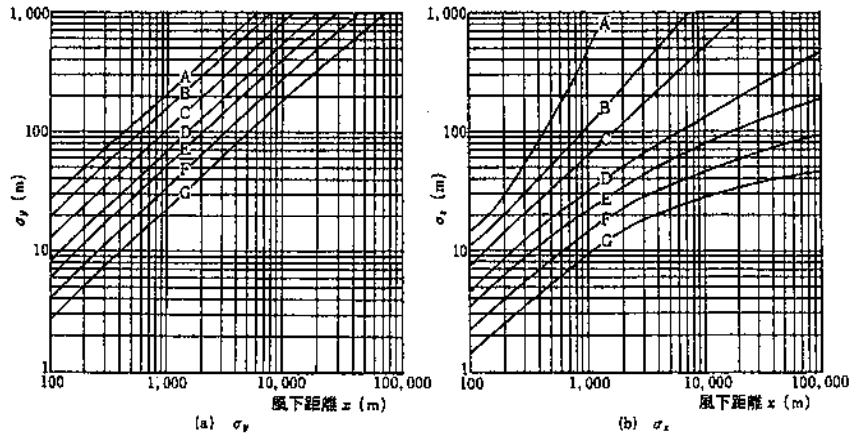


図３－２　パスキル・ギフォード線図

## （３）有効煙突高算定式

| 風速区分 | 有効煙突高さの計算式 |
|---|---|
| 有風時<br>（風速 1.0m/s 以上） | CONCAWE式 |
| 弱風時<br>（風速 0.5～0.9m/s 以上） | Briggs式（風速0.0m/s）とCONCAWE式（風速2.0m/s）で求めた上昇高さを、風速階級0.5～1.9m/sの代表風速で線形内挿 |
| 無風時<br>（風速 0.4m/s 以下） | Briggs式（風速0.0m/s）とCONCAWE式（風速2.0m/s）で求めた上昇高さを、風速階級0.4m/sの代表風速で線形内挿 |

| 区　分 | 有　効　煙　突　高　さ　の　計　算　式 | |
|---|---|---|
| 有風時 | CONCAWE式 | $H_e = H_0 + \Delta H$<br>$\Delta H = 0.0855 Q_H^{1/2} \cdot U^{-3/4}$ |
| 無風時 | Briggs式 | $H_e = H_0 + \Delta H$<br>$\Delta H = 0.979 Q_H^{1/4} (d\theta/dz)^{-3/5}$ |

記　号

$H_e$　：有効煙突高さ（m）

$H_0$　：煙突の実高さ（m）

$\Delta H$　：排煙の上昇高さ（m）

$Q_H$　：排出熱量（J／s）

$Q_H = \rho \cdot Q \cdot C_p \cdot \Delta T$

$\rho$　：0℃における排出ガス密度（＝ $1.293 \times 10^3$ g／$m^3$）

$Q$　：排出ガス量（湿り）（$m^3$(N)／s）

$C_p$　：定圧比熱（＝ 1.0056 J／K・g）

$\Delta T$　：排出ガス温度と気温（＝ 15℃）との温度差（℃）

$U$　：煙突筒頂付近の風速（m／s）

$d\theta/dz$　：温位勾配（℃／m）

大気安定度 A～D（昼）　：　0.003

大気安定度 D（夜）～G　：　0.010

### （４）指数近似モデルⅠ

ＮＯ$_2$への変換は、指数近似モデルⅠによる。

$$[NO_2]=[NO_X]_D\times\left\{1-\frac{\alpha}{1+\beta}(\exp(-Kt)+\beta)\right\}$$

記号

［ＮＯ$_2$］　：　二酸化窒素濃度（ppm）
［ＮＯx］$_D$　：　拡散計算で得た窒素酸化物濃度（ppm）
ｔ　：　拡散時間（ｓ）
$\alpha$　：　排出源近傍での一酸化窒素と窒素酸化物との比
$\beta$　：　ＮＯ→ＮＯ$_2$の平衡状態を近似する定数
$K$　：　ＮＯ→ＮＯ$_2$の変換速度を規定する定数（ｓ$^{-1}$）

Ｋ＝0.0062 ×風速×［Ｏ$_3$］$_B$　$\alpha$＝0.83
（固定排出源）
Ｋ＝0.23 ×風速×［Ｏ$_3$］$_B$　　$\alpha$＝0.80
（移動排出源）
［Ｏ$_3$］$_B$ ：バックグラウンド・オゾン濃度（ppm）

| $\beta$ |
|---|
| 朝・昼 0.3、夜・深夜 0.0 |

［Ｏ$_3$］$_B$ ＝［Ｏx］－ 0.04［ＮＯx］

### （５）接地逆転層崩壊時の拡散式

「ごみ焼却施設環境アセスメントマニュアル」(昭和61年　(社)全国都市清掃会議)における以下に示す大気拡散計算式を用いる。

$$C_{max}=\frac{Q_p}{\sqrt{2\pi}\cdot\sigma_{yf}\cdot u\cdot L_f}\cdot 10^6$$

また、濃度が最大（$C_{max}$)となる風下距離($X_{max}$)は、次式で算出される。

$$X_{max}=u\cdot\rho_a\cdot C_p\frac{L_f^2-H_0^2}{4\cdot\kappa}$$

記号

$C_{max}$　：汚染物質の最大付加濃度（ppm、mg/m$^3$）
$Q_p$　：汚染物質の排出量（m$^3_N$/s、kg/s）
$\sigma_{yf}$　：フュミゲーション時の排ガスの水平方向の拡散幅（m）
$\sigma_{yf}=\sigma_{yc}+0.47\cdot H_e$
$\sigma_{yc}$：カーペンターらによる水平方向の拡散幅（m）（図3－3）
$H_e$　：有効煙突高（$H_e=H_0+\Delta H$）（m）
$H_0$　：煙突実体高（m）
u　：煙突頂部の風速（m/s）
$L_f$　：フュミゲーション時の煙の上端高さ又は逆転層が崩壊する高さ（m）
$L_f=1.1\cdot(H_e+2.15\cdot\sigma_{zc})$
$\sigma_{zc}$：カーペンターらによる鉛直方向の拡散幅（m）（図3－3）
$X_{max}$　：最大濃度出現距離（m）
$\rho_a$　：空気の密度（g/m$^3$）
$\kappa$　：大気の渦伝導度（J/m/K/s）
$C_p$　：空気の定圧比熱（J/K/g）

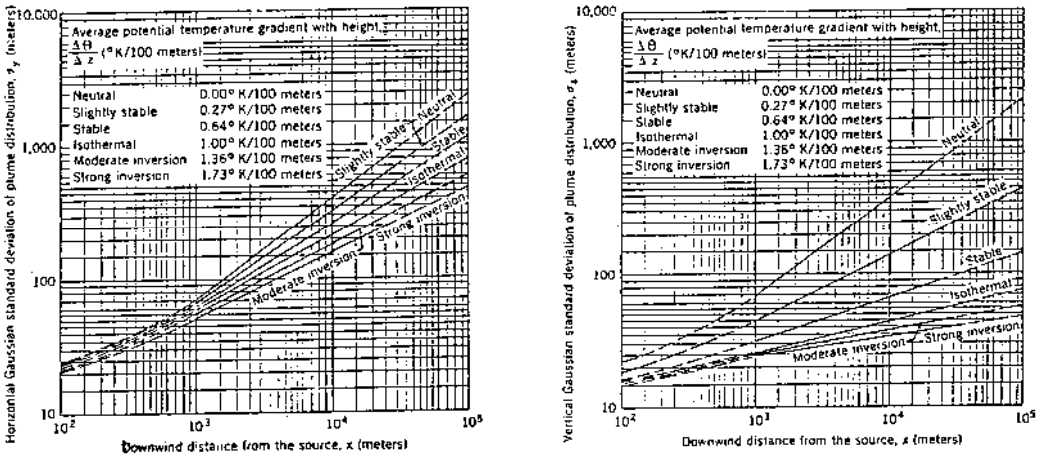


水平方向の拡散幅　　鉛直方向の拡散幅

出典：「ごみ焼却施設環境アセスメントマニュアル」（昭和61年　社団法人　全国都市清掃会議）

**図 3－3　カーペンターらによる煙の拡がり幅**

# 資料３－４　日平均値の年間 98%値または２%除外値への変換式

（１）自排局（建設機械の稼働による予測に使用）

測定局：川崎市内の自排局（全９局）

期　間：平成 30 年度～令和４年度の過去５ヵ年

表3－4　年平均値及び日平均値の年間98%値（または２%除外値）の回帰式

| 項目 | 回帰式 | 相関係数 |
|---|---|---|
| 二酸化窒素 | 〔日平均値の年間98%値〕＝1.266×〔年平均値〕＋0.014（ppm） | 0.920 |
| 浮遊粒子状物質 | 〔日平均値の２%除外値〕＝2.701×〔年平均値〕－0.004(mg/m$^3$) | 0.887 |

注）建設機械の排出ガス予測では、発生源（建設機械）近傍の拡散計算であることから、自排局のデータによる回帰式を用いた。

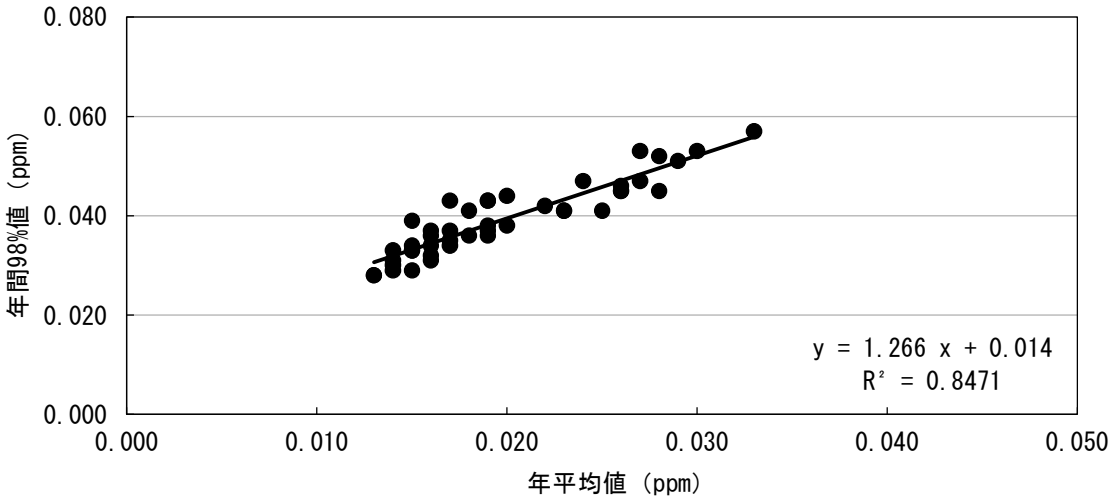


図 3－4(1)　自排局（９局）における相関図（ＮＯ$_2$）

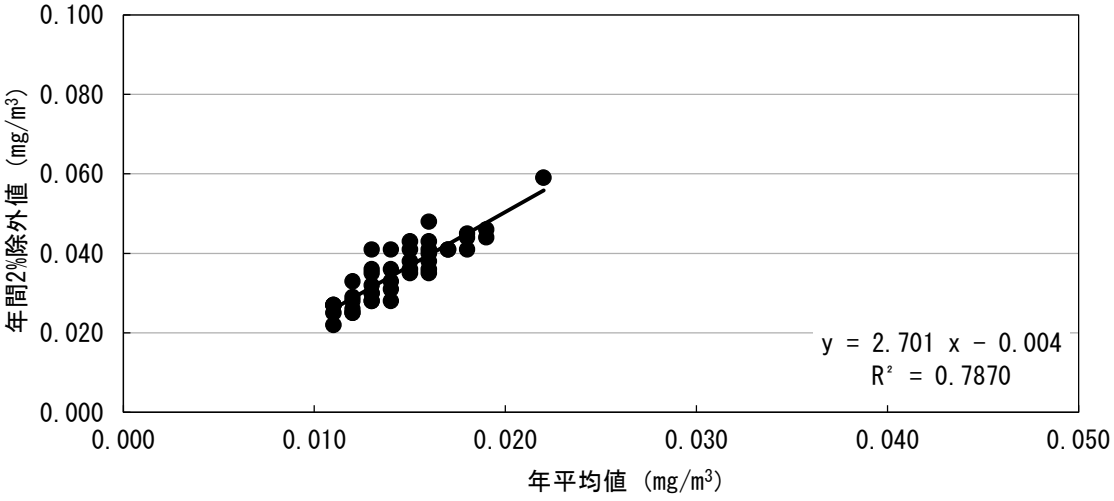


図 3－4(2)　自排局（９局）における相関図（ＳＰＭ）

（２）「道路環境影響評価の技術手法」換算式（工事用車両の走行による予測に使用）

| 項　目 | 換　算　式 |
|---|---|
| 二酸化窒素 | 〔年間 98％値〕 ＝ a ($[NO_2]_{BG}$＋$[NO_2]_R$)＋ b<br>a ＝1.34＋0.11･exp(－$[NO_2]_R/[NO_2]_{BG}$)<br>b =0.0070＋0.0012･exp(－$[NO_2]_R/[NO_2]_{BG}$) |
| 浮遊粒子状物質 | 〔年間２％除外値〕 ＝ a ($[SPM]_{BG}$＋$[SPM]_R$)＋ b<br>a ＝1.71＋0.37･exp(－$[SPM]_R/[SPM]_{BG}$)<br>b ＝0.0063＋0.0014･exp(－$[SPM]_R/[SPM]_{BG}$) |

注）$[NO_2]_R$　：二酸化窒素の道路寄与濃度の年平均値（ppm）
　　$[NO_2]_{BG}$　：二酸化窒素のバックグラウンド濃度の年平均値（ppm）
　　$[SPM]_R$　：浮遊粒子状物質の道路寄与濃度の年平均値（$mg/m^3$）
　　$[SPM]_{BG}$　：浮遊粒子状物質のバックグラウンド濃度の年平均値（$mg/m^3$）
出典：「道路環境影響評価の技術手法」

（３）一般局（排ガスの排出による予測に使用）

測定局：川崎市内の一般局（全９局）

期　間：平成 30 年度～令和４年度の過去５ヵ年

表3－5　年平均値及び日平均値の年間98%値（または２%除外値）の回帰式

| 項目 | 回帰式 | 相関係数 |
|---|---|---|
| 二酸化硫黄 | 〔日平均値の２%除外値〕 ＝2.1107×〔年平均値〕 ＋0.0007(ppm) | 0.775 |
| 二酸化窒素 | 〔日平均値の年間98%値〕 ＝1.843×〔年平均値〕 ＋0.0083 (ppm) | 0.852 |
| 浮遊粒子状物質 | 〔日平均値の２%除外値〕 ＝3.0126×〔年平均値〕 -0.0069($mg/m^3$) | 0.877 |

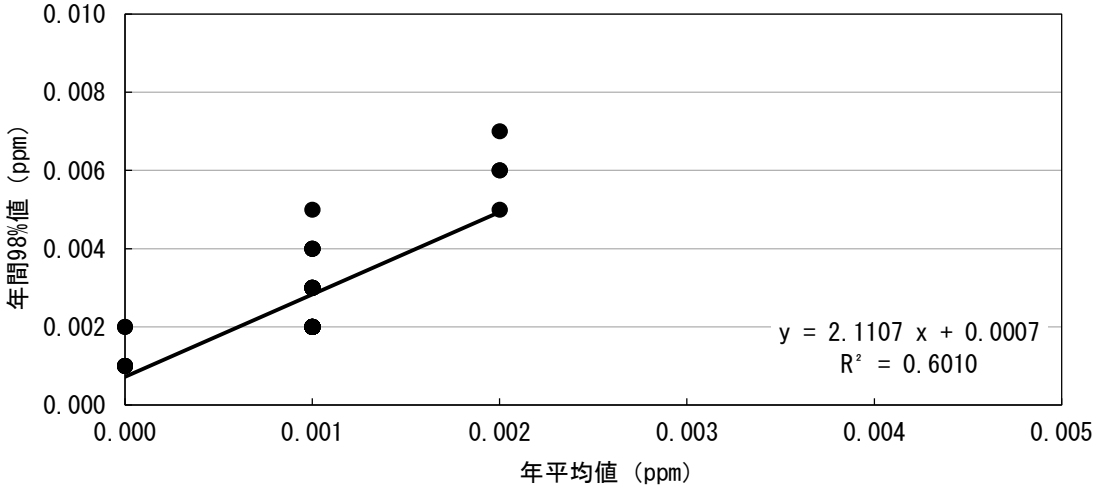


図 3－5(1)　一般局（９局）における相関図（$SO_2$）

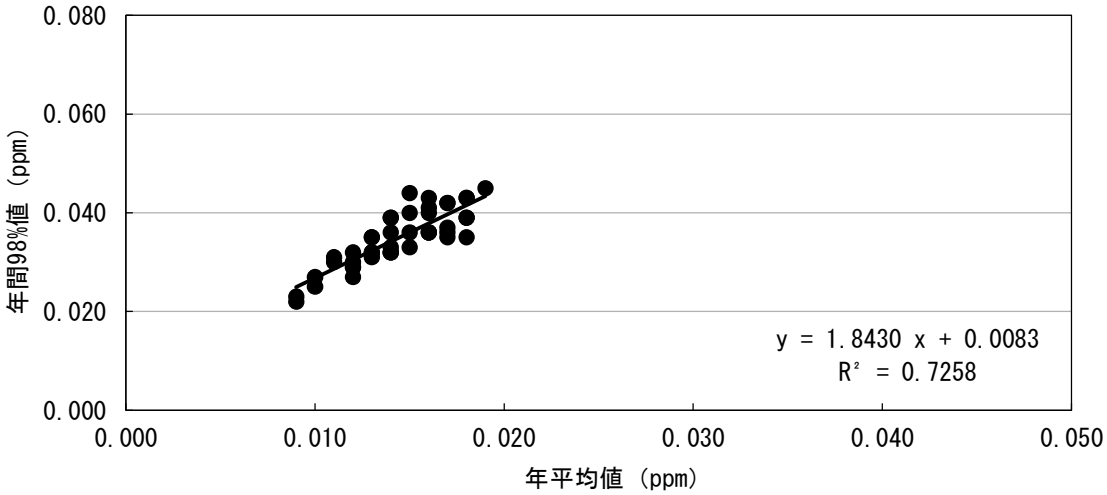


図 3－5(2)　一般局（９局）における相関図（ＮＯ$_2$）

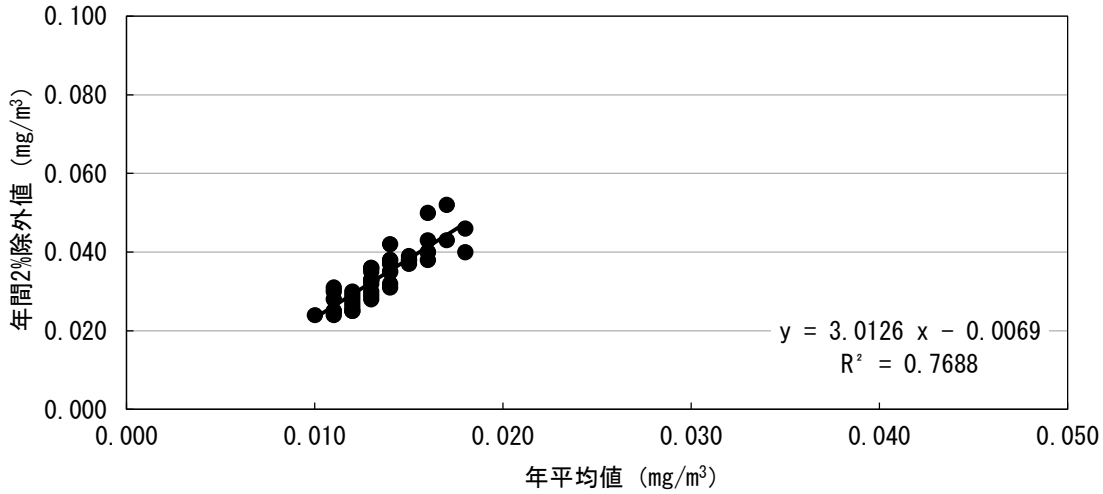


図 3－5(3)　一般局（９局）における相関図（ＳＰＭ）

# 資料３－５　建設機械に係る大気汚染物質排出量算定

排出量の算定には、「道路環境影響評価の技術手法」の手法を用いた。

$$q_{NOx} = (P \times \overline{NOx}) \times Br / b$$
$$q_{SPM} = (P \times \overline{PM}) \times Br / b$$

〔記　号〕

$q_{NOx}$：窒素酸化物排出量（g/h）
$q_{SPM}$：浮遊粒子状物質排出量（g/h）
P　：定格出力（kW）
$\overline{NOx}$　：ISO-CIモードにおける窒素酸化物の排出係数（g/kW・h）
$\overline{PM}$　：ISO-CIモードにおける粒子状物質の排出係数（g/kW・h）
Br　：実作業ベースの平均燃料消費率で積算基準値を1.2で除したもの（g/kW・h）
b　：ISO-CIモードにおける平均燃料消費率（g/kW・h）

建設機械諸元一覧は表3－6に、予測ケース毎の排出量は表3－7(1)、(2)に示す。

**表3－6　建設機械諸元一覧**

| 機　種 | 規　格 | F:定格出力 | Br：燃料消費率 | | 排出係数原単位 | | 平均燃料消費率 | 対策・未対策の別 |
|---|---|---|---|---|---|---|---|---|
| | | kw | l/kw･h | g/kw･h | NOx g/kw・h | PM g/kw・h | g/kw･h | |
| 杭打機 | 150kW | 159 | 0.088 | 73.3 | 14.0 | 0.41 | 237 | 排出ガス未対策型 |
| クラムシェル | 0.4～0.6m³ | 113 | 0.144 | 120.0 | 8.0 | 0.34 | 239 | 一次排出ガス対策型 |
| クローラクレーン | 50 t | 132 | 0.076 | 63.3 | 5.3 | 0.15 | 229 | 二次排出ガス対策型 |
| クローラクレーン | 150 t | 184 | 0.076 | 63.3 | 5.3 | 0.15 | 229 | 二次排出ガス対策型 |
| クローラクレーン | 200 t | 235 | 0.076 | 63.3 | 5.3 | 0.15 | 229 | 二次排出ガス対策型 |
| クローラクレーン | 350 t | 235 | 0.076 | 63.3 | 5.3 | 0.15 | 229 | 二次排出ガス対策型 |
| コンクリートポンプ車 | 20m³ | 74 | 0.066 | 55.0 | 13.9 | 0.45 | 239 | 排出ガス未対策型 |
| コンクリートミキサー車 | 10t | 213 | 0.059 | 49.2 | 14.0 | 0.41 | 237 | 排出ガス未対策型 |
| バックホウ | 0.25m³ | 41 | 0.144 | 120.0 | 6.1 | 0.27 | 238 | 二次排出ガス対策型 |
| バックホウ | 0.4m³ | 64 | 0.144 | 120.0 | 5.4 | 0.22 | 234 | 二次排出ガス対策型 |
| バックホウ | 0.27m³ | 116 | 0.144 | 120.0 | 5.4 | 0.22 | 234 | 二次排出ガス対策型 |
| 発電機 | 220kVA | 201 | 0.123 | 102.5 | 5.3 | 0.15 | 229 | 二次排出ガス対策型 |
| ラフタークレーン | 25 t | 193 | 0.075 | 62.5 | 5.3 | 0.15 | 229 | 二次排出ガス対策型 |
| ラフタークレーン | 50 t | 257 | 0.075 | 62.5 | 5.3 | 0.15 | 229 | 二次排出ガス対策型 |

## 表 3－7(1)　長期平均濃度排出量（12 ヵ月間(工事開始 74～85 ヵ月)）

| 機　械 | | 1 台当たりの日排出量 | | 年間稼働台数 (台/年) | 年排出量 | |
|---|---|---|---|---|---|---|
| | | NOx (ｇ/日･台) | SPM (ｇ/日･台) | | NOx (kg/年) | SPM (kg/年) |
| 杭打機 | 150kW | 2.0460 | 0.1230 | 300 | 614 | 37 |
| クラムシェル | 0.4～0.6m$^3$ | 1.4146 | 0.1235 | 250 | 354 | 31 |
| クローラクレーン | 50 t | 0.5653 | 0.0329 | 300 | 170 | 10 |
| クローラクレーン | 150 t | 0.7880 | 0.0458 | 125 | 99 | 6 |
| クローラクレーン | 200 t | 1.0064 | 0.0585 | 300 | 302 | 18 |
| クローラクレーン | 350 t | 1.0064 | 0.0585 | 300 | 302 | 18 |
| コンクリートポンプ車 | 20m$^3$ | 0.7953 | 0.0529 | 150 | 119 | 8 |
| コンクリートミキサー車 | 10 t | 1.5062 | 0.0906 | 150 | 226 | 14 |
| バックホウ | 0.25m$^3$ | 0.3869 | 0.0352 | 375 | 145 | 13 |
| バックホウ | 0.4m$^3$ | 0.5437 | 0.0455 | 300 | 163 | 14 |
| バックホウ | 0.7m$^3$ | 0.9855 | 0.0824 | 350 | 345 | 29 |
| 発電機 | 220kVA | 1.7415 | 0.1012 | 425 | 740 | 43 |
| ラフタークレーン | 25 t | 0.8157 | 0.0474 | 300 | 245 | 14 |
| ラフタークレーン | 50 t | 1.0862 | 0.0631 | 300 | 326 | 19 |
| 合計 | | 14.6877 | 0.9605 | 3,925 | 4,150 | 274 |

## 表 3－7(2)　短期平均濃度排出量（76 ヵ月目）

| 機　械 | | 1 台当たりの時間排出量 | | ピーク稼働台数 (台/ピーク時) | 日排出量 | |
|---|---|---|---|---|---|---|
| | | NOx (ｇ/時･台) | SPM (ｇ/時･台) | | NOx (ｇ/時) | SPM (ｇ/時) |
| 杭打機 | 150kW | 688.8 | 20.2 | 2 | 1,378 | 40 |
| クローラクレーン | 50 t | 193.5 | 5.5 | 2 | 387 | 11 |
| クローラクレーン | 200 t | 344.5 | 9.7 | 1 | 345 | 10 |
| クローラクレーン | 350 t | 344.5 | 9.7 | 1 | 345 | 10 |
| バックホウ | 0.4m$^3$ | 177.2 | 7.2 | 2 | 354 | 14 |
| バックホウ | 0.7m$^3$ | 321.2 | 13.1 | 3 | 964 | 39 |
| 発電機 | 220kVA | 476.8 | 13.5 | 2 | 954 | 27 |
| ラフタークレーン | 25 t | 279.2 | 7.9 | 1 | 279 | 8 |
| ラフタークレーン | 50 t | 371.8 | 10.5 | 1 | 372 | 11 |
| 合計 | | 3197.5 | 97.3 | 15 | 5,378 | 170 |

# 資料３－６　車両の排出ガスの拡散計算式

二酸化窒素及び浮遊粒子状物質濃度の予測については、「道路環境影響評価の技術手法平成24年度版」に示される大気拡散式（プルーム式及びパフ式）を用いた。

予測式は以下のとおりである。

①有風時（風速1.0m/秒を超える場合）：プルーム式

$$C(x,y,z)=\frac{Q}{2\pi\cdot u\cdot\sigma_y\cdot\sigma_z}\cdot\exp\left(-\frac{y^2}{2\sigma_y{}^2}\right)\cdot\left[\exp\left\{-\frac{(z+H)^2}{2\sigma_z{}^2}\right\}+\exp\left\{-\frac{(z-H)^2}{2\sigma_z{}^2}\right\}\right]$$

$$\sigma_y=\frac{W}{2}+0.46L^{0.81}$$

$$\sigma_z=\sigma_{z0}+0.31L^{0.83}$$

［記　号］

| | |
|---|---|
| C(x,y,z) | ：(x,y,z)地点における窒素酸化物濃度（ppm）又は浮遊粒子状物質濃度（mg/m$^3$） |
| Q | ：点煙源の窒素酸化物の排出量（mℓ/秒）又は浮遊粒子状物質の排出量（mg/秒） |
| u | ：平均風速（m/秒） |
| H | ：排出源の高さ（m） |
| $\sigma_y$, $\sigma_z$ | ：水平（y）、鉛直（z）方向の拡散幅（m）<br>（x<W/2の場合は、$\sigma_y$=W/2、$\sigma_z=\sigma_{z0}$とする。） |
| $\sigma_{z0}$ | ：鉛直方向の初期拡散幅（1.5m(遮音壁がない場合)） |
| L | ：車道部端からの距離（L=x-W/2）（m） |
| x | ：風向に沿った風下距離（m） |
| W | ：車道部幅員（m） |
| x | ：風向に沿った風下距離（m） |
| y | ：ｘ軸に直角な水平距離（m） |
| z | ：ｘ軸に直角な鉛直距離（m） |

②弱風時（風速1.0m/秒以下）：パフ式

$$C(x,y,z)=\frac{Q_z}{(2\pi)^{3/2}\cdot\alpha^2\cdot\gamma}\left\{\frac{1-\exp\left(-\frac{\ell}{t_0{}^2}\right)}{2\ell}+\frac{1-\exp\left(-\frac{m}{t_0{}^2}\right)}{2m}\right\}$$

$$\ell=\frac{1}{2}\cdot\left\{\frac{x^2+y^2}{\alpha^2}+\frac{(z-H)^2}{\gamma^2}\right\}$$

$$m=\frac{1}{2}\cdot\left\{\frac{x^2+y^2}{\alpha^2}+\frac{(z+H)^2}{\gamma^2}\right\}$$

［記　号］

| | |
|---|---|
| $t_o$ | ：初期拡散幅に相当する時間（$t_0=W/2\alpha$）（秒） |
| $\alpha$, $\gamma$ | ：拡散幅に関する係数<br>（$\alpha$=0.3、$\gamma$=0.18(昼間:7:00～19:00)、$\gamma$=0.09(夜間:19:00～7:00)） |

③　重合計算式

$$Ca = \frac{\sum_{t=1}^{24} Ca_t}{24}$$

$$Ca_t = \left[ \sum_{s=1}^{16} \left\{ \left( Rw_s / uw_{ts} \right) \times fw_{ts} \right\} + Rc_{dn} \times fc_t \right] Q_t$$

［記　号］

Ca　：年平均濃度（ppm又はmg/$m^3$）
$Ca_t$　：時刻tにおける年平均濃度（ppm又はmg/$m^3$）
$Rw_s$　：プルーム式により求められた風向別基準濃度（$m^{-1}$）
$fw_{ts}$　：年平均時間別風向出現割合
$uw_{ts}$　：年平均時間別風向別平均風速（m/秒）
$Rc_{dn}$　：パフ式により求められた昼夜別基準濃度（秒/$m^2$）
$fc_t$　：年平均時間別弱風時出現割合
$Q_t$　：年平均時間別平均排出量（mℓ/m･秒、mg/m･秒）

なお、添字のsは風向（16方位）、tは時間、dnは昼夜の別、wは有風時、cは弱風時を示す。

# 資料３－７　建設機械の稼働による短期将来濃度の予測結果

建設機械の稼働による短期将来濃度の風向別の予測結果は以下の表3－8(1)、(2)に示すとおりである。また、短期将来濃度予測の気象条件時（風速：0.5～1.4m/秒、大気安定度：Ｄ）の風向別出現頻度は、表3－9に示すとおりである。

**表 3－8(1)　建設機械の稼働による二酸化窒素の付加濃度（短期将来濃度）**

| 風　向 | 建設機械による付加濃度 (ppm) | バックグラウンド濃度 (ppm) | 将来予測濃度 (ppm) | 環境保全目標 (ppm) |
|---|---|---|---|---|
| N | 0.143 | 0.025 | 0.168 | 0.2 以下 |
| NNE | 0.141 | | 0.166 | |
| NE | 0.135 | | 0.160 | |
| ENE | 0.129 | | 0.154 | |
| E | 0.125 | | 0.150 | |
| ESE | 0.114 | | 0.139 | |
| SE | 0.119 | | 0.144 | |
| SSE | 0.115 | | 0.140 | |
| S | 0.137 | | 0.162 | |
| SSW | 0.126 | | 0.151 | |
| SW | 0.126 | | 0.151 | |
| WSW | 0.133 | | 0.158 | |
| W | 0.132 | | 0.157 | |
| WNW | 0.125 | | 0.150 | |
| NW | 0.131 | | 0.156 | |
| NNW | 0.129 | | 0.154 | |

：最大値

**表 3－8(2)　建設機械の稼働による浮遊粒子状物質の付加濃度（短期将来濃度）**

| 風　向 | 建設機械による付加濃度 ($mg/m^3$) | バックグラウンド濃度 ($mg/m^3$) | 将来予測濃度 ($mg/m^3$) | 環境保全目標 ($mg/m^3$) |
|---|---|---|---|---|
| N | 0.048 | 0.013 | 0.061 | 0.20 以下 |
| NNE | 0.050 | | 0.063 | |
| NE | 0.049 | | 0.062 | |
| ENE | 0.045 | | 0.058 | |
| E | 0.043 | | 0.056 | |
| ESE | 0.040 | | 0.053 | |
| SE | 0.043 | | 0.056 | |
| SSE | 0.039 | | 0.052 | |
| S | 0.046 | | 0.059 | |
| SSW | 0.044 | | 0.057 | |
| SW | 0.045 | | 0.058 | |
| WSW | 0.047 | | 0.060 | |
| W | 0.045 | | 0.058 | |
| WNW | 0.043 | | 0.056 | |
| NW | 0.046 | | 0.059 | |
| NNW | 0.044 | | 0.057 | |

：最大値

## 表 3－9　短期将来濃度予測の気象条件時の風向別出現頻度

| 風　向 | 時間数 | 頻度 |
|---|---|---|
| N | 174 | 15.5%（ 2.0%） |
| NNE | 104 | 9.2%（ 1.2%） |
| NE | 94 | 8.3%（ 1.1%） |
| ENE | 65 | 5.8%（ 0.7%） |
| E | 67 | 6.0%（ 0.8%） |
| ESE | 54 | 4.8%（ 0.6%） |
| SE | 39 | 3.5%（ 0.5%） |
| SSE | 110 | 9.8%（ 1.3%） |
| S | 68 | 6.0%（ 0.8%） |
| SSW | 14 | 1.2%（ 0.2%） |
| SW | 9 | 0.8%（ 0.1%） |
| WSW | 8 | 0.7%（ 0.1%） |
| W | 15 | 1.3%（ 0.2%） |
| WNW | 53 | 4.7%（ 0.6%） |
| NW | 128 | 11.4%（ 1.5%） |
| NNW | 124 | 11.0%（ 1.4%） |
| 合計 | 1,126 | 100.0%（12.9%） |

注）（）内の数値は、年間の風向別出現頻度に対する割合を示す。

# 資料３－８　工事用車両の走行に係る大気質の予測結果（距離減衰状況）

工事用車両の走行に係る大気質の予測結果（距離減衰状況）は、図3－6(1)、(2)に示すとおりである。

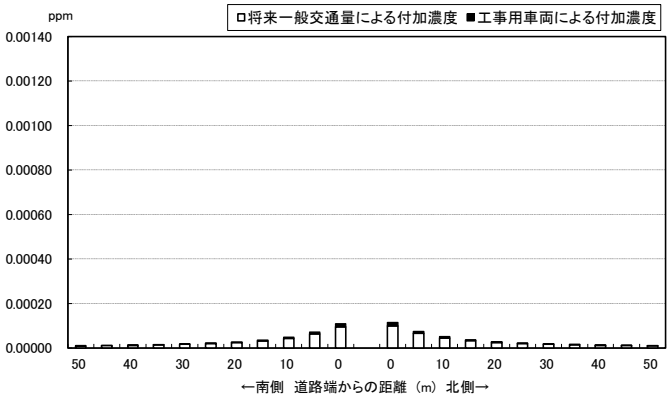


二酸化窒素

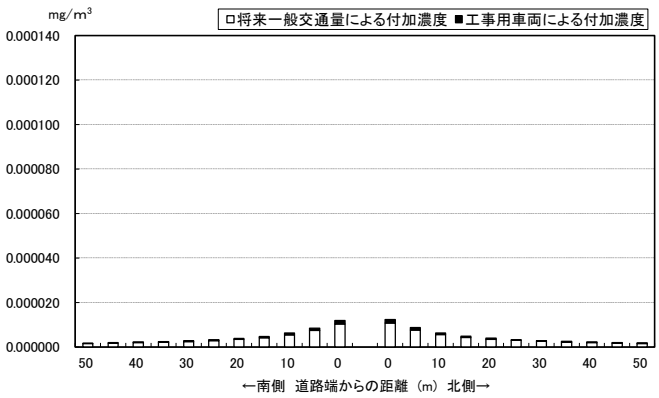


浮遊粒子状物質

【地点１：市道堤根２号線】

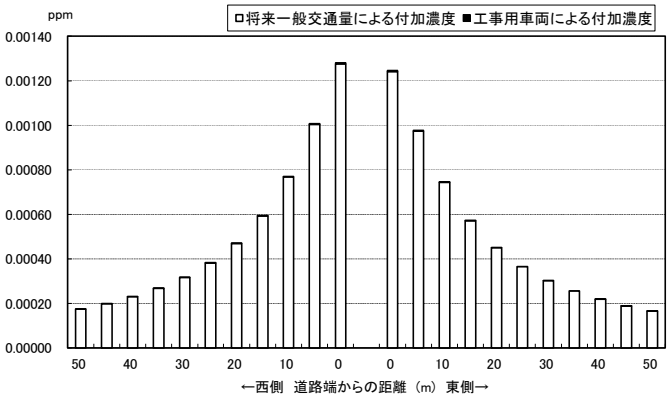


二酸化窒素

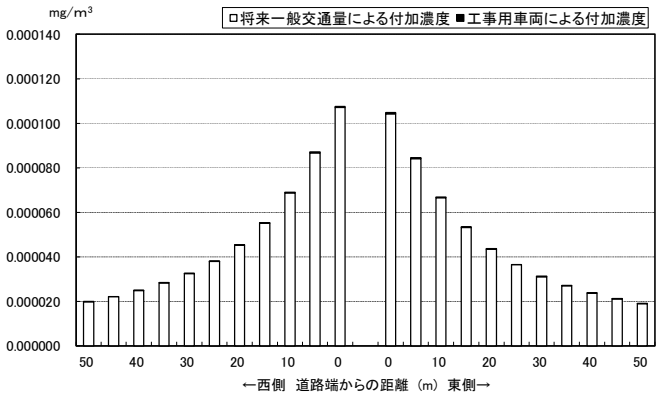


浮遊粒子状物質

【地点２：県道川崎町田線】

図 3－6(1)　工事用車両の走行に係る大気質の予測結果（距離減衰状況）

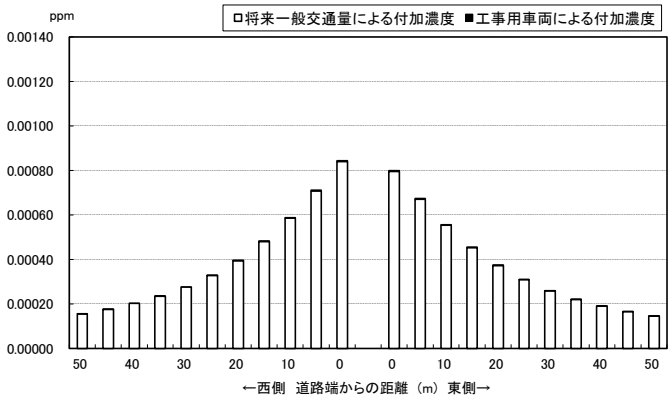


二酸化窒素

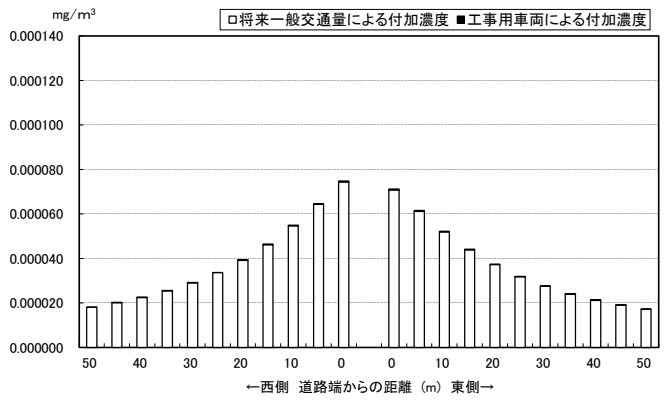


浮遊粒子状物質

【地点３：県道川崎町田線】

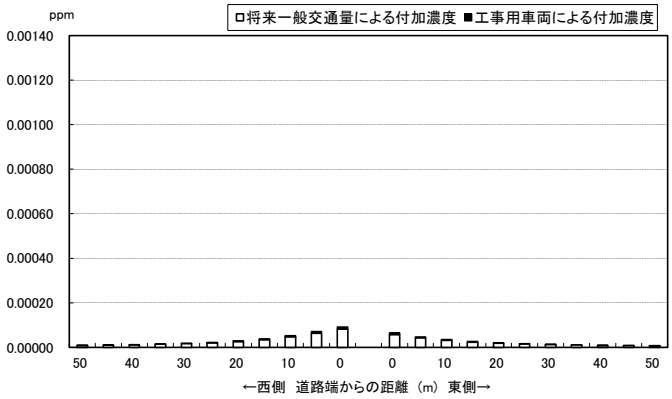


二酸化窒素

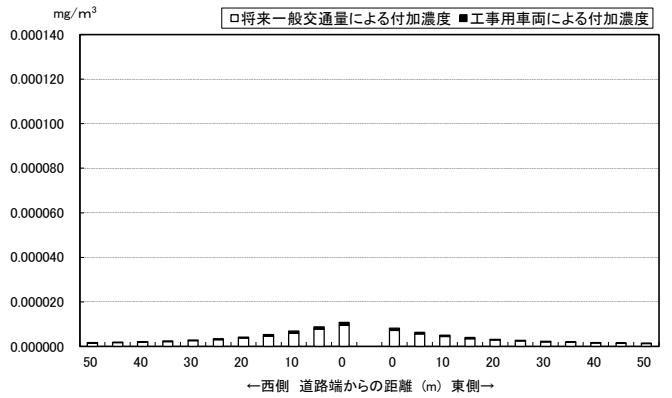


浮遊粒子状物質

【地点４：市道柳町８号】

図 3－6(2)　工事用車両の走行に係る大気質の予測結果（距離減衰状況）

# 資料３－９　排ガスの排出に伴う短期将来濃度の予測結果

排ガスの排出に伴う短期将来濃度の予測結果を表3－10～表3－13に、距離減衰図（一般的な気象条件時、上層逆転時、ダウンウォッシュ時）を図3－7～図3－9に示す。

なお、一般的な気象条件時、上層逆転時、ダウンウォッシュ時の予測は、風下距離を変化させて最大となる濃度を求めるが、接地逆転層崩壊時については、先に濃度が最大となる風下距離を求めた上で濃度を予測する手法となっているため、距離ごとの予測は行っていない。

**表3－10　排ガスの排出に伴う短期将来濃度の予測結果（一般的な気象条件時）**

| 大気安定度 | 風速 | 最大付加濃度 | | | | 最大付加濃度出現距離 |
|---|---|---|---|---|---|---|
| | | 二酸化硫黄 | 二酸化窒素 | 浮遊粒子状物質 | 塩化水素 | |
| | m/s | ppm | ppm | mg/m$^3$ | ppm | km |
| A | 1.0 | 0.0011 | 0.0008 | 0.0011 | 0.0011 | 0.72(0.73) |
| | 2.0 | 0.0008 | 0.0006 | 0.0008 | 0.0008 | 0.62(0.64) |
| | 3.0 | 0.0007 | 0.0005 | 0.0007 | 0.0007 | 0.58(0.60) |
| B | 1.0 | 0.0006 | 0.0007 | 0.0006 | 0.0006 | 1.73(1.95) |
| | 2.0 | 0.0005 | 0.0005 | 0.0005 | 0.0005 | 1.32(1.48) |
| | 3.0 | 0.0005 | 0.0004 | 0.0005 | 0.0005 | 1.17(1.30) |
| | 4.0 | 0.0004 | 0.0004 | 0.0004 | 0.0004 | 1.08(1.19) |
| C | 1.0 | 0.0005 | 0.0007 | 0.0005 | 0.0005 | 3.46(4.04) |
| | 2.0 | 0.0004 | 0.0006 | 0.0004 | 0.0004 | 2.52(2.95) |
| | 3.0 | 0.0004 | 0.0005 | 0.0004 | 0.0004 | 2.16(2.54) |
| | 4.0 | 0.0003 | 0.0004 | 0.0003 | 0.0003 | 1.97(2.31) |
| | 5.0 | 0.0003 | 0.0003 | 0.0003 | 0.0003 | 1.85(2.17) |
| | 6.0 | 0.0003 | 0.0003 | 0.0003 | 0.0003 | 1.77(2.06) |
| D昼 | 1.0 | 0.0002 | 0.0004 | 0.0002 | 0.0002 | 14.30(16.10) |
| | 2.0 | 0.0002 | 0.0004 | 0.0002 | 0.0002 | 9.15(9.99) |
| | 3.0 | 0.0002 | 0.0003 | 0.0002 | 0.0002 | 7.36(8.98) |
| | 4.0 | 0.0002 | 0.0003 | 0.0002 | 0.0002 | 6.41(8.00) |
| | 5.0 | 0.0001 | 0.0003 | 0.0001 | 0.0001 | 5.85(7.37) |
| | 6.0 | 0.0001 | 0.0002 | 0.0001 | 0.0001 | 5.45(6.92) |
| D夜 | 1.0 | 0.0002 | 0.0005 | 0.0002 | 0.0002 | 14.30(16.09) |
| | 2.0 | 0.0002 | 0.0005 | 0.0002 | 0.0002 | 9.15(9.99) |
| | 3.0 | 0.0002 | 0.0004 | 0.0002 | 0.0002 | 7.36(9.03) |
| | 4.0 | 0.0002 | 0.0003 | 0.0002 | 0.0002 | 6.41(8.08) |
| | 5.0 | 0.0001 | 0.0003 | 0.0001 | 0.0001 | 5.85(7.44) |
| | 6.0 | 0.0001 | 0.0003 | 0.0001 | 0.0001 | 5.45(7.03) |
| E | 1.0 | 0.0001 | 0.0002 | 0.0001 | 0.0001 | 45.59(46.51) |
| | 2.0 | 0.0001 | 0.0002 | 0.0001 | 0.0001 | 22.68(24.77) |
| | 3.0 | 0.0001 | 0.0002 | 0.0001 | 0.0001 | 16.21(18.98) |
| | 4.0 | 0.0001 | 0.0002 | 0.0001 | 0.0001 | 13.23(16.24) |

注）最大着地濃度出現距離の（）内は、二酸化窒素の最大着地濃度出現距離を示す。

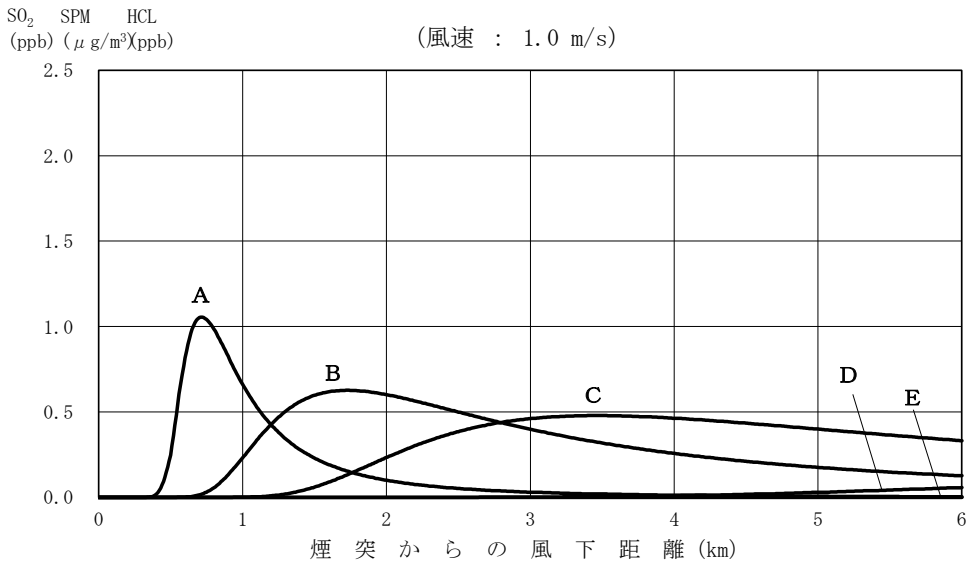


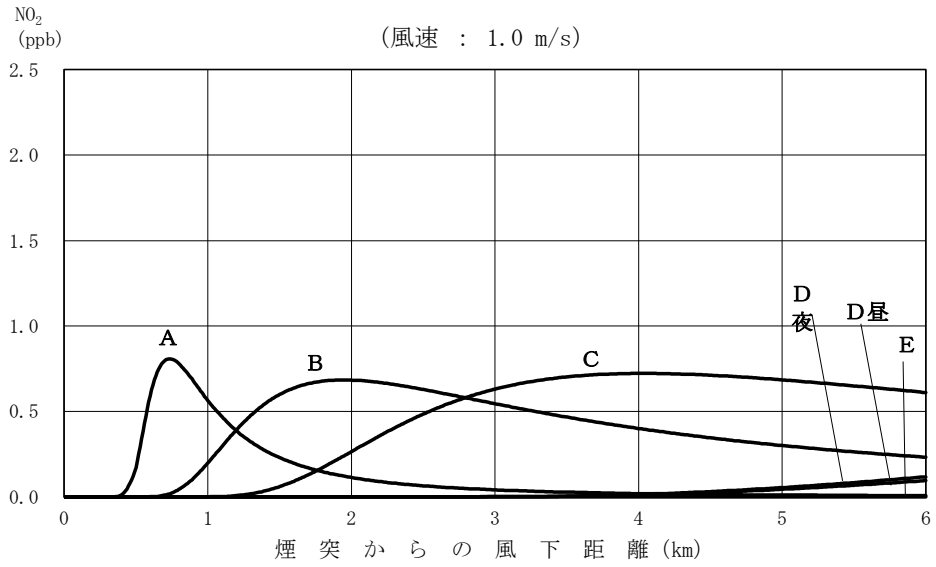


図3－7(1)　短期将来濃度距離減衰図（一般的な気象条件時：風速1.0m/秒）

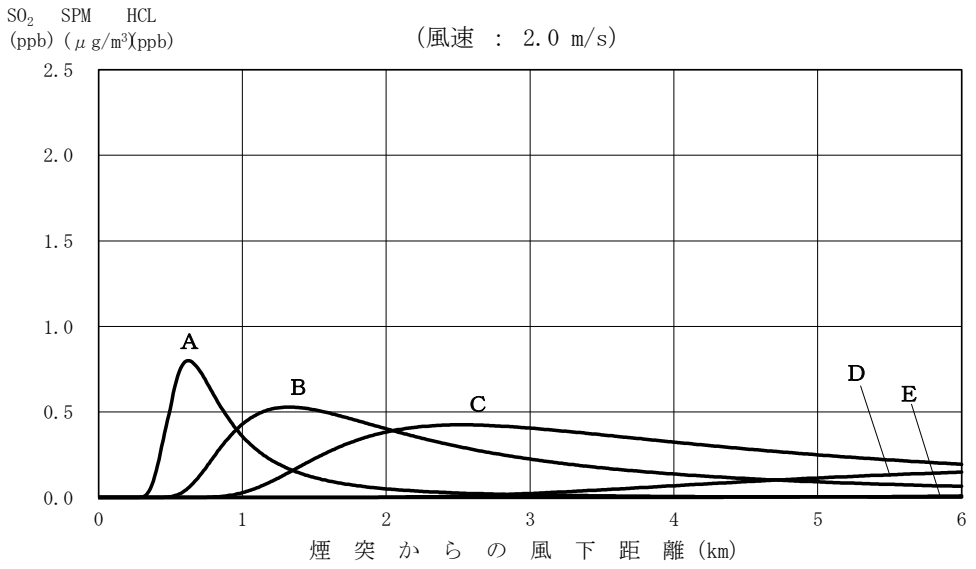


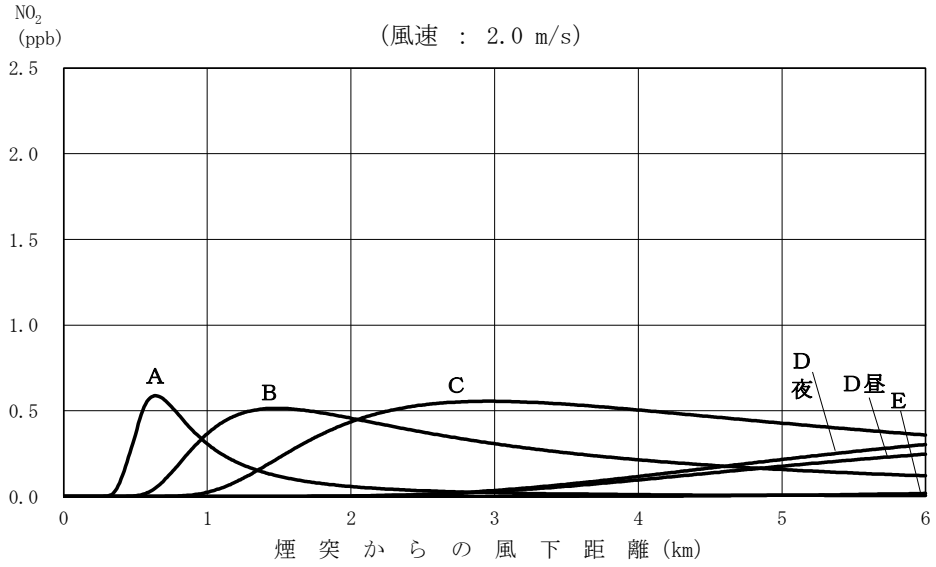


図3－7(2)　短期将来濃度距離減衰図（一般的な気象条件時：風速2.0m/秒）

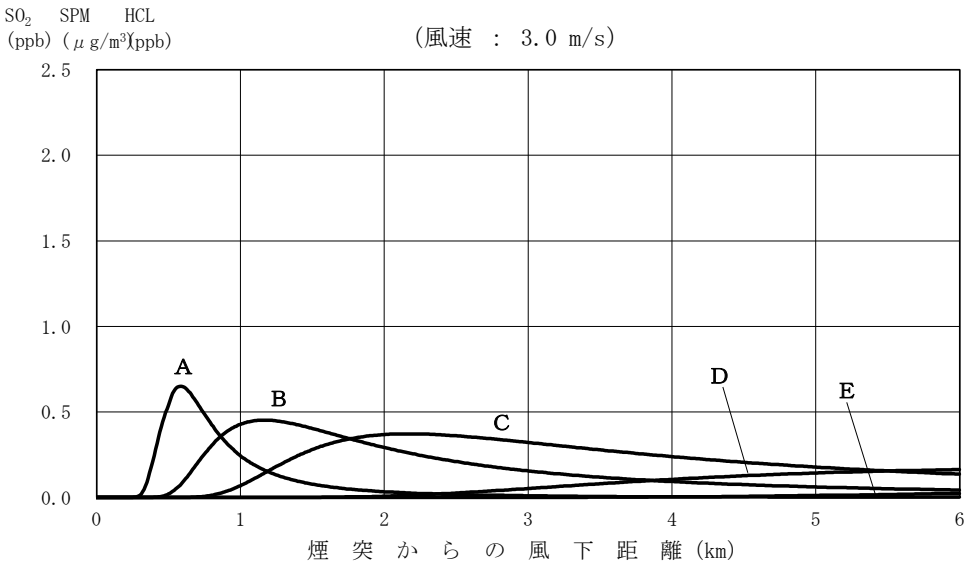


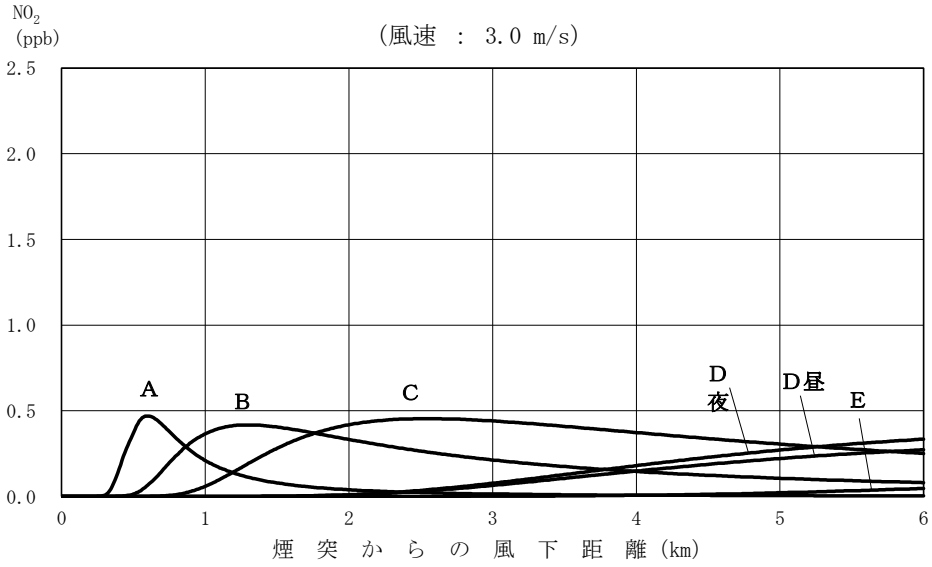


図3－7(3)　短期将来濃度距離減衰図（一般的な気象条件時：風速3.0m/秒）

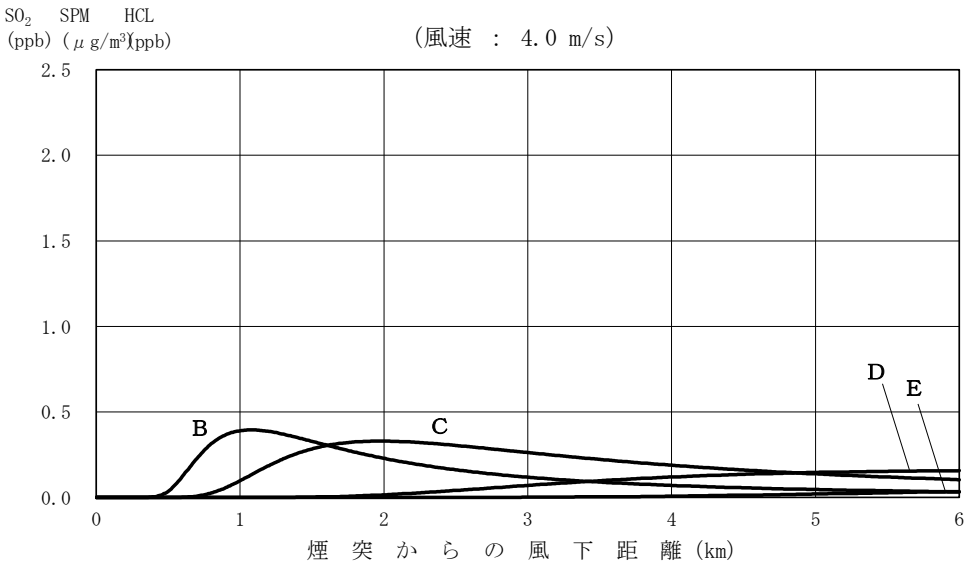


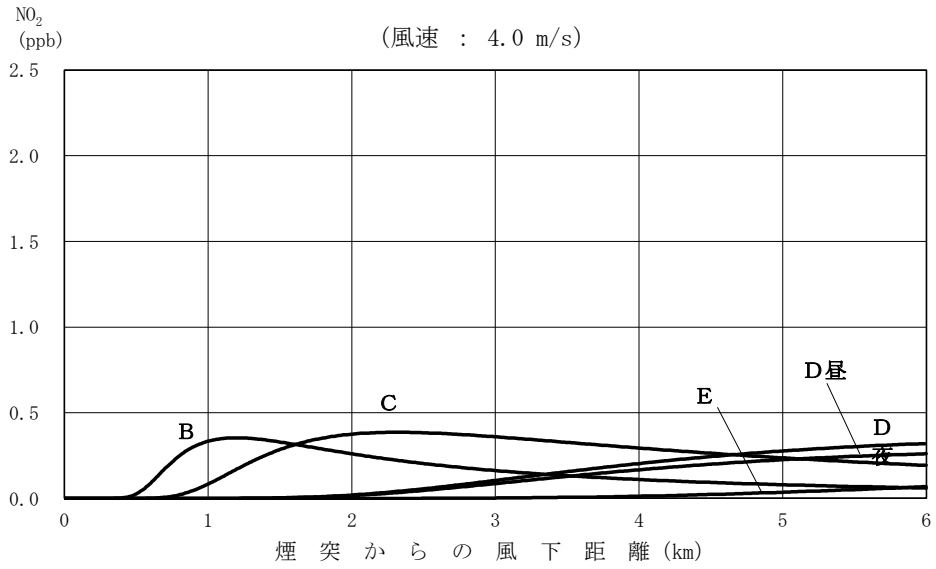


図3－7(4)　短期将来濃度距離減衰図（一般的な気象条件時：風速4.0m/秒）

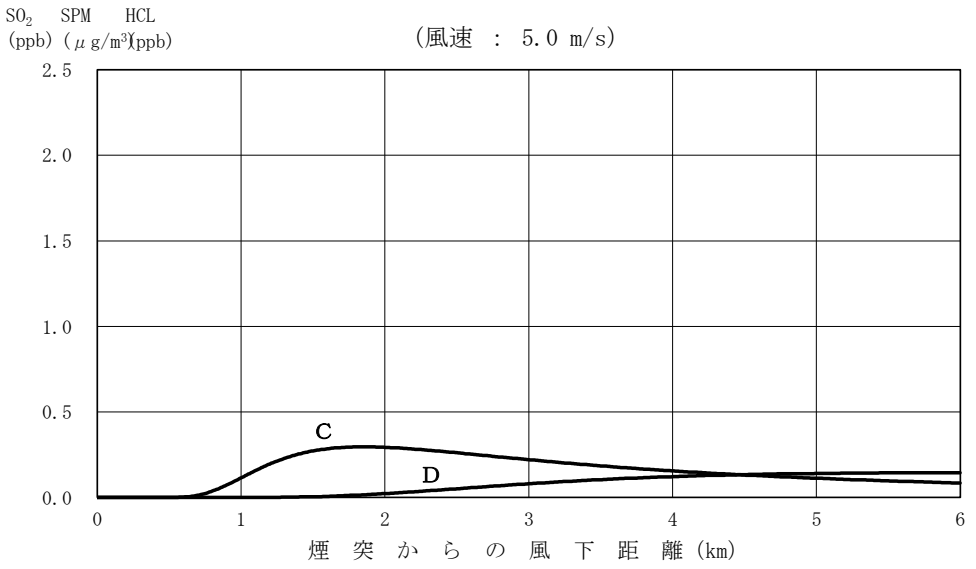


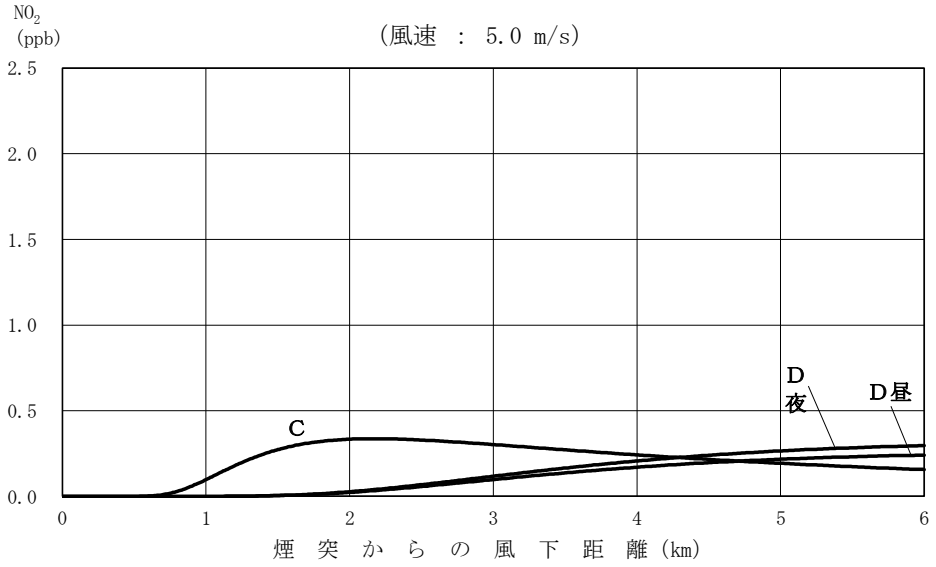


**図3－7(5) 短期将来濃度距離減衰図（一般的な気象条件時：風速5.0m/秒）**

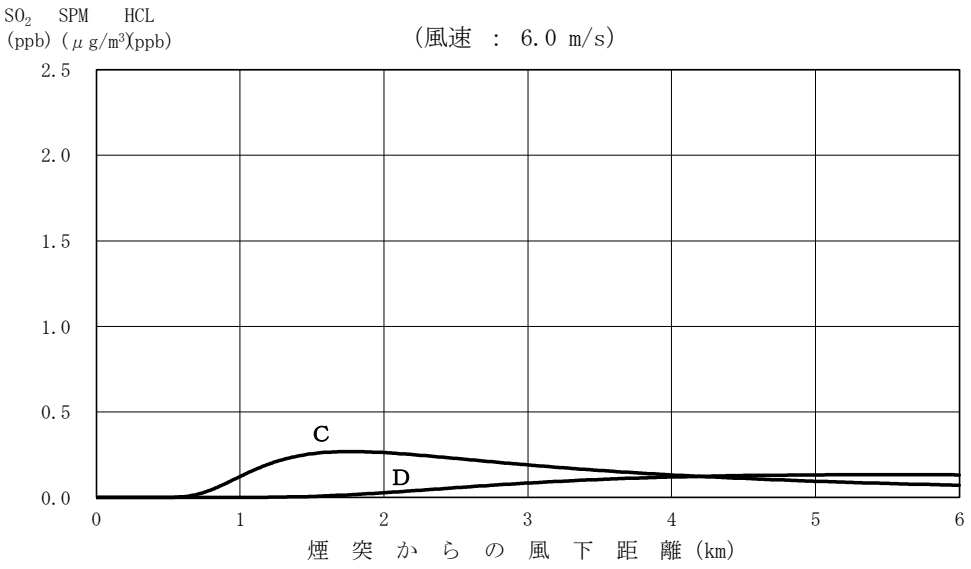


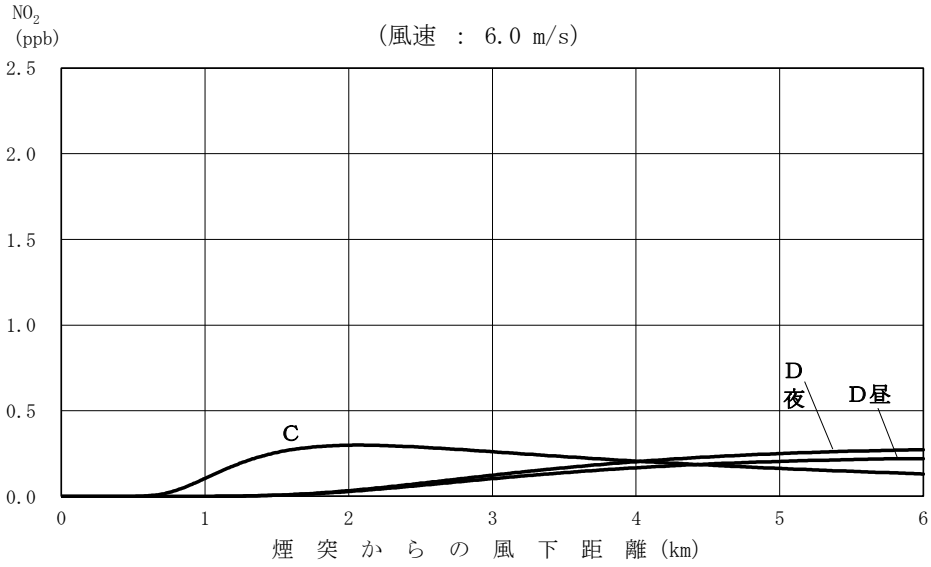


図3－7(6)　短期将来濃度距離減衰図（一般的な気象条件時：風速6.0m/秒）

## 表3－11　排ガスの排出に伴う短期将来濃度の予測結果（上層逆転時）

| 大気安定度 | 風速 | 最大付加濃度 | | | | 最大付加濃度出現距離 |
|---|---|---|---|---|---|---|
| | | 二酸化硫黄 | 二酸化窒素 | 浮遊粒子状物質 | 塩化水素 | |
| | m/s | ppm | ppm | mg/m$^3$ | ppm | km |
| A | 1.0 | 0.0021 | 0.0016 | 0.0021 | 0.0021 | 0.72(0.75) |
| | 2.0 | 0.0016 | 0.0012 | 0.0016 | 0.0016 | 0.63(0.65) |
| | 3.0 | 0.0013 | 0.0009 | 0.0013 | 0.0013 | 0.59(0.61) |
| B | 1.0 | 0.0013 | 0.0014 | 0.0013 | 0.0013 | 1.73(1.98) |
| | 2.0 | 0.0011 | 0.0010 | 0.0011 | 0.0011 | 1.33(1.50) |
| | 3.0 | 0.0009 | 0.0008 | 0.0009 | 0.0009 | 1.17(1.32) |
| | 4.0 | 0.0008 | 0.0007 | 0.0008 | 0.0008 | 1.08(1.21) |
| C | 1.0 | 0.0010 | 0.0014 | 0.0010 | 0.0010 | 3.47(4.08) |
| | 2.0 | 0.0008 | 0.0011 | 0.0008 | 0.0008 | 2.52(3.00) |
| | 3.0 | 0.0007 | 0.0009 | 0.0007 | 0.0007 | 2.17(2.58) |
| | 4.0 | 0.0007 | 0.0008 | 0.0007 | 0.0007 | 1.98(2.35) |
| | 5.0 | 0.0006 | 0.0007 | 0.0006 | 0.0006 | 1.85(2.20) |
| | 6.0 | 0.0005 | 0.0006 | 0.0005 | 0.0005 | 1.77(2.09) |
| D昼 | 1.0 | 0.0003 | 0.0008 | 0.0003 | 0.0003 | 14.38(16.12) |
| | 2.0 | 0.0004 | 0.0007 | 0.0004 | 0.0004 | 9.19(9.99) |
| | 3.0 | 0.0003 | 0.0006 | 0.0003 | 0.0003 | 7.37(9.04) |
| | 4.0 | 0.0003 | 0.0006 | 0.0003 | 0.0003 | 6.43(8.03) |
| | 5.0 | 0.0003 | 0.0005 | 0.0003 | 0.0003 | 5.87(7.41) |
| | 6.0 | 0.0003 | 0.0005 | 0.0003 | 0.0003 | 5.49(6.98) |
| D夜 | 1.0 | 0.0003 | 0.0010 | 0.0003 | 0.0003 | 14.38(16.13) |
| | 2.0 | 0.0004 | 0.0009 | 0.0004 | 0.0004 | 9.19(9.99) |
| | 3.0 | 0.0003 | 0.0008 | 0.0003 | 0.0003 | 7.37(9.09) |
| | 4.0 | 0.0003 | 0.0007 | 0.0003 | 0.0003 | 6.43(8.11) |
| | 5.0 | 0.0003 | 0.0006 | 0.0003 | 0.0003 | 5.87(7.48) |
| | 6.0 | 0.0003 | 0.0006 | 0.0003 | 0.0003 | 5.49(7.08) |
| E | 1.0 | 0.0001 | 0.0004 | 0.0001 | 0.0001 | 46.06(46.32) |
| | 2.0 | 0.0002 | 0.0005 | 0.0002 | 0.0002 | 22.75(24.78) |
| | 3.0 | 0.0002 | 0.0005 | 0.0002 | 0.0002 | 16.25(19.04) |
| | 4.0 | 0.0002 | 0.0005 | 0.0002 | 0.0002 | 13.28(16.34) |

注）最大着地濃度出現距離の（）内は、二酸化窒素の最大着地濃度出現距離を示す。

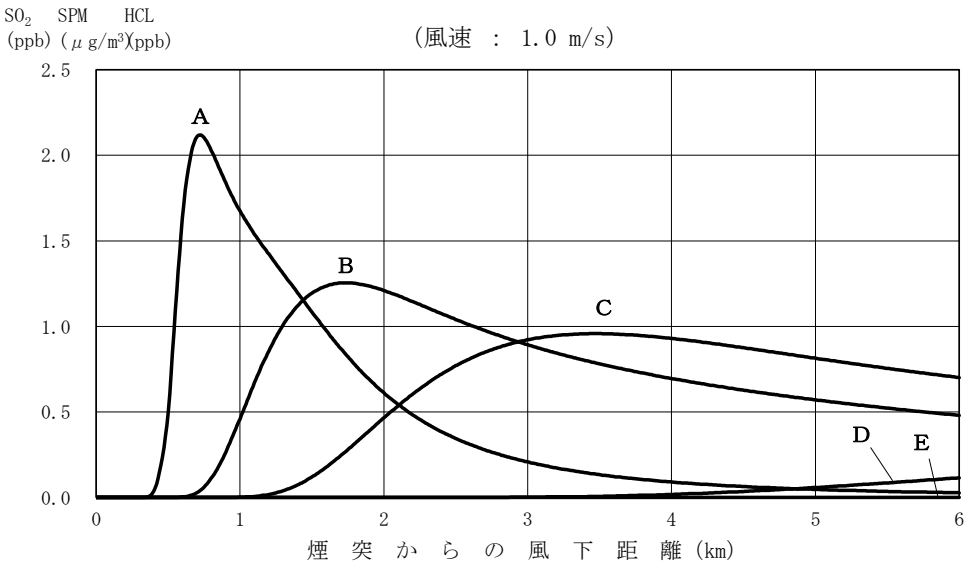


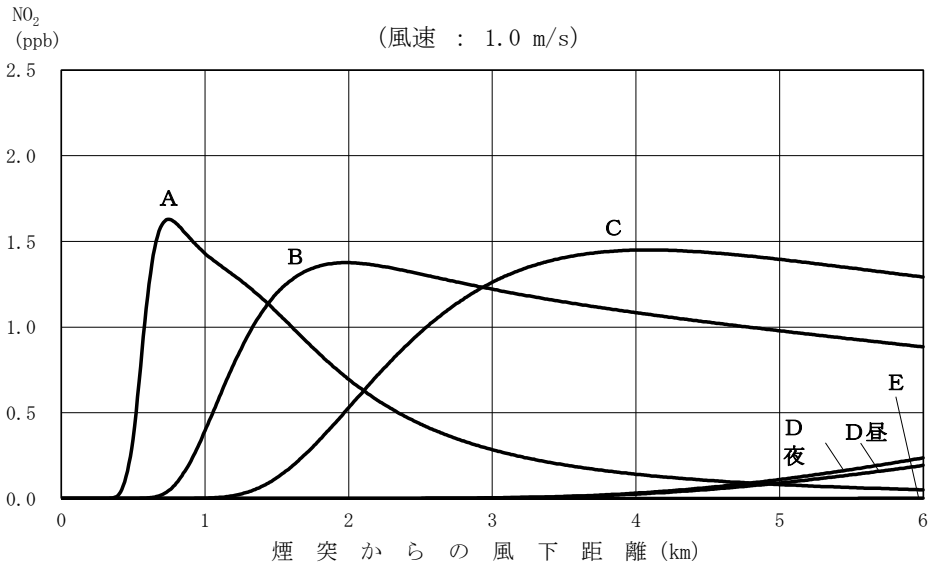


図3－8(1)　短期将来濃度距離減衰図（上層逆転時：風速1.0m/秒）

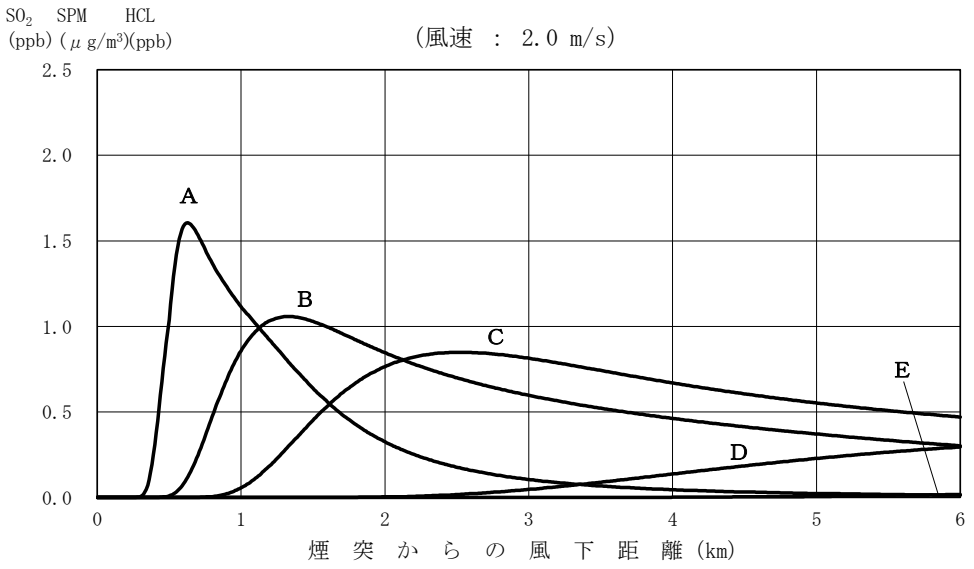


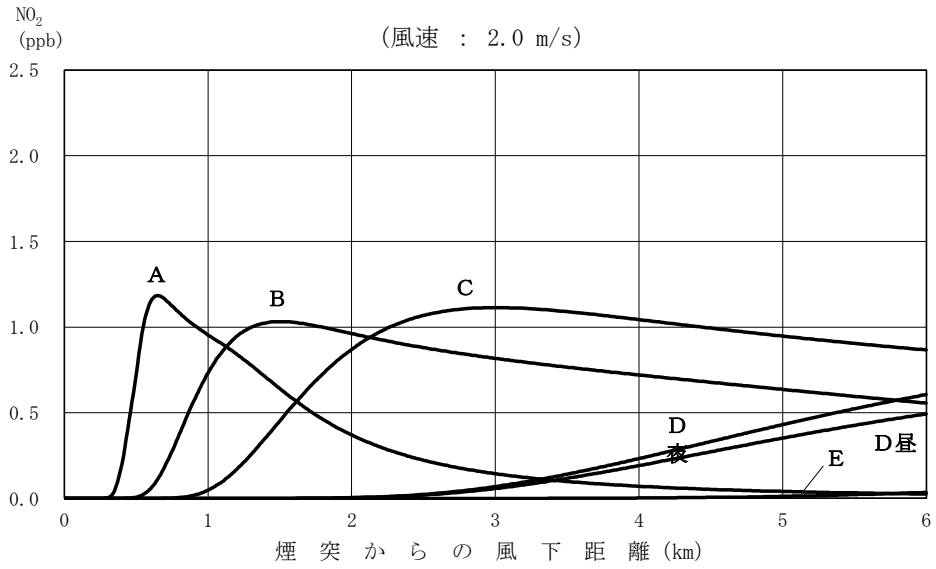


図3－8(2) 短期将来濃度距離減衰図（上層逆転時：風速2.0m/秒）

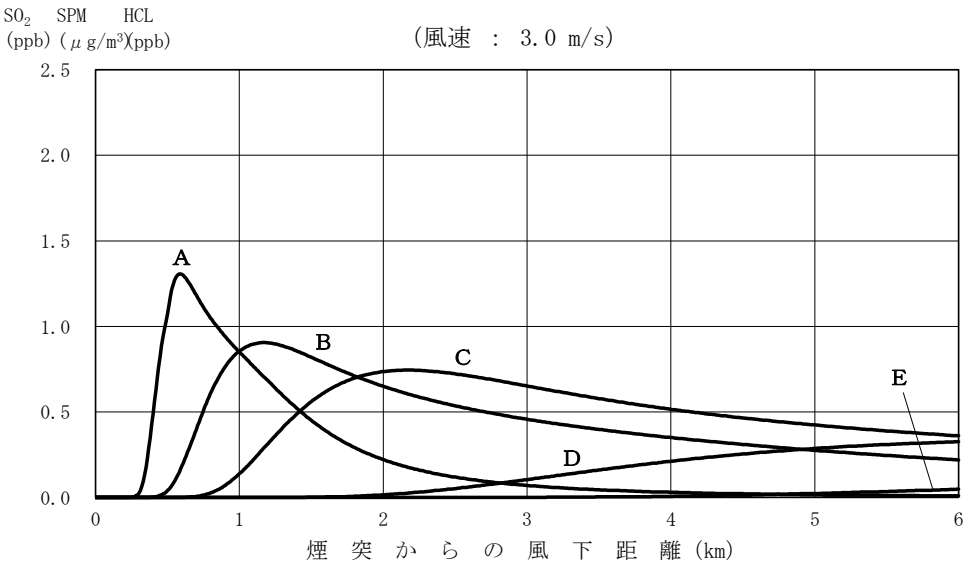


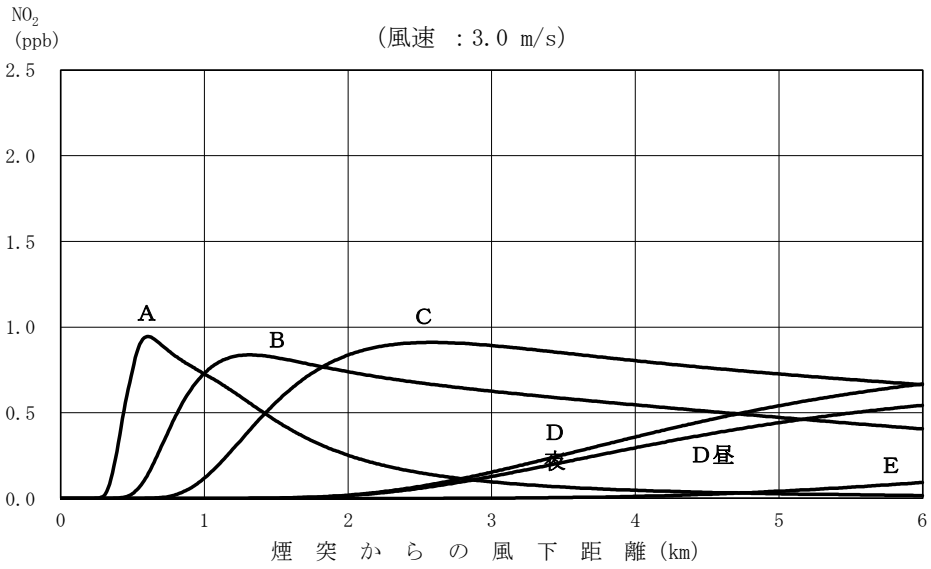


図3－8(3)　短期将来濃度距離減衰図（上層逆転時：風速3.0m/秒）

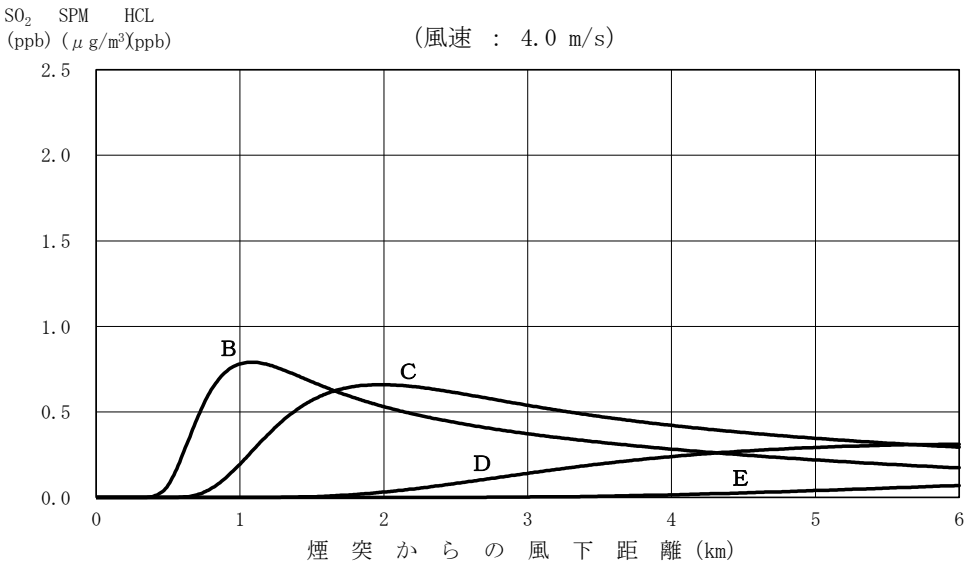


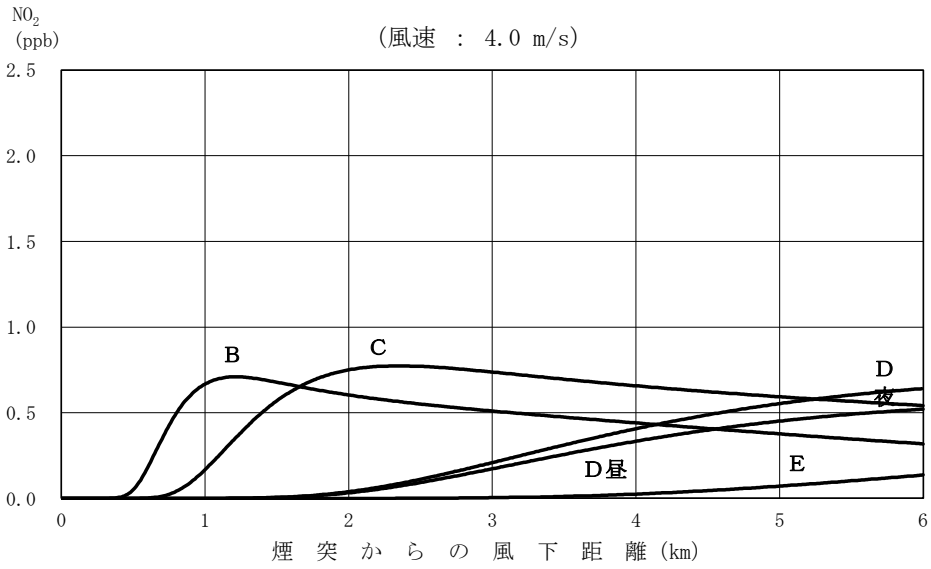


図3－8(4)　短期将来濃度距離減衰図（上層逆転時：風速4.0m/秒）

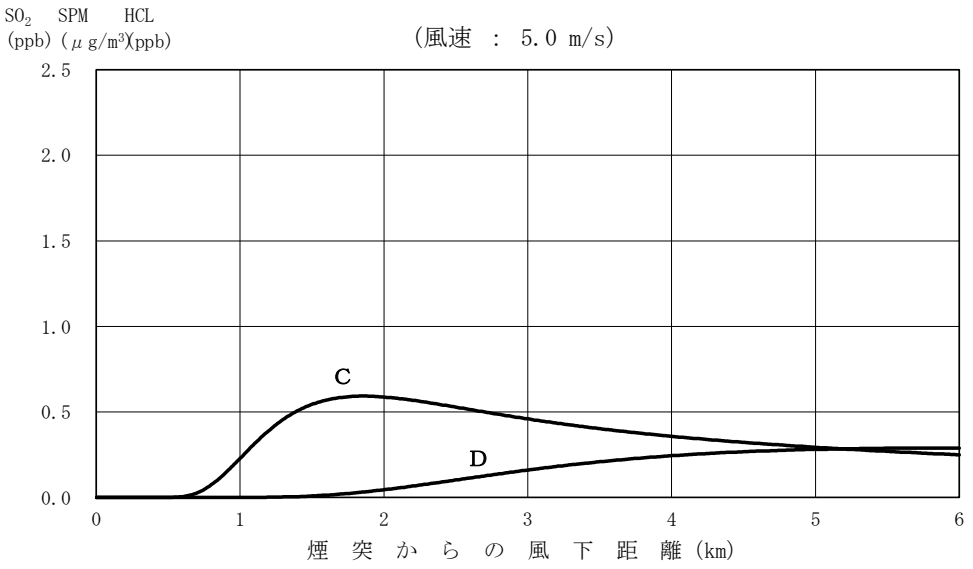


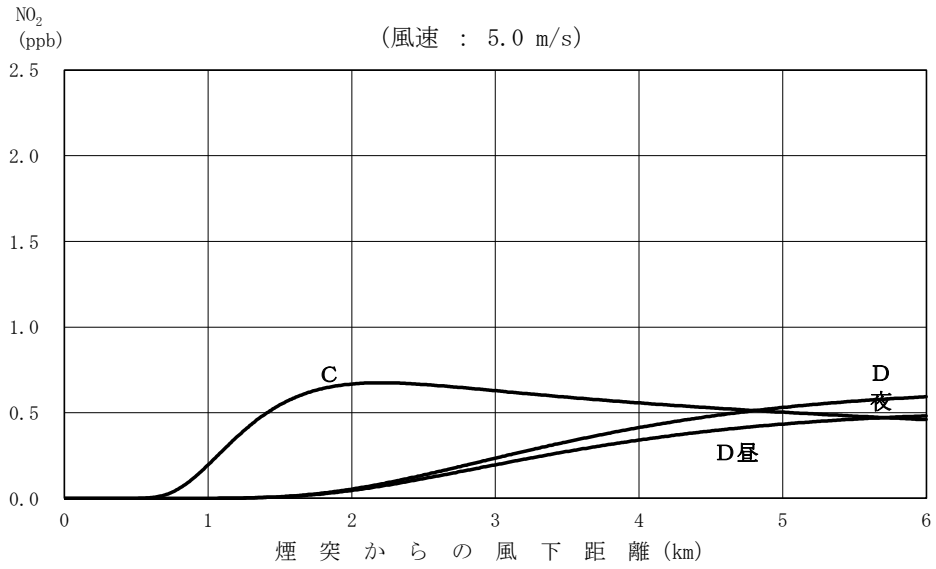


図3－8(5) 短期将来濃度距離減衰図（上層逆転時：風速5.0m/秒）

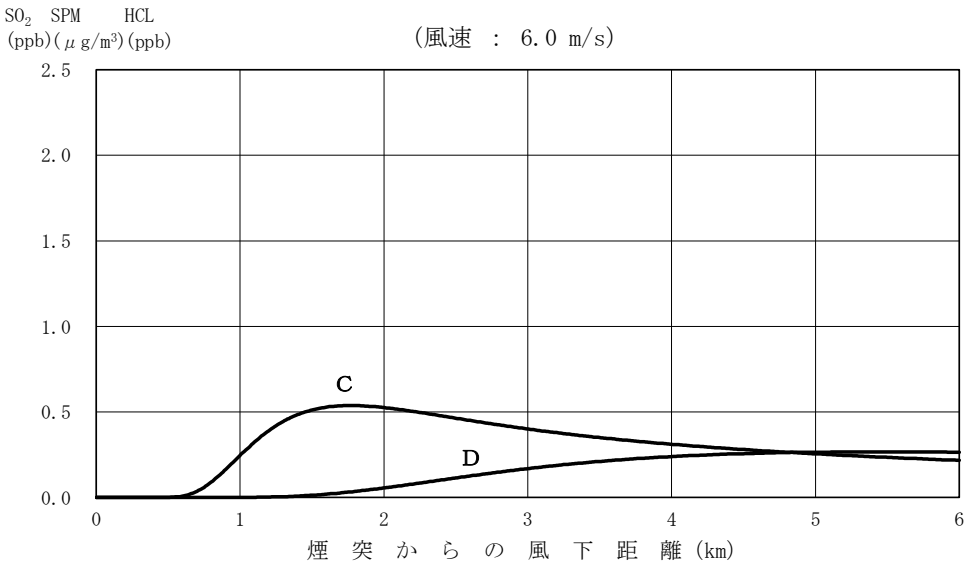


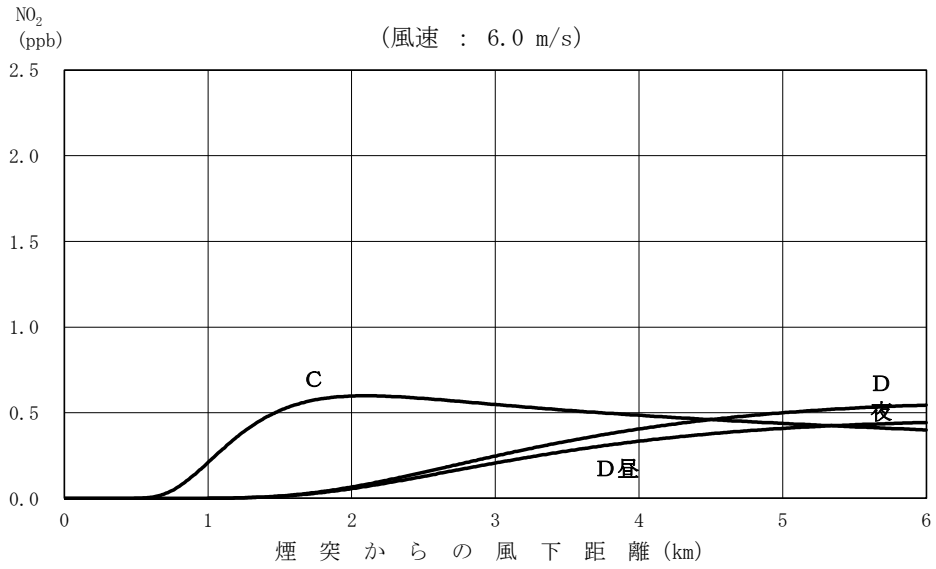


**図3－8(6)　短期将来濃度距離減衰図（上層逆転時：風速6.0m/秒）**

表3－12　排ガスの排出に伴う短期将来濃度の予測結果（接地逆転層崩壊時）

| 風速 | 最大付加濃度 | | | | 最大付加濃度出現距離 |
|---|---|---|---|---|---|
| | 二酸化硫黄 | 二酸化窒素 | 浮遊粒子状物質 | 塩化水素 | |
| m/s | ppm | ppm | mg/m$^3$ | ppm | km |
| 1.0 | 0.0025 | 0.0025 | 0.0025 | 0.0025 | 1.44 |
| 2.0 | 0.0018 | 0.0019 | 0.0018 | 0.0018 | 1.75 |
| 3.0 | 0.0014 | 0.0016 | 0.0014 | 0.0014 | 2.10 |
| 4.0 | 0.0011 | 0.0014 | 0.0011 | 0.0011 | 2.47 |
| 5.0 | 0.0009 | 0.0012 | 0.0009 | 0.0009 | 2.85 |
| 6.0 | 0.0007 | 0.0010 | 0.0007 | 0.0007 | 3.24 |

表3－13　排ガスの排出に伴う短期将来濃度の予測結果（ダウンウォッシュ時）

| 大気安定度 | 風速 | 最大付加濃度 | | | | 最大付加濃度出現距離 |
|---|---|---|---|---|---|---|
| | | 二酸化硫黄 | 二酸化窒素 | 浮遊粒子状物質 | 塩化水素 | |
| | m/s | ppm | ppm | mg/m$^3$ | ppm | km |
| C | 19.8 | 0.0002 | 0.0002 | 0.0002 | 0.0002 | 1.19(1.37) |
| D昼 | | 0.0001 | 0.0001 | 0.0001 | 0.0001 | 3.10(4.09) |
| D夜 | | 0.0001 | 0.0002 | 0.0001 | 0.0001 | 3.10(4.22) |

注）最大着地濃度出現距離の（）内は、二酸化窒素の最大着地濃度出現距離を示す。

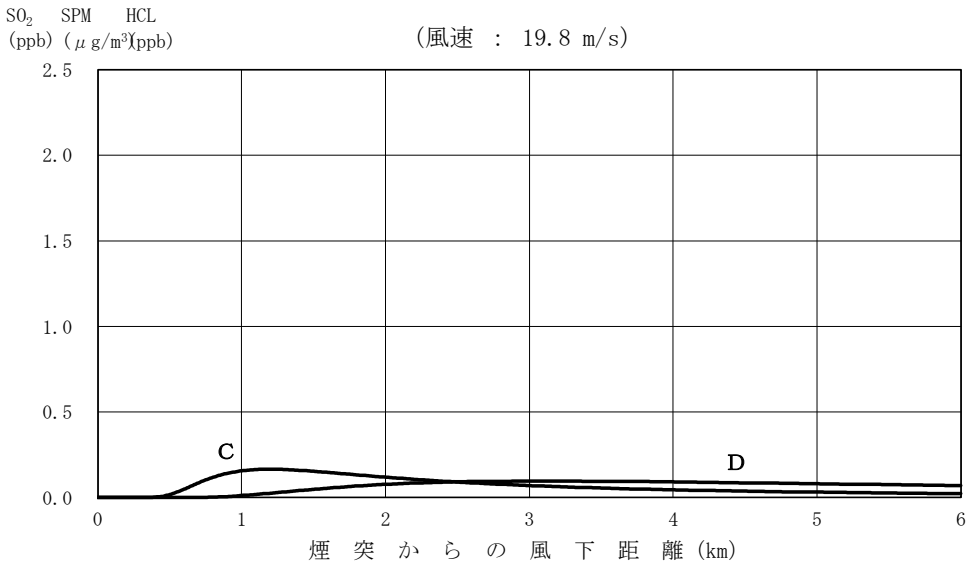


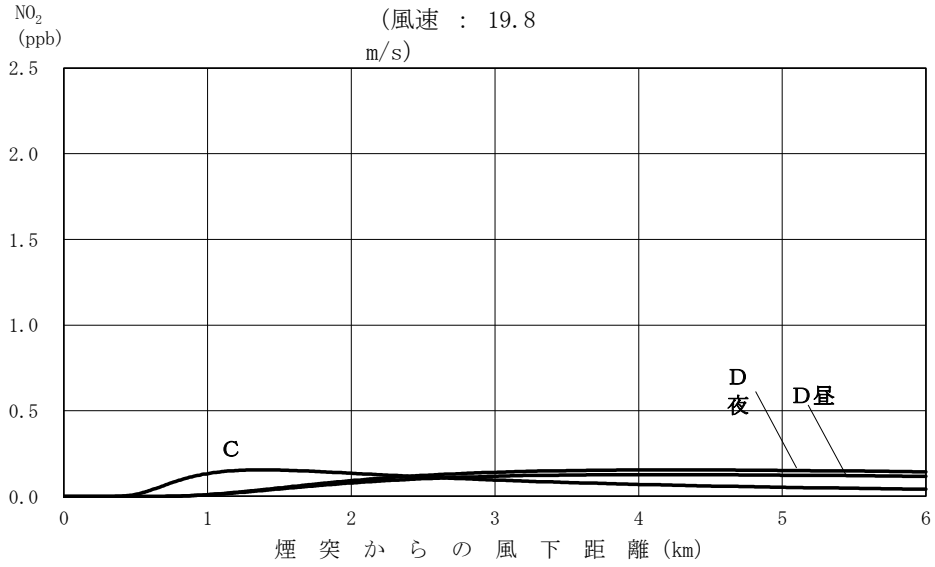


**図3－9　短期将来濃度距離減衰図（ダウンウォッシュ時）**

# 4　地盤関連

# ４　地盤関連

## 資料４－１　計画地のボーリング調査結果

計画地のボーリング調査結果を図4－1～図4－5に示す。

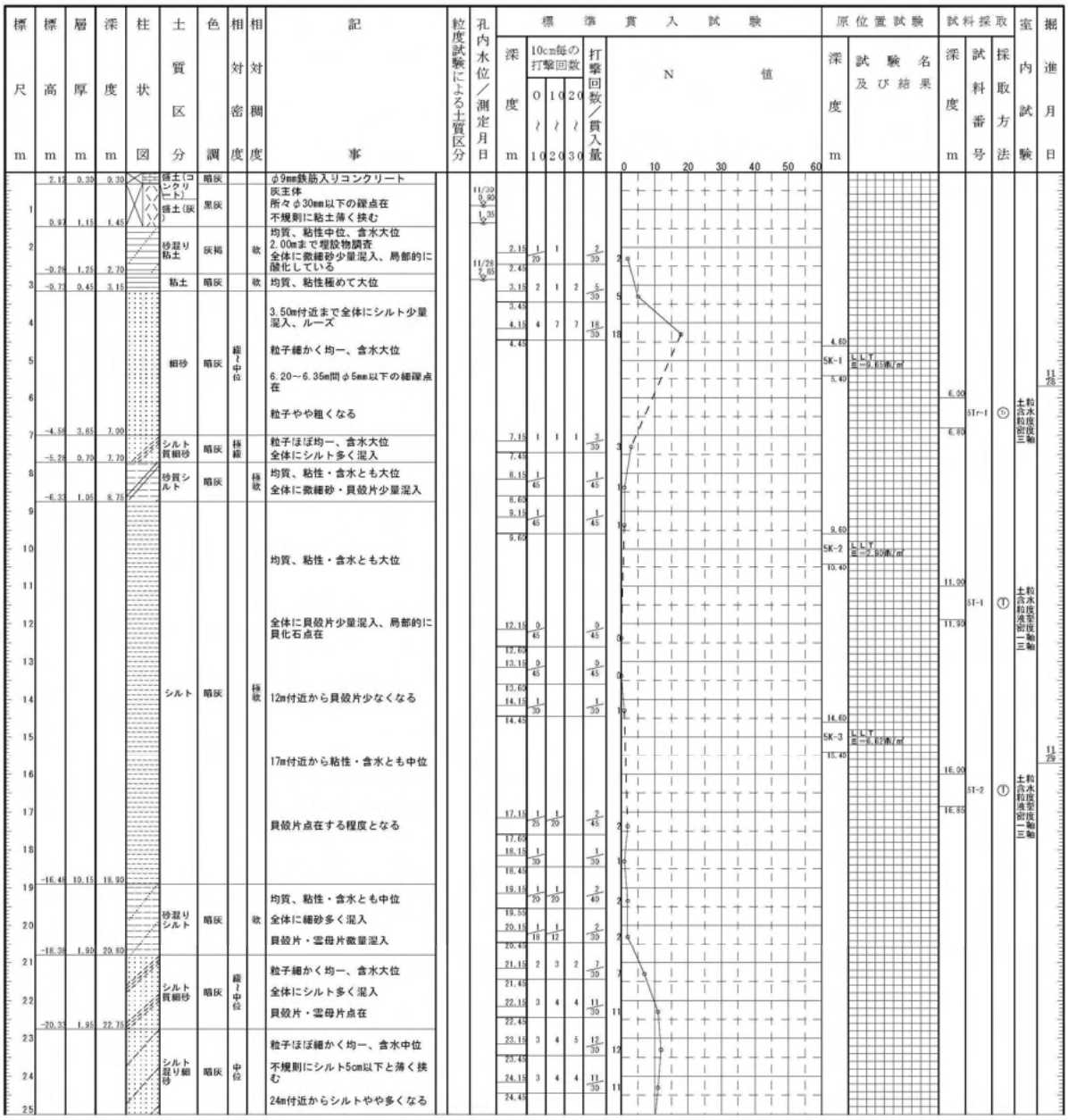

図 4－1(1)　ボーリング調査結果（No.1）

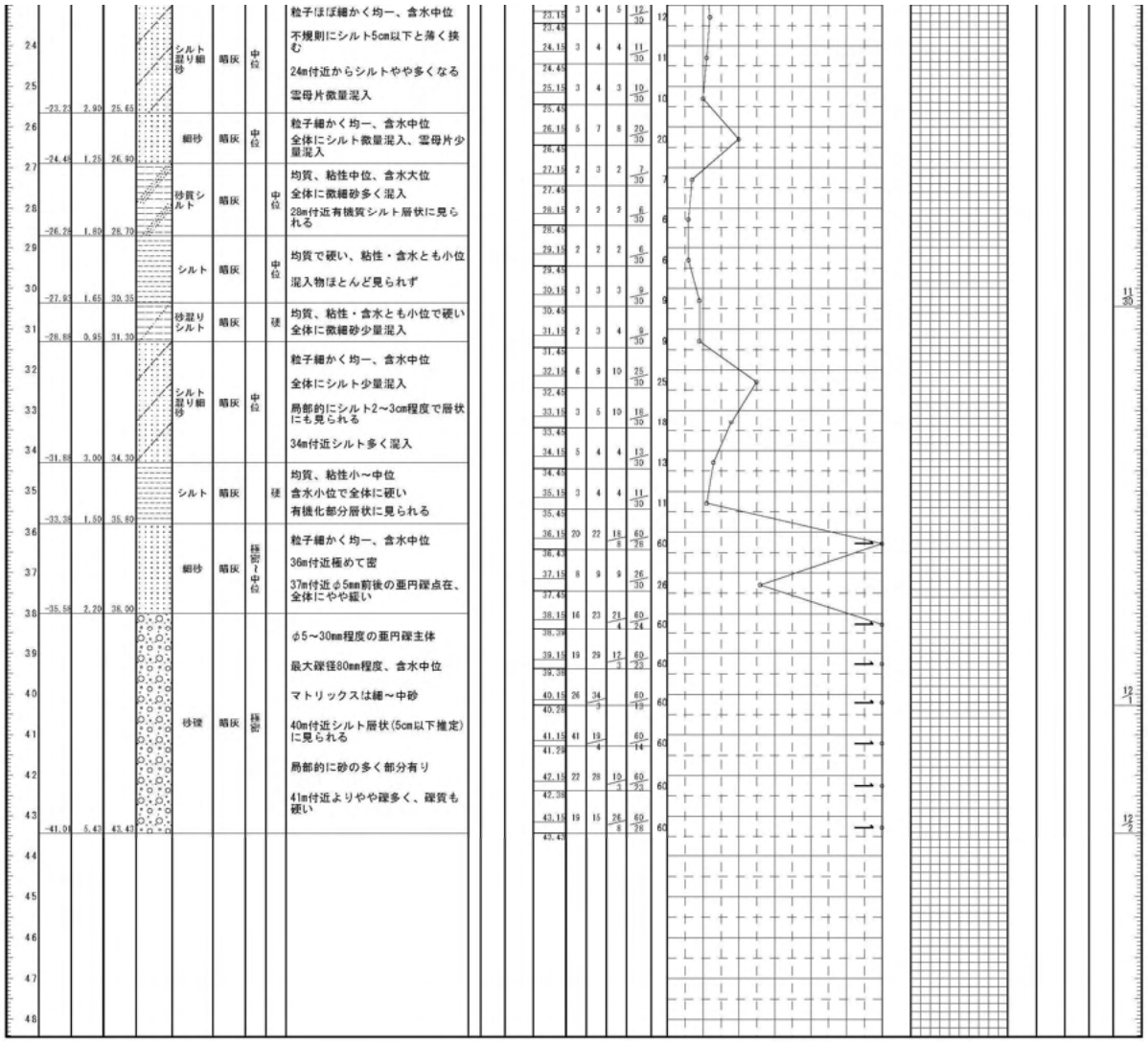


図 4－1(2)　ボーリング調査結果（No.1）

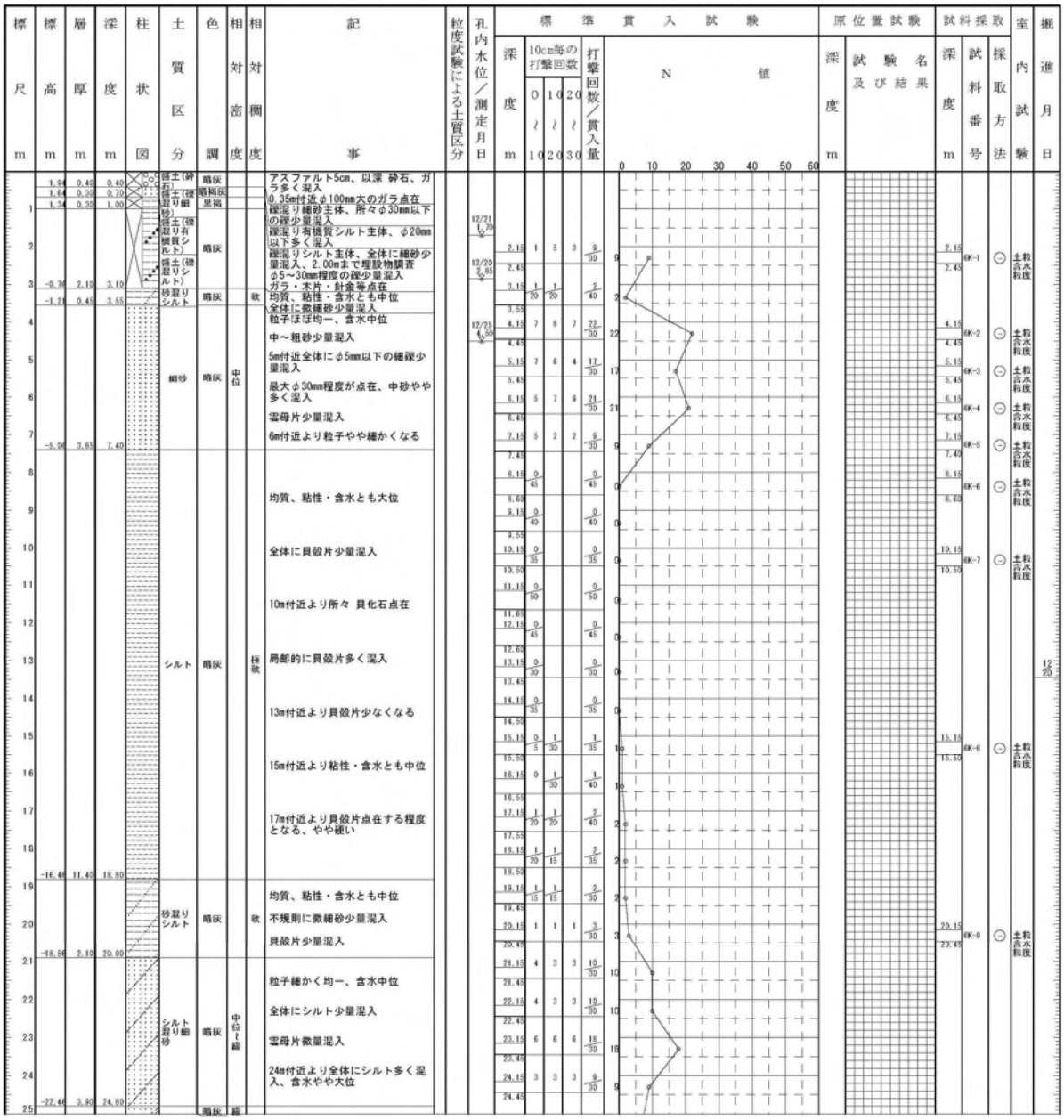


図 4－2(1)　ボーリング調査結果 (No.2)

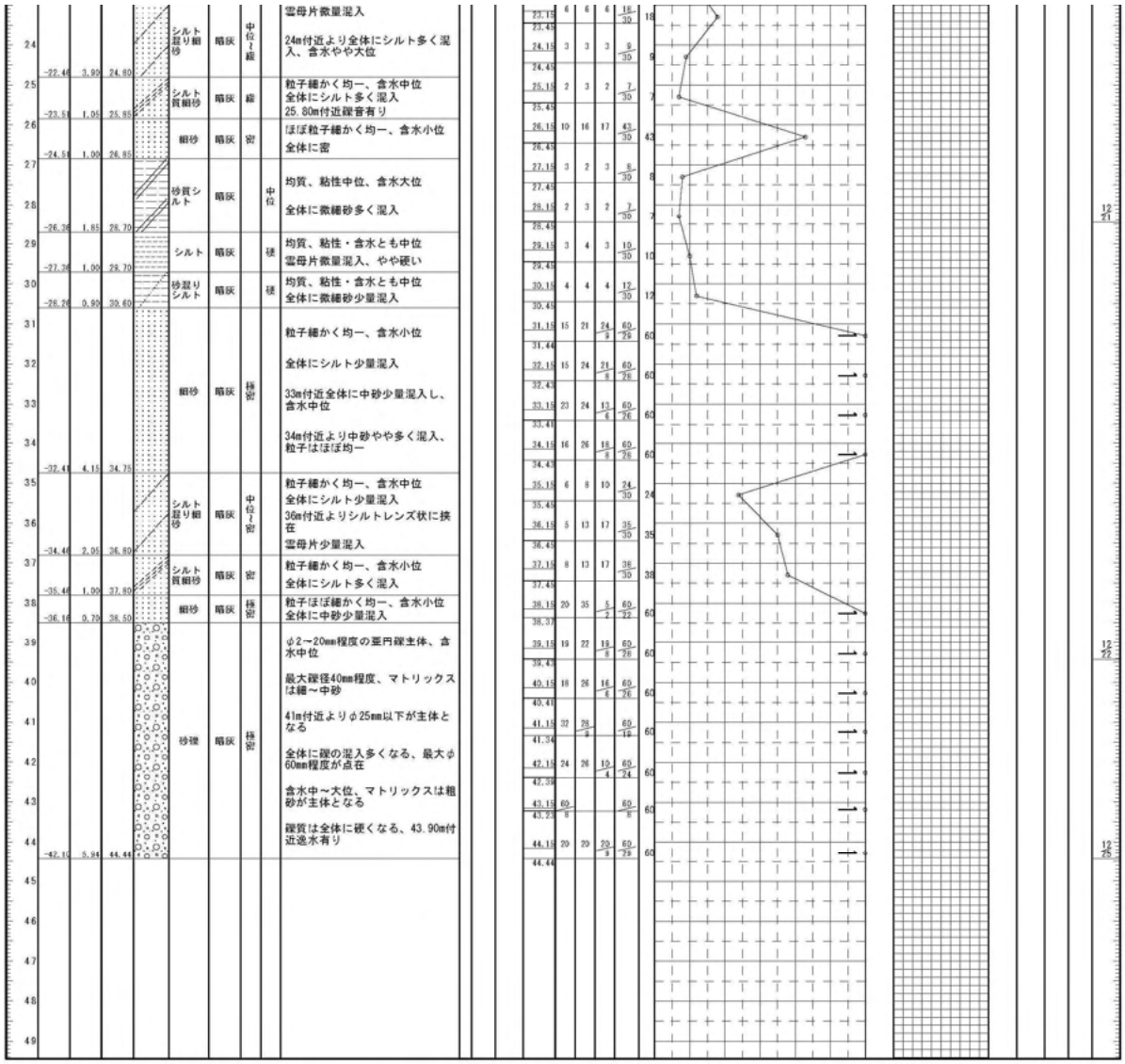

図 4－2(2)　ボーリング調査結果（No.2）

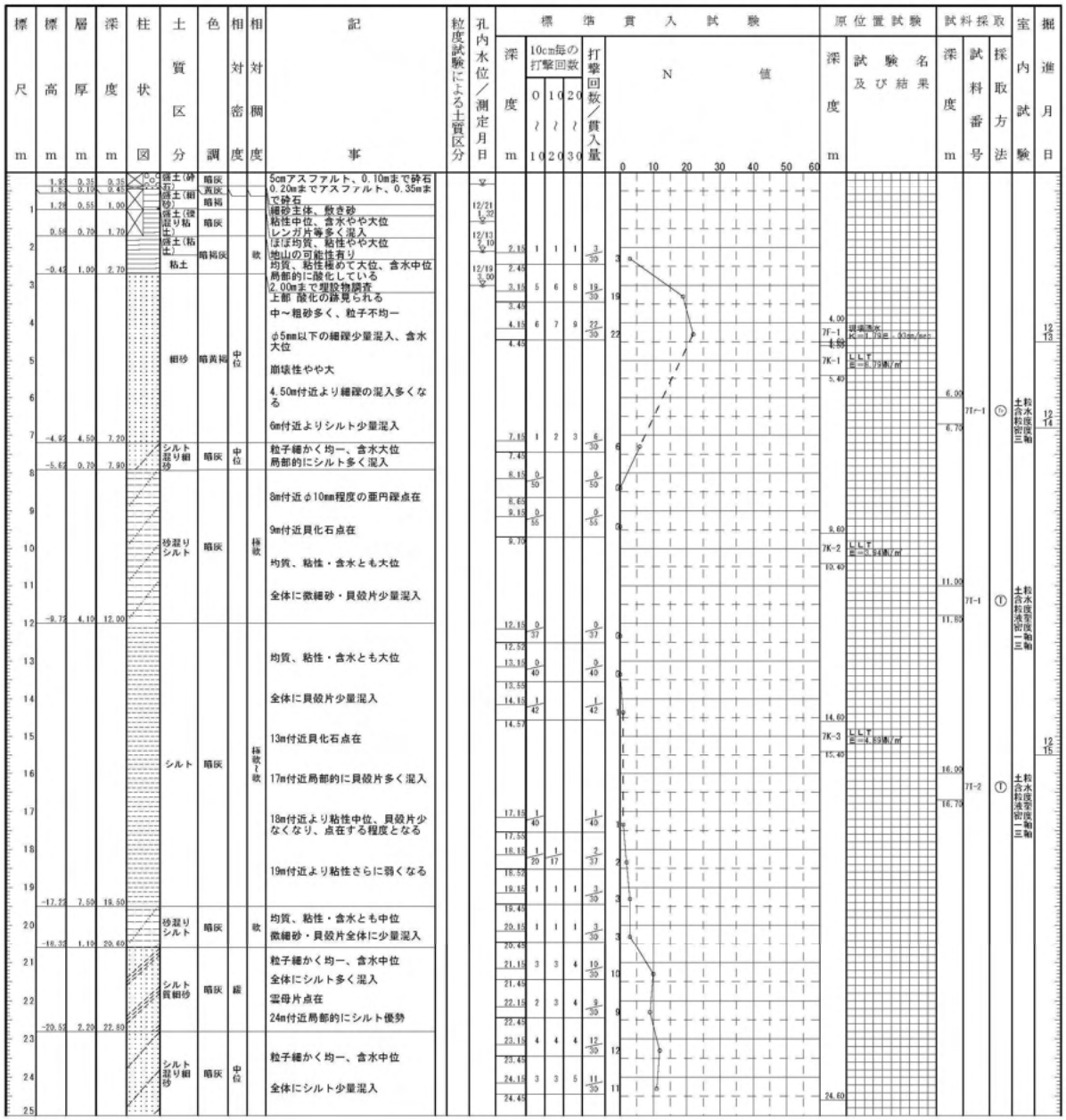


図 4－3(1)　ボーリング調査結果（No.3）

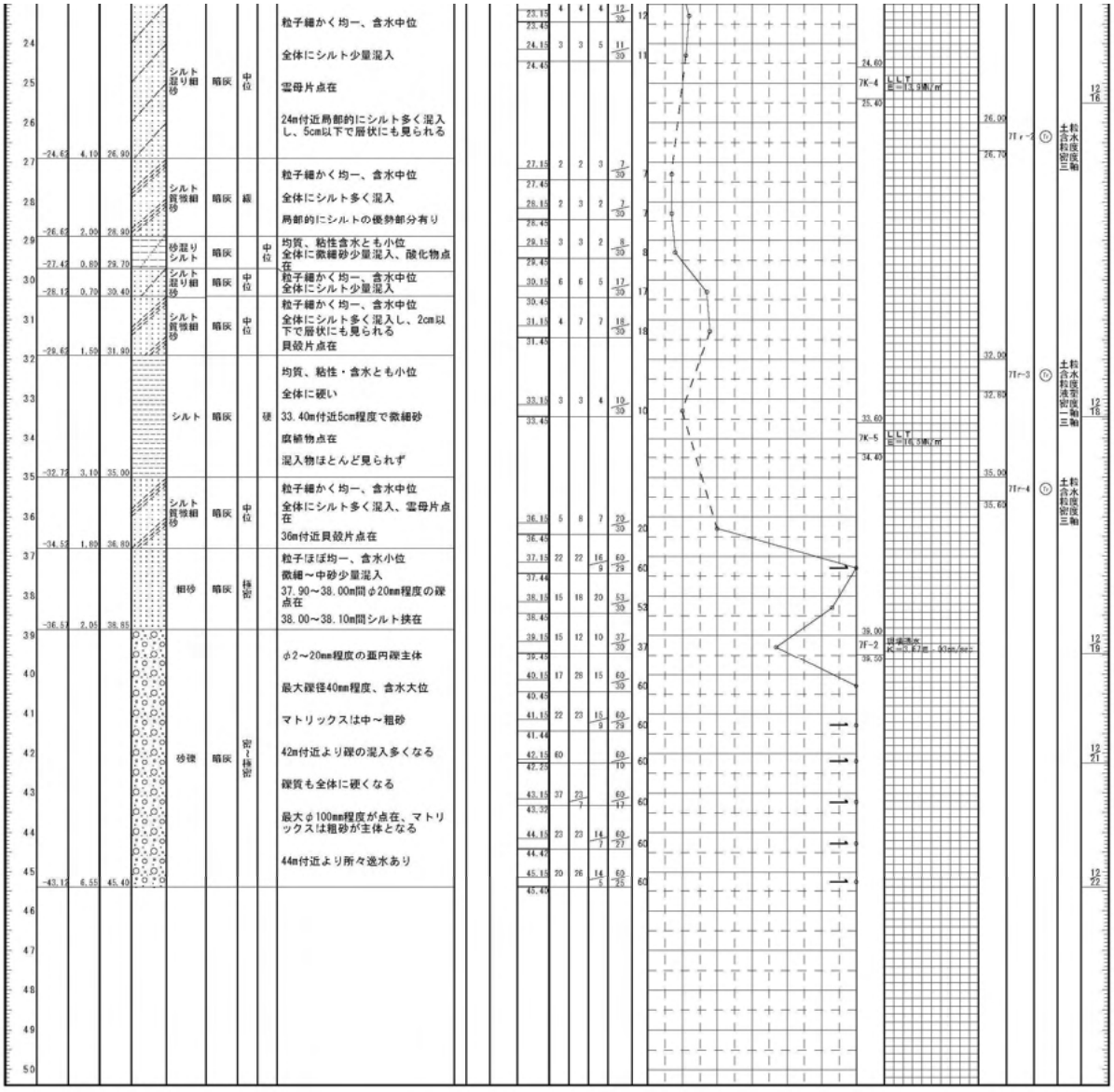

図 4－3(2)　ボーリング調査結果（No.3）

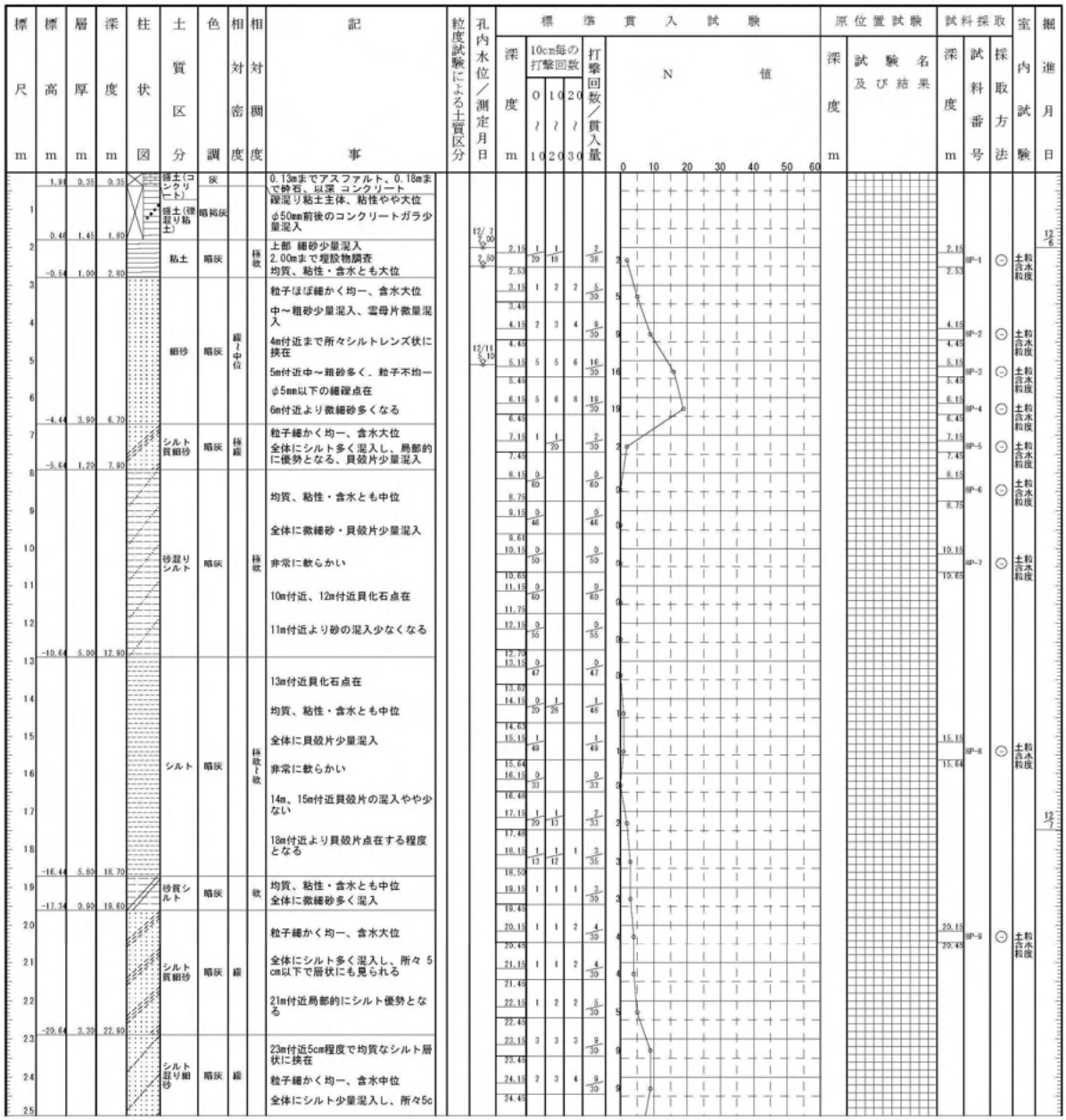


図 4－4(1)　ボーリング調査結果（No. 4）

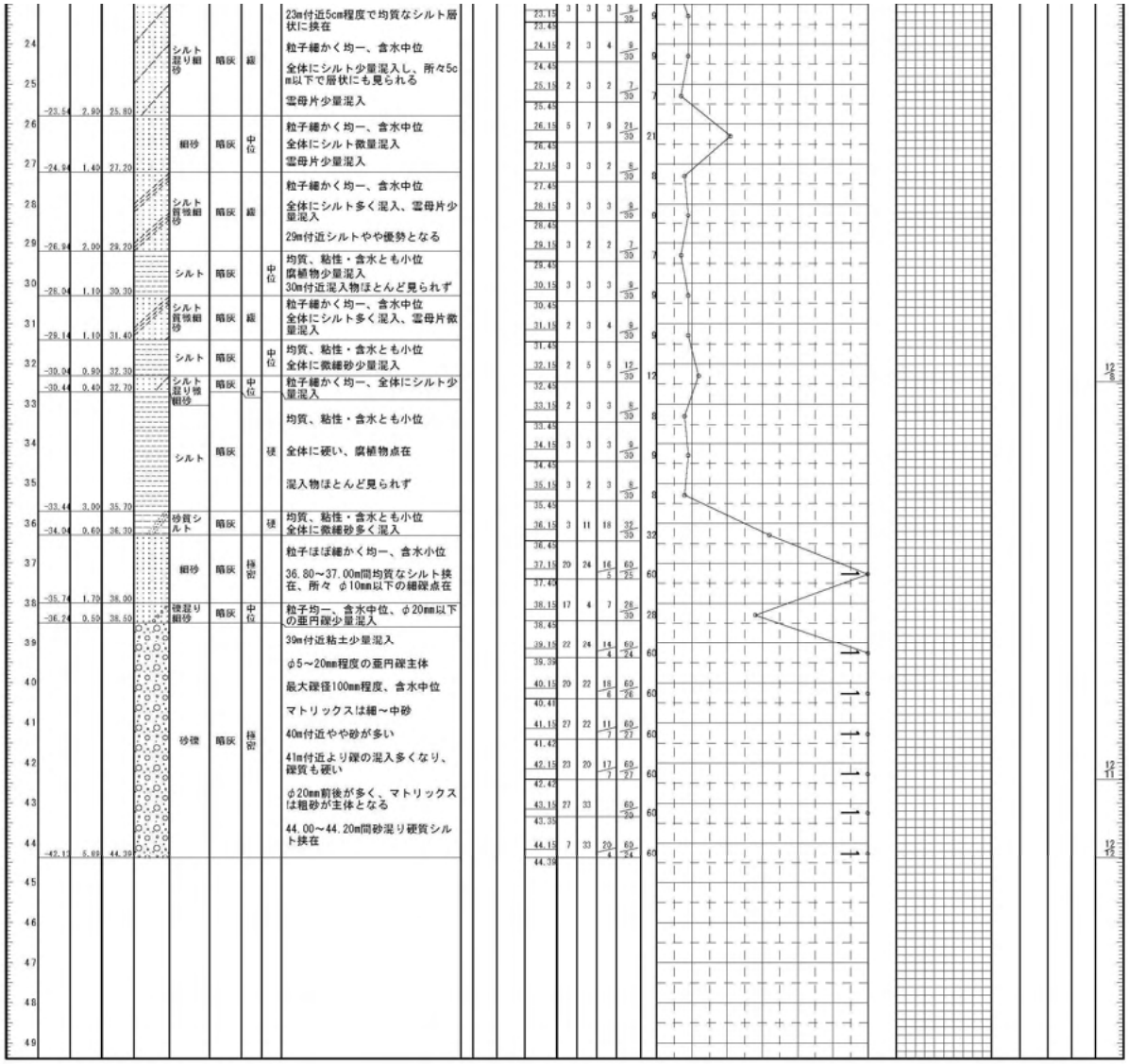

図 4－4(2)　ボーリング調査結果（No.4）

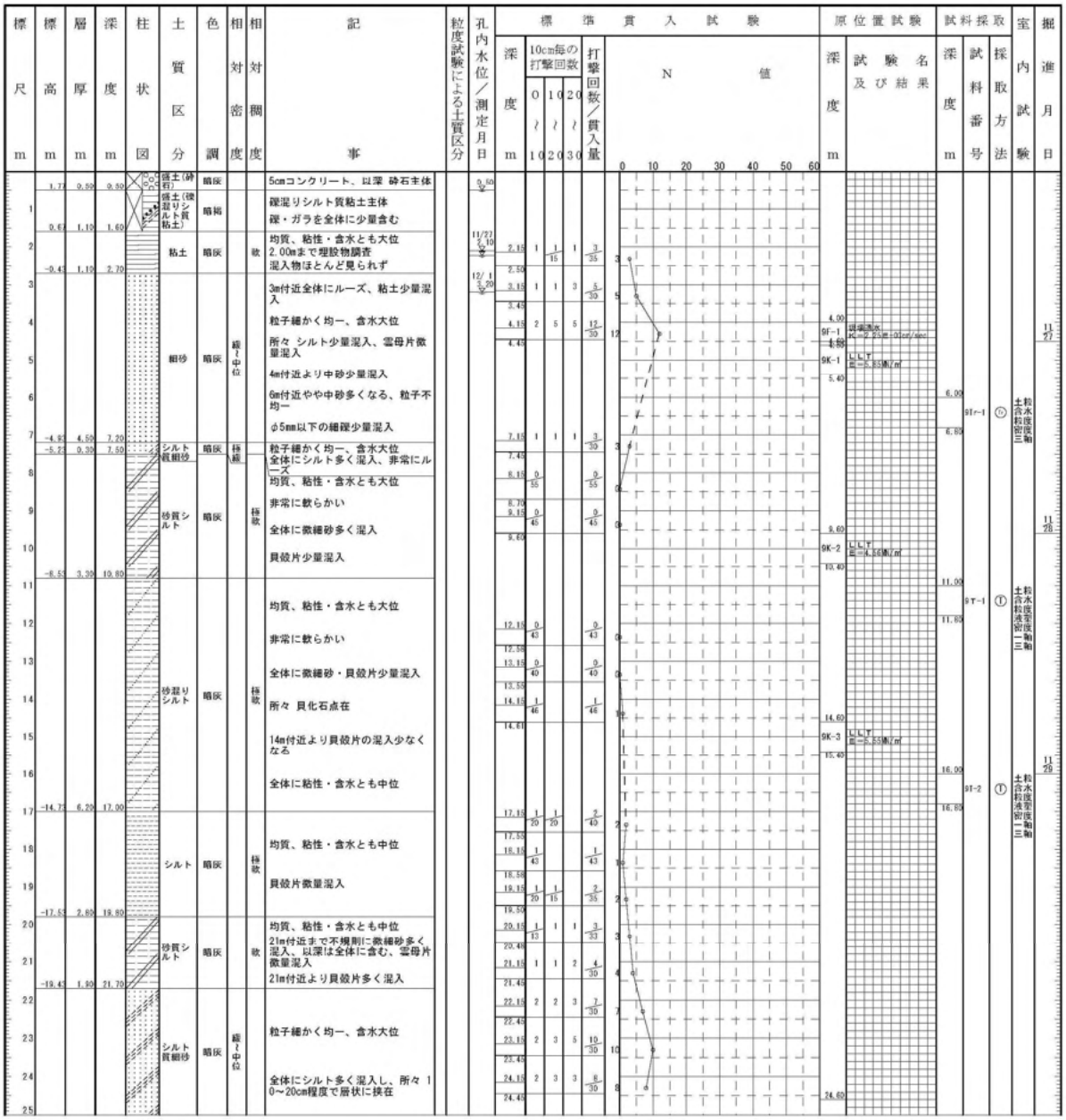


図 4－5(1)　ボーリング調査結果（No.5）

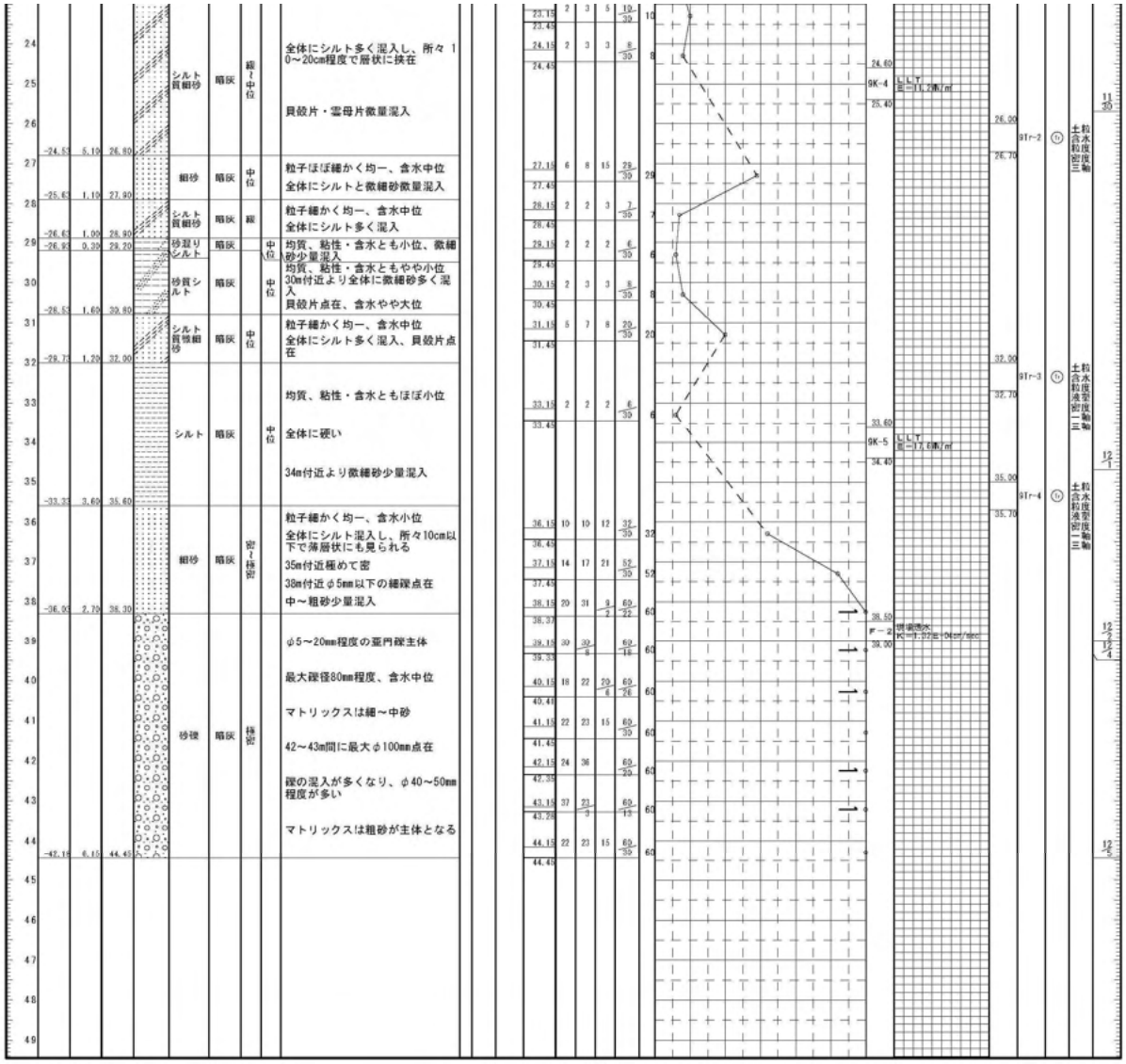

図 4－5(2)　ボーリング調査結果（No.5）

# ５　騒音関連

# ５　騒音関連

## 資料５－１　騒音調査結果

調査日及び調査時間帯は表5－1に示すとおりである。

**表 5－1　調査日及び調査時間帯**

| 区分 | 調査日及び調査時間帯 |
|---|---|
| 環境騒音 | 令和３年４月26日（月）12時～27日（火）12時（24時間） |
| 道路交通騒音 | 令和２年11月24日（火）６時～22時（16時間） |

また、調査地点は、表5－2及び図5－1(1)、(2)に示すとおりである。調査地点は、計画地の敷地境界の６地点、工事用車両の走行ルート沿道の４地点とした。

**表 5－2　騒音調査地点**

| 区分 | 調査地点 | 備考 |
|---|---|---|
| 環境騒音 | 地点１ | 計画地の敷地境界 |
| | 地点２ | |
| | 地点３ | |
| | 地点４ | |
| | 地点５ | |
| | 地点６ | |
| 道路交通騒音 | 地点１ | 市道堤根２号線沿道 |
| | 地点２ | 県道川崎町田線沿道 |
| | 地点３ | 県道川崎町田線沿道 |
| | 地点４ | 市道柳町８号線沿道 |

各地点における環境騒音の現地調査結果は表5－3(1)～(6)、図5－2(1)～(6)に、道路交通騒音の現地調査結果は表5－4(1)～(4)、図5－3(1)～(4)に示すとおりである。

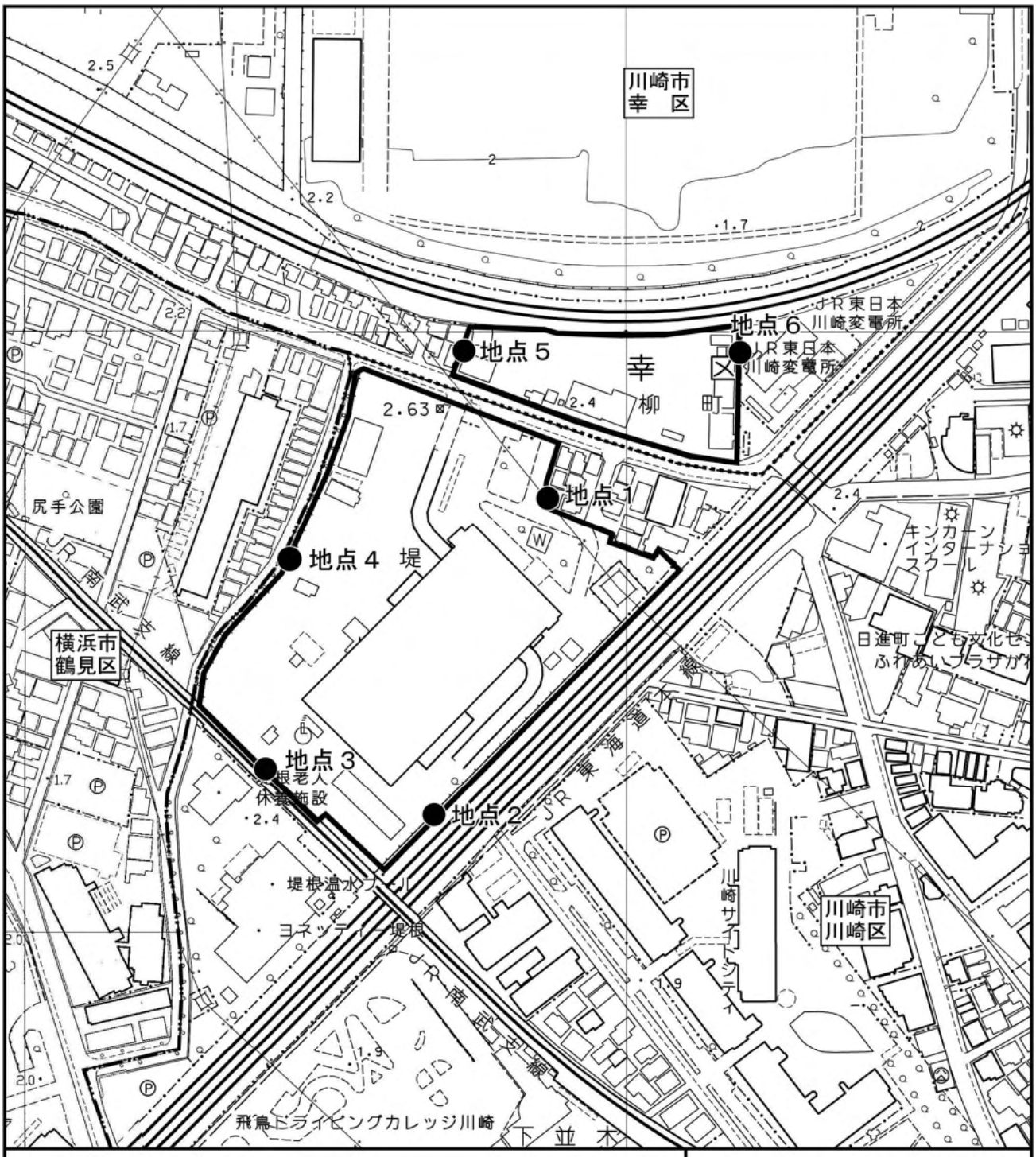


この地図は、「川崎市都市計画基本図（南河原）、（八丁畷）」（川崎市）及び「横浜市都市計画基本図（矢向）、（市場）」（横浜市）を使用したものである。

**図 5－1(1)　環境騒音調査地点図**

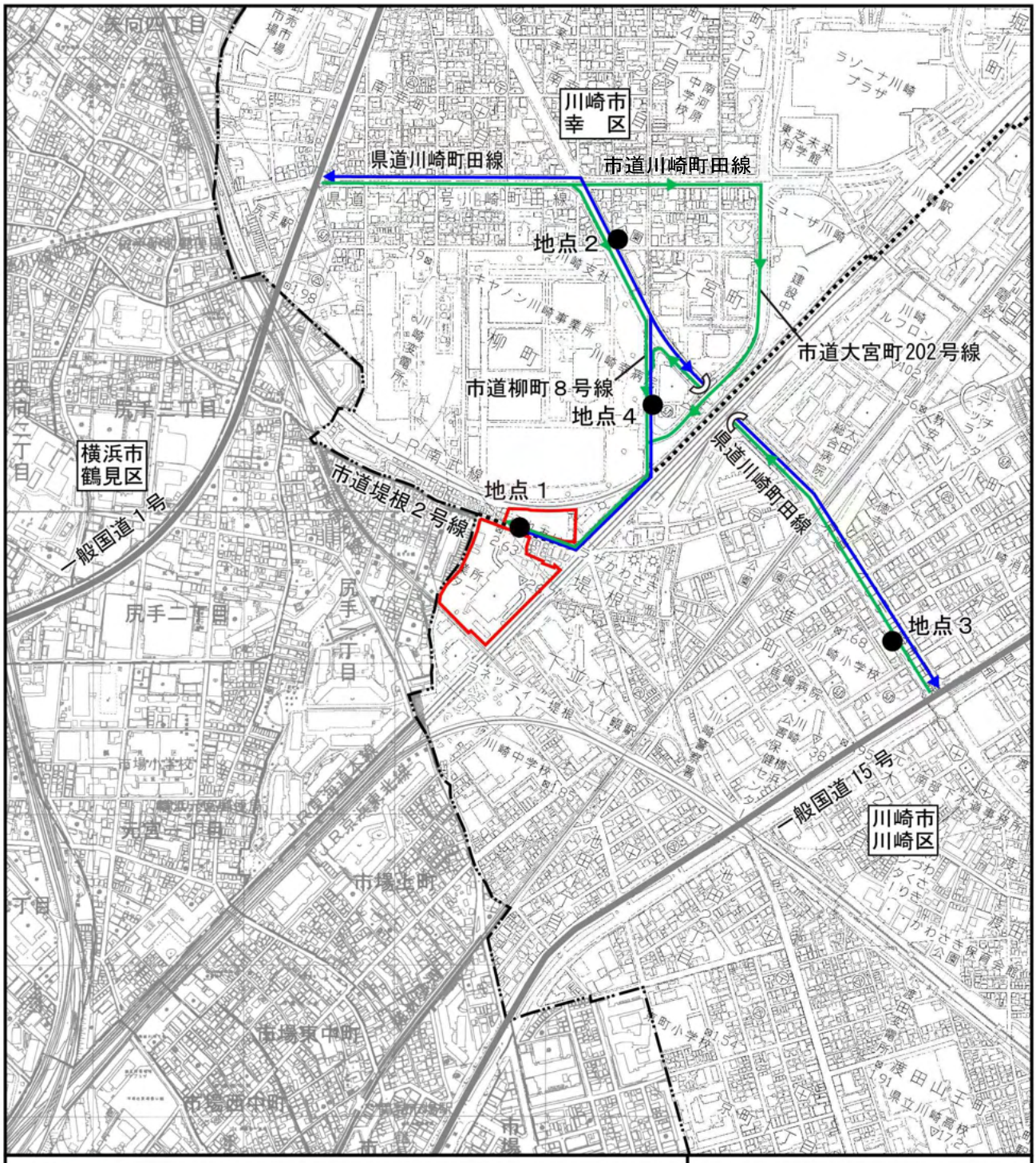


この地図は、「川崎市１：１０，０００地形図（川崎区図）」（川崎市）、「横浜市行政区図（鶴見区図）」（横浜市）を使用したものである。

図 5－1(2)　道路交通騒音調査地点図

# 表5－3(1)　環境騒音の現地調査結果

測 定 日：2021年4月26日(月) ～ 2021年4月27日(火)
調査地点：地点1

| 観測時間 | | dB | | | | | | |
|---|---|---|---|---|---|---|---|---|
| | | 等価騒音レベル | 時間率騒音レベル | | | | | |
| 日 | 時間 | $L_{eq}$ | $L_5$ | $L_{10}$ | $L_{50}$ | $L_{90}$ | $L_{95}$ | $L_{max}$ |
| 12 | 12～13 | 50.5 | 54.9 | 53.5 | 48.4 | 45.0 | 44.1 | 64.4 |
| 12 | 13～14 | 51.6 | 56.7 | 54.6 | 48.9 | 44.6 | 43.9 | 69.6 |
| 12 | 14～15 | 54.0 | 59.1 | 57.2 | 51.6 | 46.8 | 45.7 | 68.9 |
| 12 | 15～16 | 50.3 | 54.4 | 53.1 | 47.9 | 43.9 | 43.3 | 68.6 |
| 12 | 16～17 | 50.9 | 55.2 | 54.0 | 49.1 | 45.0 | 44.2 | 66.0 |
| 12 | 17～18 | 52.3 | 56.5 | 55.2 | 50.5 | 46.0 | 45.2 | 67.2 |
| 12 | 18～19 | 51.2 | 55.6 | 53.9 | 49.1 | 44.5 | 43.9 | 69.1 |
| 12 | 19～20 | 50.4 | 54.9 | 53.2 | 48.0 | 44.0 | 43.6 | 66.8 |
| 12 | 20～21 | 48.1 | 52.9 | 51.4 | 45.7 | 42.9 | 42.6 | 61.5 |
| 12 | 21～22 | 48.7 | 53.4 | 51.1 | 44.6 | 42.3 | 42.0 | 67.8 |
| 12 | 22～23 | 46.4 | 51.2 | 49.2 | 43.4 | 42.0 | 41.7 | 64.7 |
| 12 | 23～00 | 44.8 | 49.1 | 47.5 | 42.9 | 41.7 | 41.5 | 59.5 |
| 13 | 00～01 | 43.0 | 45.6 | 43.6 | 41.8 | 41.0 | 40.9 | 57.8 |
| 13 | 01～02 | 42.4 | 43.4 | 42.6 | 41.4 | 40.8 | 40.6 | 58.5 |
| 13 | 02～03 | 43.0 | 44.2 | 42.8 | 41.4 | 40.7 | 40.6 | 61.8 |
| 13 | 03～04 | 43.3 | 45.4 | 43.2 | 41.6 | 40.9 | 40.8 | 62.4 |
| 13 | 04～05 | 44.3 | 47.8 | 45.3 | 42.0 | 41.1 | 41.0 | 61.9 |
| 13 | 05～06 | 48.0 | 53.5 | 50.7 | 43.8 | 41.8 | 41.5 | 66.6 |
| 13 | 06～07 | 49.6 | 55.0 | 53.7 | 45.5 | 42.8 | 42.4 | 63.3 |
| 13 | 07～08 | 51.2 | 56.3 | 54.7 | 48.0 | 43.8 | 43.2 | 67.9 |
| 13 | 08～09 | 51.8 | 56.5 | 55.0 | 49.8 | 45.1 | 44.3 | 65.5 |
| 13 | 09～10 | 54.9 | 60.5 | 58.6 | 51.7 | 45.9 | 45.1 | 69.2 |
| 13 | 10～11 | 54.3 | 59.7 | 58.0 | 50.9 | 45.5 | 44.7 | 69.8 |
| 13 | 11～12 | 51.7 | 56.5 | 54.1 | 48.2 | 44.5 | 44.1 | 69.7 |
| 全日 | | 50.4 | 53.3 | 51.5 | 46.5 | 43.4 | 43.0 | 69.8 |
| 環境基準 | 昼間 | 51.7 | 56.1 | 54.5 | 48.6 | 44.5 | 43.9 | 69.8 |
| | 夜間 | 44.8 | 47.5 | 45.6 | 42.3 | 41.3 | 41.1 | 66.6 |
| 騒音規制法 | 朝 | 50.5 | 55.7 | 54.2 | 46.8 | 43.3 | 42.8 | 67.9 |
| | 昼間 | 52.5 | 57.0 | 55.3 | 49.7 | 45.2 | 44.5 | 69.8 |
| | 夕 | 49.3 | 53.6 | 51.8 | 46.2 | 43.1 | 42.8 | 69.1 |
| | 夜間 | 44.5 | 47.0 | 45.1 | 42.1 | 41.1 | 41.0 | 66.6 |

(注)
1. 各時間値及び基準時間帯平均等価騒音レベルは、有効データのエネルギー平均値である。
2. 各時間値及び基準時間帯平均時間率騒音レベルは、有効データの算術平均値である。
3. 時間区分は以下のとおりである。
環境基準　：昼間：6～22時　夜間22～6時
騒音規制法：朝:6～8時 昼間:8～18時 夕:18～23時 夜間:23～6時

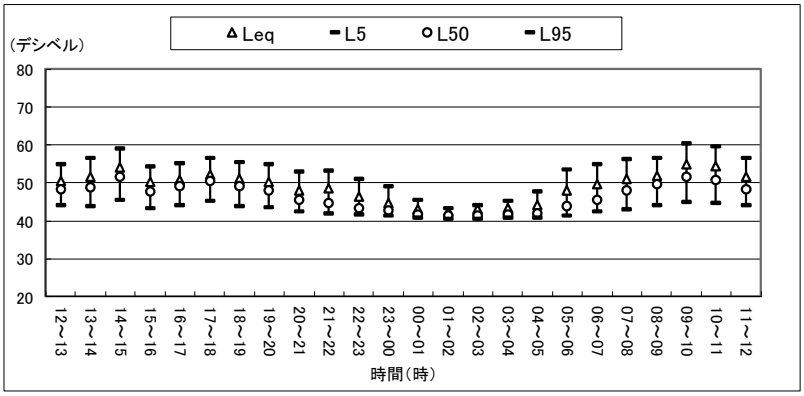


# 図5－2(1)　環境騒音レベルの時間変動

# 表5－3(2)　環境騒音の現地調査結果

測 定 日：2021年4月26日(月) ～ 2021年4月27日(火)
調査地点：地点2

| 観測時間 | | dB | | | | | | |
|---|---|---|---|---|---|---|---|---|
| | | 等価騒音レベル | 時間率騒音レベル | | | | | |
| 日 | 時間 | $L_{eq}$ | $L_5$ | $L_{10}$ | $L_{50}$ | $L_{90}$ | $L_{95}$ | $L_{max}$ |
| 12 | 12～13 | 51.3 | 54.4 | 52.4 | 49.6 | 48.4 | 48.1 | 67.4 |
| 12 | 13～14 | 51.9 | 55.4 | 53.5 | 50.1 | 48.8 | 48.5 | 68.4 |
| 12 | 14～15 | 52.3 | 56.2 | 54.4 | 50.8 | 49.4 | 49.1 | 67.0 |
| 12 | 15～16 | 50.6 | 52.8 | 52.1 | 49.9 | 48.8 | 48.5 | 66.4 |
| 12 | 16～17 | 50.7 | 53.5 | 52.5 | 49.8 | 48.5 | 48.2 | 64.0 |
| 12 | 17～18 | 51.6 | 55.3 | 53.1 | 50.2 | 48.7 | 48.4 | 65.9 |
| 12 | 18～19 | 50.5 | 52.7 | 52.0 | 49.8 | 48.7 | 48.5 | 66.5 |
| 12 | 19～20 | 50.3 | 52.7 | 52.0 | 49.8 | 48.6 | 48.4 | 60.6 |
| 12 | 20～21 | 49.9 | 52.2 | 51.5 | 49.3 | 48.3 | 48.2 | 59.3 |
| 12 | 21～22 | 49.6 | 52.2 | 51.3 | 49.1 | 47.8 | 47.6 | 61.6 |
| 12 | 22～23 | 48.9 | 51.7 | 50.8 | 48.2 | 47.5 | 47.4 | 60.9 |
| 12 | 23～00 | 48.8 | 51.6 | 50.5 | 48.1 | 47.3 | 47.1 | 55.1 |
| 13 | 00～01 | 47.4 | 49.0 | 48.1 | 47.1 | 46.6 | 46.5 | 54.9 |
| 13 | 01～02 | 46.9 | 47.4 | 47.3 | 46.9 | 46.5 | 46.4 | 61.5 |
| 13 | 02～03 | 47.1 | 47.8 | 47.5 | 47.0 | 46.6 | 46.5 | 60.5 |
| 13 | 03～04 | 47.1 | 47.6 | 47.5 | 47.0 | 46.7 | 46.5 | 52.8 |
| 13 | 04～05 | 47.8 | 48.8 | 47.9 | 47.2 | 46.7 | 46.6 | 60.6 |
| 13 | 05～06 | 48.2 | 50.8 | 49.3 | 47.6 | 47.0 | 46.9 | 56.7 |
| 13 | 06～07 | 48.9 | 51.7 | 50.2 | 48.0 | 47.3 | 47.2 | 61.8 |
| 13 | 07～08 | 50.0 | 51.3 | 50.8 | 49.3 | 48.3 | 48.1 | 69.3 |
| 13 | 08～09 | 50.3 | 52.4 | 51.5 | 49.7 | 48.4 | 48.1 | 66.3 |
| 13 | 09～10 | 52.8 | 55.9 | 54.8 | 52.3 | 49.6 | 48.8 | 64.9 |
| 13 | 10～11 | 52.3 | 56.0 | 54.4 | 50.6 | 48.4 | 48.2 | 69.4 |
| 13 | 11～12 | 52.9 | 55.9 | 54.9 | 52.2 | 49.2 | 48.7 | 66.7 |
| 全日 | | 50.3 | 52.3 | 51.3 | 49.2 | 48.0 | 47.8 | 69.4 |
| 環境基準 | 昼間 | 51.1 | 53.8 | 52.6 | 50.0 | 48.6 | 48.3 | 69.4 |
| | 夜間 | 47.8 | 49.3 | 48.6 | 47.4 | 46.9 | 46.7 | 61.5 |
| 騒音規制法 | 朝 | 49.5 | 51.5 | 50.5 | 48.7 | 47.8 | 47.7 | 69.3 |
| | 昼間 | 51.8 | 54.8 | 53.4 | 50.5 | 48.8 | 48.5 | 69.4 |
| | 夕 | 49.9 | 52.3 | 51.5 | 49.2 | 48.2 | 48.0 | 66.5 |
| | 夜間 | 47.7 | 49.0 | 48.3 | 47.3 | 46.8 | 46.6 | 61.5 |

(注)
1. 各時間値及び基準時間帯平均等価騒音レベルは、有効データのエネルギー平均値である。
2. 各時間値及び基準時間帯平均時間率騒音レベルは、有効データの算術平均値である。
3. 時間区分は以下のとおりである。
環境基準　：昼間：6～22時　夜間22～6時
騒音規制法：朝:6～8時 昼間:8～18時 夕:18～23時 夜間:23～6時

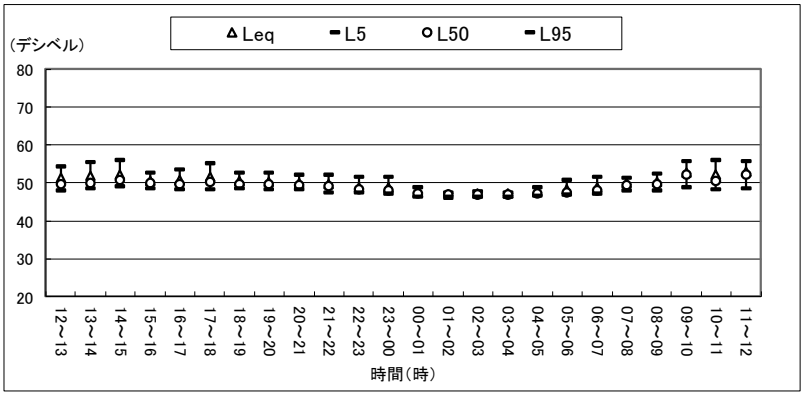


# 図5－2(2)　環境騒音レベルの時間変動

# 表5－3(3)　環境騒音の現地調査結果

測 定 日：2021年4月26日(月) ～ 2021年4月27日(火)
調査地点：地点3

| 観測時間 | | dB | | | | | | |
|---|---|---|---|---|---|---|---|---|
| | | 等価騒音レベル | 時間率騒音レベル | | | | | |
| 日 | 時間 | $L_{eq}$ | $L_5$ | $L_{10}$ | $L_{50}$ | $L_{90}$ | $L_{95}$ | $L_{max}$ |
| 12 | 12～13 | 50.4 | 53.6 | 52.2 | 49.6 | 47.2 | 46.8 | 65.8 |
| 12 | 13～14 | 51.3 | 55.7 | 54.3 | 49.3 | 47.1 | 46.7 | 66.5 |
| 12 | 14～15 | 52.4 | 56.8 | 55.1 | 50.2 | 47.5 | 47.2 | 66.6 |
| 12 | 15～16 | 49.9 | 53.4 | 51.8 | 48.3 | 46.7 | 46.4 | 65.2 |
| 12 | 16～17 | 50.0 | 53.7 | 52.4 | 48.7 | 46.9 | 46.7 | 67.1 |
| 12 | 17～18 | 50.9 | 54.6 | 53.3 | 49.5 | 47.6 | 47.3 | 66.1 |
| 12 | 18～19 | 49.7 | 53.5 | 51.7 | 48.5 | 47.4 | 47.2 | 61.8 |
| 12 | 19～20 | 49.4 | 52.4 | 50.9 | 48.5 | 47.4 | 47.2 | 61.4 |
| 12 | 20～21 | 49.2 | 52.3 | 50.7 | 48.1 | 47.4 | 47.2 | 61.8 |
| 12 | 21～22 | 48.6 | 50.8 | 49.6 | 48.0 | 47.2 | 47.1 | 63.2 |
| 12 | 22～23 | 48.0 | 50.2 | 49.0 | 47.6 | 47.0 | 46.9 | 55.1 |
| 12 | 23～00 | 48.5 | 51.6 | 50.3 | 47.6 | 47.1 | 47.0 | 59.7 |
| 13 | 00～01 | 47.4 | 48.9 | 47.9 | 47.0 | 46.6 | 46.5 | 60.0 |
| 13 | 01～02 | 46.9 | 47.2 | 47.1 | 46.7 | 46.4 | 46.3 | 61.5 |
| 13 | 02～03 | 46.8 | 47.2 | 47.1 | 46.7 | 46.3 | 46.2 | 61.2 |
| 13 | 03～04 | 47.0 | 47.4 | 47.2 | 46.8 | 46.4 | 46.3 | 56.7 |
| 13 | 04～05 | 47.7 | 50.9 | 48.7 | 47.0 | 46.6 | 46.5 | 59.8 |
| 13 | 05～06 | 47.4 | 49.1 | 48.2 | 47.0 | 46.5 | 46.4 | 56.1 |
| 13 | 06～07 | 48.4 | 50.3 | 49.4 | 47.6 | 46.9 | 46.8 | 63.8 |
| 13 | 07～08 | 49.2 | 50.8 | 49.9 | 48.2 | 47.5 | 47.4 | 67.5 |
| 13 | 08～09 | 50.3 | 53.6 | 52.6 | 49.0 | 47.7 | 47.5 | 66.1 |
| 13 | 09～10 | 53.7 | 57.3 | 56.3 | 52.7 | 50.1 | 49.1 | 65.8 |
| 13 | 10～11 | 52.2 | 56.6 | 54.7 | 50.1 | 48.5 | 48.3 | 67.0 |
| 13 | 11～12 | 52.7 | 56.7 | 55.2 | 50.9 | 49.0 | 48.7 | 68.1 |
| 全日 | | 49.9 | 52.3 | 51.1 | 48.5 | 47.3 | 47.1 | 68.1 |
| 環境基準 | 昼間 | 50.8 | 53.9 | 52.5 | 49.2 | 47.6 | 47.4 | 68.1 |
| | 夜間 | 47.5 | 49.1 | 48.2 | 47.1 | 46.6 | 46.5 | 61.5 |
| 騒音規制法 | 朝 | 48.8 | 50.6 | 49.7 | 47.9 | 47.2 | 47.1 | 67.5 |
| | 昼間 | 51.6 | 55.2 | 53.8 | 49.8 | 47.8 | 47.5 | 68.1 |
| | 夕 | 49.0 | 51.8 | 50.4 | 48.1 | 47.3 | 47.1 | 63.2 |
| | 夜間 | 47.4 | 48.9 | 48.1 | 47.0 | 46.6 | 46.5 | 61.5 |

(注)
1. 各時間値及び基準時間帯平均等価騒音レベルは、有効データのエネルギー平均値である。
2. 各時間値及び基準時間帯平均時間率騒音レベルは、有効データの算術平均値である。
3. 時間区分は以下のとおりである。
環境基準　：昼間：6～22時　夜間22～6時
騒音規制法：朝:6～8時 昼間:8～18時 夕:18～23時 夜間:23～6時

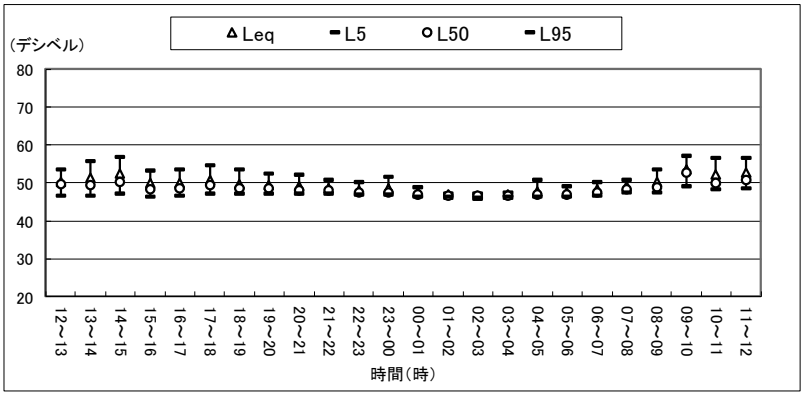


# 図5－2(3)　環境騒音レベルの時間変動

# 表5－3(4)　環境騒音の現地調査結果

測 定 日：2021年4月26日(月) ～ 2021年4月27日(火)
調査地点：地点4

| 観測時間 | | dB | | | | | | |
|---|---|---|---|---|---|---|---|---|
| | | 等価騒音レベル | 時間率騒音レベル | | | | | |
| 日 | 時間 | $L_{eq}$ | $L_5$ | $L_{10}$ | $L_{50}$ | $L_{90}$ | $L_{95}$ | $L_{max}$ |
| 12 | 12～13 | 52.5 | 55.0 | 54.3 | 52.7 | 47.8 | 47.2 | 67.5 |
| 12 | 13～14 | 50.7 | 54.1 | 52.8 | 49.3 | 46.9 | 46.5 | 68.5 |
| 12 | 14～15 | 52.7 | 56.1 | 54.7 | 51.6 | 48.9 | 48.3 | 66.3 |
| 12 | 15～16 | 50.0 | 53.3 | 51.9 | 48.7 | 46.6 | 46.2 | 68.9 |
| 12 | 16～17 | 50.1 | 53.8 | 52.2 | 48.4 | 46.5 | 46.2 | 65.9 |
| 12 | 17～18 | 51.6 | 55.3 | 53.9 | 50.2 | 47.7 | 47.1 | 67.6 |
| 12 | 18～19 | 52.7 | 56.2 | 54.5 | 50.7 | 48.4 | 48.0 | 70.6 |
| 12 | 19～20 | 51.8 | 55.4 | 54.0 | 50.2 | 48.1 | 47.8 | 66.7 |
| 12 | 20～21 | 50.6 | 54.1 | 53.1 | 49.4 | 47.6 | 47.4 | 66.2 |
| 12 | 21～22 | 50.8 | 54.4 | 53.1 | 49.2 | 47.5 | 47.2 | 66.5 |
| 12 | 22～23 | 49.8 | 53.3 | 52.2 | 48.5 | 47.2 | 47.0 | 64.0 |
| 12 | 23～00 | 48.1 | 50.2 | 49.4 | 47.8 | 46.8 | 46.6 | 53.6 |
| 13 | 00～01 | 47.6 | 48.9 | 48.4 | 47.4 | 46.5 | 46.3 | 52.9 |
| 13 | 01～02 | 47.2 | 48.2 | 48.0 | 47.1 | 46.2 | 46.1 | 54.6 |
| 13 | 02～03 | 47.3 | 48.4 | 48.1 | 47.2 | 46.4 | 46.3 | 52.7 |
| 13 | 03～04 | 47.4 | 48.4 | 48.2 | 47.3 | 46.4 | 46.3 | 53.8 |
| 13 | 04～05 | 47.9 | 49.7 | 49.0 | 47.6 | 46.7 | 46.4 | 61.5 |
| 13 | 05～06 | 48.3 | 50.5 | 49.7 | 47.9 | 46.9 | 46.7 | 58.8 |
| 13 | 06～07 | 51.1 | 54.3 | 53.0 | 49.3 | 47.4 | 47.1 | 69.8 |
| 13 | 07～08 | 51.8 | 55.0 | 53.6 | 50.4 | 48.1 | 47.8 | 71.7 |
| 13 | 08～09 | 52.2 | 56.3 | 54.7 | 50.8 | 48.4 | 47.9 | 66.4 |
| 13 | 09～10 | 53.3 | 56.3 | 55.3 | 52.4 | 49.4 | 48.8 | 66.4 |
| 13 | 10～11 | 52.9 | 56.4 | 55.1 | 51.8 | 49.0 | 48.4 | 65.6 |
| 13 | 11～12 | 51.3 | 54.2 | 53.1 | 50.4 | 48.5 | 48.1 | 65.7 |
| 全日 | | 50.8 | 53.2 | 52.2 | 49.4 | 47.5 | 47.2 | 71.7 |
| 環境基準 | 昼間 | 51.7 | 55.0 | 53.7 | 50.3 | 47.9 | 47.5 | 71.7 |
| | 夜間 | 48.0 | 49.7 | 49.1 | 47.6 | 46.6 | 46.5 | 64.0 |
| 騒音規制法 | 朝 | 51.5 | 54.7 | 53.3 | 49.9 | 47.8 | 47.5 | 71.7 |
| | 昼間 | 51.9 | 55.1 | 53.8 | 50.6 | 48.0 | 47.5 | 68.9 |
| | 夕 | 51.3 | 54.7 | 53.4 | 49.6 | 47.8 | 47.5 | 70.6 |
| | 夜間 | 47.7 | 49.2 | 48.7 | 47.5 | 46.6 | 46.4 | 61.5 |

(注)
1. 各時間値及び基準時間帯平均等価騒音レベルは、有効データのエネルギー平均値である。
2. 各時間値及び基準時間帯平均時間率騒音レベルは、有効データの算術平均値である。
3. 時間区分は以下のとおりである。
環境基準　：昼間：6～22時　夜間22～6時
騒音規制法：朝:6～8時 昼間:8～18時 夕:18～23時 夜間:23～6時

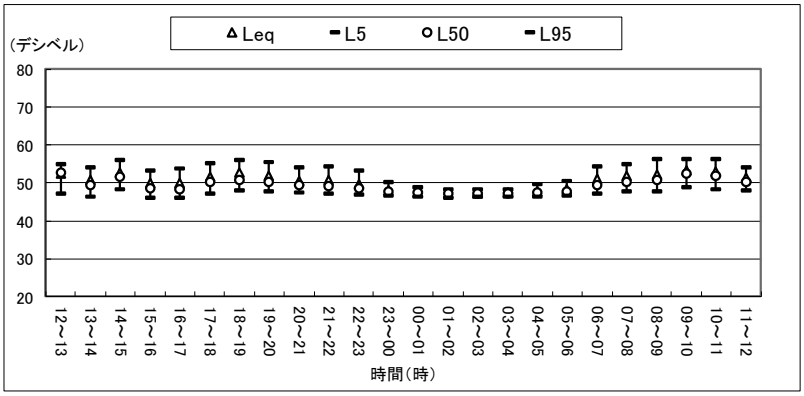


# 図5－2(4)　環境騒音レベルの時間変動

# 表5－3(5)　環境騒音の現地調査結果

測 定 日：2021年4月26日(月) ～ 2021年4月27日(火)
調査地点：地点5

| 観測時間 | | dB | | | | | | |
|---|---|---|---|---|---|---|---|---|
| | | 等価騒音レベル | 時間率騒音レベル | | | | | |
| 日 | 時間 | $L_{eq}$ | $L_5$ | $L_{10}$ | $L_{50}$ | $L_{90}$ | $L_{95}$ | $L_{max}$ |
| 12 | 12～13 | 51.6 | 56.4 | 54.5 | 48.5 | 44.8 | 44.2 | 69.9 |
| 12 | 13～14 | 52.8 | 58.2 | 55.5 | 49.3 | 45.2 | 44.4 | 69.8 |
| 12 | 14～15 | 54.5 | 59.4 | 57.3 | 51.5 | 47.3 | 46.3 | 69.8 |
| 12 | 15～16 | 50.6 | 55.4 | 53.7 | 48.3 | 44.6 | 43.9 | 65.7 |
| 12 | 16～17 | 50.7 | 54.8 | 53.5 | 48.6 | 44.7 | 43.9 | 67.9 |
| 12 | 17～18 | 53.5 | 58.1 | 56.1 | 51.0 | 47.1 | 45.8 | 69.8 |
| 12 | 18～19 | 52.6 | 57.4 | 55.3 | 50.4 | 46.5 | 45.9 | 68.7 |
| 12 | 19～20 | 52.6 | 57.2 | 55.4 | 50.1 | 46.3 | 45.8 | 67.9 |
| 12 | 20～21 | 50.2 | 54.8 | 53.3 | 48.3 | 45.0 | 44.3 | 64.5 |
| 12 | 21～22 | 49.3 | 54.2 | 52.2 | 46.1 | 43.1 | 42.4 | 68.8 |
| 12 | 22～23 | 46.9 | 51.3 | 49.6 | 45.0 | 42.4 | 41.9 | 64.5 |
| 12 | 23～00 | 46.5 | 51.5 | 49.3 | 44.0 | 41.3 | 40.7 | 61.8 |
| 13 | 00～01 | 43.1 | 46.9 | 44.7 | 41.5 | 39.7 | 39.4 | 57.1 |
| 13 | 01～02 | 41.6 | 44.3 | 43.0 | 40.3 | 39.0 | 38.8 | 58.2 |
| 13 | 02～03 | 42.8 | 45.9 | 44.2 | 40.8 | 39.3 | 39.0 | 61.8 |
| 13 | 03～04 | 43.1 | 45.9 | 44.4 | 41.4 | 39.6 | 39.4 | 61.7 |
| 13 | 04～05 | 44.2 | 47.9 | 45.9 | 42.1 | 39.9 | 39.6 | 61.1 |
| 13 | 05～06 | 49.0 | 54.6 | 52.0 | 45.0 | 41.9 | 41.2 | 68.3 |
| 13 | 06～07 | 51.3 | 56.1 | 54.7 | 48.2 | 44.3 | 43.5 | 69.0 |
| 13 | 07～08 | 52.5 | 57.1 | 55.9 | 50.5 | 46.1 | 45.3 | 66.0 |
| 13 | 08～09 | 52.0 | 56.1 | 54.9 | 50.4 | 47.0 | 46.4 | 65.2 |
| 13 | 09～10 | 53.0 | 57.7 | 55.9 | 50.5 | 46.7 | 46.0 | 69.3 |
| 13 | 10～11 | 53.0 | 57.7 | 56.1 | 51.1 | 47.4 | 46.3 | 67.7 |
| 13 | 11～12 | 53.2 | 58.0 | 56.3 | 50.9 | 47.3 | 46.7 | 68.8 |
| 全日 | | 50.9 | 54.0 | 52.2 | 47.2 | 44.0 | 43.4 | 69.9 |
| 環境基準 | 昼間 | 52.3 | 56.8 | 55.0 | 49.6 | 45.8 | 45.1 | 69.9 |
| | 夜間 | 45.3 | 48.5 | 46.6 | 42.5 | 40.4 | 40.0 | 68.3 |
| 騒音規制法 | 朝 | 51.9 | 56.6 | 55.3 | 49.4 | 45.2 | 44.4 | 69.0 |
| | 昼間 | 52.6 | 57.2 | 55.4 | 50.0 | 46.2 | 45.4 | 69.9 |
| | 夕 | 50.8 | 55.0 | 53.2 | 48.0 | 44.7 | 44.1 | 68.8 |
| | 夜間 | 45.1 | 48.1 | 46.2 | 42.2 | 40.1 | 39.7 | 68.3 |

(注)
1. 各時間値及び基準時間帯平均等価騒音レベルは、有効データのエネルギー平均値である。
2. 各時間値及び基準時間帯平均時間率騒音レベルは、有効データの算術平均値である。
3. 時間区分は以下のとおりである。
環境基準　：昼間：6～22時　夜間22～6時
騒音規制法：朝:6～8時 昼間:8～18時 夕:18～23時 夜間:23～6時

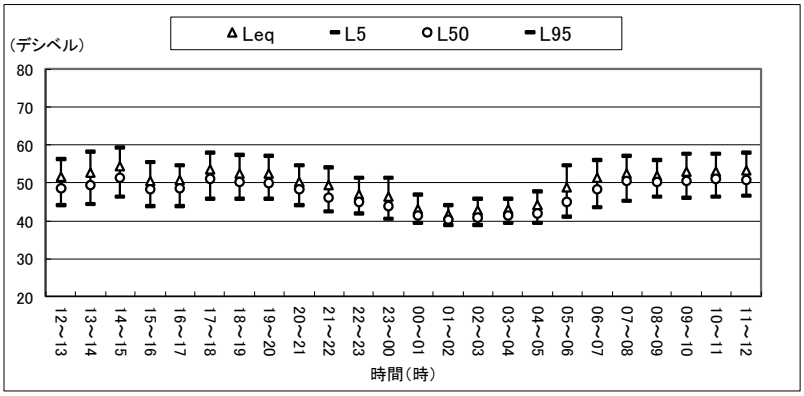


# 図5－2(5)　環境騒音レベルの時間変動

# 表5－3(6)　環境騒音の現地調査結果

測 定 日：2021年4月26日(月) ～ 2021年4月27日(火)
調査地点：地点6

| 観測時間 | | dB | | | | | | |
|---|---|---|---|---|---|---|---|---|
| | | 等価騒音レベル | 時間率騒音レベル | | | | | |
| 日 | 時間 | $L_{eq}$ | $L_5$ | $L_{10}$ | $L_{50}$ | $L_{90}$ | $L_{95}$ | $L_{max}$ |
| 12 | 12～13 | 48.1 | 52.0 | 50.2 | 46.0 | 43.3 | 42.7 | 65.6 |
| 12 | 13～14 | 48.8 | 52.2 | 50.8 | 47.4 | 44.3 | 43.7 | 68.2 |
| 12 | 14～15 | 49.5 | 53.7 | 51.7 | 47.9 | 45.1 | 44.3 | 65.7 |
| 12 | 15～16 | 48.0 | 51.2 | 49.9 | 47.0 | 44.4 | 43.7 | 59.2 |
| 12 | 16～17 | 49.2 | 53.0 | 51.5 | 47.7 | 45.1 | 44.5 | 66.3 |
| 12 | 17～18 | 50.8 | 55.2 | 52.6 | 48.2 | 46.0 | 45.5 | 66.6 |
| 12 | 18～19 | 49.6 | 53.4 | 52.0 | 47.5 | 45.1 | 44.5 | 64.9 |
| 12 | 19～20 | 50.2 | 55.0 | 52.6 | 46.9 | 44.2 | 43.4 | 68.7 |
| 12 | 20～21 | 47.3 | 51.2 | 49.4 | 46.0 | 42.5 | 41.9 | 65.6 |
| 12 | 21～22 | 46.5 | 49.0 | 47.9 | 44.5 | 41.3 | 40.7 | 66.1 |
| 12 | 22～23 | 44.4 | 47.1 | 46.2 | 43.4 | 40.5 | 40.1 | 62.0 |
| 12 | 23～00 | 43.9 | 47.5 | 46.4 | 42.7 | 38.9 | 38.2 | 58.6 |
| 13 | 00～01 | 41.1 | 44.4 | 43.5 | 40.1 | 37.6 | 37.2 | 55.1 |
| 13 | 01～02 | 40.6 | 44.7 | 43.2 | 39.0 | 37.2 | 37.0 | 52.7 |
| 13 | 02～03 | 41.5 | 45.4 | 44.3 | 39.6 | 37.3 | 37.0 | 63.1 |
| 13 | 03～04 | 41.7 | 45.7 | 44.6 | 39.9 | 37.5 | 37.1 | 55.9 |
| 13 | 04～05 | 43.4 | 47.1 | 45.9 | 41.1 | 38.0 | 37.7 | 65.5 |
| 13 | 05～06 | 45.2 | 48.8 | 47.8 | 43.9 | 39.7 | 39.0 | 59.0 |
| 13 | 06～07 | 47.5 | 50.4 | 49.1 | 45.8 | 43.2 | 42.5 | 66.6 |
| 13 | 07～08 | 47.3 | 50.8 | 49.3 | 46.2 | 43.5 | 42.8 | 59.8 |
| 13 | 08～09 | 49.5 | 54.0 | 52.2 | 47.4 | 45.5 | 45.1 | 61.1 |
| 13 | 09～10 | 49.2 | 53.0 | 51.5 | 47.6 | 44.9 | 44.3 | 65.1 |
| 13 | 10～11 | 50.8 | 57.0 | 54.6 | 47.5 | 44.7 | 44.2 | 65.9 |
| 13 | 11～12 | 49.0 | 52.5 | 50.9 | 47.3 | 45.2 | 44.7 | 68.1 |
| 全日 | | 47.8 | 50.6 | 49.1 | 45.0 | 42.3 | 41.7 | 68.7 |
| 環境基準 | 昼間 | 49.0 | 52.7 | 51.0 | 46.9 | 44.3 | 43.7 | 68.7 |
| | 夜間 | 43.0 | 46.3 | 45.2 | 41.2 | 38.3 | 37.9 | 65.5 |
| 騒音規制法 | 朝 | 47.4 | 50.6 | 49.2 | 46.0 | 43.4 | 42.7 | 66.6 |
| | 昼間 | 49.4 | 53.4 | 51.6 | 47.4 | 44.9 | 44.3 | 68.2 |
| | 夕 | 48.1 | 51.1 | 49.6 | 45.7 | 42.7 | 42.1 | 68.7 |
| | 夜間 | 42.8 | 46.2 | 45.1 | 40.9 | 38.0 | 37.6 | 65.5 |

(注)
1. 各時間値及び基準時間帯平均等価騒音レベルは、有効データのエネルギー平均値である。
2. 各時間値及び基準時間帯平均時間率騒音レベルは、有効データの算術平均値である。
3. 時間区分は以下のとおりである。
環境基準　：昼間：6～22時　夜間22～6時
騒音規制法：朝:6～8時 昼間:8～18時 夕:18～23時 夜間:23～6時

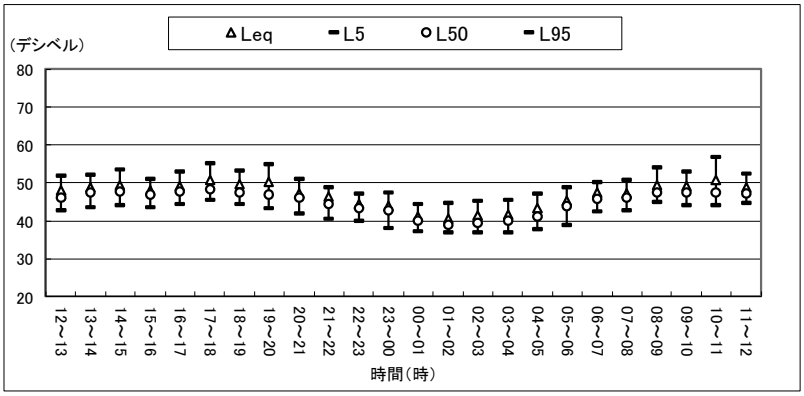


# 図5－2(6)　環境騒音レベルの時間変動

## 表5－4(1)　道路交通騒音の現地調査結果

測 定 日：2020年11月24日(火)
測定地点：地点1

| 観測時間 | dB | | | | | | |
|---|---|---|---|---|---|---|---|
| | 等価騒音レベル | 時間率騒音レベル | | | | | |
| | $L_{eq}$ | $L_5$ | $L_{10}$ | $L_{50}$ | $L_{90}$ | $L_{95}$ | $L_{max}$ |
| 06～07 | 65.0 | 71.1 | 69.6 | 59.2 | 50.9 | 49.7 | 79.6 |
| 07～08 | 65.7 | 71.3 | 69.9 | 61.7 | 52.5 | 51.3 | 82.6 |
| 08～09 | 65.4 | 71.3 | 69.9 | 61.0 | 53.1 | 51.9 | 80.6 |
| 09～10 | 66.5 | 72.0 | 70.4 | 61.7 | 53.4 | 52.3 | 83.3 |
| 10～11 | 65.7 | 71.5 | 69.5 | 60.6 | 52.0 | 50.9 | 82.7 |
| 11～12 | 64.0 | 70.1 | 68.3 | 58.7 | 50.4 | 49.4 | 80.6 |
| 12～13 | 63.7 | 70.0 | 68.3 | 57.8 | 49.6 | 48.6 | 80.9 |
| 13～14 | 63.8 | 70.1 | 68.2 | 57.9 | 50.7 | 49.8 | 79.5 |
| 14～15 | 65.8 | 71.4 | 69.7 | 61.1 | 52.6 | 51.3 | 84.7 |
| 15～16 | 64.3 | 70.4 | 68.6 | 59.2 | 51.2 | 50.2 | 79.9 |
| 16～17 | 64.4 | 70.4 | 68.8 | 59.6 | 51.4 | 50.2 | 81.4 |
| 17～18 | 65.9 | 71.2 | 69.7 | 62.6 | 53.0 | 50.9 | 81.3 |
| 18～19 | 65.2 | 70.8 | 69.5 | 61.7 | 51.9 | 50.3 | 79.6 |
| 19～20 | 64.8 | 70.9 | 69.2 | 59.6 | 50.2 | 49.0 | 82.9 |
| 20～21 | 63.0 | 69.7 | 67.7 | 55.9 | 48.2 | 47.4 | 78.4 |
| 21～22 | 62.4 | 69.3 | 67.0 | 54.4 | 47.7 | 46.8 | 79.5 |
| 平均 | 64.9 | 70.7 | 69.0 | 59.5 | 51.2 | 50.0 | 84.7 |

(注)
1. 各時間値及び基準時間帯平均等価騒音レベルは、有効データのエネルギー平均値である。
2. 各時間値及び基準時間帯平均時間率騒音レベルは、有効データの算術平均値である。

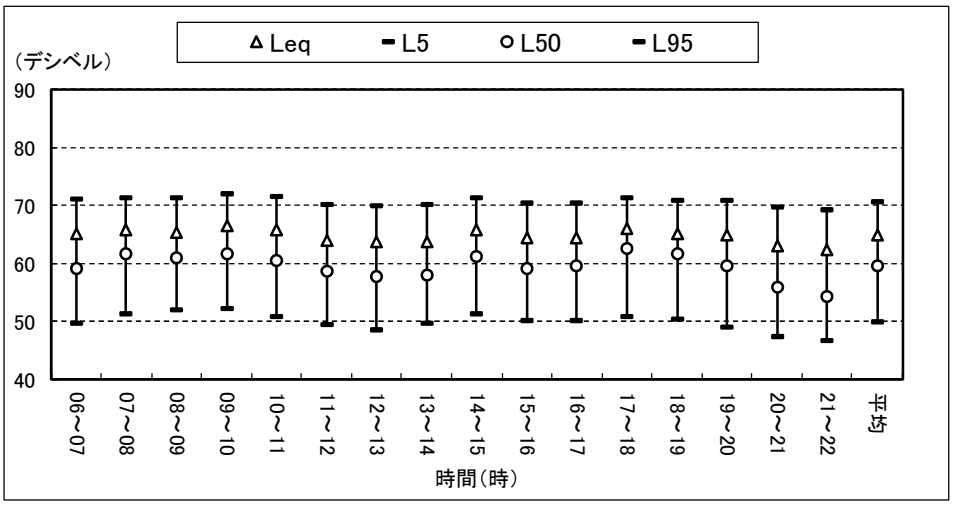


## 図5－3(1)　道路交通騒音レベルの時間変動

## 表5－4(2)　道路交通騒音の現地調査結果

測 定 日：2020年11月24日(火)
測定地点：地点2

| 観測時間 | dB | | | | | | |
|---|---|---|---|---|---|---|---|
| | 等価騒音レベル | 時間率騒音レベル | | | | | |
| | $L_{eq}$ | $L_5$ | $L_{10}$ | $L_{50}$ | $L_{90}$ | $L_{95}$ | $L_{max}$ |
| 06～07 | 74.4 | 79.5 | 78.3 | 72.3 | 57.7 | 55.3 | 87.7 |
| 07～08 | 74.5 | 79.3 | 78.1 | 73.1 | 59.5 | 57.8 | 86.6 |
| 08～09 | 73.5 | 78.5 | 77.3 | 71.9 | 60.2 | 58.8 | 84.3 |
| 09～10 | 73.2 | 78.3 | 77.0 | 71.2 | 58.7 | 57.3 | 86.6 |
| 10～11 | 73.7 | 78.4 | 77.3 | 71.7 | 63.0 | 61.6 | 84.1 |
| 11～12 | 73.2 | 78.3 | 77.1 | 70.9 | 61.2 | 59.3 | 84.8 |
| 12～13 | 72.4 | 77.7 | 76.3 | 69.5 | 60.0 | 57.7 | 86.4 |
| 13～14 | 72.3 | 77.6 | 76.3 | 69.4 | 59.4 | 57.6 | 84.4 |
| 14～15 | 72.1 | 77.4 | 76.1 | 69.2 | 59.8 | 58.6 | 84.6 |
| 15～16 | 72.1 | 77.2 | 76.0 | 69.4 | 60.1 | 58.9 | 87.3 |
| 16～17 | 72.2 | 77.2 | 75.9 | 69.7 | 61.0 | 59.3 | 83.4 |
| 17～18 | 71.8 | 77.1 | 75.8 | 68.7 | 59.3 | 57.7 | 85.4 |
| 18～19 | 71.3 | 76.7 | 75.4 | 68.2 | 58.5 | 57.0 | 83.7 |
| 19～20 | 71.5 | 76.7 | 75.4 | 68.6 | 59.1 | 57.0 | 88.0 |
| 20～21 | 70.3 | 76.1 | 74.6 | 66.8 | 56.8 | 55.1 | 83.4 |
| 21～22 | 70.0 | 75.8 | 74.3 | 65.3 | 53.8 | 52.3 | 85.4 |
| 平均 | 72.6 | 77.6 | 76.3 | 69.7 | 59.3 | 57.6 | 88.0 |

(注)
1. 各時間値及び基準時間帯平均等価騒音レベルは、有効データのエネルギー平均値である。
2. 各時間値及び基準時間帯平均時間率騒音レベルは、有効データの算術平均値である。

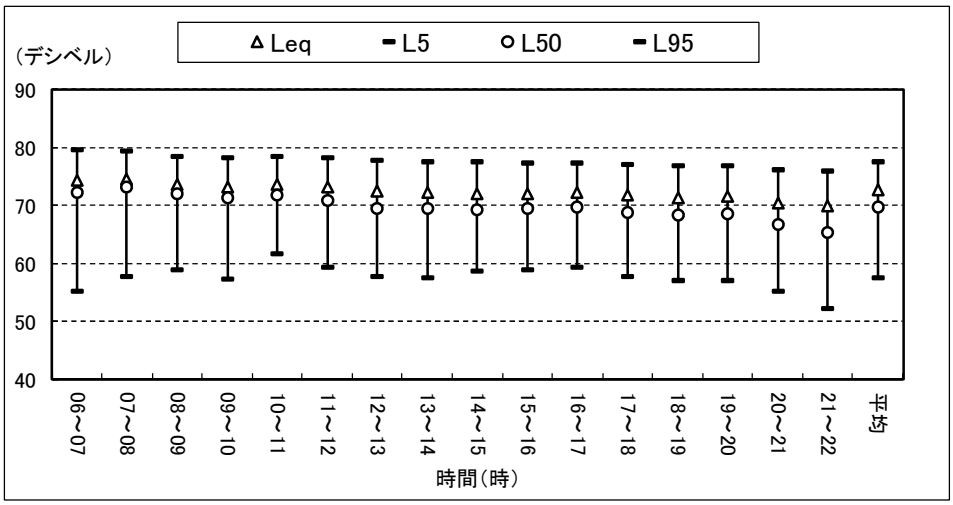


## 図5－3(2)　道路交通騒音レベルの時間変動

## 表5－4(3)　道路交通騒音の現地調査結果

測 定 日：2020年11月24日(火)
測定地点：地点3

| 観測時間 | dB | | | | | | |
|---|---|---|---|---|---|---|---|
| | 等価騒音レベル | 時間率騒音レベル | | | | | |
| | $L_{eq}$ | $L_5$ | $L_{10}$ | $L_{50}$ | $L_{90}$ | $L_{95}$ | $L_{max}$ |
| 06～07 | 69.8 | 74.8 | 73.3 | 66.9 | 57.0 | 55.8 | 89.5 |
| 07～08 | 69.4 | 74.3 | 72.9 | 67.2 | 58.9 | 57.9 | 83.6 |
| 08～09 | 67.8 | 72.4 | 71.3 | 66.3 | 58.0 | 56.9 | 80.2 |
| 09～10 | 68.5 | 73.1 | 72.0 | 66.8 | 58.9 | 57.2 | 82.9 |
| 10～11 | 68.0 | 72.6 | 71.6 | 66.0 | 58.7 | 57.5 | 81.7 |
| 11～12 | 68.0 | 73.0 | 71.6 | 65.6 | 57.0 | 56.0 | 82.6 |
| 12～13 | 68.1 | 73.1 | 72.0 | 65.6 | 57.5 | 56.1 | 79.6 |
| 13～14 | 68.3 | 73.2 | 71.8 | 66.2 | 58.7 | 57.5 | 84.0 |
| 14～15 | 68.7 | 73.4 | 72.2 | 66.1 | 59.6 | 58.1 | 84.0 |
| 15～16 | 68.5 | 73.2 | 71.8 | 66.1 | 59.7 | 58.6 | 84.8 |
| 16～17 | 67.4 | 72.1 | 70.7 | 64.8 | 58.5 | 57.7 | 86.3 |
| 17～18 | 67.1 | 71.8 | 70.4 | 65.1 | 57.2 | 56.4 | 84.1 |
| 18～19 | 66.9 | 71.6 | 70.5 | 65.0 | 57.2 | 56.3 | 80.9 |
| 19～20 | 67.3 | 72.6 | 71.3 | 63.9 | 56.0 | 55.0 | 82.2 |
| 20～21 | 67.8 | 73.3 | 72.0 | 63.9 | 55.1 | 54.1 | 81.6 |
| 21～22 | 66.0 | 71.3 | 69.6 | 62.3 | 54.5 | 53.1 | 81.3 |
| 平均 | 68.1 | 72.9 | 71.6 | 65.5 | 57.7 | 56.5 | 89.5 |

(注)
1. 各時間値及び基準時間帯平均等価騒音レベルは、有効データのエネルギー平均値である。
2. 各時間値及び基準時間帯平均時間率騒音レベルは、有効データの算術平均値である。

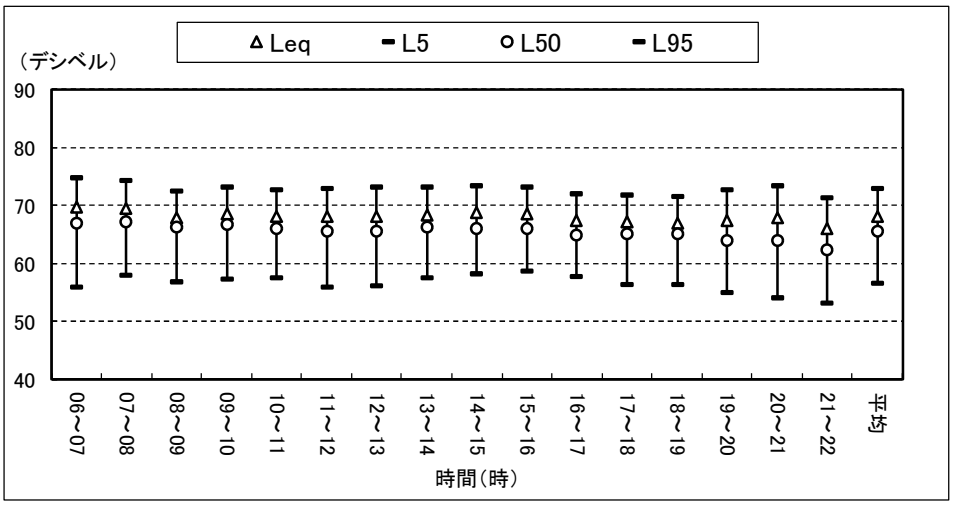


図5－3(3)　道路交通騒音レベルの時間変動

## 表5－4(4)　道路交通騒音の現地調査結果

測 定 日：2020年11月24日(火)
測定地点：地点4

| 観測時間 | dB | | | | | | |
|---|---|---|---|---|---|---|---|
| | 等価騒音レベル | 時間率騒音レベル | | | | | |
| | $L_{eq}$ | $L_5$ | $L_{10}$ | $L_{50}$ | $L_{90}$ | $L_{95}$ | $L_{max}$ |
| 06～07 | 61.4 | 65.2 | 63.8 | 59.8 | 55.2 | 53.7 | 78.6 |
| 07～08 | 61.5 | 65.4 | 64.3 | 60.2 | 55.6 | 54.4 | 78.4 |
| 08～09 | 61.4 | 65.0 | 63.9 | 60.4 | 56.1 | 54.9 | 72.8 |
| 09～10 | 62.3 | 66.6 | 64.9 | 60.6 | 56.7 | 55.7 | 80.0 |
| 10～11 | 62.1 | 66.1 | 64.5 | 60.1 | 56.3 | 55.4 | 81.8 |
| 11～12 | 60.7 | 65.1 | 63.7 | 59.1 | 54.7 | 53.4 | 77.4 |
| 12～13 | 60.4 | 64.7 | 63.6 | 58.8 | 54.3 | 53.2 | 74.9 |
| 13～14 | 60.5 | 64.9 | 63.6 | 58.9 | 54.7 | 53.9 | 74.3 |
| 14～15 | 61.6 | 65.9 | 64.2 | 59.6 | 56.0 | 55.1 | 79.5 |
| 15～16 | 60.5 | 64.9 | 63.6 | 58.6 | 54.6 | 53.7 | 74.1 |
| 16～17 | 60.7 | 65.0 | 63.6 | 58.7 | 55.0 | 54.2 | 76.9 |
| 17～18 | 60.9 | 65.1 | 64.0 | 59.3 | 55.5 | 54.6 | 74.1 |
| 18～19 | 60.5 | 64.4 | 63.3 | 59.1 | 55.1 | 53.9 | 73.7 |
| 19～20 | 60.2 | 64.5 | 63.4 | 58.7 | 53.3 | 52.1 | 72.2 |
| 20～21 | 59.2 | 63.8 | 62.6 | 57.2 | 52.3 | 51.2 | 76.8 |
| 21～22 | 58.9 | 64.3 | 62.6 | 56.2 | 50.3 | 49.6 | 75.5 |
| 平均 | 60.9 | 65.1 | 63.7 | 59.1 | 54.7 | 53.7 | 81.8 |

(注)
1. 各時間値及び基準時間帯平均等価騒音レベルは、有効データのエネルギー平均値である。
2. 各時間値及び基準時間帯平均時間率騒音レベルは、有効データの算術平均値である。

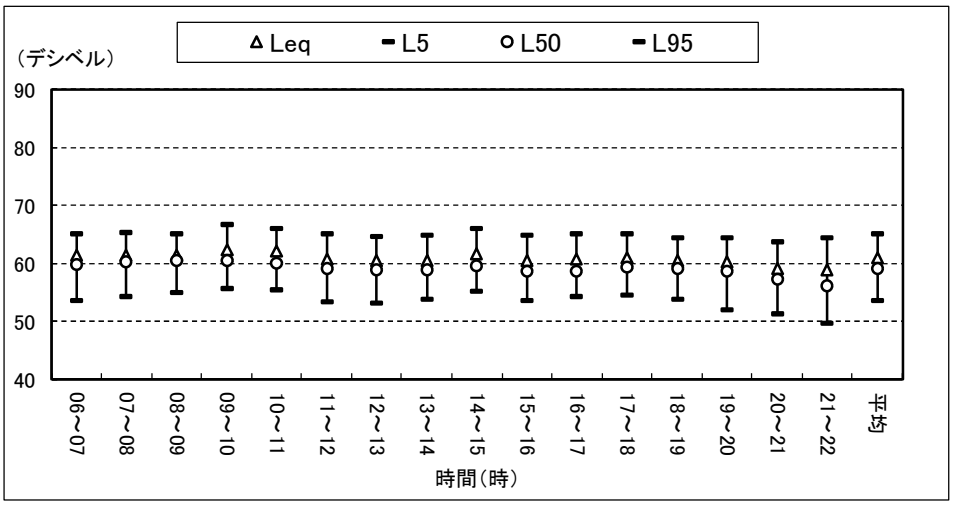


## 図5－3(4)　道路交通騒音レベルの時間変動

# 資料５－２　建設作業騒音の予測方法

建設作業騒音の予測方法は、点音源による距離減衰式に基づき、距離減衰量（$=20\log_{10}r$）のほか、仮囲いによる騒音の回折減衰量を減じて算出した。

$$L_r = L_w - 8 - 20\log_{10} r - R$$

ここで、　$L_r$　：騒音レベル(デシベル)
$L_w$　：建設機械のパワーレベル(デシベル)
r　：音源から受音点までの距離（m）
R　：回折減衰量(デシベル)

$$R = 5 \pm 20\log_{10}\frac{\sqrt{2\pi|N|}}{\tanh\sqrt{2\pi|N|}}$$　（前川チャートに対する近似式）

N：フレネル数（＝２δ／λ）
λ：波長
δ：行路差（＝ａ＋ｂ－ｃ）

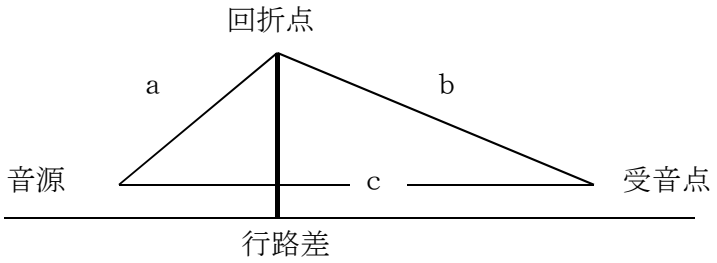


受音点において複数の音源からの寄与がある場合には、次式により合成騒音レベルを求めた。

$$L = 10\log_{10}\left[\sum_{i=1}^{n} 10^{\frac{Li}{10}}\right]$$

ここで、Ｌ　：　受音点の合成騒音レベル(デシベル)
Ｌｉ：　個別音源による受音点での騒音レベル(デシベル)
ｎ　：　音源の個数

# 資料５－３　道路交通騒音の予測方法

## （１）予測の基本的な手法

予測計算には次式を用いた。

$L_{Aeq}＝L_{Aeq,FT}＋ΔL$

$ΔL＝L_{Aeq,CS}－L_{Aeq,RT}$

$L_{Aeq,CS}$　：現況の等価騒音レベル（デシベル）

$L_{Aeq,RT}$　：現況の交通量から(社)日本音響学会のASJ　RTN-Model　2018を用いて求められる等価騒音レベル（デシベル）

$L_{Aeq,FT}$　：将来の交通量から(社)日本音響学会のASJ　RTN-Model　2018を用いて求められる等価騒音レベル（デシベル）

$ΔL$　　：現況の交通量による等価騒音レベル補正値（デシベル）

## （２）ASJ RTN-Model 2018 の考え方

予測は、(一社)日本音響学会の ASJ RTN-Model 2018 の考え方を基本として行った。

まず、対象とする道路上を点音源と見なせる１台の自動車が走行したときの予測点における騒音レベルの時間変化（ユニットパターン）を求め、単発騒音暴露レベル$L_{AE}$を算出する。算出された単発騒音暴露レベルに車種別の交通量を考慮して、予測点における騒音のエネルギー的な時間平均値である$L_{Aeq,T}$を求める。

伝搬計算式、単発騒音暴露レベル算出式及び等価騒音レベル算出式は以下のとおりである。

### 【自動車走行騒音の伝搬計算式】

１台の自動車が走行したときの予測点における騒音の時間変化(ユニットパターン)は、次式を用いて算出した。

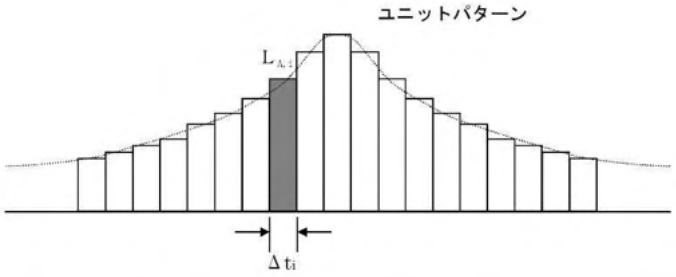


**図5－4　ユニットパターンの模式図**

$L_{A,i}＝L_{WA,i}－8－20\ \log r_i＋⊿L_{dif,i}＋⊿L_{grnd,i}$

ここで、

$L_{A,i}$　　：ｉ番目の音源位置から予測点に伝搬する騒音のＡ特性音圧レベル(デシベル)

$L_{WA,i}$　　：ｉ番目の音源位置における自動車走行騒音のＡ特性音響パワーレベル(デシベル)

$r_i$　　：ｉ番目の音源位置から予測点までの直達距離（ｍ）

$⊿L_{dif,i}$　：回折に伴う減衰に関する補正量（デシベル）

$⊿L_{grnd,i}$　：地表面効果による減衰に関する補正量（デシベル）

**【単発騒音暴露レベル算出式】**

ユニットパターンの時間積分値である単発騒音暴露レベル$L_{AE}$は、次式を用いて算出した。

$$L_{AE}=10\log_{10}\sum_{i}10^{\frac{L_{AE,T_i,i}}{10}}$$

$$L_{AE,T_i,i}=L_{A,i}+10\log_{10}\frac{T_i}{T_0}$$

$L_{AE}$　：１台の自動車が対象とする道路の全延長を通過する間の予測点における単発騒音暴露レベル（デシベル）

$L_{AE,T_i,i}$：ｉ番目の音源位置から予測点に伝搬する騒音暴露レベル（デシベル）

$L_{A,i}$　：ｉ番目の音源位置から予測点に伝搬する騒音のＡ特性音圧レベル（デシベル）

$T_i$　：音源が区間ｉに存在する時間（秒）

$T_0$　：基準の時間（１秒）

**【等価騒音レベル算出式】**

等価騒音レベル（$L_{Aeq}$）は、次式に示すようにユニットパターンの時間積分値（$L_{AE}$）に対象とする１時間当たりの交通量を考慮し、その時間のエネルギー平均レベルを求めることにより算出した。

$$L_{Aeq,T}=10\log_{10}\frac{\sum_{j}N_{T,j}10^{\frac{L_{AE,j}}{10}}}{T}$$

$L_{Aeq,T}$：車線別、車種別の等価騒音レベル（デシベル）

$L_{AE,j}$　：車種ｊの単発騒音暴露レベル（デシベル）

$T$　：対象とする時間（秒）

$N_{T,j}$　：時間Ｔにおける車種ｊの交通量（台）

また、予測点における騒音レベルは、車線別、車種別の等価騒音レベルを次式により合成して算出した。

**【エネルギー合成式】**

$$L_{Aeq}=10\ \log_{10}\left(\Sigma 10^{L_{Aeq,T}/10}\right)$$

$L_{Aeq}$　：予測点における騒音レベル（デシベル）

$L_{Aeq,T}$：車線別、車種別の等価騒音レベル（デシベル）

### （３）工事用車両の走行による等価騒音レベルの予測計算による補正

工事用車両の走行による等価騒音レベルの予測計算による補正値は、表 5－5 に示すとおりである。将来騒音レベルの予測については、将来一般交通による騒音レベル（予測結果）（*L2*）の予測を行い、将来一般交通による騒音レベル（現況騒音レベル[現地調査結果]）（*L1*）との差分を将来一般交通による騒音レベル補正値（*L3*）とした。

**表 5－5　工事用車両の走行による等価騒音レベルの予測計算による補正値**

単位：デシベル

| 予測地点 | | 時間区分 | 将来一般交通による騒音レベル予測結果 *L2* 注1） | 将来一般交通による騒音レベル（現況騒音レベル）［現地調査結果］ *L1* 注1） | 将来一般交通による騒音レベル補正値 *L3* 注1） （*L1*－*L2*） |
|---|---|---|---|---|---|
| 地点１ | 北側 | 昼間 | 66.9 | 65.0 注2） | −1.9 |
| | 南側 | 昼間 | 66.8 | 64.9 | −1.9 |
| 地点２ | 東側 | 昼間 | 73.9 | 72.6 | −1.3 |
| | 西側 | 昼間 | 73.6 | 72.3 注2） | −1.3 |
| 地点３ | 東側 | 昼間 | 71.4 | 67.6 注2） | −3.8 |
| | 西側 | 昼間 | 71.9 | 68.1 | −3.8 |
| 地点４ | 東側 | 昼間 | 63.2 | 60.9 | −2.3 |
| | 西側 | 昼間 | 65.1 | 62.8 注2） | −2.3 |

注１）*L1*、*L2*、*L3*は、図 9.5.1-6（５　騒音・振動・低周波音　5.1　騒音、323 ページ参照）の番号にそれぞれ対応している。
注２）予測地点の道路両側の伝搬状況が概ね同様であることから、各予測地点の両道路端の騒音レベル（現況交通量での予測結果）の差分を、現況騒音レベル（現地調査結果）に加えることで算出した。
注３）■は、現地調査地点側を示す。

# 資料５－４　工事用車両の走行に係る騒音の予測結果

## （距離減衰状況）

工事用車両の走行に係る騒音の予測結果（距離減衰状況）は、図 5-5 に示すとおりである。

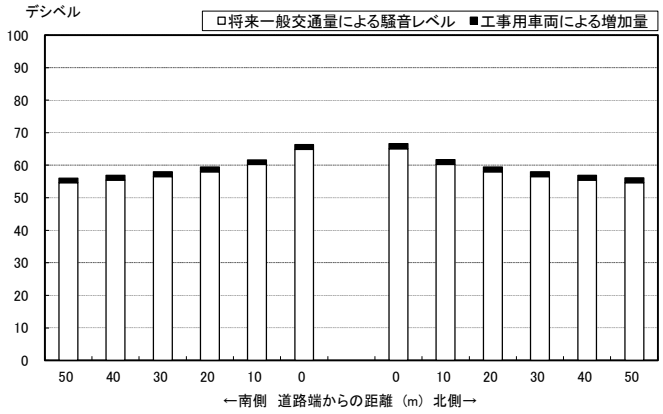


【地点１：市道堤根２号線】

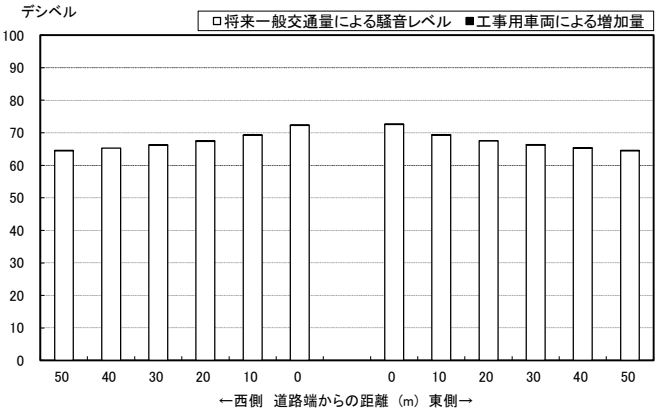


【地点２：県道川崎町田線】

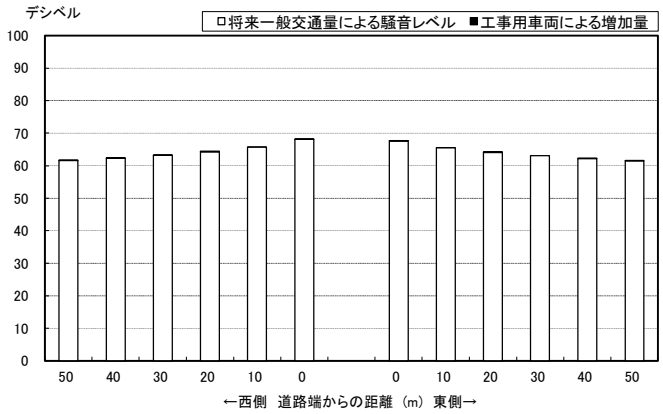


【地点３：県道川崎町田線】

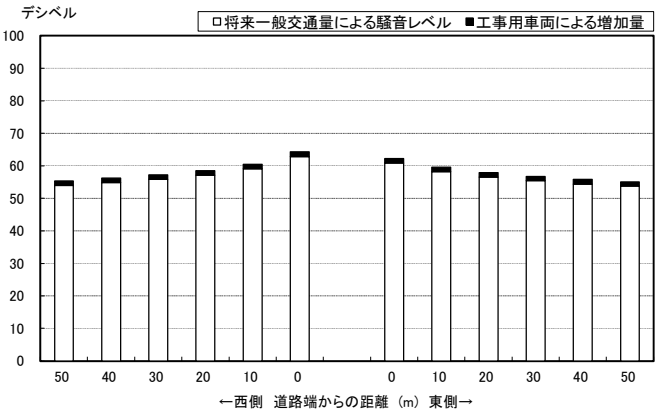


【地点４：市道柳町８号線】

図 5－5　工事用車両の走行に係る騒音の予測結果（距離減衰状況）

# 資料５－５　施設騒音の予測方法

## （１）音源条件

施設稼働時の音源について、設備機器の種類、台数及びパワーレベルは、表 5－6 に示すとおりである。

**表 5－6　施設騒音予測の音源条件**

単位：デシベル

| No. | 機器名称 | パワーレベル (dB) | 台数 | 周波数(Hz) | | | | | | | | 対策の有無 |
|---|---|---|---|---|---|---|---|---|---|---|---|---|
| | | | | 63 | 125 | 250 | 500 | 1K | 2K | 4K | 8K | |
| 1 | 機器冷却水ポンプ | 90 | 2 | 49 | 59 | 65 | 72 | 75 | 75 | 68 | 62 | |
| 2 | 混練機 | 90 | 2 | 63 | 76 | 79 | 82 | 82 | 81 | 76 | 68 | |
| 3 | 撹拌ブロワ | 95 | 2 | 67 | 75 | 82 | 86 | 88 | 86 | 80 | 71 | |
| 4 | 誘引送風機 | 107 | 2 | 70 | 81 | 87 | 88 | 86 | 80 | 71 | 61 | |
| 5 | 蒸気タービン | 96 | 1 | 63 | 77 | 87 | 90 | 88 | 85 | 85 | 79 | |
| 6 | 薬品供給ブロワ | 95 | 3 | 63 | 76 | 79 | 82 | 82 | 81 | 76 | 68 | |
| 7 | 消石灰貯留槽 | 88 | 1 | 81 | 79 | 75 | 70 | 64 | 71 | 69 | 61 | |
| 8 | 活性炭貯留槽 | 88 | 1 | 63 | 76 | 79 | 82 | 82 | 81 | 76 | 68 | |
| 9 | 純水移送ポンプ | 80 | 2 | 82 | 93 | 96 | 100 | 100 | 96 | 92 | 84 | |
| 10 | 脱気器給水ポンプ | 95 | 2 | 79 | 89 | 95 | 102 | 105 | 105 | 98 | 92 | |
| 11 | ボイラ給水ポンプ | 110 | 3 | 75 | 103 | 106 | 106 | 102 | 102 | 102 | 60 | |
| 12 | 駆動油圧ポンプ | 102 | 2 | 65 | 93 | 96 | 96 | 92 | 92 | 92 | 50 | ○ |
| 13 | $CO_2$分離回収設備 | 91 | 1 | 66 | 79 | 82 | 85 | 85 | 84 | 79 | 73 | |
| 14 | 雑用空気圧縮機 | 95 | 2 | 59 | 68 | 75 | 78 | 79 | 78 | 73 | 73 | |
| 15 | 計装用空気圧縮機 | 85 | 2 | 63 | 77 | 87 | 90 | 88 | 85 | 85 | 79 | |
| 16 | 灰クレーン | 95 | 1 | 78 | 90 | 98 | 101 | 102 | 99 | 91 | 88 | |
| 17 | 環境集じん器ファン | 90 | 1 | 65 | 78 | 81 | 84 | 84 | 83 | 78 | 73 | |
| 18 | 排ガス循環送風機 | 92 | 2 | 71 | 82 | 88 | 89 | 87 | 81 | 72 | 62 | |
| 19 | 二次送風機 | 93 | 2 | 71 | 82 | 88 | 89 | 87 | 81 | 72 | 62 | |
| 20 | 押込送風機 | 93 | 2 | 49 | 59 | 65 | 72 | 75 | 75 | 68 | 62 | |
| 21 | ろ過式集じん機 | 83 | 2 | 49 | 59 | 65 | 72 | 75 | 75 | 68 | 62 | |
| 22 | タービンバイパス装置 | 87 | 1 | 73 | 71 | 70 | 73 | 78 | 83 | 83 | 68 | ○ |
| 23 | 低圧蒸気復水器 | 85 | 1 | 62 | 73 | 76 | 80 | 80 | 76 | 72 | 64 | ○ |
| 24 | 脱臭装置 | 100 | 1 | 86 | 93 | 97 | 107 | 104 | 106 | 103 | 83 | |
| 25 | 飛灰貯留槽 | 88 | 2 | 59 | 76 | 81 | 89 | 87 | 89 | 86 | 86 | |
| 26 | タービン排気復水器 | 83 | 1 | 67 | 71 | 74 | 78 | 79 | 74 | 70 | 62 | ○ |
| 27 | 機器冷却水冷却塔 | 87 | 1 | 62 | 70 | 77 | 81 | 83 | 81 | 75 | 66 | ○ |
| 28 | ごみクレーン | 112 | 2 | 86 | 93 | 97 | 107 | 104 | 106 | 103 | 83 | |
| 29 | 排気ファン | 83 | 12 | 57 | 70 | 73 | 76 | 76 | 75 | 70 | 64 | |

### （２）室内壁面近傍の騒音レベルの算出

計画建物における予測上設定した室定数及び吸音率は表 5－7 に示すとおりである。

**表 5－7　予測上設定した室定数及び吸音率**

**【室定数】**

| 室名称 | 中心周波数(Hz) | | | | | | | |
|---|---|---|---|---|---|---|---|---|
| | 63Hz | 125Hz | 250Hz | 500Hz | 1KHz | 2KHz | 4KHz | 8KHz |
| 炉室 | 740.9 | 740.9 | 495.7 | 431.4 | 388.8 | 389.6 | 507.2 | 507.2 |
| タービン発電機室 | 120.2 | 256.6 | 1208.2 | 2998.5 | 2901.0 | 2118.4 | 2841.3 | 2841.3 |
| IDF 室 | 86.3 | 177.8 | 741.4 | 1515.3 | 1480.2 | 1171.6 | 1470.2 | 1470.2 |
| 薬剤受入貯蔵室 | 9.2 | 9.2 | 18.7 | 18.7 | 18.7 | 18.7 | 28.3 | 28.3 |
| 排水処理室 | 81.0 | 81.0 | 76.9 | 65.5 | 58.7 | 56.4 | 79.8 | 79.8 |
| 灰積出場 | 16.5 | 16.5 | 33.3 | 33.3 | 33.3 | 33.3 | 50.5 | 50.5 |
| 空気圧縮機室 | 47.8 | 86.3 | 294.6 | 504.1 | 613.3 | 412.2 | 493.7 | 493.7 |
| 脱臭装置室 | 34.2 | 34.2 | 31.0 | 26.0 | 23.0 | 22.0 | 30.9 | 30.9 |
| 蒸気復水器ヤード | 1269.3 | 1770.9 | 5370.8 | 13323.5 | 12969.8 | 9416.7 | 12984.1 | 12984.1 |
| ごみピット | 78.1 | 78.1 | 157.8 | 157.8 | 157.8 | 157.8 | 239.2 | 239.2 |

**【吸音率】**

| 名　称 | 中心周波数(Hz) | | | | | | | | 備考 |
|---|---|---|---|---|---|---|---|---|---|
| | 63Hz | 125Hz | 250Hz | 500Hz | 1KHz | 2KHz | 4KHz | 8KHz | |
| コンクリート | 0.01 | 0.01 | 0.02 | 0.02 | 0.02 | 0.02 | 0.03 | 0.03 | ② |
| ALC 100mm | 0.06 | 0.06 | 0.05 | 0.07 | 0.08 | 0.09 | 0.12 | 0.12 | ① |
| グラスウール 50mm | 0.1 | 0.2 | 0.61 | 0.91 | 0.9 | 0.8 | 0.89 | 0.89 | ① |
| シャッター | 0.13 | 0.13 | 0.12 | 0.07 | 0.04 | 0.04 | 0.04 | 0.04 | ② |

出典：①「騒音制御工学ハンドブック」（平成 13 年　技報堂出版）
②「建築の音環境設計（新訂版）」（昭和 55 年４月　日本建築学会設計計画パンフレット４）

### （３）外壁面のパワーレベルの算出

外壁面のパワーレベルは次式より求めた。

$$Lwo = Lwi - TL + 10\log_{10} S$$

$$Lwi = Ls - 10\log_{10} S_0$$

ここで、Ｌwi：室内壁面近傍の単位面積に入射するパワーレベル（デシベル）
Ｌwo：外壁面のパワーレベル（デシベル）
Ｌｓ：室内壁面近傍の騒音レベル（デシベル）
ＴＬ：壁の透過損失（デシベル）
Ｓ　：透過面積（㎡）
$S_0$：単位面積（１㎡）

なお、透過損失は壁面の構造を基に表5－8のとおり設定した。

**表5－8　透過損失**

単位：デシベル

| 名　称 | 中心周波数(Hz) | | | | | | | | 備考 |
|---|---|---|---|---|---|---|---|---|---|
| | 125Hz | 125Hz | 250Hz | 500Hz | 1KHz | 2KHz | 4KHz | 4KHz | |
| コンクリート | 30 | 36 | 47 | 53 | 58 | 64 | 69 | 69 | ① |
| ALC 100mm | 24 | 30 | 31 | 28 | 35 | 44 | 46 | 46 | ① |
| シャッター | 10 | 15 | 20 | 24 | 23 | 23 | 23 | 23 | ② |

出典：①「騒音制御工学ハンドブック」（平成13年　技報堂出版）
②「建築設計資料作成Ⅰ　環境」（昭和53年6月　日本建築学会）

### （4）外部伝搬計算

距離減衰式に、騒音の回折減衰量を減じて算出した。

$$Li = Lwo - 8 - 20\ \log_{10} r - R$$

ここで、　Li　：受音点での騒音レベル(デシベル)
Lwo：外壁面のパワーレベル(デシベル)
r　：音源から受音点までの距離（m）
R　：回折減衰量(デシベル)

$$R = 5 \pm 20\ \log_{10} \frac{\sqrt{2\pi\,|N|}}{\tanh\sqrt{2\pi\,|N|}}$$　（前川チャートに対する近似式）

N：フレネル数（＝2δ／λ）
λ：波長
δ：行路差（＝a＋b－c）

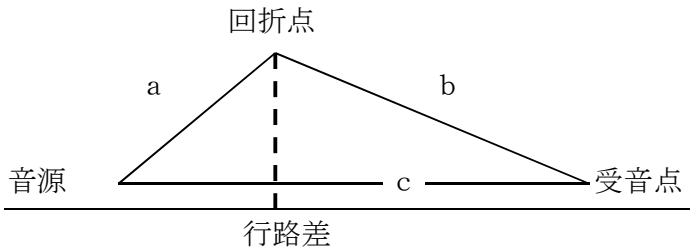


受音点において複数の音源からの寄与がある場合には、次式により合成騒音レベルを求めた。

$$L = 10\ \log_{10}\left[\sum_{i=1}^{n} 10^{\frac{Li}{10}}\right]$$

ここで、　L　：合成騒音レベル(デシベル)
Li：受音点での騒音レベル(デシベル)
n　：音源の個数

# ６　振動関連

# ６　振動関連

## 資料６－１　振動調査結果

調査日及び調査時間帯は表6－1に示すとおりである。

**表 6－1　調査日及び調査時間帯**

| 区分 | 調査日及び調査時間帯 |
|---|---|
| 環境振動 | 令和３年４月26日（月）12時～27日（火）12時（24時間） |
| 道路交通振動<br>地盤卓越振動数 | 令和２年11月24日（火）７時～19時（12時間） |

また、調査地点は、表6－2及び図6－1に示すとおりである。調査地点は、計画地の敷地境界の６地点、工事用車両の走行ルート沿道の４地点とした。

**表 6－2　振動調査地点**

| 区分 | 調査地点 | 備考 |
|---|---|---|
| 環境振動 | 地点１ | 計画地の敷地境界 |
| | 地点２ | |
| | 地点３ | |
| | 地点４ | |
| | 地点５ | |
| | 地点６ | |
| 道路交通振動、<br>地盤卓越振動数 | 地点１ | 市道堤根２号線沿道 |
| | 地点２ | 県道川崎町田線沿道 |
| | 地点３ | 県道川崎町田線沿道 |
| | 地点４ | 市道柳町８号線沿道 |

各地点における環境振動の現地調査結果は表6－3(1)～(6)、図6－2(1)～(6)に、道路交通振動の現地調査結果は表6－4(1)～(4)、図6－3(1)～(4)に示すとおりである。また、各地点における地盤卓越振動数測定結果は表6－5(1)～(4)、図6－4(1)～(4)に示すとおりである。

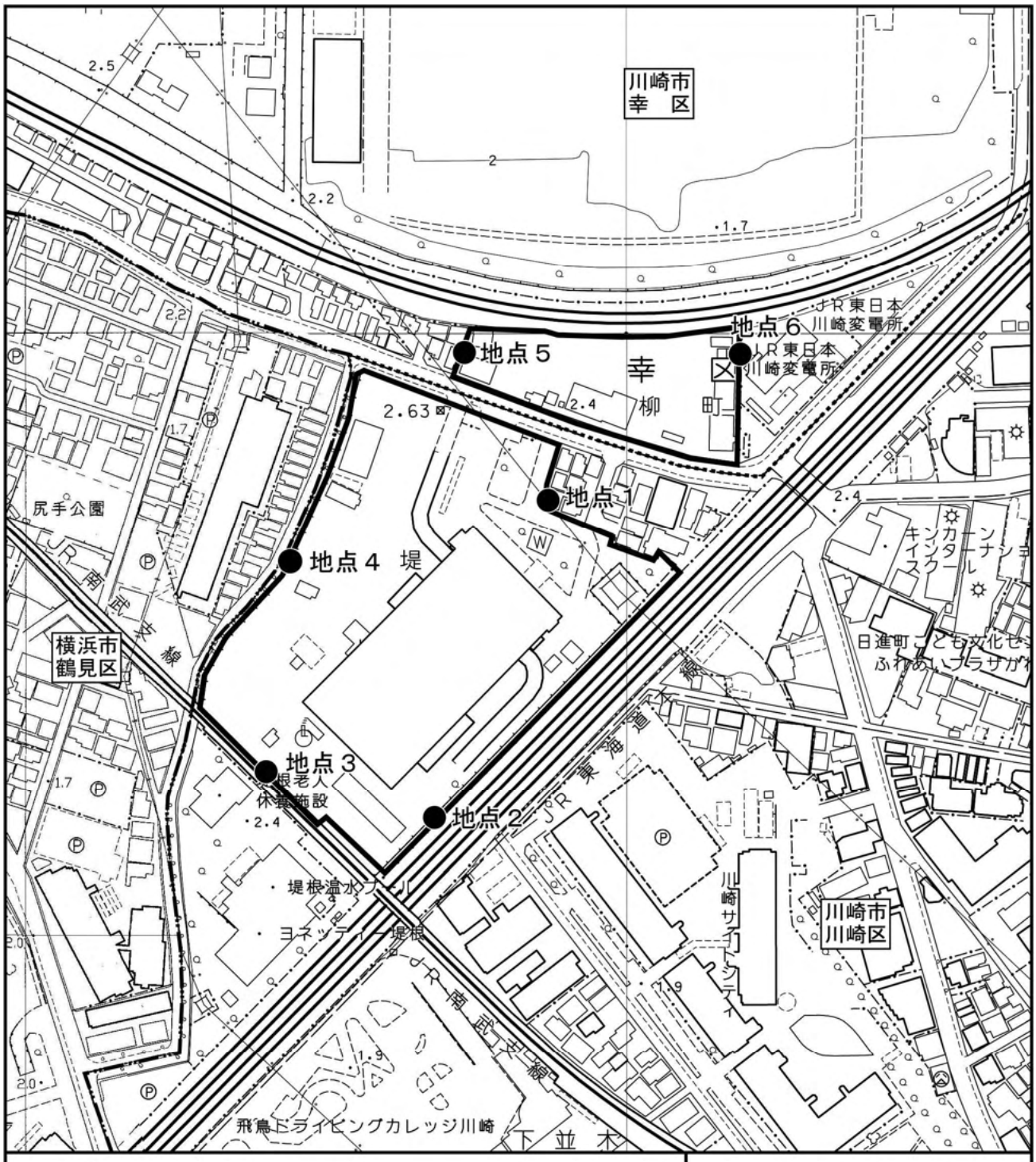


この地図は、「川崎市都市計画基本図（南河原）、（八丁畷）」（川崎市）及び「横浜市都市計画基本図（矢向）、（市場）」（横浜市）を使用したものである。

**図 6－1(1)　環境振動調査地点図**

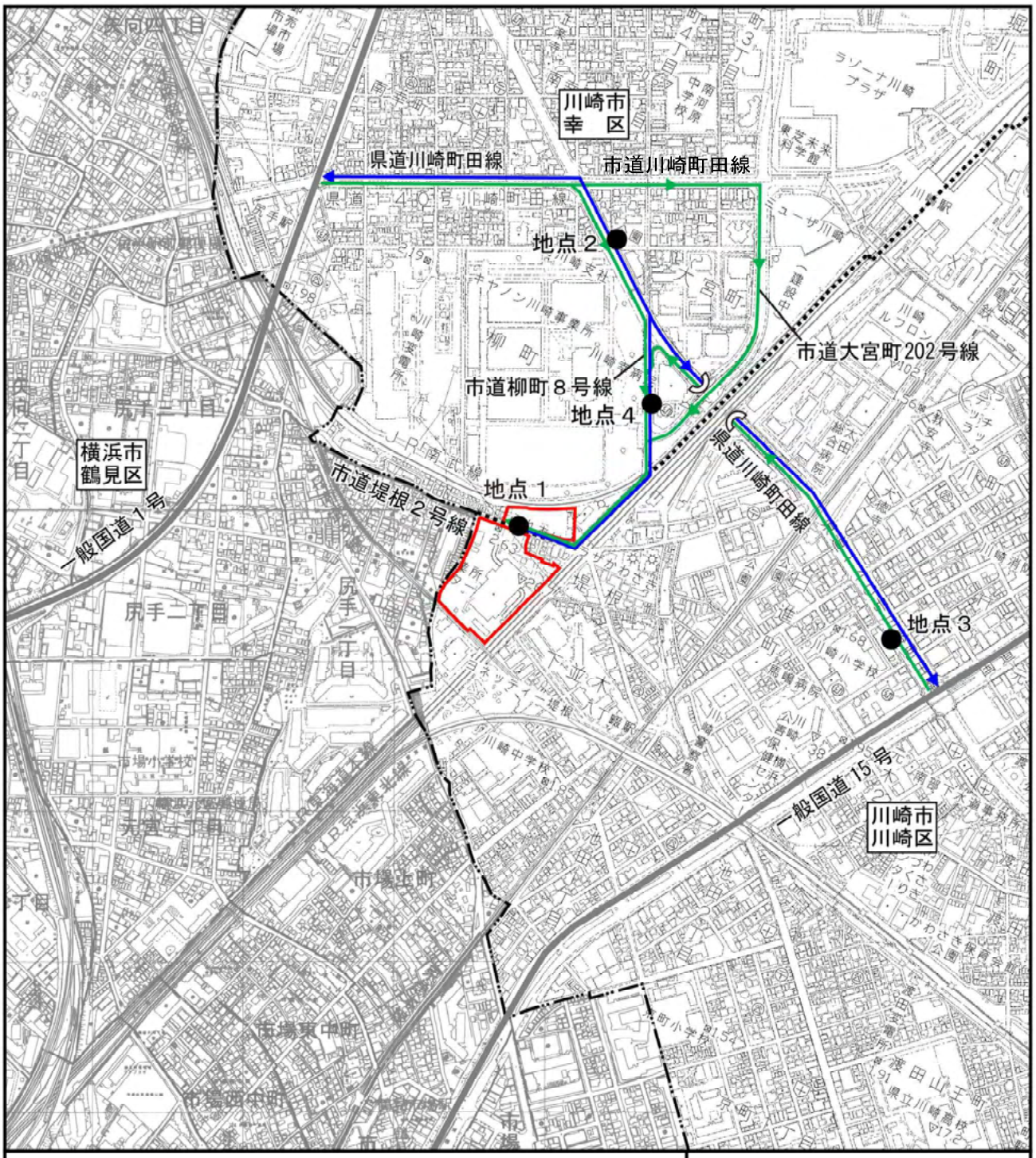


この地図は、「川崎市１：１０，０００地形図（川崎区図）」（川崎市）、「横浜市行政区図（鶴見区図）」（横浜市）を使用したものである。

**図6－1(2)　道路交通振動調査地点図**

## 表6－3(1)　環境振動の現地調査結果

測 定 日：2021年4月26日(月) ～ 2021年4月27日(火)
測定地点：地点1

| 観測時間 | dB | | | | | | |
|---|---|---|---|---|---|---|---|
| | 等価振動レベル | 時間率振動レベル | | | | | |
| | $L_{eq}$ | $L_5$ | $L_{10}$ | $L_{50}$ | $L_{90}$ | $L_{95}$ | $L_{max}$ |
| 12～13 | 39.6 | 46.6 | 43.3 | 32.1 | 28.0 | 27.4 | 53.9 |
| 13～14 | 40.2 | 46.8 | 43.6 | 33.9 | 29.6 | 28.9 | 54.1 |
| 14～15 | 40.6 | 46.7 | 44.3 | 35.6 | 30.1 | 29.0 | 54.4 |
| 15～16 | 39.7 | 46.9 | 43.5 | 32.4 | 28.2 | 27.4 | 53.4 |
| 16～17 | 39.6 | 46.8 | 43.4 | 32.0 | 28.2 | 27.5 | 53.4 |
| 17～18 | 40.6 | 47.9 | 45.3 | 33.5 | 29.0 | 28.2 | 53.6 |
| 18～19 | 40.7 | 48.1 | 45.4 | 32.7 | 28.2 | 27.5 | 53.7 |
| 19～20 | 40.3 | 47.8 | 45.0 | 32.4 | 27.9 | 27.1 | 52.7 |
| 20～21 | 39.7 | 47.2 | 44.2 | 30.8 | 26.5 | 25.9 | 53.6 |
| 21～22 | 39.3 | 46.6 | 43.7 | 29.9 | 26.1 | 25.5 | 53.7 |
| 22～23 | 39.2 | 46.6 | 43.6 | 29.1 | 25.7 | 25.2 | 53.7 |
| 23～00 | 38.9 | 46.4 | 43.5 | 28.6 | 25.1 | 24.6 | 52.7 |
| 00～01 | 35.0 | 41.8 | 34.4 | 26.4 | 24.7 | 24.4 | 51.9 |
| 01～02 | 27.1 | 31.1 | 29.5 | 25.7 | 24.1 | 23.8 | 38.0 |
| 02～03 | 26.6 | 30.1 | 28.6 | 25.5 | 24.1 | 23.9 | 39.9 |
| 03～04 | 27.3 | 31.0 | 29.6 | 25.8 | 24.6 | 24.2 | 39.4 |
| 04～05 | 33.3 | 35.6 | 31.4 | 26.4 | 24.7 | 24.4 | 52.2 |
| 05～06 | 37.8 | 45.5 | 40.1 | 28.7 | 25.6 | 25.2 | 53.1 |
| 06～07 | 40.5 | 48.2 | 45.4 | 31.8 | 27.7 | 27.0 | 53.5 |
| 07～08 | 41.8 | 48.7 | 46.6 | 35.1 | 29.2 | 28.5 | 54.2 |
| 08～09 | 43.0 | 49.5 | 47.8 | 38.1 | 31.0 | 30.1 | 54.0 |
| 09～10 | 42.3 | 48.4 | 46.1 | 38.2 | 31.6 | 30.5 | 54.8 |
| 10～11 | 41.3 | 47.3 | 45.0 | 36.3 | 30.9 | 29.9 | 54.3 |
| 11～12 | 40.7 | 47.2 | 44.4 | 34.4 | 29.9 | 29.1 | 54.9 |
| 全日 | 39.6 | 44.5 | 41.6 | 31.5 | 27.5 | 26.9 | 54.9 |
| 昼間 | 40.9 | 47.5 | 44.7 | 34.5 | 29.5 | 28.7 | 54.9 |
| 夜間 | 38.1 | 42.0 | 38.9 | 28.9 | 25.8 | 25.4 | 54.2 |

(注)
1. 各時間値及び基準時間帯平均等価振動レベルは、有効データのエネルギー平均値である。
2. 各時間値及び基準時間帯平均時間率振動レベルは、有効データの算術平均値である。
3. 時間区分は以下のとおりである。
　時間の区分 昼間:8～19時 夜間:19～8時

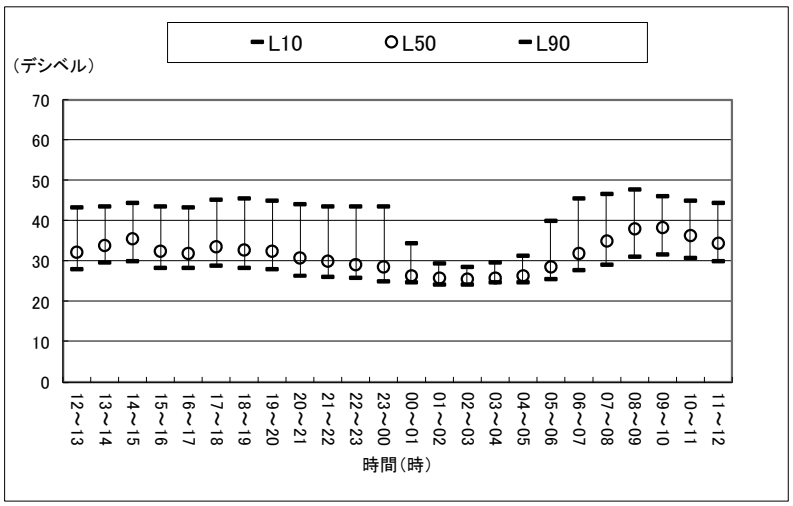


## 図6－2(1)　環境振動レベルの時間変動

# 表6－3(2)　環境振動の現地調査結果

測 定 日：2021年4月26日(月) ～ 2021年4月27日(火)
測定地点：地点2

| 観測時間 | dB | | | | | | |
|---|---|---|---|---|---|---|---|
| | 等価振動レベル | 時間率振動レベル | | | | | |
| | $L_{eq}$ | $L_5$ | $L_{10}$ | $L_{50}$ | $L_{90}$ | $L_{95}$ | $L_{max}$ |
| 12～13 | 30.8 | 37.9 | 34.6 | 23.3 | 21.7 | 21.4 | 46.4 |
| 13～14 | 30.6 | 37.6 | 33.8 | 24.5 | 22.2 | 21.9 | 46.5 |
| 14～15 | 31.1 | 38.5 | 34.6 | 25.1 | 22.3 | 21.9 | 45.7 |
| 15～16 | 30.4 | 37.7 | 34.5 | 23.7 | 21.6 | 21.3 | 45.8 |
| 16～17 | 30.4 | 37.8 | 34.7 | 23.1 | 21.5 | 21.3 | 45.0 |
| 17～18 | 31.9 | 39.4 | 36.5 | 23.7 | 21.7 | 21.4 | 46.0 |
| 18～19 | 32.0 | 40.0 | 37.2 | 23.6 | 21.5 | 21.3 | 45.4 |
| 19～20 | 31.6 | 39.4 | 36.4 | 23.4 | 21.8 | 21.6 | 46.4 |
| 20～21 | 31.3 | 39.4 | 35.8 | 23.4 | 21.9 | 21.7 | 45.0 |
| 21～22 | 31.9 | 39.6 | 36.4 | 23.6 | 21.9 | 21.7 | 46.2 |
| 22～23 | 31.3 | 39.1 | 35.8 | 23.3 | 22.0 | 21.8 | 48.3 |
| 23～00 | 31.0 | 38.4 | 33.4 | 23.0 | 21.8 | 21.6 | 47.0 |
| 00～01 | 27.9 | 30.6 | 26.7 | 22.3 | 21.6 | 21.5 | 45.8 |
| 01～02 | 22.7 | 24.5 | 23.2 | 22.1 | 21.6 | 21.5 | 33.5 |
| 02～03 | 22.4 | 23.3 | 22.9 | 22.2 | 21.8 | 21.6 | 28.7 |
| 03～04 | 24.1 | 27.1 | 23.8 | 22.4 | 21.9 | 21.7 | 40.5 |
| 04～05 | 26.0 | 28.0 | 25.0 | 22.5 | 22.0 | 21.8 | 45.9 |
| 05～06 | 28.6 | 34.0 | 28.8 | 23.1 | 22.3 | 22.1 | 46.1 |
| 06～07 | 30.9 | 38.9 | 33.5 | 24.0 | 22.6 | 22.4 | 46.7 |
| 07～08 | 32.5 | 39.9 | 37.1 | 25.5 | 23.0 | 22.8 | 45.2 |
| 08～09 | 33.0 | 40.1 | 37.9 | 26.2 | 23.2 | 22.9 | 46.9 |
| 09～10 | 32.6 | 39.3 | 36.8 | 27.5 | 23.9 | 23.4 | 45.9 |
| 10～11 | 31.4 | 38.6 | 35.4 | 25.8 | 23.1 | 22.7 | 46.4 |
| 11～12 | 30.9 | 37.5 | 34.7 | 25.4 | 22.9 | 22.5 | 47.1 |
| 全日 | 30.6 | 36.1 | 32.9 | 23.9 | 22.2 | 21.9 | 48.3 |
| 昼間 | 31.5 | 38.6 | 35.5 | 24.7 | 22.3 | 22.0 | 47.1 |
| 夜間 | 29.8 | 34.0 | 30.7 | 23.1 | 22.0 | 21.8 | 48.3 |

(注)
1. 各時間値及び基準時間帯平均等価振動レベルは、有効データのエネルギー平均値である。
2. 各時間値及び基準時間帯平均時間率振動レベルは、有効データの算術平均値である。
3. 時間区分は以下のとおりである。
　時間の区分 昼間:8～19時 夜間:19～8時

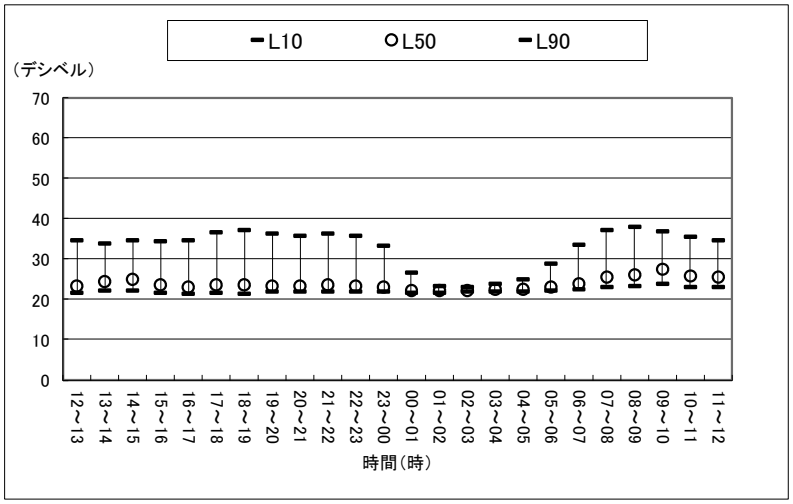


# 図6－2(2)　環境振動レベルの時間変動

# 表6－3(3)　環境振動の現地調査結果

測 定 日：2021年4月26日(月) ～ 2021年4月27日(火)
測定地点：地点3

| 観測時間 | dB | | | | | | |
|---|---|---|---|---|---|---|---|
| | 等価振動レベル | 時間率振動レベル | | | | | |
| | $L_{eq}$ | $L_5$ | $L_{10}$ | $L_{50}$ | $L_{90}$ | $L_{95}$ | $L_{max}$ |
| 12～13 | 39.4 | 34.4 | 31.1 | 23.0 | 20.1 | 19.4 | 62.1 |
| 13～14 | 41.4 | 36.2 | 31.7 | 24.0 | 20.8 | 20.2 | 65.6 |
| 14～15 | 38.6 | 34.0 | 31.7 | 24.8 | 21.7 | 21.0 | 61.0 |
| 15～16 | 39.3 | 33.2 | 30.8 | 23.2 | 20.2 | 19.7 | 63.3 |
| 16～17 | 38.9 | 33.7 | 31.3 | 22.7 | 19.9 | 19.4 | 62.3 |
| 17～18 | 41.5 | 37.5 | 32.3 | 22.5 | 19.8 | 19.4 | 62.0 |
| 18～19 | 36.5 | 34.0 | 31.8 | 22.1 | 19.5 | 19.1 | 61.0 |
| 19～20 | 37.1 | 32.9 | 31.0 | 21.7 | 19.2 | 18.7 | 61.8 |
| 20～21 | 34.0 | 32.1 | 30.2 | 20.9 | 18.5 | 18.0 | 59.5 |
| 21～22 | 40.8 | 37.7 | 31.4 | 20.5 | 18.0 | 17.7 | 60.5 |
| 22～23 | 40.1 | 33.6 | 31.1 | 19.9 | 17.8 | 17.5 | 60.7 |
| 23～00 | 37.7 | 31.5 | 29.6 | 19.5 | 17.5 | 17.1 | 65.8 |
| 00～01 | 32.9 | 29.8 | 25.1 | 18.1 | 17.0 | 16.7 | 57.9 |
| 01～02 | 33.5 | 21.2 | 19.9 | 17.6 | 16.6 | 16.4 | 59.8 |
| 02～03 | 17.7 | 19.4 | 18.7 | 17.4 | 16.5 | 16.3 | 24.8 |
| 03～04 | 37.8 | 25.1 | 21.3 | 17.8 | 16.7 | 16.4 | 64.1 |
| 04～05 | 37.5 | 26.9 | 22.8 | 18.2 | 17.0 | 16.6 | 64.8 |
| 05～06 | 38.5 | 32.2 | 28.8 | 20.1 | 18.1 | 17.8 | 60.2 |
| 06～07 | 35.8 | 32.8 | 30.3 | 21.8 | 19.3 | 18.9 | 59.7 |
| 07～08 | 41.3 | 46.0 | 32.7 | 23.7 | 20.0 | 19.5 | 63.9 |
| 08～09 | 37.1 | 33.9 | 32.3 | 24.9 | 21.1 | 20.5 | 60.0 |
| 09～10 | 39.0 | 37.4 | 33.1 | 26.3 | 22.7 | 21.9 | 61.5 |
| 10～11 | 38.1 | 34.5 | 31.8 | 25.1 | 21.9 | 21.2 | 62.1 |
| 11～12 | 38.4 | 33.4 | 31.3 | 25.0 | 21.6 | 20.9 | 60.8 |
| 全日 | 38.4 | 32.6 | 29.3 | 21.7 | 19.2 | 18.8 | 65.8 |
| 昼間 | 39.2 | 34.7 | 31.7 | 24.0 | 20.8 | 20.2 | 65.6 |
| 夜間 | 37.7 | 30.9 | 27.1 | 19.8 | 17.9 | 17.5 | 65.8 |

(注)
1. 各時間値及び基準時間帯平均等価振動レベルは、有効データのエネルギー平均値である。
2. 各時間値及び基準時間帯平均時間率振動レベルは、有効データの算術平均値である。
3. 時間区分は以下のとおりである。
　時間の区分 昼間:8～19時 夜間:19～8時

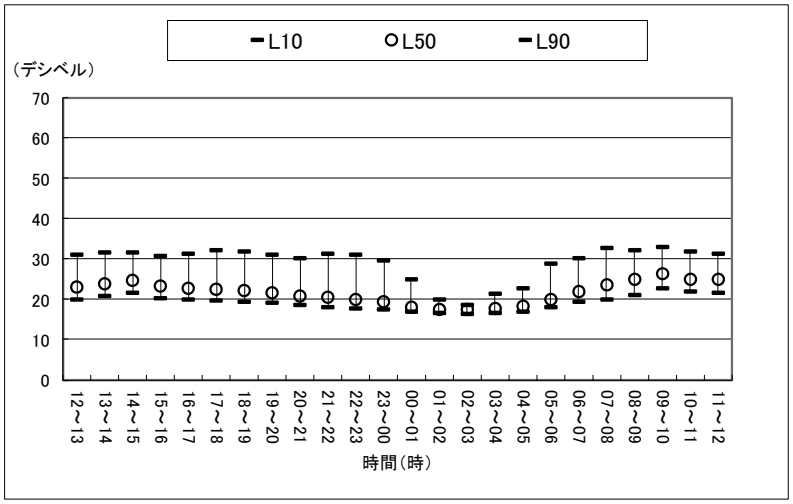


# 図6－2(3)　環境振動レベルの時間変動

## 表6－3(4)　環境振動の現地調査結果

測 定 日：2021年4月26日(月) ～ 2021年4月27日(火)
測定地点：地点4

| 観測時間 | dB | | | | | | |
|---|---|---|---|---|---|---|---|
| | 等価振動レベル | 時間率振動レベル | | | | | |
| | $L_{eq}$ | $L_5$ | $L_{10}$ | $L_{50}$ | $L_{90}$ | $L_{95}$ | $L_{max}$ |
| 12～13 | 35.5 | 42.5 | 37.4 | 30.1 | 26.0 | 25.2 | 49.9 |
| 13～14 | 36.8 | 43.2 | 39.3 | 32.1 | 27.5 | 26.5 | 59.2 |
| 14～15 | 37.9 | 44.3 | 40.7 | 33.5 | 29.0 | 28.0 | 56.8 |
| 15～16 | 36.6 | 43.6 | 38.8 | 30.7 | 26.5 | 25.6 | 54.5 |
| 16～17 | 35.8 | 43.5 | 38.0 | 29.9 | 26.0 | 25.2 | 50.6 |
| 17～18 | 36.7 | 44.5 | 41.1 | 30.5 | 26.5 | 25.7 | 51.8 |
| 18～19 | 36.7 | 44.6 | 41.2 | 30.0 | 25.9 | 25.2 | 51.9 |
| 19～20 | 36.1 | 44.0 | 40.8 | 30.0 | 25.3 | 24.4 | 49.5 |
| 20～21 | 35.5 | 43.4 | 37.4 | 28.3 | 24.3 | 23.6 | 50.2 |
| 21～22 | 34.8 | 42.7 | 36.1 | 28.1 | 23.7 | 23.0 | 49.1 |
| 22～23 | 34.6 | 42.3 | 35.8 | 27.1 | 23.3 | 22.8 | 51.1 |
| 23～00 | 34.3 | 42.2 | 35.5 | 26.2 | 22.7 | 22.2 | 49.7 |
| 00～01 | 30.9 | 34.6 | 31.2 | 23.7 | 22.1 | 21.7 | 49.2 |
| 01～02 | 24.4 | 28.3 | 26.5 | 23.1 | 21.7 | 21.4 | 35.7 |
| 02～03 | 23.8 | 26.6 | 25.2 | 23.0 | 21.8 | 21.5 | 34.1 |
| 03～04 | 25.5 | 29.5 | 27.6 | 23.6 | 22.1 | 21.8 | 41.7 |
| 04～05 | 29.0 | 31.9 | 29.4 | 24.3 | 22.3 | 22.0 | 48.7 |
| 05～06 | 33.7 | 41.6 | 34.6 | 26.9 | 23.6 | 23.1 | 49.1 |
| 06～07 | 36.5 | 44.3 | 41.0 | 29.8 | 25.5 | 24.9 | 57.7 |
| 07～08 | 37.4 | 44.5 | 42.6 | 31.9 | 27.4 | 26.6 | 51.3 |
| 08～09 | 39.1 | 45.4 | 43.9 | 34.3 | 29.0 | 28.0 | 51.5 |
| 09～10 | 38.9 | 45.3 | 42.8 | 35.5 | 30.5 | 29.4 | 54.2 |
| 10～11 | 37.6 | 44.1 | 41.0 | 34.0 | 29.4 | 28.3 | 54.1 |
| 11～12 | 37.0 | 44.2 | 40.0 | 32.1 | 27.8 | 26.8 | 52.9 |
| 全日 | 35.8 | 40.9 | 37.0 | 29.1 | 25.4 | 24.7 | 59.2 |
| 昼間 | 37.3 | 44.1 | 40.4 | 32.1 | 27.6 | 26.7 | 59.2 |
| 夜間 | 33.8 | 38.1 | 34.1 | 26.6 | 23.5 | 23.0 | 57.7 |

(注)
1. 各時間値及び基準時間帯平均等価振動レベルは、有効データのエネルギー平均値である。
2. 各時間値及び基準時間帯平均時間率振動レベルは、有効データの算術平均値である。
3. 時間区分は以下のとおりである。
　時間の区分 昼間:8～19時 夜間:19～8時

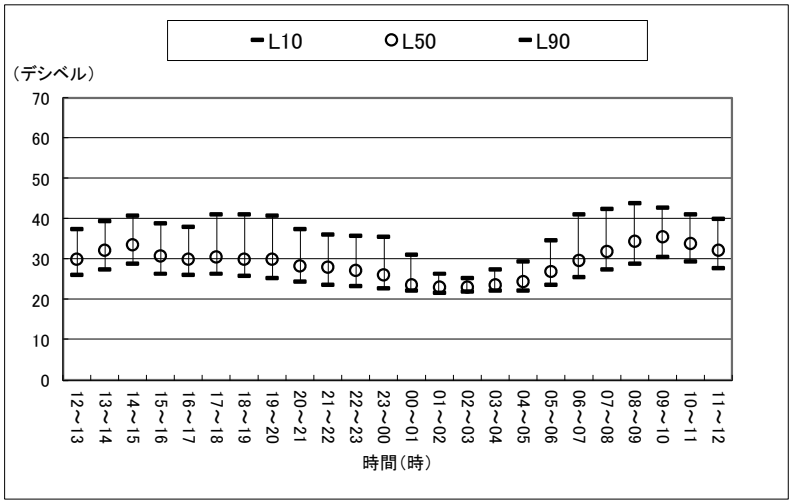


## 図6－2(4)　環境振動レベルの時間変動

## 表6－3(5)　環境振動の現地調査結果

測 定 日：2021年4月26日(月) ～ 2021年4月27日(火)
測定地点：地点5

| 観測時間 | dB | | | | | | |
|---|---|---|---|---|---|---|---|
| | 等価振動レベル | 時間率振動レベル | | | | | |
| | $L_{eq}$ | $L_5$ | $L_{10}$ | $L_{50}$ | $L_{90}$ | $L_{95}$ | $L_{max}$ |
| 12～13 | 44.7 | 50.1 | 41.5 | 31.2 | 26.2 | 25.1 | 61.5 |
| 13～14 | 44.8 | 48.5 | 42.2 | 33.1 | 28.0 | 26.8 | 61.6 |
| 14～15 | 45.1 | 49.6 | 41.8 | 34.2 | 29.0 | 27.8 | 61.1 |
| 15～16 | 45.1 | 49.1 | 41.4 | 32.0 | 26.6 | 25.5 | 62.0 |
| 16～17 | 45.6 | 52.0 | 43.1 | 31.0 | 26.3 | 25.1 | 61.6 |
| 17～18 | 46.6 | 56.0 | 47.0 | 32.1 | 26.9 | 25.9 | 61.3 |
| 18～19 | 46.8 | 55.9 | 47.5 | 30.9 | 25.7 | 24.8 | 61.2 |
| 19～20 | 46.3 | 55.3 | 46.6 | 31.0 | 24.7 | 23.7 | 61.1 |
| 20～21 | 45.9 | 52.2 | 43.5 | 28.9 | 23.4 | 22.4 | 62.8 |
| 21～22 | 45.1 | 50.3 | 41.9 | 28.5 | 22.7 | 21.3 | 61.3 |
| 22～23 | 45.3 | 50.9 | 41.7 | 27.4 | 21.4 | 20.6 | 62.1 |
| 23～00 | 45.0 | 50.1 | 41.5 | 26.2 | 19.6 | 18.6 | 61.5 |
| 00～01 | 40.8 | 40.7 | 33.9 | 21.3 | 18.1 | 17.6 | 59.7 |
| 01～02 | 23.0 | 27.7 | 25.3 | 19.9 | 17.2 | 16.7 | 41.8 |
| 02～03 | 22.0 | 26.3 | 24.6 | 20.2 | 17.2 | 16.6 | 35.9 |
| 03～04 | 24.7 | 30.2 | 28.1 | 21.8 | 18.4 | 17.8 | 40.2 |
| 04～05 | 38.1 | 34.1 | 30.7 | 23.3 | 18.7 | 18.0 | 60.4 |
| 05～06 | 44.3 | 48.5 | 39.7 | 27.7 | 22.2 | 21.1 | 61.0 |
| 06～07 | 46.8 | 56.1 | 48.2 | 31.4 | 26.0 | 24.7 | 61.0 |
| 07～08 | 47.5 | 57.1 | 50.3 | 34.0 | 28.1 | 26.9 | 60.3 |
| 08～09 | 48.9 | 57.7 | 54.7 | 37.0 | 30.4 | 29.1 | 61.3 |
| 09～10 | 46.4 | 54.8 | 46.1 | 36.2 | 30.6 | 29.4 | 60.6 |
| 10～11 | 45.1 | 50.3 | 43.6 | 35.0 | 29.7 | 28.7 | 60.4 |
| 11～12 | 44.8 | 50.0 | 42.6 | 33.9 | 28.7 | 27.5 | 61.4 |
| 全日 | 45.0 | 48.1 | 41.1 | 29.5 | 24.4 | 23.4 | 62.8 |
| 昼間 | 46.0 | 52.2 | 44.7 | 33.3 | 28.0 | 26.9 | 62.0 |
| 夜間 | 44.0 | 44.6 | 38.2 | 26.3 | 21.4 | 20.5 | 62.8 |

(注)
1. 各時間値及び基準時間帯平均等価振動レベルは、有効データのエネルギー平均値である。
2. 各時間値及び基準時間帯平均時間率振動レベルは、有効データの算術平均値である。
3. 時間区分は以下のとおりである。
時間の区分 昼間:8～19時 夜間:19～8時

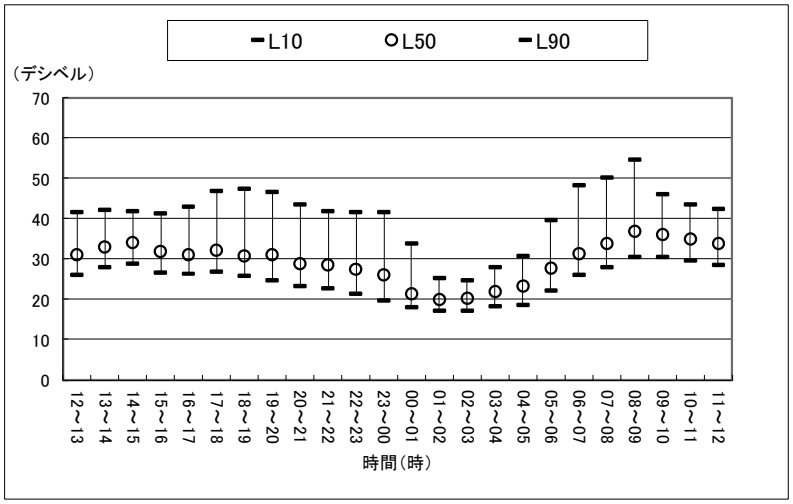


## 図6－2(5)　環境振動レベルの時間変動

## 表6－3(6)　環境振動の現地調査結果

測 定 日：2021年4月26日(月) ～ 2021年4月27日(火)
測定地点：地点6

| 観測時間 | dB | | | | | | |
|---|---|---|---|---|---|---|---|
| | 等価振動レベル | 時間率振動レベル | | | | | |
| | $L_{eq}$ | $L_5$ | $L_{10}$ | $L_{50}$ | $L_{90}$ | $L_{95}$ | $L_{max}$ |
| 12～13 | 48.1 | 53.4 | 46.1 | 31.9 | 27.6 | 26.7 | 64.3 |
| 13～14 | 47.9 | 52.5 | 45.9 | 33.8 | 29.3 | 28.4 | 65.8 |
| 14～15 | 47.9 | 52.1 | 45.9 | 34.7 | 29.7 | 28.5 | 64.2 |
| 15～16 | 47.9 | 52.3 | 45.9 | 32.8 | 27.8 | 26.5 | 64.9 |
| 16～17 | 48.1 | 54.1 | 46.7 | 32.5 | 28.2 | 27.1 | 64.1 |
| 17～18 | 48.9 | 58.1 | 49.4 | 32.7 | 28.5 | 27.7 | 64.4 |
| 18～19 | 48.7 | 57.8 | 49.6 | 32.3 | 27.2 | 26.2 | 63.1 |
| 19～20 | 48.6 | 57.6 | 49.5 | 32.0 | 26.2 | 25.1 | 63.5 |
| 20～21 | 47.9 | 55.9 | 47.5 | 29.7 | 24.1 | 23.1 | 63.4 |
| 21～22 | 47.0 | 52.3 | 46.7 | 29.0 | 23.6 | 22.2 | 62.6 |
| 22～23 | 47.1 | 52.2 | 46.1 | 28.1 | 22.0 | 21.0 | 63.3 |
| 23～00 | 46.7 | 51.9 | 46.3 | 26.8 | 19.8 | 18.6 | 62.9 |
| 00～01 | 43.0 | 45.8 | 36.5 | 21.8 | 18.2 | 17.6 | 62.4 |
| 01～02 | 23.4 | 28.3 | 26.5 | 20.6 | 17.4 | 16.8 | 44.7 |
| 02～03 | 23.2 | 28.2 | 26.2 | 20.8 | 17.4 | 16.7 | 38.1 |
| 03～04 | 25.2 | 30.3 | 28.5 | 22.3 | 18.5 | 17.8 | 40.8 |
| 04～05 | 40.1 | 37.3 | 31.6 | 23.8 | 18.8 | 18.0 | 62.7 |
| 05～06 | 46.1 | 49.5 | 43.8 | 28.4 | 22.4 | 21.1 | 64.0 |
| 06～07 | 48.9 | 57.6 | 49.5 | 31.8 | 26.4 | 25.1 | 64.4 |
| 07～08 | 50.1 | 59.5 | 52.7 | 35.4 | 28.8 | 27.5 | 64.5 |
| 08～09 | 51.7 | 60.4 | 57.2 | 39.7 | 31.5 | 30.5 | 64.9 |
| 09～10 | 49.5 | 58.4 | 49.7 | 37.1 | 31.6 | 30.7 | 64.1 |
| 10～11 | 48.3 | 53.2 | 46.8 | 35.8 | 31.2 | 30.3 | 64.8 |
| 11～12 | 48.0 | 52.9 | 46.1 | 35.0 | 30.4 | 29.3 | 65.6 |
| 全日 | 47.6 | 50.5 | 44.2 | 30.4 | 25.3 | 24.3 | 65.8 |
| 昼間 | 48.8 | 55.0 | 48.1 | 34.4 | 29.4 | 28.4 | 65.8 |
| 夜間 | 46.1 | 46.6 | 40.9 | 27.0 | 21.8 | 20.8 | 64.5 |

(注)
1. 各時間値及び基準時間帯平均等価振動レベルは、有効データのエネルギー平均値である。
2. 各時間値及び基準時間帯平均時間率振動レベルは、有効データの算術平均値である。
3. 時間区分は以下のとおりである。
　時間の区分 昼間:8～19時 夜間:19～8時

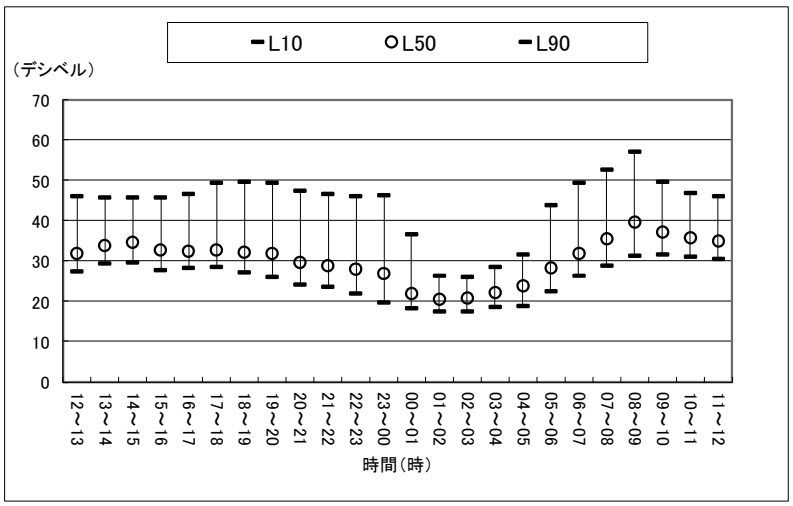


## 図6－2(6)　環境振動の現地調査結果

## 表6－4(1)　道路交通振動の現地調査結果

測 定 日：2020年11月24日(火)
測定地点：地点1

| 観測時間 | dB | | | | | | |
|---|---|---|---|---|---|---|---|
| | 等価振動レベル | 時間率振動レベル | | | | | |
| | $L_{eq}$ | $L_5$ | $L_{10}$ | $L_{50}$ | $L_{90}$ | $L_{95}$ | $L_{max}$ |
| 07～08 | 39.8 | 46.9 | 43.8 | 33.7 | 26.1 | 24.8 | 52.5 |
| 08～09 | 41.0 | 48.2 | 45.8 | 34.1 | 27.4 | 26.4 | 58.3 |
| 09～10 | 41.0 | 47.8 | 44.4 | 35.4 | 30.0 | 28.8 | 59.5 |
| 10～11 | 40.4 | 47.2 | 43.9 | 34.7 | 29.1 | 28.0 | 58.3 |
| 11～12 | 38.3 | 44.9 | 40.8 | 32.7 | 27.9 | 26.8 | 55.1 |
| 12～13 | 37.4 | 44.1 | 39.5 | 30.3 | 24.6 | 23.7 | 53.4 |
| 13～14 | 38.2 | 44.5 | 40.5 | 31.9 | 26.9 | 25.9 | 56.8 |
| 14～15 | 39.4 | 46.1 | 42.3 | 33.5 | 28.4 | 27.3 | 55.2 |
| 15～16 | 38.1 | 44.9 | 40.6 | 31.7 | 26.5 | 25.5 | 55.7 |
| 16～17 | 38.2 | 45.2 | 40.8 | 31.5 | 25.9 | 25.0 | 55.6 |
| 17～18 | 38.6 | 46.2 | 41.9 | 32.7 | 25.0 | 23.8 | 53.4 |
| 18～19 | 38.7 | 46.3 | 41.6 | 32.8 | 24.9 | 23.6 | 53.7 |
| 全日 | 36.2 | 46.0 | 42.2 | 32.9 | 26.9 | 25.8 | 59.5 |
| 昼間 | 39.2 | 45.9 | 42.0 | 32.8 | 27.0 | 25.9 | 59.5 |
| 夜間 | 28.7 | 46.9 | 43.8 | 33.7 | 26.1 | 24.8 | 52.5 |

(注)
1. 各時間値及び基準時間帯平均等価振動レベルは、有効データのエネルギー平均値である。
2. 各時間値及び基準時間帯平均時間率振動レベルは、有効データの算術平均値である。
3. 時間区分は以下のとおりである。
　時間の区分 昼間:8～19時 夜間:19～8時

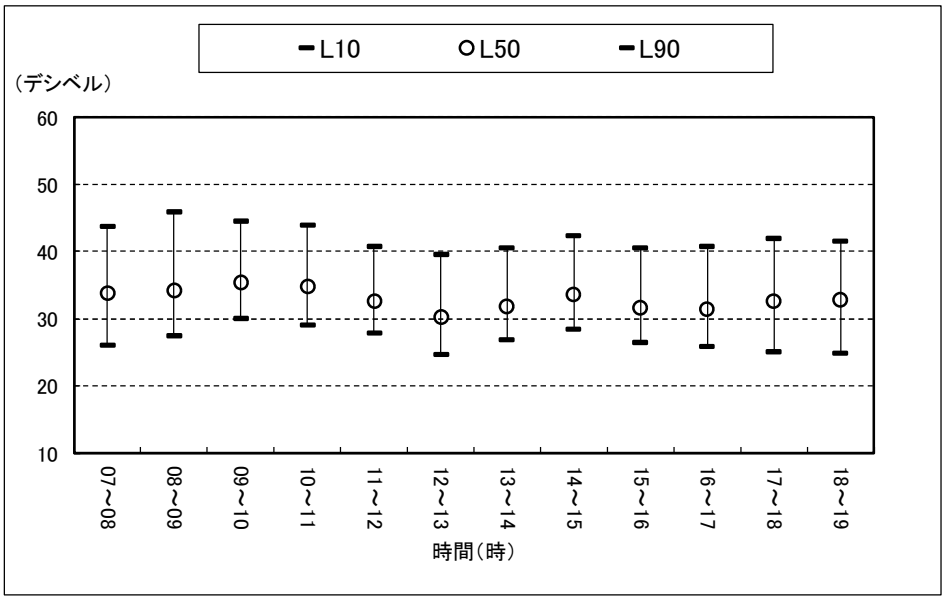


図6－3(1)　道路交通振動レベルの時間変動

## 表6－4(2)　道路交通振動の現地調査結果

測 定 日：2020年11月24日(火)
測定地点：地点2

| 観測時間 | dB | | | | | | |
|---|---|---|---|---|---|---|---|
| | 等価振動レベル | 時間率振動レベル | | | | | |
| | $L_{eq}$ | $L_5$ | $L_{10}$ | $L_{50}$ | $L_{90}$ | $L_{95}$ | $L_{max}$ |
| 07～08 | 42.0 | 47.7 | 45.6 | 38.5 | 31.6 | 30.4 | 58.2 |
| 08～09 | 41.7 | 47.1 | 45.0 | 38.4 | 32.3 | 31.2 | 56.1 |
| 09～10 | 42.7 | 48.0 | 46.3 | 39.9 | 33.5 | 32.3 | 55.6 |
| 10～11 | 42.8 | 47.9 | 46.3 | 39.8 | 34.2 | 33.1 | 57.9 |
| 11～12 | 42.8 | 48.3 | 46.6 | 39.5 | 32.9 | 32.0 | 56.1 |
| 12～13 | 41.6 | 47.5 | 45.7 | 37.7 | 31.3 | 29.8 | 54.9 |
| 13～14 | 42.1 | 47.9 | 45.7 | 38.7 | 32.1 | 30.6 | 55.3 |
| 14～15 | 43.0 | 48.8 | 46.8 | 39.1 | 32.5 | 31.1 | 57.8 |
| 15～16 | 41.5 | 46.6 | 44.9 | 38.3 | 32.0 | 30.9 | 55.9 |
| 16～17 | 39.8 | 44.8 | 42.8 | 36.7 | 31.2 | 29.9 | 57.1 |
| 17～18 | 38.2 | 42.9 | 40.6 | 34.8 | 30.4 | 29.3 | 57.1 |
| 18～19 | 36.5 | 41.2 | 39.0 | 33.7 | 29.4 | 28.4 | 52.5 |
| 全日 | 38.6 | 46.6 | 44.6 | 37.9 | 32.0 | 30.8 | 58.2 |
| 昼間 | 41.5 | 46.5 | 44.5 | 37.9 | 32.0 | 30.8 | 57.9 |
| 夜間 | 30.9 | 47.7 | 45.6 | 38.5 | 31.6 | 30.4 | 58.2 |

(注)
1. 各時間値及び基準時間帯平均等価振動レベルは、有効データのエネルギー平均値である。
2. 各時間値及び基準時間帯平均時間率振動レベルは、有効データの算術平均値である。
3. 時間区分は以下のとおりである。
　時間の区分 昼間:8～19時 夜間:19～8時

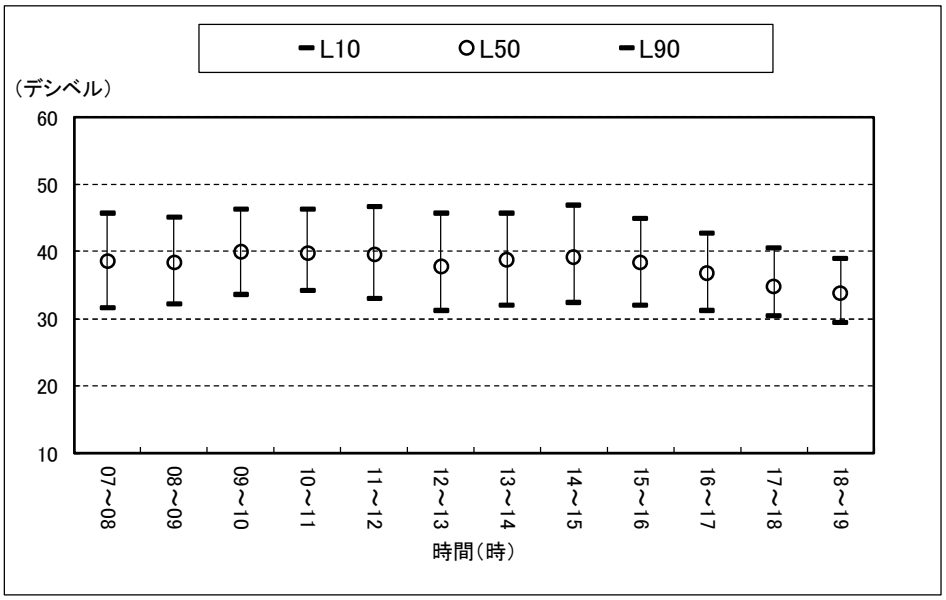


## 図6－3(2)　道路交通振動レベルの時間変動

## 表6－4(3)　道路交通振動の現地調査結果

測 定 日：2020年11月24日(火)
測定地点：地点3

| 観測時間 | dB | | | | | | |
|---|---|---|---|---|---|---|---|
| | 等価振動レベル | 時間率振動レベル | | | | | |
| | $L_{eq}$ | $L_5$ | $L_{10}$ | $L_{50}$ | $L_{90}$ | $L_{95}$ | $L_{max}$ |
| 07～08 | 40.0 | 45.6 | 44.0 | 36.9 | 30.0 | 29.1 | 53.7 |
| 08～09 | 39.4 | 44.5 | 42.9 | 36.9 | 30.6 | 29.6 | 55.4 |
| 09～10 | 39.5 | 44.6 | 43.3 | 37.1 | 30.7 | 29.6 | 53.6 |
| 10～11 | 39.7 | 45.0 | 43.4 | 36.5 | 30.1 | 29.0 | 57.7 |
| 11～12 | 39.9 | 45.6 | 43.6 | 36.3 | 30.0 | 29.0 | 54.7 |
| 12～13 | 39.7 | 45.8 | 43.4 | 35.1 | 29.0 | 27.9 | 55.4 |
| 13～14 | 39.8 | 45.4 | 43.4 | 36.2 | 29.9 | 28.7 | 56.1 |
| 14～15 | 40.6 | 46.1 | 44.2 | 36.4 | 30.1 | 29.1 | 56.6 |
| 15～16 | 39.7 | 45.6 | 43.5 | 35.3 | 29.6 | 28.5 | 57.9 |
| 16～17 | 37.1 | 42.4 | 40.4 | 34.4 | 29.4 | 28.3 | 52.4 |
| 17～18 | 37.0 | 42.1 | 39.7 | 34.0 | 28.3 | 27.4 | 57.1 |
| 18～19 | 36.3 | 41.8 | 39.5 | 33.4 | 28.0 | 26.7 | 51.7 |
| 全日 | 36.2 | 44.5 | 42.6 | 35.7 | 29.6 | 28.6 | 57.9 |
| 昼間 | 39.2 | 44.4 | 42.5 | 35.6 | 29.6 | 28.5 | 57.9 |
| 夜間 | 28.9 | 45.6 | 44.0 | 36.9 | 30.0 | 29.1 | 53.7 |

(注)
1. 各時間値及び基準時間帯平均等価振動レベルは、有効データのエネルギー平均値である。
2. 各時間値及び基準時間帯平均時間率振動レベルは、有効データの算術平均値である。
3. 時間区分は以下のとおりである。
　時間の区分 昼間:8～19時 夜間:19～8時

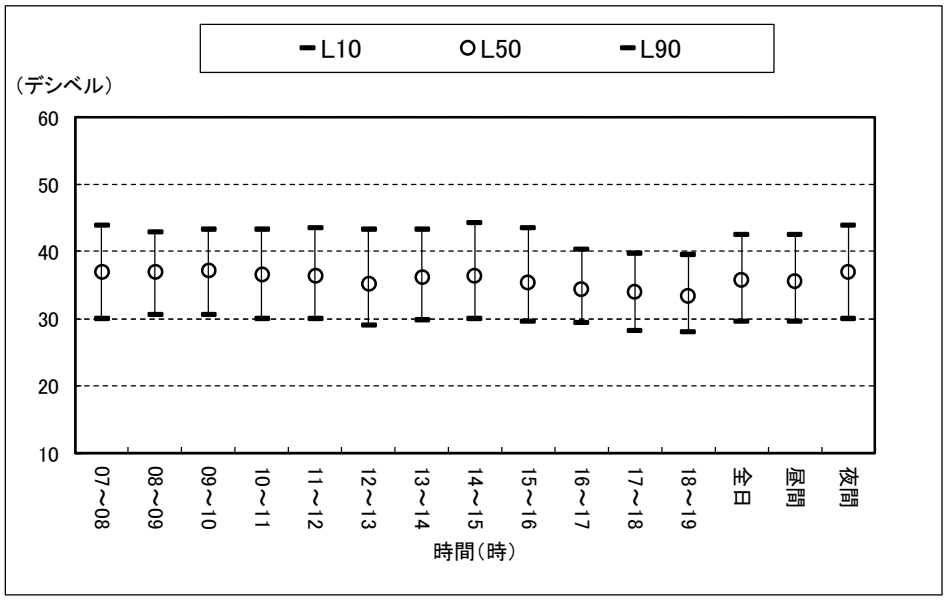


図6－3(3)　道路交通振動レベルの時間変動

## 表6－4(4)　道路交通振動の現地調査結果

測 定 日：2020年11月24日(火)
測定地点：地点4

| 観測時間 | dB | | | | | | |
|---|---|---|---|---|---|---|---|
| | 等価振動レベル | 時間率振動レベル | | | | | |
| | $L_{eq}$ | $L_5$ | $L_{10}$ | $L_{50}$ | $L_{90}$ | $L_{95}$ | $L_{max}$ |
| 07～08 | 38.4 | 43.4 | 42.1 | 36.1 | 29.2 | 27.7 | 49.8 |
| 08～09 | 39.0 | 43.7 | 42.5 | 36.9 | 31.1 | 29.9 | 49.9 |
| 09～10 | 39.2 | 44.0 | 42.7 | 37.2 | 31.7 | 30.5 | 51.9 |
| 10～11 | 38.7 | 43.7 | 42.1 | 36.2 | 30.8 | 29.7 | 50.8 |
| 11～12 | 38.7 | 43.7 | 42.0 | 36.4 | 30.6 | 29.2 | 49.8 |
| 12～13 | 37.5 | 42.7 | 41.2 | 35.0 | 27.7 | 26.1 | 49.5 |
| 13～14 | 37.5 | 42.7 | 41.5 | 34.9 | 28.8 | 27.2 | 48.8 |
| 14～15 | 38.6 | 43.3 | 42.0 | 36.7 | 31.1 | 29.9 | 49.5 |
| 15～16 | 37.7 | 42.5 | 41.0 | 35.5 | 28.7 | 27.5 | 50.5 |
| 16～17 | 36.8 | 42.0 | 40.1 | 34.2 | 29.0 | 27.9 | 50.6 |
| 17～18 | 36.1 | 41.7 | 40.2 | 32.5 | 27.6 | 26.5 | 51.0 |
| 18～19 | 35.6 | 41.0 | 39.4 | 32.4 | 27.0 | 25.8 | 51.2 |
| 全日 | 34.9 | 42.9 | 41.4 | 35.3 | 29.4 | 28.2 | 51.9 |
| 昼間 | 37.9 | 42.8 | 41.3 | 35.3 | 29.5 | 28.2 | 51.9 |
| 夜間 | 27.3 | 43.4 | 42.1 | 36.1 | 29.2 | 27.7 | 49.8 |

(注)
1. 各時間値及び基準時間帯平均等価振動レベルは、有効データのエネルギー平均値である。
2. 各時間値及び基準時間帯平均時間率振動レベルは、有効データの算術平均値である。
3. 時間区分は以下のとおりである。
　時間の区分 昼間:8～19時 夜間:19～8時

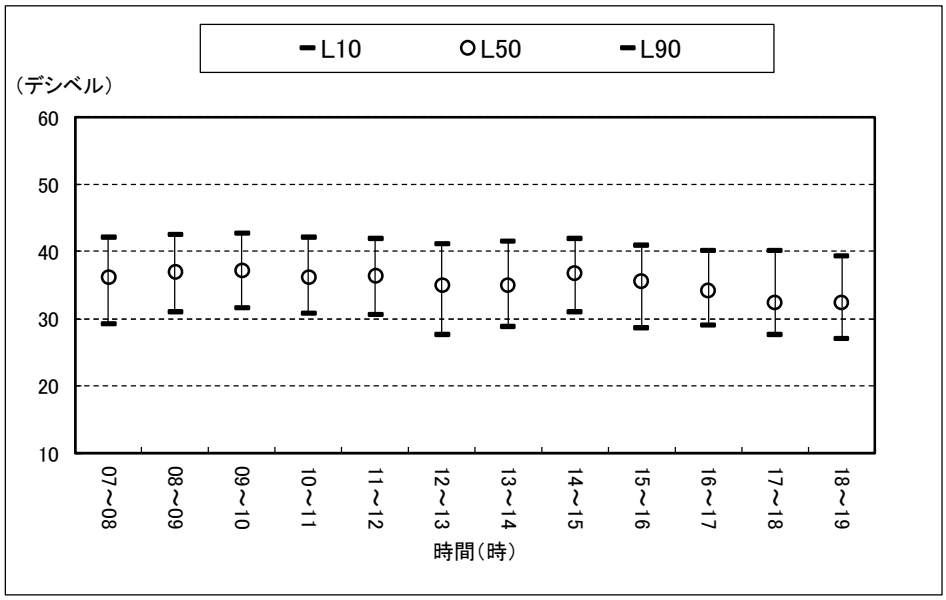


図6－3(4)　道路交通振動レベルの時間変動

## 表6－5(1)　地盤卓越振動数測定結果

測定地点:　地点1

測 定 日 :　令和2年11月24日(火)～11月25日(水)

| 中心周波数 (Hz) | 振動加速度レベル(dB) | | | | | | | | | | 最大値の個数 |
|---|---|---|---|---|---|---|---|---|---|---|---|
| | 1 | 2 | 3 | 4 | 5 | 6 | 7 | 8 | 9 | 10 | |
| AP | 53.9 | 58.7 | 59.2 | 64.6 | 57.9 | 55.4 | 55.4 | 59.9 | 54 | 55.6 | |
| 1 | | | | | | | | | | | |
| 1.25 | | | | | | | | | | | |
| 1.6 | | | | | | | | | | | |
| 2 | | | | | | | | | | | |
| 2.5 | | | | | | | | | | | |
| 3.15 | | | | | | 30.7 | | | 30.3 | | |
| 4 | | 31.6 | | | | 36.4 | | | | | |
| 5 | | | | | | | 32 | | | | |
| 6.3 | | | | | | | | | | | |
| 8 | | | | | 34.8 | 35 | | | | | |
| 10 | | | 30.3 | 38.3 | 41.9 | 34.7 | | 34.7 | 31.7 | | |
| 12.5 | 31.1 | 34.3 | 46.7 | 51.8 | 41.4 | 46.6 | 40 | 48.7 | 40.7 | 38.5 | |
| 16 | 42.5 | 52.2 | 54.6 | 58.5 | 50.4 | 49 | 50 | 53.9 | 50.5 | 50 | 4 |
| 20 | 49 | 50.6 | 55 | 54.1 | 53.7 | 51.7 | 52.7 | 49.5 | 49.5 | 52.1 | 6 |
| 25 | 45 | 49.2 | 48.8 | 54 | 48 | 40.9 | 43 | 50 | 40 | 44.4 | |
| 31.5 | 43.8 | 48.3 | 41.6 | 50.1 | 48.2 | 38.8 | 33.1 | 52.1 | 35.4 | 44.7 | |
| 40 | 46.4 | 51.9 | 42.4 | 51.6 | 48.7 | 39.5 | 33.9 | 47.9 | 34.4 | 43.8 | |
| 50 | 45.1 | 47.4 | 46.6 | 52.1 | 47 | 42.5 | 40.6 | 46.6 | 40.2 | 40.8 | |
| 63 | 43.5 | 45 | 44.8 | 53.5 | 44.8 | 45.7 | 38.4 | 46.3 | 40.1 | 41.8 | |
| 80 | 39.1 | 40.8 | 41.3 | 45.7 | 40.3 | 40.5 | 32.4 | 40.4 | 34.1 | 34.8 | |

| 地盤卓越振動数 (Hz) | | |
|---|---|---|
| | 最大値が最も多い中心周波数 | 20.0　Hz |
| | 最大値を示す中心周波数の平均値 | 18.4　Hz |

注) ▭ は最大値、空欄は30dB未満

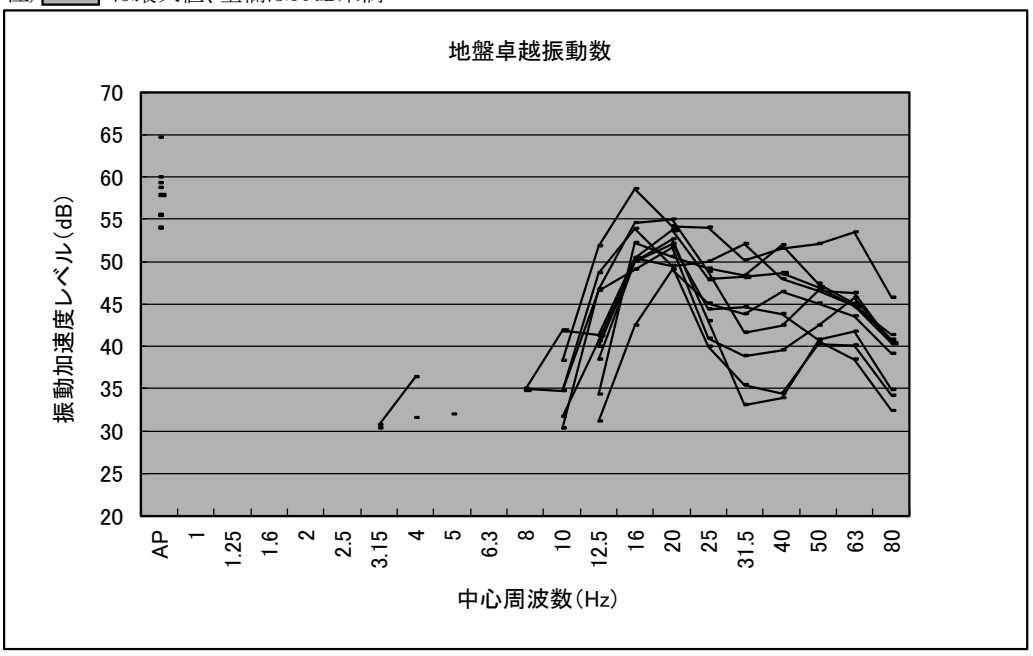


## 図6－4(1)　地盤卓越振動数測定結果

## 表6－5(2)　地盤卓越振動数測定結果

測定地点:　地点2

測 定 日 :　令和2年11月24日(火)～11月25日(水)

| 中心周波数 (Hz) | 振動加速度レベル(dB) | | | | | | | | | | 最大値の個数 |
|---|---|---|---|---|---|---|---|---|---|---|---|
| | 1 | 2 | 3 | 4 | 5 | 6 | 7 | 8 | 9 | 10 | |
| AP | 62.8 | 61.7 | 62.0 | 62.6 | 59.3 | 61.7 | 60.9 | 63.0 | 64.1 | 63.0 | |
| 1 | | | | | | | | | | | |
| 1.25 | | | | | | | | | | | |
| 1.6 | | | | | | | | | | | |
| 2 | | | | | | | | | | | |
| 2.5 | 34.0 | | | 31.3 | | | | | | | |
| 3.15 | 36.4 | 34.9 | 34.2 | 33.7 | | | 33.1 | 32.3 | 32.8 | 33.9 | |
| 4 | | 37.6 | 44.3 | 48.3 | | | 36.6 | 31.4 | 32.9 | 32.9 | |
| 5 | 35.1 | 38.1 | 48.9 | 37.4 | | 31.8 | 36.2 | 34.3 | 34.9 | 38.6 | |
| 6.3 | 30.8 | 32.3 | 40.2 | 37.2 | | 32.7 | 32.7 | 36.9 | 37.7 | 35.7 | |
| 8 | 41.8 | 44.6 | 46.2 | 41.6 | 35.0 | 44.9 | 39.1 | 44.7 | 46.5 | 44.3 | |
| 10 | 46.2 | 44.5 | 44.4 | 42.4 | 37.2 | 44.6 | 35.1 | 46.0 | 53.2 | 44.8 | |
| 12.5 | 55.9 | 44.9 | 47.4 | 51.9 | 42.6 | 50.5 | 45.0 | 52.5 | 56.1 | 48.8 | |
| 16 | 59.2 | 51.8 | 54.4 | 56.6 | 57.5 | 57.0 | 55.2 | 59.2 | 58.3 | 58.2 | 7 |
| 20 | 53.5 | 57.0 | 56.3 | 55.3 | 51.2 | 52.2 | 56.0 | 51.1 | 55.0 | 55.0 | 3 |
| 25 | 45.6 | 51.7 | 48.6 | 50.2 | 43.3 | 51.1 | 48.1 | 51.8 | 51.9 | 52.8 | |
| 31.5 | 45.4 | 52.2 | 55.0 | 51.6 | 42.9 | 48.6 | 50.8 | 50.4 | 52.8 | 49.6 | |
| 40 | 44.5 | 50.8 | 46.3 | 46.1 | 42.6 | 48.9 | 47.5 | 49.2 | 51.6 | 46.8 | |
| 50 | 46.4 | 48.4 | 46.2 | 46.6 | 38.5 | 50.6 | 48.2 | 48.4 | 50.5 | 50.7 | |
| 63 | 47.3 | 46.2 | 44.2 | 46.4 | 41.0 | 44.4 | 44.9 | 49.4 | 47.6 | 47.9 | |
| 80 | 52.6 | 52.3 | 51.0 | 55.6 | 47.4 | 53.1 | 50.7 | 54.1 | 53.6 | 55.8 | |

| 地盤卓越振動数 (Hz) | | |
|---|---|---|
| | 最大値が最も多い中心周波数 | 16.0　Hz |
| | 最大値を示す中心周波数の平均値 | 17.2　Hz |

注) ▭ は最大値、空欄は30dB未満

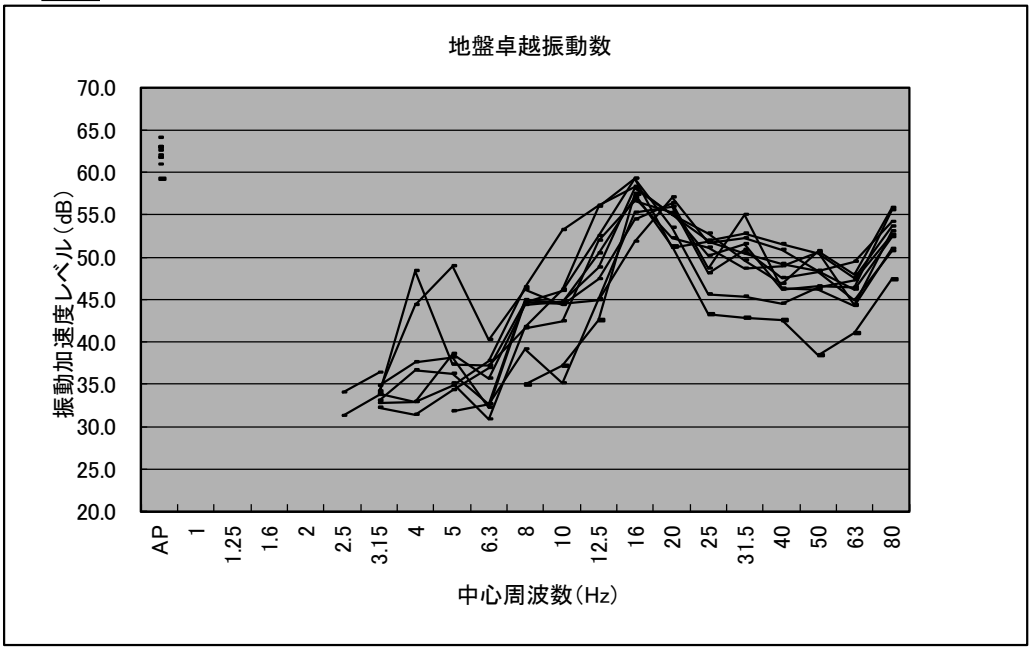


## 図6－4(2)　地盤卓越振動数測定結果

## 表6－5(3)　地盤卓越振動数測定結果

測定地点:　地点3

測 定 日 :　令和2年11月24日(火)～11月25日(水)

| 中心周波数 (Hz) | 振動加速度レベル(dB) | | | | | | | | | | 最大値の個数 |
|---|---|---|---|---|---|---|---|---|---|---|---|
| | 1 | 2 | 3 | 4 | 5 | 6 | 7 | 8 | 9 | 10 | |
| AP | 71.9 | 71.1 | 72.2 | 70.3 | 72.0 | 71.0 | 72.0 | 70.8 | 71.2 | 69.0 | |
| 1 | | | | | | | | | | | |
| 1.25 | | | | | | | | | | | |
| 1.6 | | | | | | | | | | | |
| 2 | 37.2 | 31.1 | | | | | | | | | |
| 2.5 | 46.7 | 41.0 | 30.1 | | 30.9 | | | 30.6 | 30.8 | | |
| 3.15 | 46.3 | 46.6 | 32.9 | 40.5 | 36.5 | 33.7 | | | 39.1 | 38.4 | |
| 4 | 35.2 | 40.0 | 33.2 | 34.1 | 40.7 | 37.5 | 31.2 | | 42.9 | 35.0 | |
| 5 | 36.0 | 33.8 | | 34.0 | 36.0 | 35.8 | 32.5 | 32.2 | 39.1 | 32.1 | |
| 6.3 | 42.4 | 38.9 | 32.8 | 38.8 | 38.0 | 33.9 | 37.0 | 37.5 | 39.5 | 39.4 | |
| 8 | 48.6 | 45.9 | 41.5 | 42.2 | 48.9 | 52.4 | 49.8 | 46.2 | 46.9 | 42.5 | |
| 10 | 54.3 | 54.9 | 48.9 | 52.2 | 58.2 | 59.8 | 53.9 | 54.5 | 56.5 | 48.9 | |
| 12.5 | 67.8 | 62.6 | 62.2 | 59.7 | 68.0 | 61.6 | 68.0 | 67.9 | 61.3 | 56.5 | 4 |
| 16 | 66.3 | 67.4 | 67.4 | 67.0 | 66.5 | 67.3 | 63.2 | 59.7 | 67.2 | 66.6 | 6 |
| 20 | 63.6 | 62.3 | 65.6 | 64.1 | 63.4 | 64.6 | 66.6 | 64.2 | 64.3 | 60.1 | |
| 25 | 61.0 | 63.2 | 66.0 | 61.2 | 61.6 | 58.3 | 62.5 | 62.2 | 63.5 | 61.6 | |
| 31.5 | 60.0 | 59.6 | 59.2 | 56.8 | 56.2 | 59.6 | 58.9 | 55.3 | 59.8 | 54.7 | |
| 40 | 51.0 | 55.1 | 57.7 | 52.2 | 49.0 | 46.9 | 50.1 | 48.1 | 50.8 | 47.7 | |
| 50 | 43.3 | 46.9 | 51.7 | 48.0 | 38.2 | 41.7 | 42.6 | 40.2 | 44.6 | 37.8 | |
| 63 | 38.7 | 38.8 | 45.1 | 43.0 | 34.9 | 38.4 | 35.7 | 33.3 | 36.0 | 34.6 | |
| 80 | 34.7 | 33.8 | 43.3 | 40.6 | 30.6 | 31.7 | 32.3 | | 30.3 | 31.6 | |
| 地盤卓越振動数 (Hz) | 最大値が最も多い中心周波数 | | | | | 16.0　Hz | | | | | |
| | 最大値を示す中心周波数の平均値 | | | | | 14.6　Hz | | | | | |

注) ■ は最大値、空欄は30dB未満

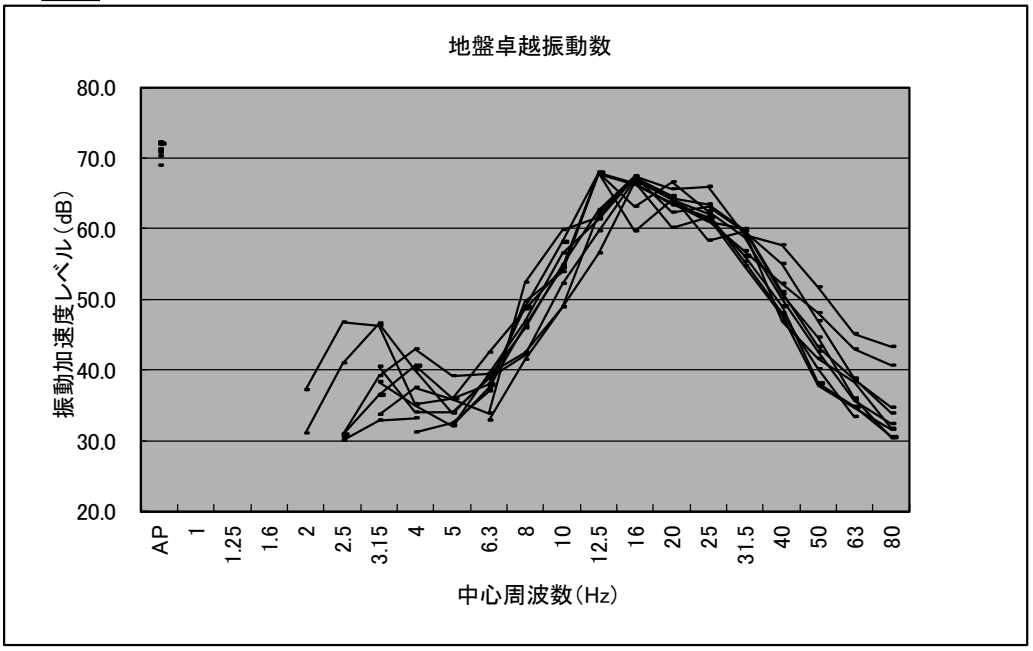


## 図6－4(3)　地盤卓越振動数測定結果

## 表6－5(4)　地盤卓越振動数測定結果

測定地点:　地点4

測 定 日 :　令和2年11月24日(火)～11月25日(水)

| 中心周波数 (Hz) | 振動加速度レベル(dB) | | | | | | | | | | 最大値の個数 |
|---|---|---|---|---|---|---|---|---|---|---|---|
| | 1 | 2 | 3 | 4 | 5 | 6 | 7 | 8 | 9 | 10 | |
| AP | 46.7 | 53.2 | 48.5 | 52 | 52.5 | 50.5 | 52.2 | 53.6 | 55.4 | 48.7 | |
| 1 | | | | | | | | | | | |
| 1.25 | | | | | | | | | | | |
| 1.6 | | | | | | | | | | | |
| 2 | | | | | | | | | | | |
| 2.5 | | | | | | | | | | | |
| 3.15 | | | | 31.5 | | | | | | | |
| 4 | 31.1 | 30.1 | 35.8 | 33.9 | 31.6 | | | | | | |
| 5 | | | 30.2 | | | | | | | 30.3 | |
| 6.3 | | 34.4 | | | | | | | 31.4 | 31 | |
| 8 | 32.4 | 35.9 | 31.9 | 30.8 | 32.7 | 30.7 | | 33.6 | 33.7 | 31.1 | |
| 10 | 35.4 | 41.7 | 30.9 | 32.3 | 36.7 | 38 | 37.5 | 35 | 40.1 | 32.8 | |
| 12.5 | 37.7 | 44.1 | 37.7 | 35.9 | 38.5 | 38.9 | 41.3 | 43.6 | 46.8 | 38.5 | |
| 16 | 44.7 | 47.1 | 43.9 | 43.3 | 40.8 | 42 | 45 | 45.2 | 52.5 | 40.2 | 7 |
| 20 | 38 | 42.8 | 42.4 | 49.4 | 43.7 | 40.5 | 44.6 | 43.9 | 47.1 | 43.8 | 3 |
| 25 | 33.9 | 44.2 | 38.1 | 45.3 | 40.2 | 35.9 | 40.5 | 44.2 | 43.3 | 38.9 | |
| 31.5 | 32.5 | 43.5 | 31.9 | 40.3 | 37.3 | 40 | 35.4 | 40.7 | 40.1 | 33.6 | |
| 40 | 30.8 | 37.8 | 36 | 38.1 | 31.9 | 38.5 | 31.7 | 40.2 | 37.5 | 35.6 | |
| 50 | 30.2 | 34.5 | 32.1 | 35.4 | 33.7 | 37.7 | 29.7 | 38.1 | 34.4 | 32.6 | |
| 63 | | 37.3 | | 35 | 34.1 | 38.5 | 28.5 | 39.1 | 36.5 | 33.2 | |
| 80 | | 40.6 | | 30.8 | 37.3 | 38.2 | 30.4 | 39.4 | 34.3 | | |

| 地盤卓越振動数(Hz) | | |
|---|---|---|
| | 最大値が最も多い中心周波数 | 16.0　Hz |
| | 最大値を示す中心周波数の平均値 | 17.2　Hz |

注) ▒ は最大値、空欄は30dB未満

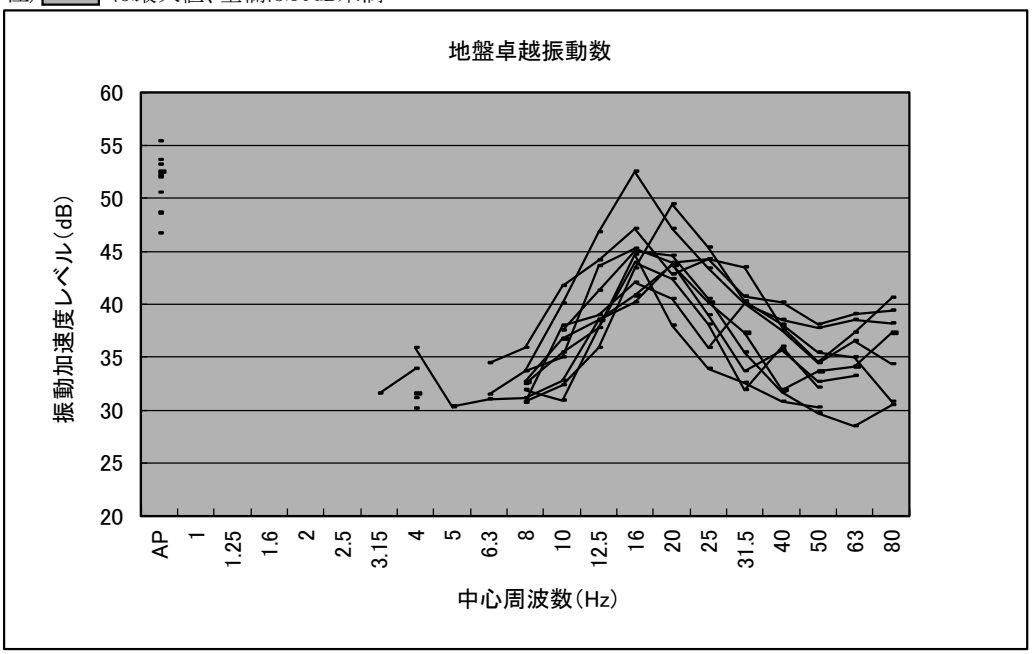


## 図6－4(4)　地盤卓越振動数測定結果

# 資料６－２　建設作業及び施設振動の予測方法

建設作業及び施設振動の予測は、以下に示す伝搬理論式を用いた。

$$Lr = L(r_o) - 15\ \log_{10}(r / r_o) - 8.68 \cdot \alpha \cdot (r - r_o)$$

ここで、$Lr_o$　：振動源からｒｍ離れた地点の振動レベル(デシベル)
　　$Lr_o$　：振動源から$r_o$m離れた地点（基準点）の振動レベル(デシベル)
　　ｒ　　：振動源から受振点までの距離（ｍ）
　　$r_o$　　：振動源から基準点までの距離（ｍ）
　　$\alpha$　　：内部摩擦係数(未固結地盤に対応する$\alpha$＝0.01 とした)

出典：「道路環境影響評価の技術手法（平成 24 年度版)」（平成 25 年３月　国土交通省
　　国土技術政策総合研究所　独立行政法人　土木研究所）

なお、振動発生源が複数個になる場合は、各発生源による振動レベルを次式により合成して求めた。

$$VL = 10 \log_{10}\left[\sum_{i=1}^{n} 10^{\frac{VLi}{10}}\right]$$

ここで、　ＶＬ　：受振点の合成振動レベル(デシベル)
　　$VL_i$：個別振動源による受振点での振動レベル(デシベル)
　　ｎ　　：振動源の個数

# 資料６－３　道路交通振動の予測方法

## （１）予測の基本的な手法

予測計算には次式を用いた。

$L_{10}=L_{10,FT}+\Delta L$

$\Delta L=L_{10,CS}-L_{10,RT}$

$L_{10}$　：振動レベルの 80%レンジの上端値の予測値(デシベル)

$L_{10,CS}$ ：現況の振動レベルの 80%レンジの上端値(デシベル)

$L_{10,RT}$ ：現況の交通量から、建設省土木研究所の提案式を用いて求められる振動レベル（デシベル)

$L_{10,FT}$ ：将来の交通量から、建設省土木研究所の提案式を用いて求められる振動レベル（デシベル)

$\Delta L$　：工事用車両等による振動レベルの補正値(デシベル)

## （２）予測式

予測式は、建設省土木研究所提案式を用いた。

$L_{10}=L_{10}^{*}-\alpha_1$

$L_{10}^{*}=a\log_{10}(\log_{10}Q^{*})+b\log_{10}V+c\log_{10}M+d+\alpha_\sigma+\alpha_f+\alpha_s+\alpha_1$

ここで、$L_{10}$　：振動レベルの 80%レンジの上端値の予測値(デシベル)

$L_{10}^{*}$ ：基準点における振動レベルの 80%レンジの上端値の予測値（デシベル)

$Q^{*}$ ：500 秒間の１車線当たり等価交通量(台／500 秒／車線)

$$Q^{*}=\frac{500}{3,600}\times\frac{1}{M}\times(Q_1+K\,Q_2)$$

$Q_1$ ：小型車類時間交通量（台／時）

$Q_2$ ：大型車類時間交通量（台／時）

K　：大型車の小型車への換算係数（V≦100km／時のとき 13)

V　：平均走行速度（km／時）

M　：上下車線合計の車線数

$\alpha_\sigma$ ：路面の平坦性による補正値(デシベル)

$\alpha_\sigma=8.2\log_{10}\sigma$ （アスファルト舗装）

σ ：３mプロフィルタによる路面凹凸の標準偏差（mm）

$\alpha_f$ ：地盤卓越振動数による補正値(デシベル)

$\alpha_f=-17.3\log_{10}f$ （f ≧８Hz のとき）

f ：地盤卓越振動数（Hz）

$\alpha_s$ ：道路構造による補正値(０デシベル（平面道路）)

$\alpha_1$ ：距離減衰値(デシベル)

$$\alpha_1=\frac{\beta\log\left(\frac{r}{5}+1\right)}{\log 2}$$

$\beta=0.130L_{10}^{*}-3.9$（平面道路の砂地盤)

r　：基準点から予測地点までの距離（m）

a、b、c、d：定数（a=47、b=12、c=3.5、d=27.3（表 6－6 参照))

## 表 6－6　道路交通振動予測式の定数及び補正値等

<table>
<tr><th>道路構造</th><th>$K$</th><th>$a$</th><th>$b$</th><th>$c$</th><th>$d$</th><th>$\alpha_\sigma$</th><th>$\alpha_f$</th><th>$\alpha_s$</th><th>$\alpha_1=\beta\log(r/5+1)/\log 2$<br>$r$：基準点から予測地点までの距離(m)</th></tr>
<tr><td>平面道路<br>高架道路に併設された場合を除く</td><td rowspan="5">100＜$V$≦140 km/hのとき<br>14<br><br>$V$≦100 km/hのとき<br>13</td><td rowspan="5">47</td><td rowspan="5">12</td><td rowspan="3">3.5</td><td rowspan="3">27.3</td><td rowspan="3">アスファルト舗装では<br>$8.2\log_{10}\sigma$<br><br>コンクリート舗装では<br>$19.4\log_{10}\sigma$<br><br>$\sigma$:3mプロフィルメータによる路面凹凸の標準偏差(mm)</td><td rowspan="3">$f$≧8 Hzのとき<br>$-17.3\log_{10}f$<br><br>$f$＜8Hzのとき<br>$-9.2\log_{10}f-7.3$<br><br>$f$:地盤卓越振動数(Hz)</td><td>0</td><td>$\beta$：粘土地盤では<br>$0.068L_{10}{}^{*}-2.0$<br><br>$\beta$：砂地盤では<br>$0.130L_{10}{}^{*}-3.9$</td></tr>
<tr><td>盛土道路</td><td>$-1.4H-0.7$<br>$H$:盛土高さ(m)</td><td>$\beta$：$0.081L_{10}{}^{*}-2.2$</td></tr>
<tr><td>切土道路</td><td>$-0.7H-3.5$<br>$H$:切土高さ(m)</td><td>$\beta$：$0.187L_{10}{}^{*}-5.8$</td></tr>
<tr><td>掘割道路</td><td>$-4.1H+6.6$<br>$H$:擁壁高さ(m)</td><td>$\beta$：$0.035L_{10}{}^{*}-0.5$</td></tr>
<tr><td>高架道路</td><td>7.9</td><td>1本橋脚では7.5<br><br>2本以上橋脚では8.1</td><td>$1.9\log_{10}H_p$<br>$H_p$：伸縮継手部より±5m範囲内の最大高低差(mm)</td><td>$f$≧8Hzのとき<br>$-6.3\log_{10}f$<br><br>$f$＜8Hzのとき<br>$-5.7$</td><td rowspan="2">0</td><td rowspan="2">$\beta$：$0.073L_{10}{}^{*}-2.3$</td></tr>
<tr><td>高架道路に併設された平面道路</td><td>3.5</td><td>21.4</td><td>アスファルト舗装では<br>$8.2\log_{10}\sigma$<br><br>コンクリート舗装では<br>$19.4\log_{10}\sigma$</td><td>$f$≧8Hzのとき<br>$-17.3\log_{10}f$<br><br>$f$＜8Hzのとき<br>$-9.2\log_{10}f-7.3$</td></tr>
</table>

出典：「道路環境影響評価の技術手法」

### （３）工事用車両の走行に係る振動レベルの予測計算による補正

工事用車両の走行に係る振動レベルの予測計算による補正値は表 6－7 に示すとおりである。将来振動レベルの予測については、将来一般交通による振動レベル（予測結果）（*L2*）の予測を行い、将来一般交通による振動レベル（現況振動レベル[現地調査結果]）（*L1*）との差分を将来一般交通による振動レベル補正値（*L3*）とした。

**表 6－7　工事用車両の走行に係る振動レベルの予測計算による補正値**

単位：デシベル

| 予測地点 | | 時間区分 | ピーク時間帯 | 将来一般交通による振動レベル予測結果 *L2*[注1)] | 将来一般交通による振動レベル（現況振動レベル）［現地調査結果］ *L1*[注1)] | 将来一般交通による振動レベル補正値 *L3*[注1)] （*L1*－*L2*） |
|---|---|---|---|---|---|---|
| 地点１ | 北側 | 昼間 | ８時～９時 | 39.4 | 46.1[注2)] | 6.7 |
| | 南側 | 昼間 | ８時～９時 | 39.1 | 45.8 | 6.7 |
| 地点２ | 東側 | 昼間 | 14 時～15 時 | 50.2 | 46.8 | −3.4 |
| | 西側 | 昼間 | 14 時～15 時 | 50.1 | 46.7[注2)] | −3.4 |
| 地点３ | 東側 | 昼間 | 14 時～15 時 | 48.7 | 43.2[注2)] | −5.5 |
| | 西側 | 昼間 | 14 時～15 時 | 49.7 | 44.2 | −5.5 |
| 地点４ | 東側 | 昼間 | ８時～９時 | 39.0 | 42.5 | 3.5 |
| | 西側 | 昼間 | ８時～９時 | 40.5 | 44.0[注2)] | 3.5 |

注１）*L1*、*L2*、*L3* は、図 9.5.2－3（5　騒音・振動・低周波音　5.2　振動、354 ページ参照）の番号にそれぞれ対応している。

注２）予測地点の道路両側の伝搬状況が概ね同様であることから、各予測地点の両道路端の振動レベル（現況交通量での予測結果）の差分を、現況振動レベル（現地調査結果）に加えることで算出した。

注３）▭は、現地調査地点側を示す

### （４）工事用車両の走行に係る振動レベルの予測結果

各予測時間帯における工事用車両の走行に係る振動レベルの予測結果は、表６－８(1)、(2)に示すとおりである。

**表 6－8(1)　工事用車両の走行に係る振動レベルの予測結果**

単位：デシベル

| 予測地点 | | 時間区分 | 予測時間帯 | 現況振動レベル *L1* | 将来振動レベル *L5* | 増加量 (*L5－L1*) |
|---|---|---|---|---|---|---|
| 地点１ | 北側 | 昼間 | 7 時 ～ 8 時 | 44.0 | 44.9 | 0.9 |
| | | | 8 時 ～ 9 時 | 46.1 | 51.6 | 5.5 |
| | | | 9 時 ～ 10 時 | 44.8 | 47.2 | 2.4 |
| | | | 10 時 ～ 11 時 | 44.2 | 46.5 | 2.3 |
| | | | 11 時 ～ 12 時 | 41.0 | 46.1 | 5.1 |
| | | | 12 時 ～ 13 時 | 39.7 | 39.7 | 0.0 |
| | | | 13 時 ～ 14 時 | 40.7 | 47.0 | 6.3 |
| | | | 14 時 ～ 15 時 | 42.7 | 45.1 | 2.4 |
| | | | 15 時 ～ 16 時 | 40.8 | 46.4 | 5.6 |
| | | | 16 時 ～ 17 時 | 41.0 | 46.6 | 5.6 |
| | | | 17 時 ～ 18 時 | 42.2 | 46.6 | 4.4 |
| | | | 18 時 ～ 19 時 | 41.8 | 42.5 | 0.7 |
| | 南側 | 昼間 | 7 時 ～ 8 時 | 43.8 | 44.7 | 0.9 |
| | | | 8 時 ～ 9 時 | 45.8 | 51.2 | 5.4 |
| | | | 9 時 ～ 10 時 | 44.4 | 46.8 | 2.4 |
| | | | 10 時 ～ 11 時 | 43.9 | 46.1 | 2.2 |
| | | | 11 時 ～ 12 時 | 40.8 | 45.8 | 5.0 |
| | | | 12 時 ～ 13 時 | 39.5 | 39.5 | 0.0 |
| | | | 13 時 ～ 14 時 | 40.5 | 46.6 | 6.1 |
| | | | 14 時 ～ 15 時 | 42.3 | 44.7 | 2.4 |
| | | | 15 時 ～ 16 時 | 40.6 | 46.0 | 5.4 |
| | | | 16 時 ～ 17 時 | 40.8 | 46.3 | 5.5 |
| | | | 17 時 ～ 18 時 | 41.9 | 46.3 | 4.4 |
| | | | 18 時 ～ 19 時 | 41.6 | 42.3 | 0.7 |
| 地点２ | 東側 | 昼間 | 7 時 ～ 8 時 | 45.6 | 45.6 | 0.0 |
| | | | 8 時 ～ 9 時 | 45.0 | 45.1 | 0.1 |
| | | | 9 時 ～ 10 時 | 46.3 | 46.4 | 0.1 |
| | | | 10 時 ～ 11 時 | 46.3 | 46.5 | 0.2 |
| | | | 11 時 ～ 12 時 | 46.6 | 46.7 | 0.1 |
| | | | 12 時 ～ 13 時 | 45.7 | 45.7 | 0.0 |
| | | | 13 時 ～ 14 時 | 45.7 | 45.9 | 0.2 |
| | | | 14 時 ～ 15 時 | 46.8 | 47.0 | 0.2 |
| | | | 15 時 ～ 16 時 | 44.9 | 45.1 | 0.2 |
| | | | 16 時 ～ 17 時 | 42.8 | 43.0 | 0.2 |
| | | | 17 時 ～ 18 時 | 40.6 | 40.9 | 0.3 |
| | | | 18 時 ～ 19 時 | 39.0 | 39.1 | 0.1 |
| | 西側 | 昼間 | 7 時 ～ 8 時 | 45.4 | 45.4 | 0.0 |
| | | | 8 時 ～ 9 時 | 44.8 | 45.0 | 0.2 |
| | | | 9 時 ～ 10 時 | 46.1 | 46.2 | 0.1 |
| | | | 10 時 ～ 11 時 | 46.2 | 46.3 | 0.1 |
| | | | 11 時 ～ 12 時 | 46.5 | 46.6 | 0.1 |
| | | | 12 時 ～ 13 時 | 45.6 | 45.6 | 0.0 |
| | | | 13 時 ～ 14 時 | 45.6 | 45.7 | 0.1 |
| | | | 14 時 ～ 15 時 | 46.7 | 46.8 | 0.1 |
| | | | 15 時 ～ 16 時 | 44.8 | 44.9 | 0.1 |
| | | | 16 時 ～ 17 時 | 42.7 | 42.8 | 0.1 |
| | | | 17 時 ～ 18 時 | 40.5 | 40.8 | 0.3 |
| | | | 18 時 ～ 19 時 | 38.9 | 38.9 | 0.0 |

注）　予測振動レベルの最大値。

## 表 6－8(2)　工事用車両の走行に係る振動レベルの予測結果

単位：デシベル

| 予測地点 | | 時間区分 | 予測時間帯 | 現況振動レベル *L1* | 将来振動レベル *L5* | 増加量 (*L5*－*L1*) |
|---|---|---|---|---|---|---|
| 地点３ | 東側 | 昼間 | 7 時　～　8 時 | 43.0 | 43.0 | 0.0 |
| | | | 8 時　～　9 時 | 41.9 | 42.0 | 0.1 |
| | | | 9 時　～　10 時 | 42.2 | 42.3 | 0.1 |
| | | | 10 時　～　11 時 | 42.3 | 42.5 | 0.2 |
| | | | 11 時　～　12 時 | 42.5 | 42.7 | 0.2 |
| | | | 12 時　～　13 時 | 42.3 | 42.3 | 0.0 |
| | | | 13 時　～　14 時 | 42.3 | 42.5 | 0.2 |
| | | | 14 時　～　15 時 | 43.2 | 43.3 | 0.1 |
| | | | 15 時　～　16 時 | 42.4 | 42.6 | 0.2 |
| | | | 16 時　～　17 時 | 39.3 | 39.5 | 0.2 |
| | | | 17 時　～　18 時 | 38.6 | 38.9 | 0.3 |
| | | | 18 時　～　19 時 | 38.4 | 38.5 | 0.1 |
| | 西側 | 昼間 | 7 時　～　8 時 | 44.0 | 44.0 | 0.0 |
| | | | 8 時　～　9 時 | 42.9 | 43.1 | 0.2 |
| | | | 9 時　～　10 時 | 43.3 | 43.4 | 0.1 |
| | | | 10 時　～　11 時 | 43.4 | 43.5 | 0.1 |
| | | | 11 時　～　12 時 | 43.6 | 43.7 | 0.1 |
| | | | 12 時　～　13 時 | 43.4 | 43.4 | 0.0 |
| | | | 13 時　～　14 時 | 43.4 | 43.6 | 0.2 |
| | | | 14 時　～　15 時 | 44.2 | 44.4 | 0.2 |
| | | | 15 時　～　16 時 | 43.5 | 43.6 | 0.1 |
| | | | 16 時　～　17 時 | 40.4 | 40.6 | 0.2 |
| | | | 17 時　～　18 時 | 39.7 | 39.9 | 0.2 |
| | | | 18 時　～　19 時 | 39.5 | 39.5 | 0.0 |
| 地点４ | 東側 | 昼間 | 7 時　～　8 時 | 42.1 | 42.6 | 0.5 |
| | | | 8 時　～　9 時 | 42.5 | 45.9 | 3.4 |
| | | | 9 時　～　10 時 | 42.7 | 44.0 | 1.3 |
| | | | 10 時　～　11 時 | 42.1 | 43.5 | 1.4 |
| | | | 11 時　～　12 時 | 42.0 | 45.3 | 3.3 |
| | | | 12 時　～　13 時 | 41.2 | 41.2 | 0.0 |
| | | | 13 時　～　14 時 | 41.5 | 45.8 | 4.3 |
| | | | 14 時　～　15 時 | 42.0 | 45.0 | 3.0 |
| | | | 15 時　～　16 時 | 41.0 | 44.2 | 3.2 |
| | | | 16 時　～　17 時 | 40.1 | 43.9 | 3.8 |
| | | | 17 時　～　18 時 | 40.2 | 44.5 | 4.3 |
| | | | 18 時　～　19 時 | 39.4 | 40.1 | 0.7 |
| | 西側 | 昼間 | 7 時　～　8 時 | 43.2 | 43.9 | 0.7 |
| | | | 8 時　～　9 時 | 44.0 | 47.9 | 3.9 |
| | | | 9 時　～　10 時 | 44.8 | 46.3 | 1.5 |
| | | | 10 時　～　11 時 | 44.3 | 45.8 | 1.5 |
| | | | 11 時　～　12 時 | 43.4 | 47.3 | 3.9 |
| | | | 12 時　～　13 時 | 42.5 | 42.5 | 0.0 |
| | | | 13 時　～　14 時 | 42.7 | 47.8 | 5.1 |
| | | | 14 時　～　15 時 | 43.6 | 47.0 | 3.4 |
| | | | 15 時　～　16 時 | 42.5 | 46.2 | 3.7 |
| | | | 16 時　～　17 時 | 41.5 | 45.8 | 4.3 |
| | | | 17 時　～　18 時 | 41.4 | 46.4 | 5.0 |
| | | | 18 時　～　19 時 | 40.7 | 41.4 | 0.7 |

注）　予測振動レベルの最大値。

# 資料６－４　工事用車両の走行に係る振動の予測結果（距離減衰状況）

工事用車両の走行に係る振動の予測結果（距離減衰状況）は、図6－5に示すとおりである。

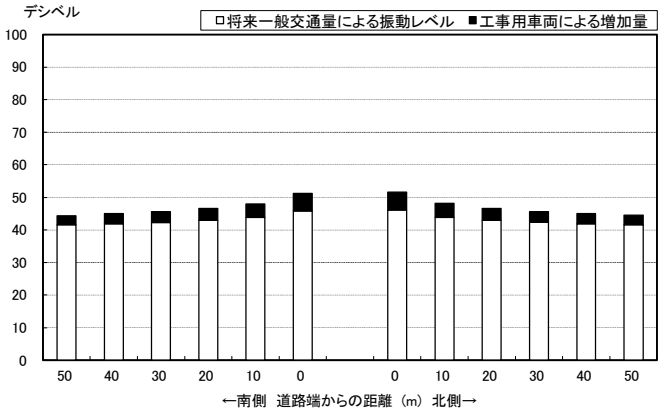


【地点１：市道堤根２号線】

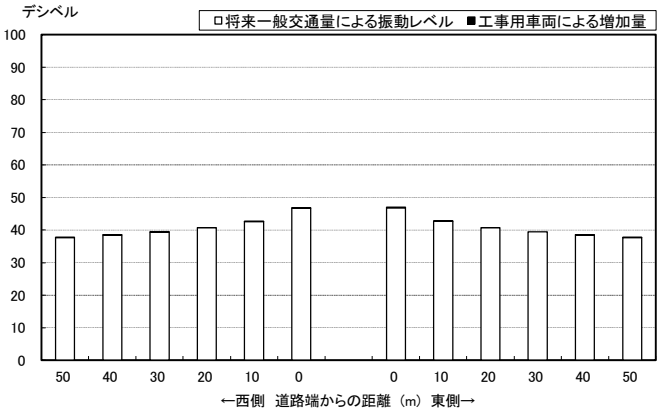


【地点２：県道川崎町田線】

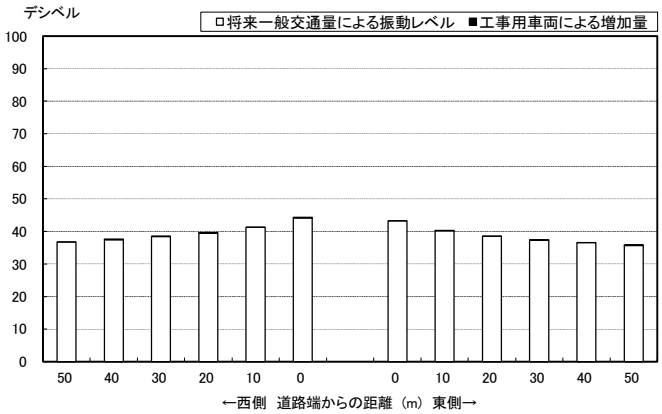


【地点３：県道川崎町田線】

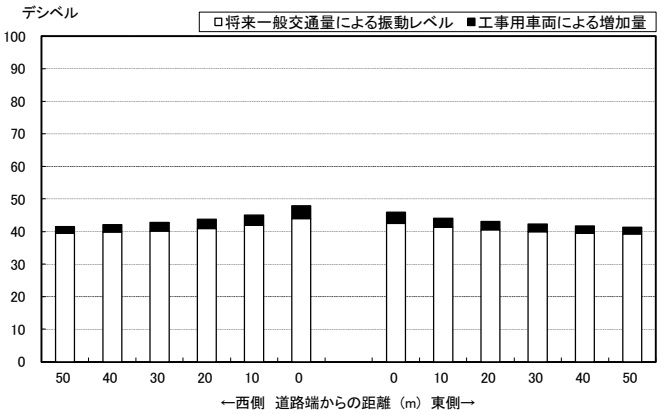


【地点４：市道柳町８号線】

図 6－5　工事用車両の走行に係る振動の予測結果（距離減衰状況）

# 7　低周波音関連

# 7　低周波音関連

## 資料７－１　低周波音調査結果

調査日及び調査時間帯は表7－1に示すとおりである。

**表 7－1　調査日及び調査時間帯**

| 区　　分 | 調査日及び調査時間帯 |
|---|---|
| 低周波音 | 令和２年11月12日(木)12時～13日(金)12時（24時間） |

調査地点は、表7－2及び図7－1に示すとおりである。計画地の敷地境界４地点において調査を行った。

各地点における低周波音の現地調査結果は表7－3(1)～(4)、図7－2(1)～(4)に示すとおりである。

**表7－2　低周波音調査地点**

| 区　分 | 調査地点 | |
|---|---|---|
| 低周波音 | 地点１ | 計画地の敷地境界 |
| | 地点２ | |
| | 地点３ | |
| | 地点４ | |

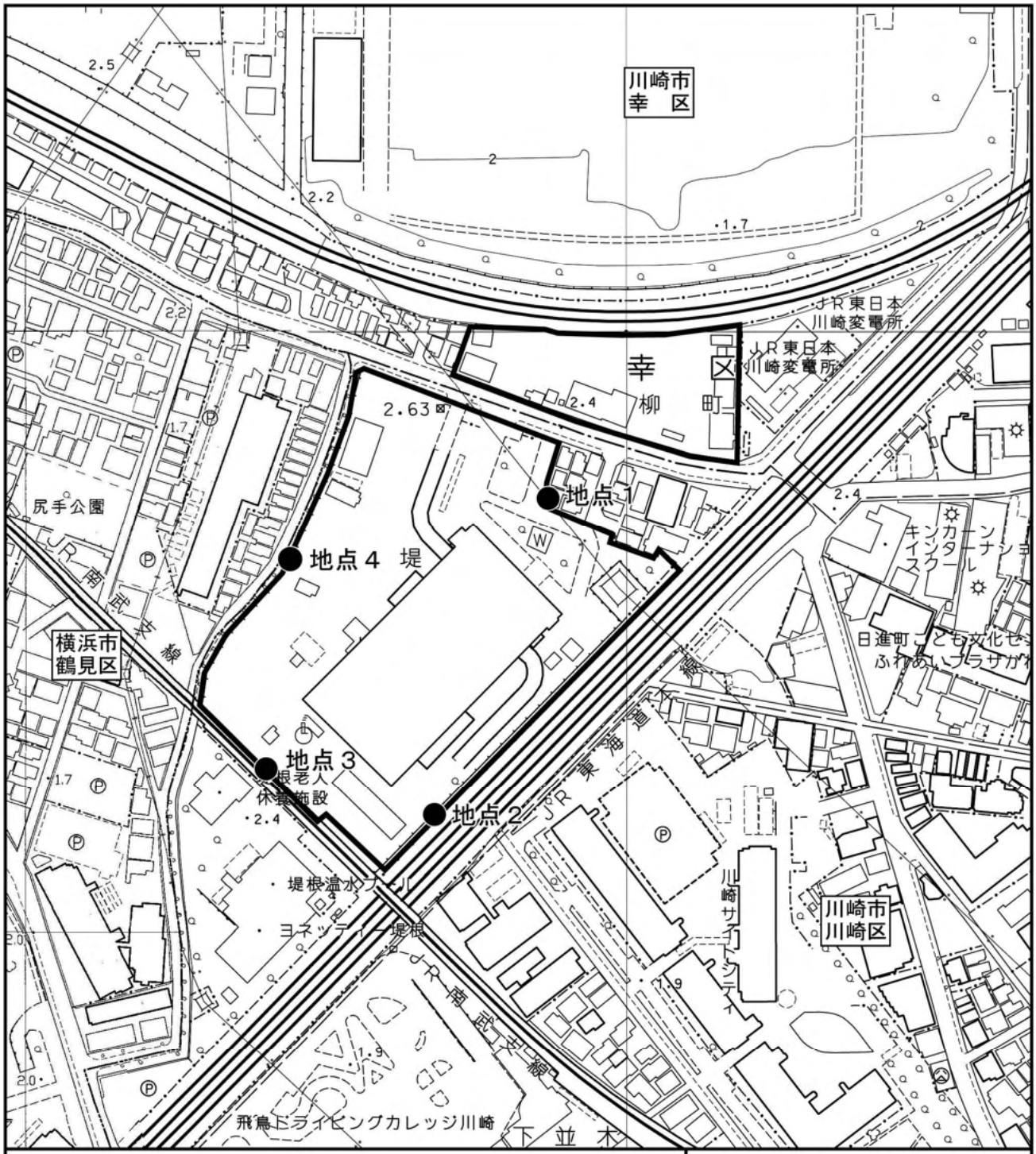


この地図は、「川崎市都市計画基本図（南河原）、（八丁畷）」（川崎市）及び「横浜市都市計画基本図（矢向）、（市場）」（横浜市）を使用したものである。

**図 7－1　低周波音現地調査地点図**

# 表7－3(1)　低周波音の現地調査結果

測定日：2020年11月12日(木)～11月13日(金)
調査地点：地点1

単位：デシベル

| 時間 | G特性音圧レベル | OA | 1 | 1.3 | 1.6 | 2 | 2.5 | 3.2 | 4 | 5 | 6.3 | 8 | 10 | 13 | 16 | 20 | 25 | 32 | 40 | 50 | 63 | 80 |
|---|---|---|---|---|---|---|---|---|---|---|---|---|---|---|---|---|---|---|---|---|---|---|
| 12 ～13時 | 73.8 | 80.9 | 73.3 | 73.1 | 72.8 | 70.5 | 71.0 | 69.5 | 68.4 | 67.3 | 66.0 | 64.9 | 63.9 | 61.7 | 59.9 | 60.0 | 57.6 | 57.6 | 61.3 | 61.8 | 54.8 | 52.1 |
| 13 ～14時 | 72.8 | 79.5 | 71.1 | 71.5 | 71.4 | 70.1 | 68.6 | 68.4 | 66.1 | 65.2 | 64.6 | 62.8 | 61.8 | 60.4 | 58.9 | 59.2 | 57.5 | 59.6 | 65.2 | 61.9 | 56.2 | 50.8 |
| 14 ～15時 | 74.1 | 76.8 | 68.9 | 68.8 | 66.7 | 66.4 | 65.3 | 63.8 | 63.0 | 62.0 | 61.2 | 59.9 | 60.4 | 59.4 | 58.8 | 62.0 | 62.5 | 59.9 | 63.1 | 62.0 | 56.4 | 54.7 |
| 15 ～16時 | 71.8 | 72.4 | 62.4 | 61.4 | 61.9 | 60.4 | 60.6 | 59.4 | 58.3 | 58.4 | 57.9 | 57.7 | 59.1 | 59.2 | 57.0 | 59.6 | 58.3 | 57.0 | 60.9 | 61.1 | 54.6 | 50.3 |
| 16 ～17時 | 70.5 | 71.4 | 63.4 | 60.7 | 57.3 | 58.0 | 58.0 | 57.2 | 55.7 | 57.5 | 56.8 | 56.8 | 58.9 | 57.7 | 56.0 | 57.9 | 56.2 | 57.0 | 61.2 | 61.0 | 54.6 | 50.3 |
| 17 ～18時 | 71.0 | 71.9 | 62.2 | 61.1 | 60.6 | 58.6 | 59.5 | 58.4 | 56.9 | 56.7 | 57.8 | 57.4 | 58.9 | 58.1 | 57.0 | 58.2 | 56.3 | 57.7 | 61.5 | 61.5 | 54.2 | 50.7 |
| 18 ～19時 | 70.7 | 71.3 | 60.0 | 59.3 | 59.5 | 58.3 | 58.5 | 56.3 | 54.8 | 56.1 | 56.7 | 57.4 | 59.1 | 58.6 | 56.8 | 57.5 | 56.2 | 56.9 | 61.2 | 62.5 | 55.5 | 52.1 |
| 19 ～20時 | 70.9 | 70.2 | 52.2 | 52.6 | 52.8 | 52.1 | 51.6 | 51.1 | 52.7 | 55.9 | 56.6 | 57.3 | 59.0 | 58.8 | 56.8 | 57.8 | 56.9 | 57.6 | 61.9 | 63.1 | 56.1 | 52.0 |
| 20 ～21時 | 69.8 | 72.6 | 64.1 | 63.4 | 62.5 | 61.3 | 60.4 | 58.8 | 58.3 | 57.8 | 57.3 | 57.3 | 58.6 | 57.1 | 55.5 | 57.1 | 55.3 | 56.3 | 60.9 | 62.2 | 53.7 | 50.4 |
| 21 ～22時 | 70.0 | 70.0 | 57.6 | 56.7 | 57.2 | 54.3 | 53.3 | 53.3 | 52.9 | 54.5 | 55.8 | 57.0 | 58.4 | 57.1 | 55.0 | 58.1 | 55.0 | 56.5 | 60.7 | 62.7 | 55.3 | 50.2 |
| 22 ～23時 | 69.8 | 70.2 | 59.1 | 57.6 | 57.7 | 56.8 | 55.4 | 54.5 | 54.7 | 55.3 | 55.7 | 56.8 | 58.6 | 56.7 | 55.0 | 57.6 | 54.5 | 55.6 | 60.7 | 62.1 | 53.8 | 50.9 |
| 23 ～24時 | 70.7 | 74.5 | 67.4 | 66.2 | 65.7 | 63.6 | 63.0 | 61.6 | 59.7 | 59.3 | 58.8 | 57.9 | 58.9 | 56.3 | 54.7 | 59.6 | 54.3 | 55.6 | 60.6 | 61.7 | 51.4 | 48.2 |
| 0 ～ 1時 | 69.7 | 72.4 | 64.1 | 63.1 | 62.2 | 61.7 | 60.8 | 58.6 | 57.4 | 57.4 | 56.9 | 57.2 | 58.7 | 56.5 | 54.6 | 57.7 | 53.6 | 54.6 | 60.2 | 62.2 | 53.1 | 48.1 |
| 1 ～ 2時 | 68.9 | 70.4 | 60.7 | 60.6 | 60.1 | 57.5 | 56.9 | 56.3 | 56.0 | 55.3 | 55.1 | 55.5 | 57.6 | 55.2 | 53.6 | 57.2 | 52.9 | 54.3 | 60.1 | 61.1 | 50.8 | 47.2 |
| 2 ～ 3時 | 68.8 | 72.2 | 64.8 | 63.8 | 62.8 | 61.2 | 58.9 | 58.2 | 57.5 | 56.9 | 56.6 | 55.8 | 57.5 | 54.8 | 53.5 | 57.2 | 52.7 | 54.0 | 60.1 | 61.3 | 50.2 | 46.7 |
| 3 ～ 4時 | 69.1 | 70.0 | 59.6 | 59.5 | 59.2 | 57.7 | 56.3 | 55.0 | 54.0 | 54.4 | 54.5 | 55.2 | 57.4 | 55.5 | 53.9 | 57.5 | 53.7 | 54.5 | 60.4 | 61.4 | 50.8 | 47.8 |
| 4 ～ 5時 | 71.1 | 78.8 | 71.8 | 71.3 | 70.8 | 68.9 | 67.9 | 67.1 | 66.0 | 64.2 | 62.9 | 61.3 | 61.0 | 58.7 | 56.4 | 58.3 | 54.5 | 55.1 | 60.2 | 61.5 | 50.8 | 47.7 |
| 5 ～ 6時 | 72.1 | 77.4 | 69.8 | 69.2 | 68.4 | 67.4 | 67.4 | 66.5 | 64.3 | 63.3 | 62.1 | 60.9 | 61.1 | 59.5 | 57.2 | 59.8 | 55.4 | 55.5 | 60.5 | 61.9 | 52.4 | 50.1 |
| 6 ～ 7時 | 71.3 | 74.3 | 66.4 | 65.5 | 63.9 | 63.8 | 62.3 | 61.7 | 60.4 | 59.1 | 58.7 | 58.8 | 59.2 | 58.5 | 55.9 | 59.3 | 56.2 | 56.9 | 61.2 | 62.5 | 55.7 | 50.3 |
| 7 ～ 8時 | 71.9 | 73.6 | 64.4 | 63.7 | 63.4 | 62.8 | 61.6 | 60.8 | 58.9 | 58.5 | 58.2 | 58.1 | 59.6 | 58.5 | 56.5 | 60.2 | 57.5 | 57.9 | 61.7 | 62.6 | 56.4 | 54.8 |
| 8 ～ 9時 | 73.2 | 73.1 | 62.6 | 62.8 | 60.0 | 60.3 | 59.9 | 57.7 | 56.8 | 57.4 | 57.7 | 58.3 | 59.7 | 59.9 | 59.0 | 61.1 | 58.3 | 59.0 | 62.3 | 63.9 | 57.5 | 55.8 |
| 9 ～10時 | 77.6 | 80.5 | 75.6 | 75.9 | 76.0 | 75.1 | 74.0 | 72.6 | 72.3 | 70.6 | 69.6 | 68.1 | 67.1 | 65.2 | 63.1 | 64.5 | 61.2 | 60.4 | 62.5 | 63.5 | 58.1 | 56.2 |
| 10 ～11時 | 76.8 | 80.6 | 73.3 | 72.0 | 70.7 | 70.1 | 69.7 | 68.7 | 68.1 | 67.1 | 65.7 | 64.0 | 63.3 | 61.7 | 60.4 | 64.8 | 66.1 | 61.1 | 62.8 | 66.3 | 58.0 | 61.5 |
| 11 ～12時 | 73.5 | 75.8 | 67.5 | 67.0 | 65.8 | 65.0 | 64.5 | 64.3 | 61.9 | 61.9 | 60.6 | 59.6 | 60.4 | 60.2 | 59.2 | 61.0 | 59.4 | 59.6 | 61.2 | 62.7 | 55.9 | 52.7 |
| 平均 | 72.3 | 75.8 | 68.3 | 68.0 | 67.5 | 66.3 | 65.6 | 64.5 | 63.4 | 62.4 | 61.5 | 60.5 | 60.7 | 59.3 | 57.6 | 59.9 | 58.2 | 57.6 | 61.5 | 62.4 | 55.0 | 53.0 |

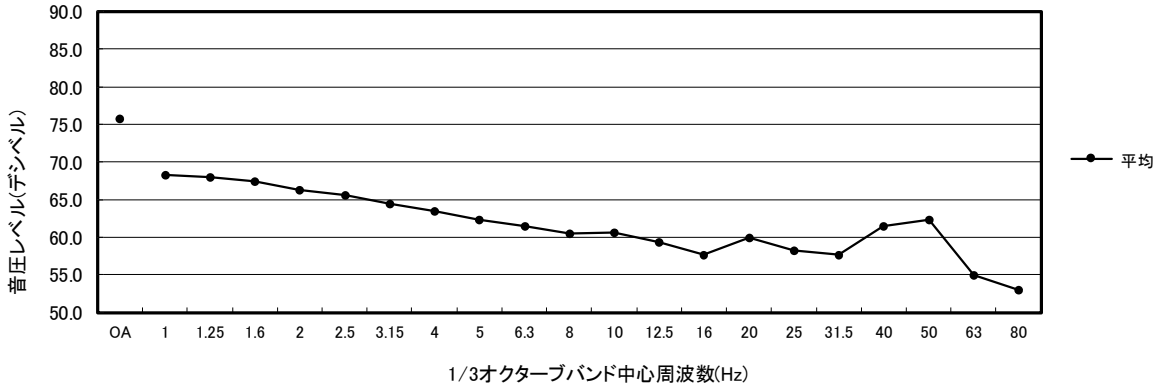


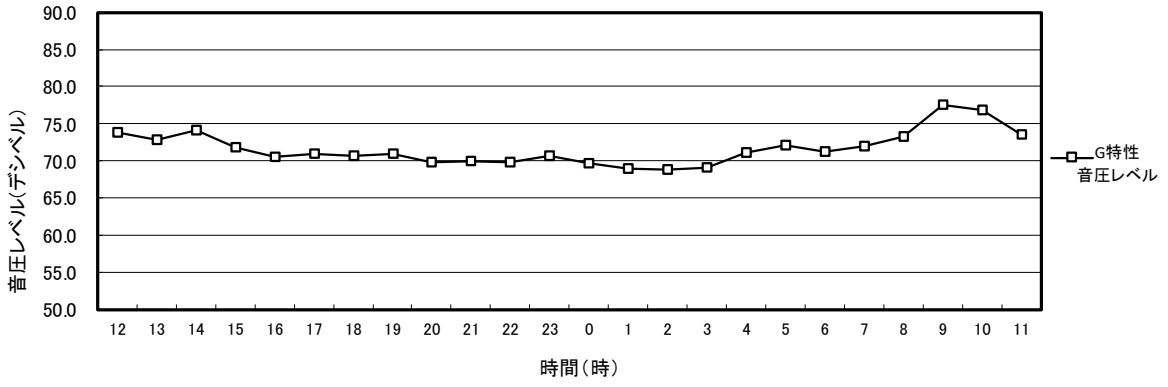


# 図7－2(1)　低周波音の現地調査結果

# 表7－3(2)　低周波音の現地調査結果

測定日：2020年11月12日(木)～11月13日(金)
調査地点：地点2

単位：デシベル

| 時間 | G特性音圧レベル | OA | 1 | 1.3 | 1.6 | 2 | 2.5 | 3.2 | 4 | 5 | 6.3 | 8 | 10 | 13 | 16 | 20 | 25 | 32 | 40 | 50 | 63 | 80 |
|---|---|---|---|---|---|---|---|---|---|---|---|---|---|---|---|---|---|---|---|---|---|---|
| 12 ～13時 | 76.7 | 83.7 | 80.7 | 77.1 | 73.0 | 69.8 | 67.4 | 64.2 | 63.2 | 62.3 | 61.5 | 61.3 | 61.2 | 63.5 | 62.3 | 64.4 | 63.8 | 64.7 | 63.3 | 63.4 | 61.8 | 58.7 |
| 13 ～14時 | 76.7 | 82.1 | 78.3 | 75.9 | 72.0 | 69.7 | 66.0 | 63.3 | 61.6 | 61.9 | 60.5 | 60.7 | 60.6 | 63.3 | 62.3 | 64.5 | 63.4 | 65.2 | 64.0 | 62.8 | 62.0 | 59.0 |
| 14 ～15時 | 76.7 | 81.3 | 77.9 | 74.6 | 71.2 | 66.7 | 62.6 | 60.2 | 59.1 | 59.1 | 59.4 | 60.0 | 60.8 | 63.3 | 62.4 | 64.6 | 63.1 | 65.1 | 64.5 | 63.5 | 62.7 | 59.4 |
| 15 ～16時 | 76.8 | 83.5 | 80.2 | 77.8 | 73.4 | 70.0 | 66.7 | 62.9 | 60.7 | 60.3 | 60.0 | 60.8 | 61.3 | 63.9 | 62.6 | 64.5 | 63.8 | 64.2 | 63.4 | 63.0 | 61.5 | 57.5 |
| 16 ～17時 | 76.6 | 79.4 | 75.3 | 72.4 | 68.9 | 64.9 | 62.1 | 59.4 | 58.1 | 58.5 | 60.4 | 60.8 | 60.5 | 62.8 | 62.3 | 64.5 | 63.4 | 64.3 | 63.0 | 62.5 | 61.1 | 56.8 |
| 17 ～18時 | 76.5 | 80.7 | 77.3 | 74.1 | 69.7 | 66.6 | 61.9 | 59.1 | 57.6 | 58.5 | 58.8 | 60.2 | 60.5 | 62.7 | 62.2 | 64.5 | 63.3 | 64.5 | 63.6 | 62.8 | 61.7 | 57.6 |
| 18 ～19時 | 76.6 | 82.5 | 79.5 | 76.2 | 72.2 | 67.6 | 63.1 | 59.3 | 57.6 | 57.7 | 59.2 | 60.9 | 61.7 | 63.5 | 62.5 | 64.4 | 62.7 | 64.2 | 63.4 | 62.8 | 63.2 | 60.1 |
| 19 ～20時 | 76.6 | 84.1 | 81.2 | 78.2 | 73.8 | 69.8 | 64.0 | 58.5 | 56.8 | 58.2 | 59.4 | 61.5 | 61.3 | 63.5 | 62.3 | 64.6 | 62.5 | 64.3 | 63.3 | 62.6 | 61.8 | 58.6 |
| 20 ～21時 | 76.2 | 83.4 | 80.3 | 77.7 | 73.2 | 68.8 | 64.3 | 59.4 | 57.8 | 58.4 | 59.1 | 60.3 | 60.5 | 63.4 | 62.0 | 63.9 | 62.3 | 63.7 | 62.8 | 62.0 | 61.3 | 57.9 |
| 21 ～22時 | 76.6 | 82.7 | 79.8 | 76.4 | 72.0 | 67.6 | 62.7 | 58.4 | 56.2 | 57.0 | 58.4 | 59.9 | 60.6 | 63.7 | 62.0 | 64.7 | 63.1 | 64.4 | 63.9 | 63.5 | 62.8 | 60.8 |
| 22 ～23時 | 75.9 | 82.8 | 80.1 | 76.6 | 72.2 | 68.2 | 63.1 | 58.2 | 55.6 | 56.9 | 58.1 | 59.8 | 60.1 | 63.0 | 61.6 | 63.8 | 61.8 | 63.9 | 63.5 | 62.4 | 62.2 | 59.1 |
| 23 ～24時 | 76.2 | 81.6 | 78.5 | 74.9 | 70.8 | 67.2 | 64.2 | 60.5 | 59.1 | 59.0 | 58.7 | 60.0 | 60.6 | 62.9 | 61.6 | 64.5 | 61.9 | 63.6 | 62.6 | 62.0 | 60.8 | 57.2 |
| 0 ～ 1時 | 75.9 | 76.2 | 69.3 | 66.8 | 66.0 | 63.6 | 62.5 | 61.3 | 60.4 | 59.5 | 58.6 | 59.3 | 60.0 | 62.9 | 61.3 | 64.1 | 61.5 | 63.5 | 62.2 | 61.1 | 60.4 | 56.2 |
| 1 ～ 2時 | 75.4 | 75.1 | 68.9 | 66.3 | 63.3 | 60.9 | 58.5 | 58.3 | 57.4 | 57.6 | 57.0 | 58.1 | 58.8 | 62.5 | 60.7 | 63.5 | 61.4 | 63.4 | 61.6 | 60.7 | 60.3 | 54.9 |
| 2 ～ 3時 | 75.3 | 74.3 | 64.9 | 64.3 | 63.0 | 62.2 | 60.9 | 60.1 | 58.7 | 58.3 | 57.8 | 58.0 | 58.8 | 62.3 | 60.5 | 63.5 | 60.9 | 63.2 | 61.5 | 60.4 | 59.7 | 54.2 |
| 3 ～ 4時 | 75.4 | 74.3 | 64.9 | 63.1 | 62.7 | 61.9 | 60.8 | 60.0 | 58.8 | 58.2 | 57.7 | 57.9 | 58.8 | 62.4 | 60.4 | 63.7 | 61.5 | 63.4 | 61.9 | 60.7 | 59.8 | 54.5 |
| 4 ～ 5時 | 75.5 | 75.1 | 66.4 | 64.6 | 63.9 | 63.5 | 62.9 | 61.1 | 59.4 | 58.8 | 57.8 | 58.6 | 59.3 | 62.7 | 60.8 | 63.6 | 61.5 | 63.1 | 61.8 | 62.1 | 59.9 | 54.4 |
| 5 ～ 6時 | 76.3 | 76.4 | 69.3 | 67.3 | 65.9 | 64.1 | 62.3 | 61.8 | 60.1 | 59.8 | 59.4 | 59.4 | 59.8 | 63.0 | 61.1 | 64.9 | 62.1 | 63.7 | 62.4 | 61.4 | 61.1 | 56.4 |
| 6 ～ 7時 | 76.7 | 81.3 | 77.6 | 74.5 | 71.0 | 67.5 | 66.1 | 64.0 | 62.8 | 62.0 | 61.2 | 61.4 | 61.0 | 63.4 | 61.5 | 65.1 | 62.7 | 64.3 | 63.2 | 61.8 | 61.6 | 56.8 |
| 7 ～ 8時 | 77.0 | 83.3 | 80.4 | 76.7 | 72.9 | 68.4 | 65.0 | 62.3 | 60.2 | 59.2 | 59.1 | 60.3 | 61.1 | 63.5 | 61.8 | 65.4 | 63.0 | 64.8 | 63.6 | 62.8 | 63.0 | 61.5 |
| 8 ～ 9時 | 77.2 | 83.4 | 80.3 | 77.3 | 72.9 | 69.3 | 64.6 | 61.7 | 59.2 | 59.3 | 59.5 | 60.9 | 60.6 | 63.6 | 62.5 | 65.5 | 63.6 | 65.4 | 64.1 | 63.1 | 62.9 | 59.6 |
| 9 ～10時 | 77.7 | 85.1 | 81.7 | 78.2 | 75.2 | 73.0 | 69.7 | 67.9 | 66.9 | 65.2 | 64.7 | 63.9 | 63.3 | 64.5 | 63.4 | 65.1 | 64.6 | 66.0 | 65.1 | 64.2 | 63.1 | 60.8 |
| 10 ～11時 | 77.1 | 81.4 | 76.9 | 73.7 | 71.8 | 69.4 | 67.3 | 66.6 | 66.2 | 64.7 | 63.9 | 63.2 | 62.3 | 63.6 | 62.7 | 65.0 | 63.5 | 64.9 | 64.1 | 63.2 | 62.0 | 58.4 |
| 11 ～12時 | 76.5 | 82.7 | 79.3 | 76.5 | 72.8 | 68.9 | 65.5 | 62.3 | 60.9 | 60.0 | 60.2 | 60.6 | 60.3 | 62.8 | 62.2 | 64.5 | 62.7 | 64.7 | 63.4 | 62.6 | 61.6 | 57.5 |
| 平均 | 76.5 | 81.7 | 78.3 | 75.2 | 71.4 | 68.0 | 64.6 | 62.1 | 60.8 | 60.2 | 60.0 | 60.6 | 60.7 | 63.2 | 61.9 | 64.5 | 62.8 | 64.3 | 63.3 | 62.5 | 61.7 | 58.3 |

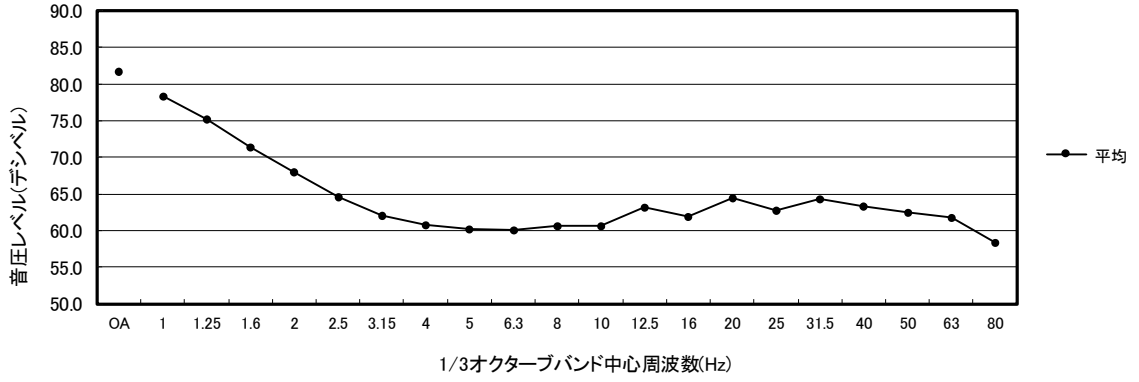


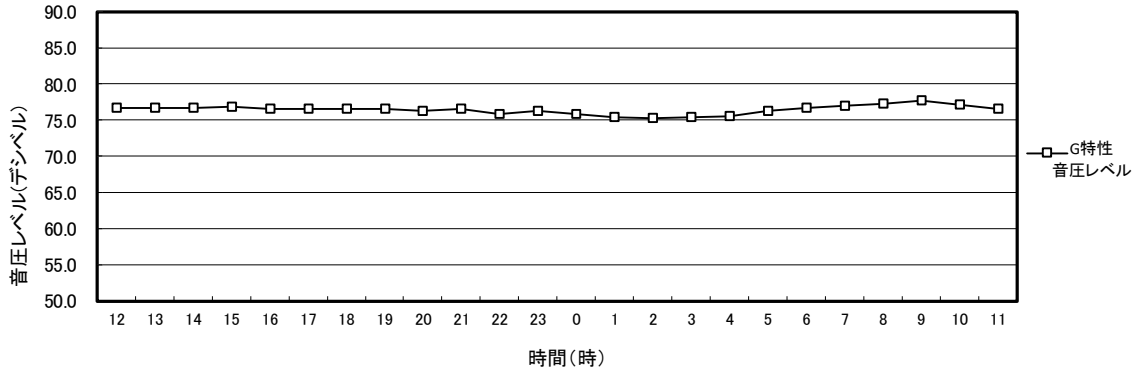


# 図7－2(2)　低周波音の現地調査結果

# 表7－3(3)　低周波音の現地調査結果

測定日：2020年11月12日(木)～11月13日(金)
調査地点：地点3

単位：デシベル

| 時間 | G特性音圧レベル | OA | 1 | 1.3 | 1.6 | 2 | 2.5 | 3.2 | 4 | 5 | 6.3 | 8 | 10 | 13 | 16 | 20 | 25 | 32 | 40 | 50 | 63 | 80 |
|---|---|---|---|---|---|---|---|---|---|---|---|---|---|---|---|---|---|---|---|---|---|---|
| 12 ～13時 | 77.8 | 85.0 | 78.2 | 77.5 | 76.2 | 75.3 | 74.1 | 73.1 | 72.5 | 71.1 | 69.9 | 68.9 | 67.6 | 67.1 | 64.7 | 62.6 | 62.8 | 61.5 | 58.6 | 60.4 | 63.8 | 55.5 |
| 13 ～14時 | 73.4 | 78.0 | 70.5 | 69.5 | 68.8 | 67.2 | 66.1 | 65.3 | 64.6 | 63.8 | 62.4 | 62.2 | 61.6 | 62.7 | 59.5 | 58.9 | 59.9 | 61.1 | 60.4 | 62.0 | 64.6 | 58.8 |
| 14 ～15時 | 74.9 | 80.5 | 72.9 | 72.3 | 71.1 | 70.5 | 69.5 | 68.9 | 67.6 | 66.5 | 66.1 | 65.5 | 64.5 | 64.2 | 61.4 | 59.9 | 60.2 | 61.1 | 59.9 | 61.6 | 64.9 | 58.8 |
| 15 ～16時 | 74.6 | 78.0 | 69.5 | 68.7 | 68.5 | 67.4 | 67.1 | 66.1 | 65.4 | 64.8 | 63.7 | 63.2 | 62.9 | 64.4 | 61.0 | 59.2 | 61.7 | 61.2 | 59.4 | 60.3 | 63.7 | 55.6 |
| 16 ～17時 | 74.0 | 78.4 | 70.9 | 69.4 | 68.7 | 68.4 | 67.6 | 66.6 | 65.6 | 64.1 | 63.8 | 63.7 | 63.1 | 63.7 | 60.5 | 59.0 | 60.1 | 61.2 | 58.5 | 59.7 | 63.3 | 54.8 |
| 17 ～18時 | 73.4 | 75.5 | 66.2 | 66.2 | 65.5 | 64.1 | 63.4 | 63.0 | 61.7 | 61.3 | 61.1 | 61.3 | 61.5 | 62.6 | 59.8 | 59.0 | 60.1 | 61.2 | 58.9 | 60.2 | 63.4 | 55.3 |
| 18 ～19時 | 74.1 | 79.2 | 71.7 | 71.4 | 70.4 | 69.2 | 67.7 | 67.0 | 65.7 | 64.5 | 64.4 | 63.7 | 63.3 | 63.6 | 61.0 | 59.0 | 59.3 | 60.6 | 58.0 | 59.9 | 63.5 | 55.8 |
| 19 ～20時 | 72.9 | 72.2 | 59.0 | 58.7 | 58.6 | 57.0 | 56.7 | 56.2 | 55.2 | 57.3 | 58.6 | 60.0 | 60.3 | 62.5 | 59.8 | 58.2 | 58.5 | 60.6 | 57.9 | 59.7 | 63.5 | 55.5 |
| 20 ～21時 | 73.9 | 79.5 | 72.7 | 71.6 | 70.8 | 69.0 | 68.4 | 67.3 | 66.1 | 64.6 | 64.2 | 63.7 | 63.0 | 63.8 | 60.4 | 59.0 | 58.6 | 60.4 | 57.6 | 59.4 | 63.1 | 54.7 |
| 21 ～22時 | 73.5 | 74.4 | 64.9 | 63.4 | 62.9 | 61.6 | 60.7 | 60.0 | 60.0 | 59.8 | 60.1 | 61.0 | 61.0 | 62.9 | 59.5 | 59.4 | 60.1 | 61.0 | 59.1 | 60.9 | 63.8 | 58.2 |
| 22 ～23時 | 72.3 | 74.2 | 65.1 | 64.2 | 62.4 | 62.1 | 61.1 | 59.7 | 59.5 | 59.9 | 59.7 | 60.4 | 60.8 | 62.2 | 59.0 | 57.5 | 57.6 | 60.6 | 58.4 | 60.7 | 64.3 | 58.8 |
| 23 ～24時 | 73.0 | 77.9 | 71.1 | 70.5 | 68.3 | 67.5 | 66.1 | 64.9 | 63.8 | 62.8 | 62.1 | 61.9 | 61.5 | 62.6 | 59.3 | 58.8 | 57.6 | 60.3 | 57.1 | 59.2 | 63.1 | 54.1 |
| 0 ～ 1時 | 72.5 | 77.7 | 72.1 | 69.3 | 68.2 | 67.2 | 65.7 | 65.3 | 63.4 | 61.8 | 61.0 | 61.2 | 61.3 | 62.3 | 59.0 | 57.7 | 57.1 | 60.2 | 56.8 | 58.9 | 62.9 | 53.9 |
| 1 ～ 2時 | 72.4 | 77.0 | 68.6 | 68.7 | 68.4 | 67.4 | 66.1 | 63.8 | 63.4 | 62.5 | 62.1 | 61.7 | 61.3 | 62.5 | 59.3 | 56.8 | 57.1 | 60.5 | 56.9 | 58.8 | 63.0 | 53.9 |
| 2 ～ 3時 | 73.2 | 79.9 | 72.5 | 72.9 | 71.3 | 70.0 | 68.8 | 67.4 | 66.6 | 65.2 | 64.3 | 63.7 | 62.7 | 63.2 | 59.9 | 57.6 | 56.9 | 60.4 | 56.7 | 58.8 | 63.1 | 53.8 |
| 3 ～ 4時 | 72.1 | 76.7 | 69.5 | 68.2 | 67.5 | 66.2 | 65.3 | 63.6 | 62.5 | 62.3 | 61.7 | 61.0 | 60.8 | 62.0 | 58.8 | 56.9 | 57.3 | 60.6 | 56.9 | 58.8 | 62.8 | 53.9 |
| 4 ～ 5時 | 74.1 | 81.0 | 74.6 | 72.8 | 72.1 | 71.1 | 69.6 | 69.2 | 67.9 | 67.0 | 65.9 | 64.8 | 63.7 | 63.9 | 60.9 | 58.6 | 57.9 | 60.9 | 57.4 | 59.6 | 63.0 | 54.2 |
| 5 ～ 6時 | 75.0 | 81.2 | 74.4 | 73.2 | 72.4 | 71.5 | 69.9 | 69.3 | 68.5 | 67.2 | 66.1 | 64.6 | 63.8 | 64.4 | 61.6 | 60.6 | 58.6 | 61.6 | 58.5 | 59.4 | 63.2 | 55.0 |
| 6 ～ 7時 | 74.3 | 80.1 | 73.1 | 72.1 | 71.8 | 69.9 | 68.9 | 68.0 | 66.9 | 65.4 | 64.9 | 63.8 | 62.9 | 63.6 | 60.8 | 59.9 | 58.7 | 61.2 | 58.6 | 60.0 | 63.6 | 55.0 |
| 7 ～ 8時 | 74.4 | 78.6 | 71.2 | 70.6 | 69.0 | 68.5 | 67.0 | 66.0 | 64.7 | 63.8 | 63.3 | 62.5 | 62.4 | 63.2 | 60.8 | 60.6 | 59.4 | 62.7 | 58.9 | 60.4 | 64.2 | 59.3 |
| 8 ～ 9時 | 74.6 | 79.6 | 72.3 | 71.8 | 70.9 | 69.2 | 68.0 | 67.6 | 65.8 | 65.4 | 64.2 | 63.4 | 62.8 | 63.6 | 60.8 | 60.9 | 60.1 | 62.7 | 59.4 | 61.3 | 63.7 | 57.9 |
| 9 ～10時 | 77.2 | 85.1 | 78.3 | 78.2 | 76.0 | 75.9 | 74.2 | 72.9 | 71.9 | 70.9 | 69.8 | 68.7 | 66.9 | 66.1 | 64.1 | 62.2 | 62.2 | 63.1 | 60.8 | 61.7 | 64.4 | 59.5 |
| 10 ～11時 | 74.4 | 82.3 | 73.4 | 71.7 | 70.3 | 69.5 | 68.8 | 67.3 | 67.0 | 64.9 | 64.4 | 63.5 | 63.0 | 63.9 | 61.3 | 59.6 | 59.9 | 61.8 | 59.4 | 60.3 | 63.4 | 55.8 |
| 11 ～12時 | 73.3 | 76.3 | 68.8 | 67.0 | 66.4 | 65.3 | 64.2 | 63.3 | 63.0 | 61.9 | 61.2 | 61.1 | 61.0 | 62.6 | 60.4 | 58.2 | 59.2 | 60.9 | 58.4 | 60.2 | 63.3 | 56.2 |
| 平均 | 74.2 | 79.8 | 72.5 | 71.7 | 70.5 | 69.6 | 68.4 | 67.4 | 66.4 | 65.3 | 64.5 | 63.8 | 63.1 | 63.7 | 60.8 | 59.4 | 59.5 | 61.2 | 58.6 | 60.2 | 63.6 | 56.5 |

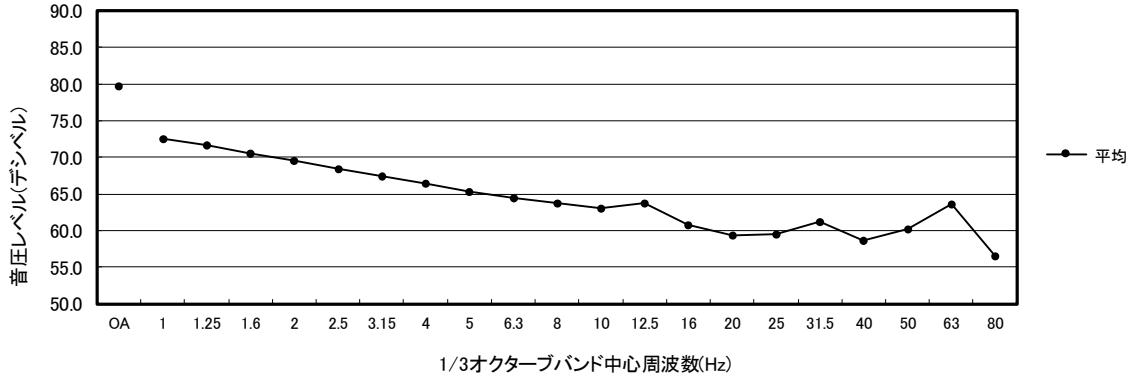


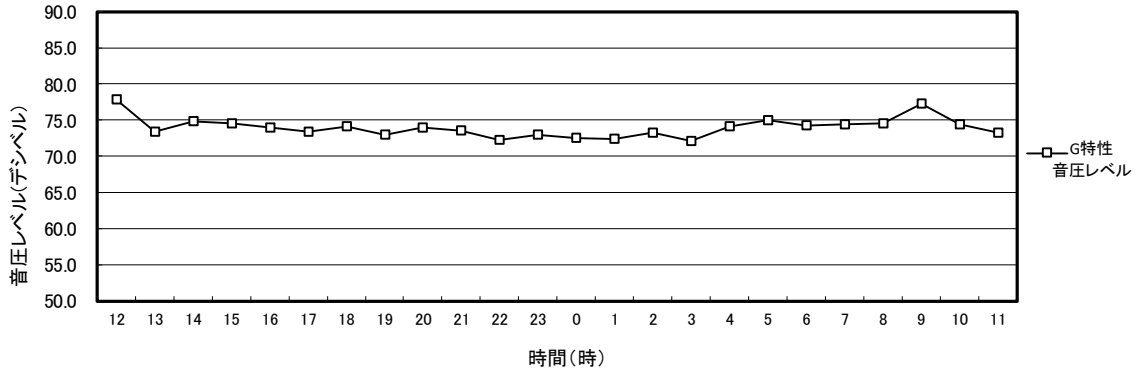


# 図7－2(3)　低周波音の現地調査結果

# 表7－3(4)　低周波音の現地調査結果

測定日：2020年11月12日(木)～11月13日(金)
調査地点：地点4

単位：デシベル

| 時間 | G特性音圧レベル | OA | 1 | 1.3 | 1.6 | 2 | 2.5 | 3.2 | 4 | 5 | 6.3 | 8 | 10 | 13 | 16 | 20 | 25 | 32 | 40 | 50 | 63 | 80 |
|---|---|---|---|---|---|---|---|---|---|---|---|---|---|---|---|---|---|---|---|---|---|---|
| 12 ～13時 | 76.3 | 81.3 | 74.4 | 74.1 | 72.7 | 71.3 | 69.5 | 68.6 | 67.3 | 66.3 | 65.4 | 64.1 | 63.9 | 63.2 | 63.5 | 61.7 | 64.1 | 61.7 | 62.5 | 68.1 | 59.8 | 52.9 |
| 13 ～14時 | 76.0 | 78.8 | 71.2 | 69.5 | 69.3 | 68.2 | 66.5 | 66.0 | 64.3 | 64.3 | 63.5 | 61.5 | 62.1 | 62.3 | 63.4 | 61.6 | 63.9 | 62.5 | 64.0 | 68.1 | 60.6 | 53.8 |
| 14 ～15時 | 76.8 | 78.1 | 70.1 | 69.5 | 67.9 | 65.8 | 65.7 | 63.9 | 63.3 | 63.4 | 62.8 | 60.7 | 62.0 | 62.3 | 63.4 | 63.8 | 64.6 | 62.4 | 63.9 | 68.0 | 60.3 | 55.8 |
| 15 ～16時 | 75.6 | 75.5 | 64.9 | 63.7 | 63.4 | 62.2 | 61.5 | 60.3 | 59.1 | 60.7 | 60.4 | 58.0 | 60.7 | 61.6 | 63.0 | 61.0 | 64.7 | 61.2 | 63.4 | 68.3 | 59.5 | 51.4 |
| 16 ～17時 | 75.7 | 76.6 | 68.0 | 66.1 | 65.6 | 64.6 | 63.2 | 62.2 | 61.2 | 62.5 | 61.6 | 59.6 | 61.6 | 61.7 | 63.3 | 61.1 | 64.0 | 60.6 | 62.3 | 68.3 | 59.6 | 51.8 |
| 17 ～18時 | 75.5 | 74.1 | 59.8 | 59.1 | 58.3 | 57.3 | 56.8 | 55.7 | 54.5 | 59.0 | 59.4 | 56.9 | 60.8 | 61.5 | 62.9 | 61.1 | 63.9 | 60.8 | 62.6 | 68.3 | 59.6 | 52.6 |
| 18 ～19時 | 75.5 | 76.2 | 66.7 | 66.2 | 64.5 | 63.7 | 63.4 | 61.8 | 61.5 | 60.9 | 60.4 | 58.5 | 61.1 | 61.6 | 62.9 | 60.8 | 64.5 | 61.2 | 62.8 | 68.2 | 59.8 | 52.1 |
| 19 ～20時 | 75.4 | 73.6 | 56.2 | 55.0 | 54.4 | 53.8 | 53.3 | 53.2 | 52.6 | 58.4 | 59.3 | 56.7 | 60.3 | 61.3 | 62.9 | 60.8 | 64.3 | 61.3 | 62.3 | 68.2 | 59.7 | 51.6 |
| 20 ～21時 | 75.3 | 75.3 | 65.6 | 64.1 | 62.9 | 62.5 | 61.7 | 60.0 | 59.0 | 60.5 | 60.1 | 57.8 | 60.8 | 61.3 | 62.9 | 60.3 | 64.3 | 60.4 | 61.8 | 68.1 | 59.1 | 51.4 |
| 21 ～22時 | 75.3 | 73.8 | 56.9 | 56.4 | 57.5 | 55.2 | 54.7 | 54.4 | 53.3 | 58.3 | 58.7 | 56.8 | 60.5 | 61.2 | 62.6 | 60.9 | 64.5 | 60.6 | 62.8 | 68.3 | 59.5 | 53.4 |
| 22 ～23時 | 75.1 | 74.1 | 61.5 | 59.9 | 59.1 | 57.6 | 56.5 | 56.0 | 55.7 | 59.1 | 58.9 | 57.0 | 60.6 | 61.2 | 62.5 | 60.4 | 64.1 | 60.2 | 62.3 | 68.3 | 59.8 | 54.1 |
| 23 ～24時 | 75.5 | 75.1 | 64.5 | 63.9 | 62.7 | 61.7 | 60.4 | 59.6 | 58.6 | 59.9 | 59.9 | 57.4 | 60.5 | 61.1 | 62.8 | 61.3 | 64.3 | 60.5 | 61.8 | 68.3 | 58.9 | 50.2 |
| 0 ～ 1時 | 75.1 | 74.5 | 63.7 | 61.0 | 60.2 | 59.3 | 59.5 | 59.3 | 57.4 | 60.1 | 59.3 | 56.8 | 60.4 | 61.0 | 62.7 | 60.4 | 63.9 | 60.0 | 61.7 | 68.3 | 58.9 | 50.3 |
| 1 ～ 2時 | 75.2 | 75.0 | 64.5 | 63.5 | 61.9 | 62.0 | 61.5 | 60.2 | 59.0 | 60.3 | 59.5 | 57.1 | 60.6 | 61.1 | 62.9 | 60.4 | 63.8 | 60.0 | 61.6 | 67.9 | 59.2 | 50.6 |
| 2 ～ 3時 | 75.0 | 74.9 | 64.3 | 63.3 | 63.0 | 62.2 | 60.3 | 59.0 | 58.8 | 60.4 | 60.0 | 57.4 | 60.5 | 61.1 | 62.8 | 60.3 | 63.6 | 59.7 | 61.4 | 67.9 | 58.8 | 50.0 |
| 3 ～ 4時 | 74.9 | 74.1 | 61.8 | 61.1 | 61.8 | 59.1 | 58.7 | 57.9 | 56.7 | 59.2 | 59.0 | 56.5 | 60.5 | 61.0 | 62.5 | 60.3 | 63.6 | 59.8 | 61.5 | 67.7 | 58.9 | 50.4 |
| 4 ～ 5時 | 75.2 | 76.9 | 68.7 | 67.2 | 66.2 | 64.9 | 64.2 | 63.1 | 62.7 | 63.0 | 61.9 | 59.5 | 61.3 | 61.6 | 62.6 | 60.6 | 63.6 | 60.1 | 61.7 | 68.1 | 59.1 | 51.0 |
| 5 ～ 6時 | 75.6 | 76.3 | 66.9 | 66.6 | 65.5 | 64.4 | 63.6 | 62.3 | 60.7 | 61.8 | 60.8 | 58.6 | 61.1 | 61.3 | 62.8 | 61.7 | 63.8 | 60.5 | 62.3 | 67.9 | 59.5 | 52.4 |
| 6 ～ 7時 | 75.4 | 75.4 | 64.9 | 64.0 | 63.4 | 63.0 | 61.7 | 60.2 | 59.1 | 60.6 | 60.1 | 58.2 | 60.8 | 61.2 | 62.7 | 61.6 | 63.6 | 61.1 | 62.5 | 68.1 | 60.2 | 52.0 |
| 7 ～ 8時 | 75.7 | 74.7 | 62.8 | 60.6 | 60.2 | 58.7 | 58.4 | 57.6 | 56.3 | 59.0 | 59.2 | 57.3 | 60.9 | 61.4 | 62.8 | 62.3 | 63.7 | 62.4 | 63.5 | 68.2 | 60.9 | 58.8 |
| 8 ～ 9時 | 76.7 | 77.1 | 67.9 | 66.9 | 65.0 | 63.7 | 63.4 | 62.0 | 61.4 | 61.6 | 61.2 | 59.2 | 61.7 | 62.2 | 63.5 | 63.4 | 64.9 | 64.5 | 64.4 | 68.7 | 61.8 | 55.5 |
| 9 ～10時 | 77.4 | 80.9 | 73.5 | 72.8 | 71.2 | 70.0 | 69.0 | 67.7 | 67.6 | 66.7 | 65.8 | 64.2 | 64.1 | 63.3 | 64.1 | 63.5 | 65.5 | 63.7 | 64.7 | 68.9 | 61.2 | 56.3 |
| 10 ～11時 | 76.6 | 78.3 | 69.9 | 68.7 | 67.3 | 66.2 | 65.5 | 65.2 | 64.5 | 63.8 | 63.4 | 61.3 | 62.1 | 62.4 | 63.2 | 63.3 | 64.8 | 63.5 | 64.4 | 69.2 | 61.5 | 55.3 |
| 11 ～12時 | 75.6 | 76.0 | 66.1 | 64.9 | 64.0 | 63.0 | 62.1 | 61.1 | 60.1 | 60.9 | 60.8 | 58.4 | 60.8 | 61.5 | 63.0 | 61.3 | 64.3 | 61.6 | 62.6 | 69.0 | 60.0 | 52.9 |
| 平均 | 75.7 | 76.7 | 67.8 | 66.9 | 65.7 | 64.5 | 63.5 | 62.4 | 61.5 | 62.0 | 61.4 | 59.4 | 61.4 | 61.7 | 63.0 | 61.6 | 64.2 | 61.5 | 62.8 | 68.3 | 59.9 | 53.4 |

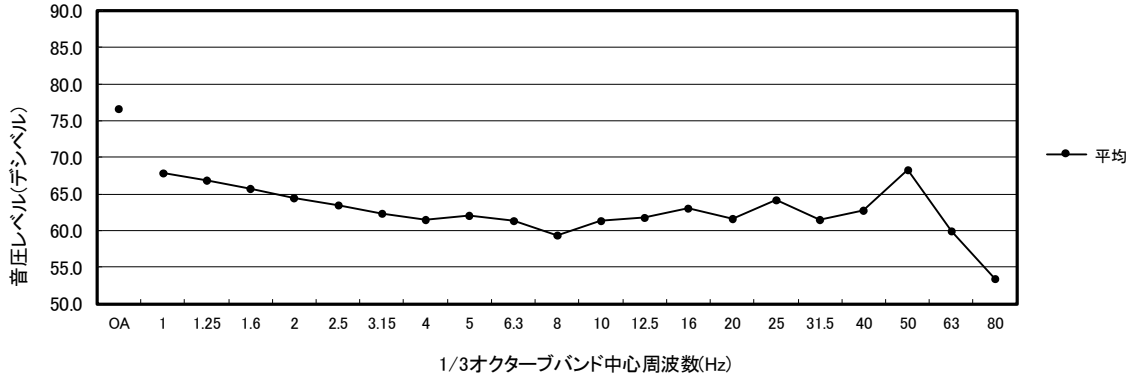


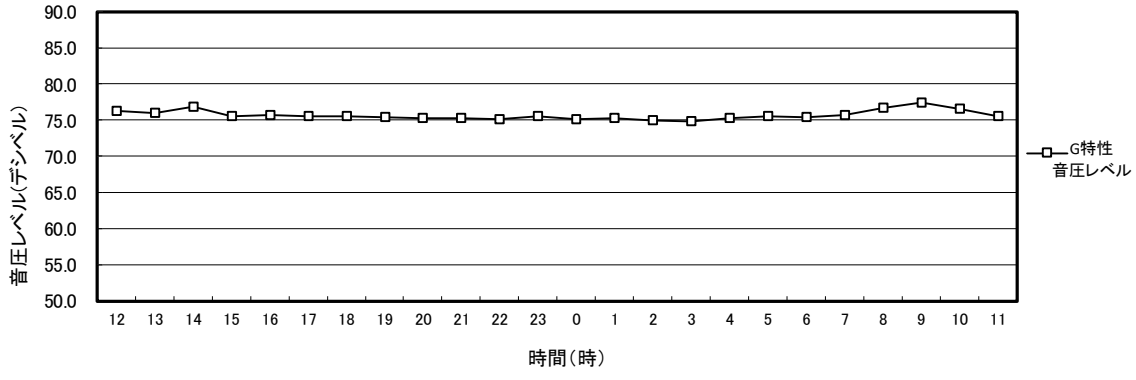


# 図7－2(4)　低周波音の現地調査結果

# ８　廃棄物関連

# ８　廃棄物関連

## 資料８－１　廃棄物発生量の算定根拠

### １．建設工事に係る産業廃棄物の算定式・発生量

建設工事に係る産業廃棄物の算定式を以下に示す。また、計算に用いた係数等と発生量は表 8－1、表 8－2 に示すとおりである。

既存施設の解体に係る発生量

【コンクリートがら】

発生量（ｔ）＝既存施設の延床面積（16,620$m^2$）×単位面積あたりコンクリートがら発生量（1.0421ｔ/$m^2$）注１）

【アスファルト・コンクリートがら】

発生量（ｔ）＝アスファルト撤去面積（11,050$m^2$）×既設アスファルト舗装厚（0.1m）×アスファルト・コンクリート塊比重（1.48ｔ/$m^3$）注２）

【ガラスくず及び陶磁器くず】

発生量（ｔ）＝既存施設規模（600ｔ/日）×規模あたり発生量（2.521ｔ/（ｔ/日））注３）

【廃プラスチック類】

発生量（ｔ）＝既存施設の延床面積（16,620$m^2$）×単位面積あたり廃プラスチック類発生量（0.0037ｔ/$m^2$）注１）

【廃石膏ボード】

発生量（ｔ）＝既存施設の延床面積（16,620$m^2$）×単位面積あたり廃石膏ボード発生量（0.0057ｔ/$m^2$）注１）

【金属くず】

発生量（ｔ）＝既存施設規模（600ｔ/日）×規模あたり発生量（12.273ｔ/（ｔ/日））注３）

【木くず】

発生量（ｔ）＝既存施設の延床面積（16,620$m^2$）×単位面積あたり木くず発生量（0.0213ｔ/$m^2$）注１）

【伐採・除根】

発生量（ｔ）＝既存施設の延床面積（16,620$m^2$）×単位面積あたり伐採・除根発生量（0.0069ｔ/$m^2$）注１）

【混合廃棄物】

発生量（ｔ）＝既存施設の延床面積（16,620$m^2$）×単位面積あたり混合廃棄物発生量（0.0098ｔ/$m^2$）注１）

注１）「平成 30 年度建設副産物実態調査結果（国土交通省）」の建築解体（非木造）全国平均より設定。
注２）「産業廃棄物管理票に関する報告書及び電子マニフェストの普及について（環境省）」より設定。
注３）同規模廃棄物処理施設解体時の類似事例より設定。

計画施設の建設工事に係る発生量

発生量（ｔ）＝計画施設の延床面積（29,030$m^2$）×品目ごとの係数（kg/$m^2$）÷1,000

表 8－1　既存施設の解体工事に係る産業廃棄物の発生量

| 種　類 | 面積・規模 | 係数等 | | 発生量 |
|---|---|---|---|---|
| コンクリートがら | 既存施設の延床面積 16,620m² | 単位面積あたりコンクリート量 | 1.0421 t /m² | 17,320t |
| アスファルト・コンクリートがら | アスファルト撤去面積 11,050m² | 舗装厚 | 0.1m | 1,635t |
| | | コンクリート片の比重 | 1.48 t /m² | |
| ガラスくず及び陶磁器くず | 既存施設の規模 600 t /日 | 規模あたりガラスくず及び陶磁器くず発生量 | 2.521 t /( t /日) | 1,513t |
| 廃石膏ボード | 既存施設の延床面積 16,620m² | 単位面積あたり廃石膏ボード発生量 | 0.0057 t /m² | 95t |
| 廃プラスチック | | 単位面積あたり廃プラスチック発生量 | 0.0037 t /m² | 61t |
| 金属くず | 既存施設の規模 600 t /日 | 規模あたり金属くず発生量 | 12.273 t /( t /日) | 7,364t |
| 木くず | 既存施設の延床面積 16,620m² | 単位面積あたり木くず発生量 | 0.0213 t /m² | 354t |
| 伐採・除根量 | | 単位面積あたり伐採・除根発生量 | 0.0069 t /m² | 115t |
| 混合廃棄物 | | 単位面積あたり混合廃棄物発生量 | 0.0098 t /m² | 163t |
| 合　　計 | | | | 28,620t |

表 8－2(1)　計画施設の建設工事に係る産業廃棄物の発生量

| 種　類 | 発生量 | | | | |
|---|---|---|---|---|---|
| | ごみ焼却処理施設 (27,100㎡) | 計量棟（搬出） (80㎡) | 洗車場・車庫 (470㎡) | 車庫・倉庫 (1,380㎡) | 合計 |
| コンクリートがら | 14.4kg/m² | 2.3kg/m² | | 23.2kg/m² | 424t |
| | 390.24t | 0.18t | 1.08t | 32.02t | |
| アスファルト・コンクリートがら | 1.8kg/m² | 0.5kg/m² | | 6.7kg/m² | 58t |
| | 48.78t | 0.04t | 0.24t | 9.25t | |
| ガラスくず及び陶磁器くず | 2.5kg/m² | 8.7kg/m² | | 5.0kg/m² | 79t |
| | 67.75t | 0.70t | 4.09t | 6.90t | |
| 廃石膏ボード | 4.3kg/m² | 4.5kg/m² | | 5.1kg/m² | 126t |
| | 116.53t | 0.36t | 2.12t | 7.04t | |
| 廃プラスチック | 3.1kg/m² | 6.5kg/m² | | 5.2kg/m² | 95t |
| | 84.01t | 0.52t | 3.06t | 7.18t | |
| 金属くず | 2.7kg/m² | 2.7kg/m² | | 4.9kg/m² | 81t |
| | 73.17t | 0.22t | 1.27t | 6.76t | |
| 木くず | 4.8kg/m² | 5.0kg/m² | | 6.3kg/m² | 142t |
| | 130.08t | 0.40t | 2.35t | 8.69t | |
| 紙くず | 1.6kg/m² | 4.1kg/m² | | 2.6kg/m² | 49t |
| | 43.36t | 0.33t | 1.93t | 3.59t | |
| 混合廃棄物 | 6.1kg/m² | 11.6kg/m² | | 18.9kg/m² | 198t |
| | 165.31t | 0.93t | 5.45t | 26.08t | |
| 合　　計 | 1,119.23t | 3.68t | 21.59t | 107.51t | 1,252t |

注１）「建築系混合廃棄物の原単位調査　2020 年度データ」（(一社) 日本建設業連合会）の原単位（ごみ焼却処理施設は RC 造（10,000㎡以上）、計量棟（搬出）及び洗車場・車庫はＳ造（1,000㎡未満）、車庫・倉庫はＳ造（3,000㎡未満））に各延床面積を乗じて算出した。

注２）廃棄物の種類ごとの表中の上段は原単位、下段は発生量を示す。

表 8－2(2)　計画施設の建設工事に係る産業廃棄物の発生量（建設汚泥）

| 項目 | 地中連続壁 | | |
|---|---|---|---|
| | 深度12m | 深度15m | 深度22m |
| 外周（m） | 386 | 229 | 124 |
| 深度（m） | 12 | 15 | 22 |
| 壁厚（m） | 1.2 | 1.2 | 1.2 |
| 汚泥量（$m^3$） | 5,558 | 4,122 | 3,274 |
| 合計（$m^3$） | 12,954 | | |

## ２．計画建物の建設に伴う建設発生土量

計画建物の建設に伴う建設発生土量を以下に示す。建設発生土は、施工計画に基づき表8－3に示すとおり算出した。また、土壌の変化率を考慮した場合の建設発生土量は、土量変化率を粘性土の変化率とし、表8－4のとおりとする。

表 8－3　建設発生土算定根拠（地山土量）

| 区　分 | 掘削土 |
|---|---|
| 解体・撤去工事 | 21,980$m^3$ |
| 新設工事 | 99,550$m^3$ |
| 造成工事 | － |
| 合　　計 | 121,530$m^3$ |

表 8－4　計画建築物の建設に伴う建設発生土量（ほぐし土量）

| 種　類 | 地山土量 | ほぐし率 | 建設発生土<br>(ほぐし率考慮) |
|---|---|---|---|
| 搬出土量 | 121,530$m^3$ | 1.25 | 151,910$m^3$ |